ŀ	
1	

THÈSE de DOCTEUR-INGÉNIEUR

présentée à l'Université Pierre et Marie CURIE - Paris 6 -

par M. AL-SALTI MOHAMED NAYEF

pour obtenir le titre de DOCTEUR - INGENIEUR

Sujet de la thèse:

ETUDE DE LA REPRODUCTION ET DU DÉVELOPPEMENT DE SESAMIA CALAMISTIS HAMPSON (LEPIDOPTERA, NOCTUIDAE) ET DES MODIFICATIONS APPORTÉES PAR UN TRAITEMENT INSECTICIDE (CARBOFURAN, DIMETHOATE ET DÉCAMÉTHRINE).

soutenue le 5 décembre 1980 devant le jury composé de :

Mme	J. RACCAUD	***************************************	. Président
MM.	M. ROTH	***************************************	,
	G. STREBLER		Examinateurs
	C CALISSANET		

O.R.S.T.O.M. PARIS 1980 Ce travail a été réalisé su laboratoire d'Entomologie Agricole des Services Scientifiques Centraux de 1'O.R.S.T.O.M. à Bondy.

Ce travail aurait été irréalisable sans l'appui et l'assistance de nombreuses personnes auxquelles je tiens à exprimer toute ma reconnaissance et mes remerciements plus particulièrement à :

- Madame J. RACCAUD, Professeur à l'Université Pierre et Marie CURIE (Paris VI); je lui adresse tous mes remerciements pour avoir contribué énormément à ma formation pendant mon D.E.A. pour l'honneur qu'elle me fait en acceptant de présider mon jury de thèse.
- Monsieur le Directeur Général de l'Office de la Recherche Scientifique et Technique Outre-Mer qui a bien voulu m'accueillir aux S.S.C. de Bondy.
- Monsieur M. ROTH, Directeur de Recherche de l'O.R.S.T.O.M., qui a bien voulu m'accueillir dans son laboratoire et diriger scientifiquement ce travail et dont l'aide au cours de la rédaction de ma thèse ne sera jamais oubliée. Je le remercie pour les connaissances qu'il m'a transmise concernant la systématique et la biologie des insectes et pour l'honneur qu'il me fait en participant au jury.
- Monsieur G. STREBLER, Professeur à l'I.N.A. Paris-Grignon qui a bien voulu accepter de participer au jury, le lui exprime ici mes très sincères remerciements.
- Monsieur C. CAUSSANEL, Maître assistant à l'Université Pierre et Marie CURIE (Paris VI) qui m'a fait l'amitié d'être membre du jury. Je tiens à le remercier pour la formation qu'il m'a donnée pendant mes études à Paris VI.
- Monsieur J. GKY, Directeur de Recherche de l'O.R.S.T.O.M. qui m'a beaucoup aidé dans la réalisation de ce travail et dont je n'oublierai jamais la gentillesse.

- Monsieur J. PIART, Maître de Recherche Principal dont l'aide scientifique et technique m'a été très utile dans la réalisation et la rédaction de ce travail.
- M. J. COZ, Pharmacien en chef, avec lequel j'ai eu de nombreuses discussions scientifiques fort intéressantes.
- Monsieur M. PINTA, Chef du laboratoire de Spectrographie et ses collaborateurs, Mesdemoiselles H. AUBERT et Y. ROUSSEL pour l'accueil qu'ils m'ont réservé et Monsieur M. PANSU pour son aide scientifique et technique et l'appui qu'il m'a apporté pour ce qui concerne les analyses chromatographiques.
- Monsieur P. VILLEROY, Directeur du Service technique de Bayer-France Division Phytochim qui a eu l'amabilité de me fournir le carbofuran.
- Monsieur P. CARLE, Chef du Service Entomologie de Procida qui a eu l'amabilité de me fournire le diméthoate et la décaméthrine.
- Monsieur J. DEJARDIN, Directeur de Recherche et Madame V. ANDRE qui ont mis à ma disposition le matériel nécessaire à la réalisation des calculs statistiques.
- Madame L. GILLON qui a eu l'amabilité (et la patience) d'assurer la frappe de ce travail, ainsi que le personnel du Service de la Publication dont l'aide matérielle et technique a été indispensable à la réalisation concrète de ce travail : Monsieur QUINET, Madame ROTH, Madame HETUIN et Madame AING.

the control of the first of the control of

2. The second of the second

au the company and company to the alternation

4.99

Car a compared restrict

SOMMAIRE

INTRODUCTION	1
1.CHAPITRE I : CONSIDERATIONS GENERALES SUR SESAMIA CALAMISTIS HAMPSON.	
1.1. POSITION SYSTEMATIQUE DE L'INSECTE ETUDIE	5
1.2. REPARTITION GEOGRAPHIQUE DE S. CALAMISTIS	_
HAMPSON	6
1.3. PLANTES-HOTES	6
1.4. CARACTERES MORPHOLOGIQUES ESSENTIELS DE SESANIA CALAMISTIS HAMPS	7
1.5. BIOLOGIE DE S. CALAMISTIS HAMPS	14
1.6. DEGATS :	17
1.6.1. SUR MAIS	
1.7 MOYENS DE LUTTE	18
1.7.1. LUTTE CHIMIQUE	18 23
RESISTANTES	25
2.CHAPITRE II : ELEVAGE DE SESAMIA CALAMISTIS HAMPSON	
2.1. MATERIEL ET METHODES	30
2.1.1. ELEVAGE DES LARVES ET INCUBATION DES OEUFS 2.1.2. CONDITIONS DE DEVELOPPEMENT NYMPHAL 2.1.3. ELEVAGE DES ADULTES 2.1.4. ELEVAGE DES LARVES SUR UNE PLANTE-HOTÉ NA-	35
TURELLE, LE MAIS	40
2.2.RESULTATS ET DISCUSSION	45
2.2.1. DETERMINATION DU NOMBRE DE STADES LARVAIRES	-
2.2.2. DUREE DU DEVELOPPEMENT LARVAIRE ET NYMPHAL	•
2.2.3. POIDS DES CHRYSALIDES	53 57
2.2.5. FECONDITE	58
2.2.6. APPARITION DES MALFORMATIONS MORPHOLOGIQUES	59
2 7 CONCLUSTONS	61

S. CHAPITRE III : INFLUENCE DE QUELQUES FACTEURS SUR LA FECONDITE DE SESAMIA CALAMISTIS HAMPSON	
A - FACTEURS LIES AU DEVELOPPEMENT DES STADES PREIMAGINAUX	63
3.1. RELATION ENTRE LE POIDS DES CHRYSALIDES FEMELLES ET LA FECONDITE	65
3.1.1. TEO-NIQUES D'ETUDES	65
3.1.2. RESULTATS	65
FECONDITE	
3.2.1. TECHNIQUES D'ETUDES	68 68
B - FACTEURS AGISSANT DIRECTEMENT SUK L'ADULTE	69
3.3. INFLUENCE DE L'ACCOUPLEMENT SUR LA FECONDITE DE S. CALAMISTIS	,
3.3.1. TECHNIQUES D'ETUDES	70
3.4. DEROULEMENT DE L'OVIPOSITION à 27° ± 2° C	74
3.4.1. TECHNIQUES D'ETUDES	
3.5. INFLUENCE DU SUPPORT DE PONTE ET DE SON DEGRE D'IMBIBITION SUR LA FECONDITE DE S.CALAMISTIS HAMPS	: ^{m.}
3.5.1. TECHNIQUES D'ETUDES	78 80
4. CHAPITRE IV : EFFETS DES DOSES SUBLETALES DE DIVERS INSECTICIDES SUR LA PHYSIO-LOGIE DU DEVELOPPEMENT DES LARVES DE SESAMIA CALAMISTIS HAMPSON.	
4.1. INSECTICIDES UTILISES	85, 6
4.1.1. FORMULES ET PROPRIETES PHYSICOCHIMIQUES. 4.1.2. PROPRIETES BIOLOGIQUES 4.1.3. MODE D'ACTION 4.1.4. MODE D'UTILISATION LORS DE NOS TESTS. 4.1.5. PREPARATION DES SULUTIONS. 4.1.6. CHOIX DE LA DOSE SUBLÉTALE.	87 91 92 93

4.2. ETUDE STATISTIQUE DE L'HOMOGENEITE DU POIDS DES LARVES DU Jème STADE LARVAIRE	
DE SESAMIA CALAMISTIS HAMPSON	94
MENTALE ET RESULTATS	95
4.3.1. EFFET DU CARBOFURAN SUR LA PHYSIOLOGIE DU DEVELOPPEMENT DES LARVES DE S.CALAMISTIS HAMPS. 4.3.2. EFFET DE LA DECAMETHRINE SUR LA PHYSIOLOGIE DU DEVELOPPEMENT DES LARVES DE S.CALAMISTIS	
HAMPSON 4.3.3. EFFET DU DIMETHOATE SUR LA PHYSIOLOGIE DU DEVELOPPEMENT DES LARVES DE S.CALAMISTIS HAMPSON.	
5. CHAPITRE V : EFFET DU DIMETHOATE SUR LA REPRODUC- TION DE SESAMIA CALAMISTIS HAMPSON ET SENSIBILITE DES LARVES DE S.UALA- MISTIS A L'EGARD DE LA DECAMETHRINE ET DU CARBOFURAN.	
5.1. METHODE D'ETUDE	133
5.2. RECHERCHE DE LA DL50 POUR LE DIMETHUATE	136
5.3. EFFET DU DIMETHOATE SUR LA REPRODUCTION DE S.CALAMISTIS HAMPSON	137
5.4. SENSIBILITE DES LARVES DE S.CALAMISTIS HAMPSON A L'EGARD DE LA DECAMETHRINE ET DU CARBOFU- RAN	146
5.4.1. RECHERCHE DES DL50 ET DL90 POUR LA DECAMÉTHRI- NE	146 148 156
6. CHAPITRE VI : ETUDE DE L'ACTIVITÉ SYSTEMIQUE (TELE- TOXICITE) DU CARBOFURAN EN TRAITEMENT DU SOL, DES VITESSES D'ACCUMULATION DU CARBOFURAN DANS LE MAIS, DE SA REMANENCE DANS LE MAIS ET DE SA DE- GRADATION DANS UN SOL.	•
6.1. ETUDE DE L'ACTIVITE SYSTEMIQUE (OU TELETOXI- CITE) DU CARBOFURAN EN TRAITEMENT DU SOL	159
6.1.1. MATERIEL ET METHODES	161 164

6.2.	ETUDE REMAN DE SA TION	ENCE DEGR	DU CA	RBOF ON D	URAN ANS L	DANS E SC	LE DL ET	MÁIS LA S	ET SOLU-		176
·	6.2.1. 6.2.2. 6.2.3.	METHO	DES DE	DOSA	GE .						181
CONCLU	JS I ONS									• • • • •	202
BIBLIC	GRAPH	IE		• • • • •	••••	• • • • •	• • • • •	• • • • •	• • • • •	• • • • •	206

INTRODUCTION.

Les foreurs des graminées vivrières représentent un des groupes d'insectes les plus importants du point de vue économique (JEPSON, 1954). Ils sont actuellement au premier plan des préoccupations des Gouvernements africains ; il s'agit essentiellement de chenilles de Lépidoptères, Pyratidae et Noctuidae.

Signalons que la famine qui a frappé le Japon dans les années quarante était due à une forte attaque du *Chilo suppressalis* sur riz (Mc NAUGHTON, 1946, in litt). MALLAMAIRE (1934, in litt) affirme que Sesamia vuteria (1) occasionne des dégâts toujours très importants en basse Côte d'Ivoire rendant presque impossible toute culture industrielle du maïs. COTTEREL (1925, in litt) relate qu'en raison des attaques des sésamies, il n'est pas possible de faire une deuxième culture annuelle de maïs, en lisière de forêts, dans les pays équatoriaux d'Afrique où la pluviométrie est abondante. Sur le maïs et le sorgho, SUTHERLAND (1954) signale, qu'en Afrique de l'Ouest, le pourcentage des attaques se situe très souvent au-delà de 33%. Ces attaques peuvent provoquer l'avortement des épis et la cassure des tiges de maïs, le rendement se trouvant, de ce fait, fortement abaissé.

RISBEC (1950), APPERT (1957), SUTHERLAND (1954), GROGORY (1957) rapportent que les larves de Busseola sp. et de Sesamia sp. endommagent la canne à sucre au Nigéria; 88% de tous les foreurs identifiés sur céréales dans la région équatoriale et 100% dans la savane appartiennent au genre Sesamia. HARRIS (1962) et USUA (1966, 1968) ont montré que la présence d'une à deux larves de foreurs des tiges par pied de mais provoque une baisse de 25% de la récolte. Les baisses de rendement du mais dues aux attaques des foreurs des tiges

^{(1).} Synonyme de Sesamia calamistis (BRENIERE, 1977; in Pests in Tropical Crops).

à Ibadan s'échelonnent de 10 à 100% (EIJNATTEN, 1965, in Nigerian J. Ent. 1974; 1 (1), pp. 57-62).

Sesamia calamistis Hampson est souvent citée comme étant l'un des ravageurs les plus importants du mais en Afrique de l'Ouest et à Madagascar (APPERT et RANAIVOSOA, 1970). Au Nigéria, dans la zone de savane, S. calamistis provoque des dégâts importants non seulement au mais, mais aussi au riz, au sorgho, aux jeunes plants de canne et aux graminées fourragères (ADYEMI et al. 1966; HARRIS, 1962). A Maurice, MOUTIA et COURTOIS (1952) observent que Sesamia calamistis provoque très souvent des dégâts importants sur les jeunes plants de canne à sucre; BUYCKX (1962) la signale sur la canne à sucre, le riz, le sorgho au Zaïre, au Ruanda et Burundi. BRENIERE (1966) classe Sesamia calamistis parmi les principaux ennemis du riz à Madagascar et note qu'en Afrique de l'Ouest, le riz pluvial offre à Sesamia calamistis des conditions plus favorables que le riz irrigué (BRENIERE, 1976).

Le mais n'ayant pas de possibilité de tallage peut être détruit par une seule chenille mal située alors que le mil et le riz, grâce à un tallage abondant, résistent beaucoup mieux (BRENIERE, 1977, in Pests in Tropical Crops).

L'acuité des problèmes que pose cette noctuelle, par l'ampleur des dommages causés, rend particulièrement souhaitable la recherche de divers moyens de lutte. Les conditions économiques régionales, le fait que la grande majorité des céréales soient cultivées par un paysannat traditionnaliste, sur de petites parcelles en association avec d'autres cultures, le caractère endophyte de la vie larvaire du ravageur et l'interdiction des insecticides organochlorés les plus efficaces incitent à rechercher d'autres moyens de lutte : nouveaux types de matières actives, meilleures modalités de traitements en fonction de l'éthologie de l'insecte, attractifs sexuels (phéromones synthétisées), entomophages, utilisation de variétés résistantes, destruction de plantes-hôtes intermédiaires etc. La mise en oeuvre de l'ensemble de ces techniques de lutte constitue ce qu'on appelle la "lutte intégrée". Toutefois la lutte chimique semble être la seule actuellement

réalisable contre ce ravageur (BRENIERE, 1976).

Dans un premier temps, nous avons essayé de mettre au point une méthode d'élevage permettant la réalisation du cycle complet de l'oeuf à l'adulte, pendant plusieurs générations successives, sans trop de difficultés, dans les conditions de notre laboratoire. Comme le remarque GUENNELON (1968) l'élevage sur milieu artificiel ou semisynthétique permet d'assurer une production importante d'insectes de laboratoire à toute période de l'année et notamment pendant les saisons froides où la plante-hôte est indisponible. Le matériel biologique obtenu par cette méthode est en outre beaucoup plus homogène du fait que l'aliment est lui-même homogène et constant.

Dans un deuxième temps, nous avons analysé les rapports entre certains critères et certains facteurs (biotiques et abiotiques) et la fécondité de la sésamie. Ces données sont l'accouplement, le poids des chrysalides femelles, le support de ponte (et l'influence de l'hygrométrie sur le support de ponte) et l'alimentation des larves sur milieu naturel ou milieu artificiel.

Nous avons ensuite déterminé les doses critiques ou "DL₅₀" et DL₉₀" (selon une notion utilisée en toxicologie) pour caractériser l'effet toxique d'un insecticide. Nous avons indiqué que dans l'état actuel des choses la lutte chimique demeure la seule méthode de lutte applicable contre la sésamie. Il est donc indispensable d'étudier les conséquences des traitements insecticides sur le développement et la reproduction de cet insecte. Les manifestations les plus évidentes des effets sublétaux des insecticides interviennent au niveau de la reproduction et du développement. Des modifications de la fécondité, de la fertilité et du développement ont été observées par différents auteurs (KUIPERS, 1962; RAMADE, 1967; MORIARTY, 1969 et 1971; RIVIERE, 1977; CASIDA et al., 1971).

Les substances expérimentées sont des insecticides de synthèse organo-phosphorés (diméthoate), carbamates, (carbofuran), ainsi que des pyréthrinoïdes (décaméthrine).

Nos investigations ont porté, plus spécialement, sur les possibilités de réduction des populations du ravageur par perturbation de leur développement et de leur reproduction par intoxication directe de l'insecte au moyen d'une substance insecticide. Nous avons recherché dans quelles conditions un insecticide, utilisé à des doses qui ne provoquent pas de mortalité immédiate, pourrait néanmoins avoir, à plus long terme, sur la reproduction des insectes traités, d'autres effets qui réduiraient la population du ravageur et l'importance de ses dégâts.

Dans une quatrième série d'expériences, nous avons étudié la télétoxicité du carbofuran en traitement insecticide du sol contre les larves de Sesamia calamistis, ainsi que le phénomène de migration du carbofuran en application dans un sol, ou dans une solution nutritive, vers les parties aériennes du maïs.

1. CHAPITRE I

CONSIDERATIONS GENERALES

SUR SESAMIA CALAMISTIS HAMPSON

1.1. POSITION SYSTEMATIQUE DE L'INSECTE ETUDIE.

GUENEE crée en 1852 le genre Sesamia; il dénomme Sesamia nonagrioides, l'espèce que LEFEBVRE avait décrite en 1827 sous le vocable de Cossus nonagrioides. S. vuteria Stoll fût longtemps utilisé en
synonymie de S. nonagrioides; ce synonyme est actuellement abandonné,
il faut noter cependant que souvent, en Afrique, furent confondues
sous cette appellation de Sesamia vuteria deux espèces différentes:
Sesamia calamistis Hampson et Sesamia nonagrioides botanephaga Tams
et Bowden (cette dernière étant particulière aux zones forestières
d'Afrique où la saison sèche est brève et clémente). Sur le pourtour
de la Méditerranée, S. cretica et S. nonagrioides sont bien connues comme ravageurs du maïs; en Asie, S. inferens est une espèce très polyphage, redoutée sur riz, surtout en Inde, tandis qu'en Afrique intertropicale S. calamistis, et à un moindre degré S. nonagrioides botanephaga comptent parmi les principaux déprédateurs du maïs.

D'après la révision du genre Sesamia Guénée, faite en 1953 par TAMPS et BOWDEN, la position systématique pour l'espèce étudiée est la suivante :

Classe: Insectes

Ordre: Lépidoptères

- Hétéroneures

- Ditrysia

- Heterocères

Super-famille: Noctuoidea

Famille: Noctuidae

Sous-famille : Amphypyrinae

Genre : Sesamia

Espèce: Sesamia calamistis Hampson

1.2. REPARTITION GEOGRAPHIQUE DE SESAMIA CALAMISTIS HAMPSON.

C'est une espèce largement répartie dans la zone tropicale à saison sèche bien marquée (zone des savanes), signalée par plusieurs auteurs dans divers pays d'Afrique et dans les îles de l'Océan Indien. La distribution précise de cette espèce est donnée par TAMS et BOWDEN (1953). Ils notent sa présence en Afrique du Sud, en Rhodésie du Nord, en Ouganda, en Tanzanie, à la Grande Comore, à Maurice, à La Réunion, en Angola, au Cameroun, au Nigéria, au Ghana, au Niger, en Côte d'I-voire, au Sénégal et en Gambie. APPERT et RANAIVOSOA (1970) la signale à Madagascar, et BRENIERE (1977, in Pests in tropical crops) la signale au Congo, en Haute-Volta, au Rwanda, au Burundi et au Soudan.

1.3. PLANTES HÔTES.

Cette sésamie est l'un des ravageurs les plus importants des graminées cultivées; elle est particulièrement dangereuse pour le mais, mais elle attaque également le riz, le sorgho, le blé, le mil Pennisetum, les jeunes plants de canne à sucre, les graminées fourragères, ainsi que plusieurs graminées sauvages à partir desquelles elle peut émigrer sur les graminées vivrières: Andropogon sp., Beckeropsis uniseta, Cenchrus echinatus, Coix lachryma-jobi, Cyperus papyrus, Eleusine coracana, Esparrhenia rufa, Lolium sp., Paspalum conjugalum, Panicum maximum, Pennisetum purpureum, P. subangulatum, P. thyphoides, Pnalaris arundinacea, Paspalum urvillei, Rottboellia compressa, R. szaltata, Setaria splendida, S. barbata, Sorghum halepense, S. verticilloflorum.

Sorghum arundinaceum, Tripsacum lazum, Vetiveria zizamciaes, Vossia cuspidata; (MOUTIA, 1934; HARRIS, 1962; RAO et NAGAJA, 1969; ERENIERE, 1977 in Pests in tropical crops).

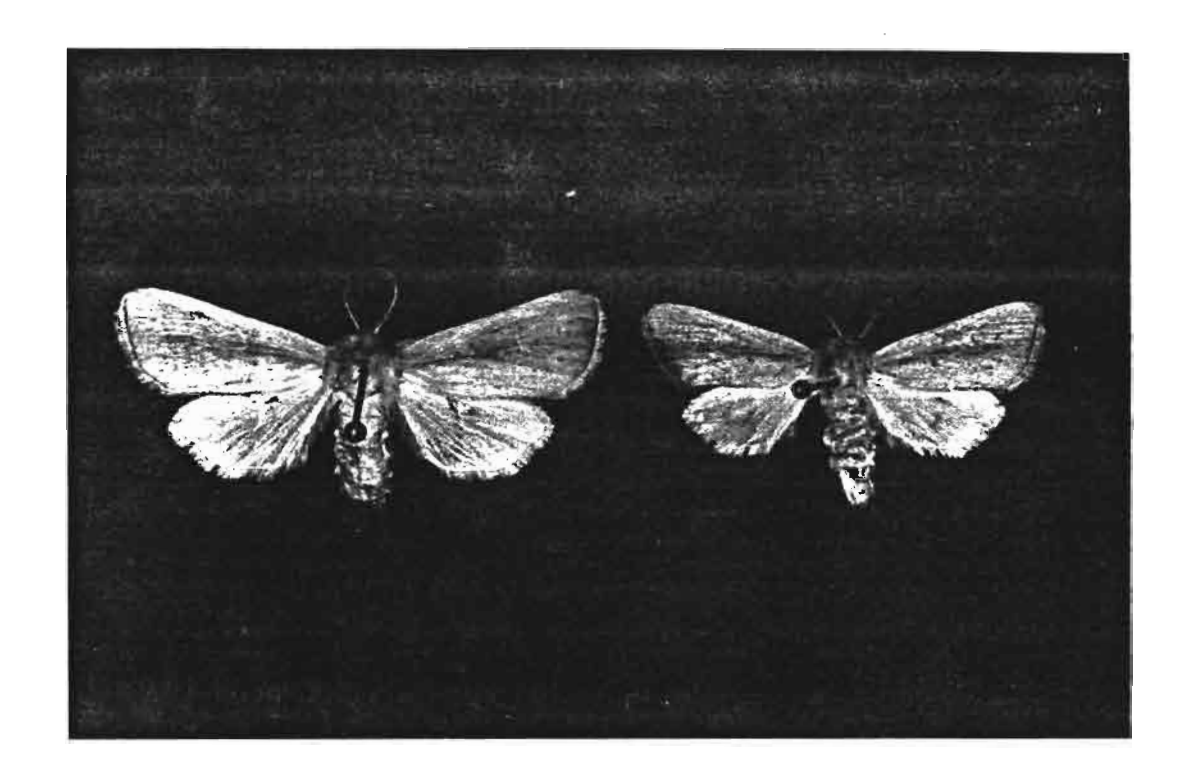
1.4. CARACTERES MORPHOLOGIQUES ESSENTIELS DE SESANIA CALAMIS-TIS HAMPSON.

L'adulte est un papillon de 22 à 30 millimètres d'envergure chez le mâle et de 24 à 36 millimètres chez la femelle ; la longueur du corps de l'adulte atteint 13 millimètres. La tête et le thorax sont beige clair plus moins striés de brun foncé. Les antennes du mâle sont moyennement bipectinées, serratiformes à l'apex, munies à leur base de cils courts en bouquet ; les antennes de la femelle sont simples, filiformes. Les ailes antérieures sont beige clair, plus ou moins largement parsemées d'écailles grises ou de zones foncées, avec la frange d'un blanc ochracé légèrement enfumée sur les deux premiers tiers ; les ailes postérieures sont d'un blanc pur avec les nervures et la frange légèrement jaunâtre (Fig. N° 1).

Suivant les régions, la coloration, les marques et les dimensions sont très fluctuantes :

- on note ainsi, surtout chez les formes méridionales et occidentales, une forte réduction dans les marques enfumées de l'aile, souvent combinée, dans l'extrême Ouest du continent africain, avec une nuance jaune d'or ou nettement ocre;
- on note également une diminution de la taille particulièrement nette sur les spécimens de l'Ouest africain et des Mascareignes (APPERT, 1967 et 1971; APPERT et RANAIVOSOA, 1970).

Les larves sont glabres, de coloration rose jaunâtre uniforme, sur la partie dorsale ; la partie ventrale est chamois clair ; les stigmates sont ovales, allongées et à cadre noir bien marqué ; les



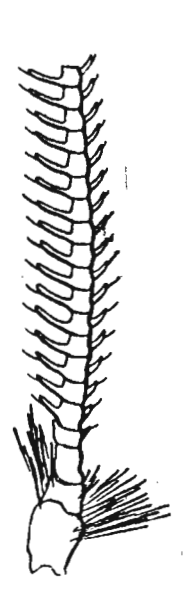


Fig. N°1 : Sesamia calamistis Hampson, papillons (X2).

A gauche femelle ; à droite mâle. En bas, antenne d'adulte mâle (d'après TAMS et BOWDEN, 1953)

tubercules du corps sont faibles et peu apparents. Les fausses pattes sont munies de crochets en arc de cercle uni-ordinal, largement ouvert. La longueur peut atteindre 30 à 40 millimètres et la largeur 3,5 millimètres (Fig. N° 2).

Les nymphes sont des chrysalides de couleur brun rouge, plus foncé vers l'apex. A l'extrémité de l'abdomen, le crémaster porte deux épines dorsales ainsi qu'une petite protubérance ventrale. Les ébauches des pattes et antennes ne dépassent jamais l'extrémité des ébauches alaires (BRENIERE, 1976).

La chrysalide (Fig. N° 3) mesure en moyenne 17,5±2 millimètres chez le mâle et 19±2 millimètres chez la femelle, sur des spécimens élevés ou récoltés sur maïs (APPERT et RANAIVOSOA, 1970).

Les oeufs sont insérés par la femelle sur la face interne des gaînes foliaires, à quelques centimètres de la ligule. Ils sont disposés côte à côte, sur une seule couche, en plaques plus ou moins importantes, irrégulières, généralement allongées dans le sens de la tige.

Ces oeufs sont subsphériques, aplatis au contact du végétal et au pôle opposé, peu déformés par contre au contact des oeufs voisins (Fig. N° 3). Ils mesurent en moyenne 1,3 millimètre de diamètre et 1 millimètre de hauteur. De coloration jaune pâle au moment de la ponte, ils se teintent en rose pâle à l'approche de l'éclosion (BRENIERE, 1976).

-Pieces génitales. Peu nombreux sont les auteurs qui ont basé leurs descriptions du genre Sesamia sur l'examen des pièces génitales de l'un ou l'autre sexe. Cet examen s'impose pourtant particulièrement pour ce genre homogène dont les caractères externes suffisent tout au plus à définir des groupes d'espèces, sans permettre de définir l'espèce avec précision. Il faut donc s'en rapporter auxgenitalia pour obtenir une détermination exacte au niveau spécifique. Une clé de détermination a été établie par TAMS et BOWDEN (1953) pour les

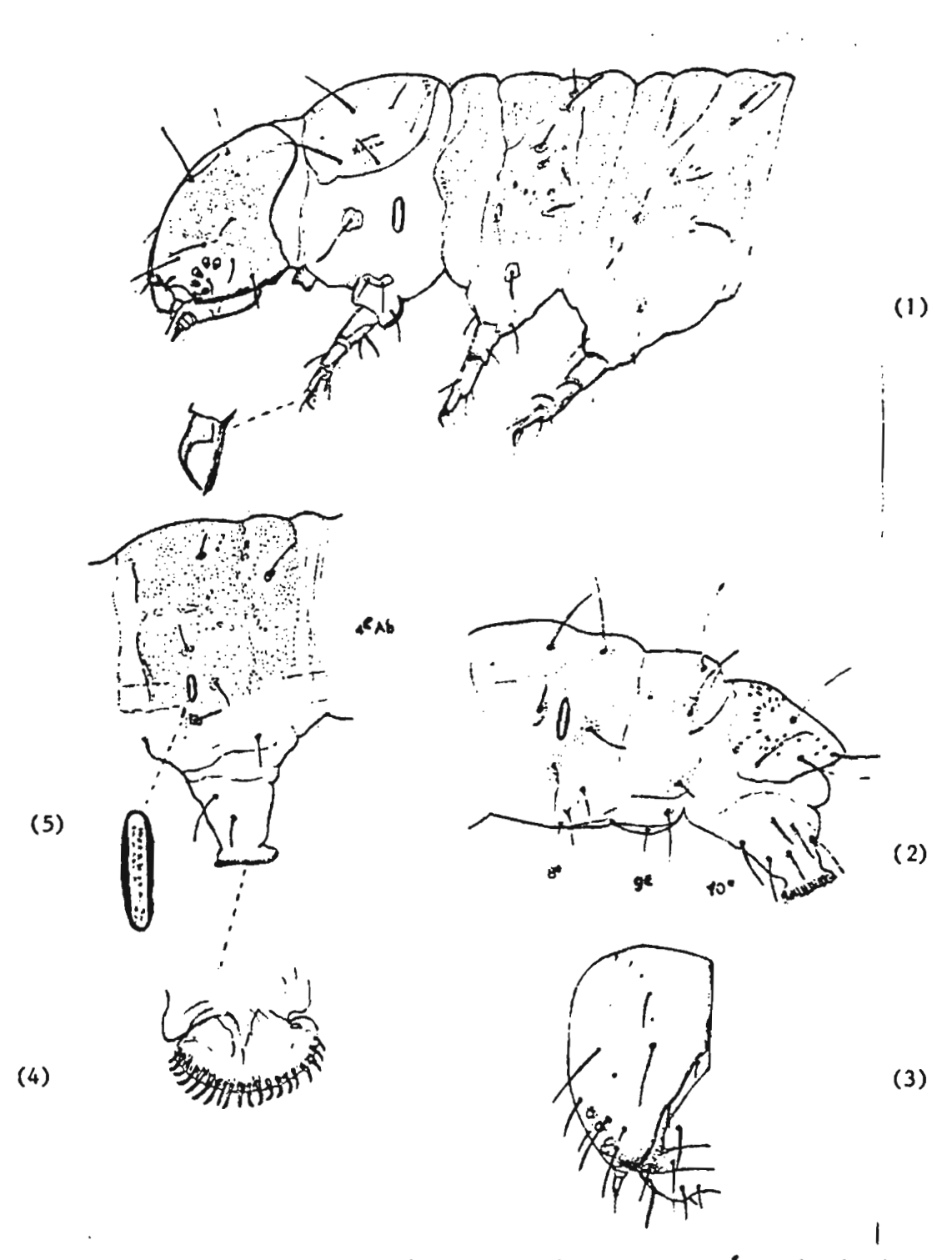
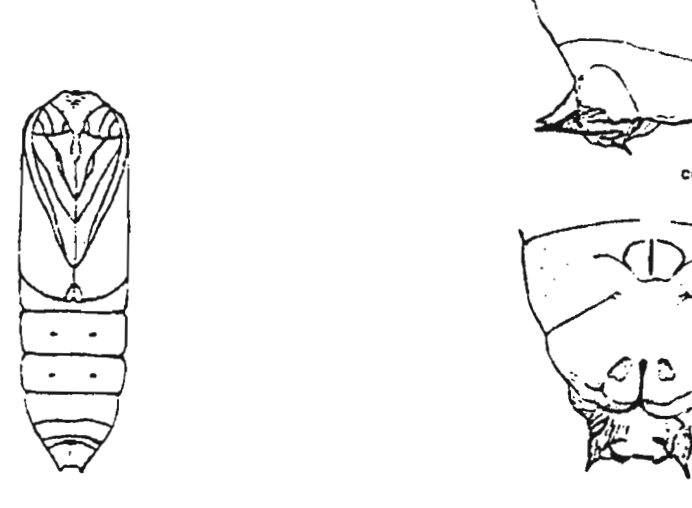


Fig.2: Caractères morphologiques larvaires de Sesamia calamistis
Hampson (d'après APPERT, 1967 et BRENIERE, 1976).

(1) Tête et thorax d'une chenille, (2) Extrémité postérieure
de la chenille, (3) Tête, (4) Détail de l'extrémité d'une
fausse patte, (5) Stigmate à cadre noir bien marqué



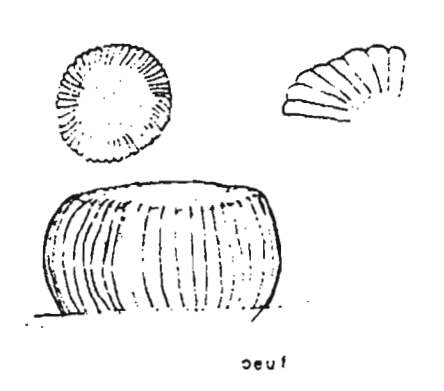


Fig. N°3 : A gauche chrysalide de *Sesamia calamistis* Hampson ; à droite extrémité de l'abdomen de la chrysalide mâle. En bas, oeuf.

espèces rencontrées en Afrique de l'Ouest. Il ressort de cett étude que certaines espèces ne se distinguent que par des différences minimes de structure au niveau des genitalia. Toutes les espèces du genre Sesamia ont des genitalia mâles assez complexes.

Les genitalia mâles de Sesamia calamistis Hampson possèdent un tégument avec un peniculus (P) bien développé. L'uncus (U) est petit et pointu ; les valves sont fortement sclérifiées avec un sacculus et un cucullus (C) bien distincts ; le sacculus porte une apophyse sclérifiée légèrement incurvée vers l'intérieur et recouverte de plusieurs rangées d'épines courtes et épaisses qui rejoignent parfois l'épine costale. L'épine costale est courte, étroite avec une petite dent subapicale, quelquefois presque bifide et parfois sans dent apicale chez les formes d'Afrique orientale, de Madagascar et de Maurice (APPERT et RANAIVOSOA, 1970). Le cuculus est allongé, non sclérifié et spatulé à l'extrémité. L'édéage (AE) est court, dilaté à la base, avec les lobes latéraux allongés, garnis de fines épines comme le dessus de la manica. La manica est dorsalement bossue. La visica a un cornutus (CR) apical aplati. Le vinculum (V) se caractérise par un fort développement de la partie ventrale. La juxta (J) est en forme de trapèze large (Fig. N° 4).

Les genitalia femelles comprennent une bourse copulatrice courte et arrondie ; la bourse du ductus est courte et large, l'ostium également large, les plaques latérales du segment ostial réduites et légèrement sclérifiées.

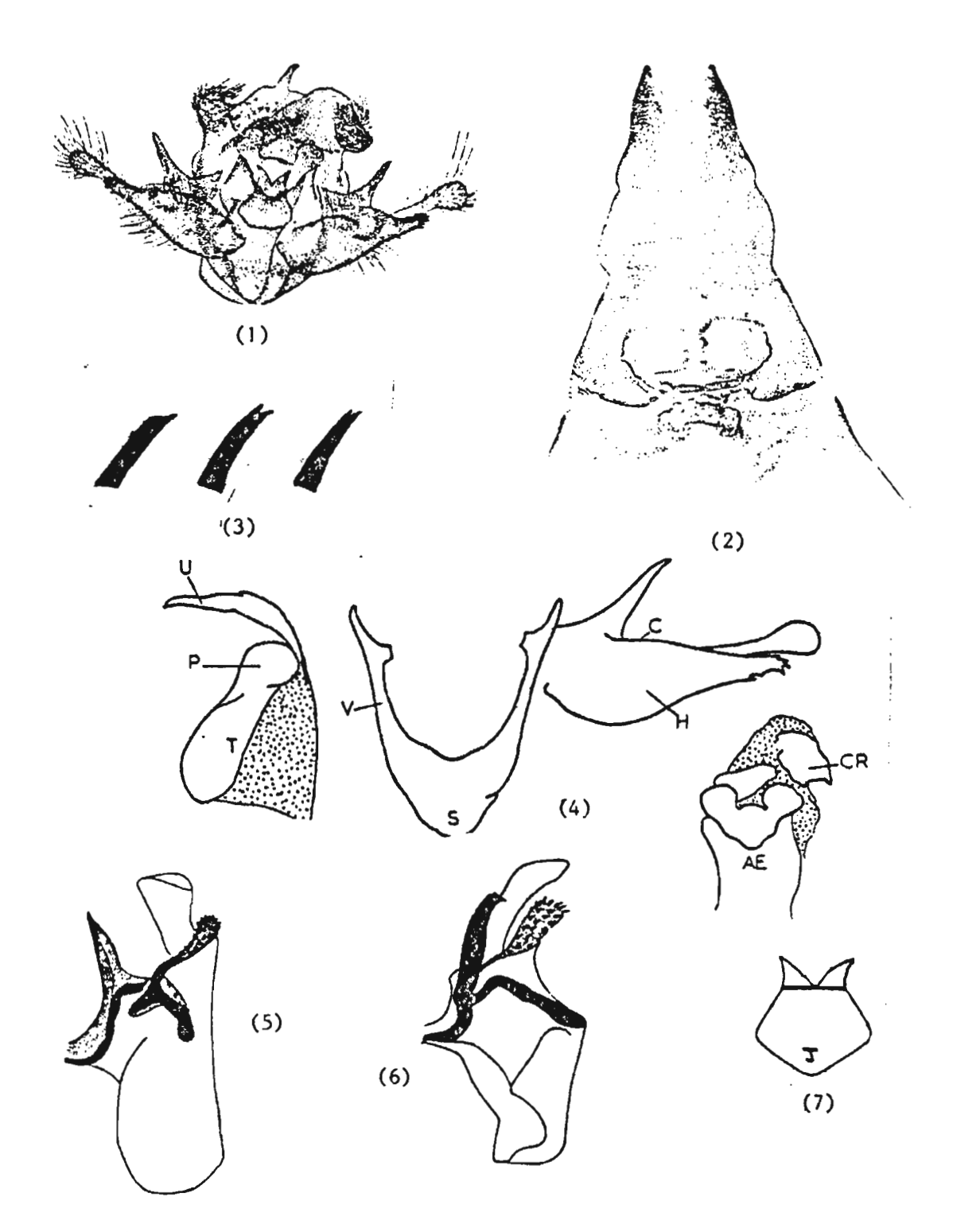


Fig. N°4: (1) Genitalia mâle de Sesamia calamistis Hampson, d'après TAMS et BOWDEN, (2) Genitalia femelle de Sesamia calamistis Hampson, d'après TAMS et BOWDEN, (3) Variations dans l'épine costale de la valve, (4) Genitalia mâle de Sesamia calamistis Hampson, d'après JEPSON, W.F., (5) Valve, vue latéro-ventrale, (6) Valve, vue ventrale, (7) Juxta, vue ventrale.

1.5. BIOLOGIE DE SESAMIA CALAMISTIS HAMPSON.

La femelle de sésamie manifeste, en élevage, un net preferendum de ponte pour les jeunes pieds de mais. Cependant, dans la nature, il est difficile de trouver des pontes sur mais. Il semblerait que le papillon préfère déposer ses oeufs sur des graminées à port touffu et bas dont les feuilles tendres sont aptes à nourrir les jeunes larves. Au fur et à mesure qu'elles se développent, les chenilles abandonnent leur première plante-hôte pour rechercher alentour d'autres végétaux plus en rapport avec leur taille et leurs besoins nutritifs. Ces migrations n'interviennent pas avant le quatrième stade (APPERT, 1971). Cet auteur a pu constater la présence de jeunes chenilles sur des touffes de Permisetum sp. dont les rejets, petits et rendres, composent une masse touffue, couvrant le sol ; plus âgées, les chenilles migrent sur Trypsacum sp., dont les tiges, plus grosses et plus érigées, leur permettent de poursuivre et de terminer leur croissance. L'activité des adultes est crépusculaire. La femelle pond sur la plante-hôte entre la tige et les gaînes foliaires qui l'enserrent étroitement. Grâce aux valves de l'ovipositeur, la fenelle écarte légèrement la gaîne et dépose ses oeufs sur la face interne de celle-ci. Ces oeufs, blanc-crème au moment de la ponte, sont déposés en deux ou trois rangées et sur une seule couche, formant une plaque plus ou moins importante, irrégulière, généralement allongée dans le sens de la tige.

Pour ce qui concerne le nombre des oeufs pondus par femelle, les principales indications que nous avons pu relever, sont :

- 300 d'après INGRAM (1958),
- 300, en moyenne, mais une femelle peut pondre jusqu'à 540 oeufs, d'après HARRIS (1962).

Le développement embryonnaire dure de 7 à 10 jours d'après BRENIERE (1977), 7 à 9 jours d'après INGRAM (1958), 6 à 7 jours d'après HARRIS (1962) et 5 jours d'après MOUTIA (1954), il s'agit, sans aucun doute, de différences liées au biotope.

L'éclosion débute au lever du jour et se poursuit toute la matinée. Les jeunes larves s'amassent en colonies, au milieu d'un enchevêtrement de fils que chacune secrète dès sa sortie du chorion.

Elles demeurent ainsi groupées derrière la gaîne de la feuille, à l'emplacement de la ponte, jusqu'en fin de journée.

Au cours du premier jour de leur existence, les chenilles commencent à s'alimenter en rongeant superficiellement, aussi bien la face interne de la gaîne, que la tige. Le lendemain, le grégarisme cesse progressivement de se manifester : certains individus commencent à se diriger vers le sommet de la plante et s'installent dans le cornet, tandis que d'autres disparaissent derrière la gaîne de la feuille et pénètrent dans la tige par un orifice qu'elles forent et d'où sort de la sciure qui, pratiquement, l'obstrue.

ANGLADE (1972), chez une espèce voisine, Sesamia nonagricides Lef., note que les néonates se nourrissent d'abord de la gaîne foliaire puis peuvent se comporter de deux façons différentes:

- les chemilles cheminent sous la gaîne, vers le noeud supérieur, percent la base de la gaîne supérieure et s'installent dans la zone de contact étroit entre la gaîne et la tige; elles décortiquent alors la gaîne de façon annulaire.
- si elles rencontrent une ébauche d'épis, les chenilles peuvent aussi y pénétrer.

En général, les larves issues de la même ponte passent par le même trou d'entrée, dans la tige; on les trouve, entassées, plus ou moins engagées dans la moelle, à côté de cette ouverture.

MOUTIA (1954) a constaté, à l'Ile Maurice, que, au bout de 15 à 25 jours, selon la température, les chenilles émigrent des herbes qui les ont hébergées jusque là vers les tiges des jeunes plants de canne à sucre. Elles quittent ces dernières après 15 à 18 jours, dès que débute la flétrissure du coeur de la plante, ou "dead heart" pour s'attaquer

de nouveau à d'autres tiges. Généralement, entre le 3ème et le 7ème stade larvaire, une chenille peut s'attaquer au moins à trois tiges de canne.

A la fin du développement larvaire, les chenilles cessent de s'alimenter et choisissent un endroit sec pour s'y nymphoser après avoir aménagé une logette, à proximité du trou d'entrée.

La durée des stades larvaires est de 4 à 5 semaines d'après BRENIERE (1977); APPERT (1967), 30 à 50 jours d'après HARRIS (1962), 48 à 76 jours d'après MOUTIA (1954) et 27 à 36 jours d'après INGRAM (1958).

Le nombre de stades larvaires est de 7 d'après MOUTIA (1954) et APPERT et RANAIVOSOA (1970), et 6 d'après INGRAM (1958).

La durée du stade nymphale est de 7 à 13 jours d'après HARRIS (1962), 10 à 12 jours d'après APPERT (1967) et INGRAM (1958), 10 à 14 jours d'après BRENIERE (1977) et 12 à 16 jours d'après MOUTIA (1954).

D'après INGRAM (1958), le mâle meurt dans les 24 heures qui suivent l'éclosion alors que la femelle vit en moyenne 3 à 4 jours. Pour BRENIERE (1977), par contre, la longévité moyenne des adultes est de 4 à 5 jours, aussi bien pour le mâle que pour la femelle.

En pays tropicaux, sous climat humide, le cycle évolutif de Sesamia calamistis est pratiquement ininterrompu et pourrait comprendre 5 ou 6 générations (BRENIERE, 1977).

. Par contre, la sécheresse et le refroidissement peuvent entraîner des retards de développement d'autant plus importants que ces facteurs défavorables sont accusés.

Les chenilles âgées se mettent en état de quiescence au début de la saison sèche en attendant le retour des pluies ou la remontée de la température, mais cette situation n'est possible que si la plante-hôte est elle-même desséchée (cas du mais, sorgho, riz). La canne à sucre, qui garde toujours une bonne turgescence, permet, sous les

climats tropicaux, le maintien en activité des populations hivernantes.

1.6. DEGATS.

APPERT et RANATVOSOA (1970) ont procédé à des infestations artificielles sur diverses plantes à différents stades végétatifs ; ils ent ainsi pu préciser les conséquences des diverses périodes d'attaques.

1.6.1. SUR MAÏS.

- Attaques précoses sur jeunes pieds de 15 à 50 centimètres de haut.
- Attaques sur des plants de l mètre jusqu'au stade précédant la sortie de l'inflorescence mâle.
- Attaques tardives sur plants en cours de fructification.

- Dépérissement total et rapide.
- Dépérissement en cas de surpopulations.
- Dommages peu apparents si l'infestation est modérée et le mais en bon état végétatif.
- Développement normal si les inflorescences mâles et les épis ne sont pas touchés.
- Avortement des grains si la hampe florale est coupée avant la déhiscence des anthères ou si les épis sont attaqués précocement.
- Perte des épis directement attaqués.

1.6.2. SUR RIZ.

Le riz n'est pas réceptif aux larves de Sesamia pendant la période de tallage.

- Attaques au stade montaison
- Attaques durant la période épiaison-floraison.
 - Attaques tardives

- Mort des plants par dessèchement des feuilles.
- Perte plus ou moins totale par production d'épis blancs, "white heads".
- Section de la hampe de l'épi: perte totale.

1.6.3. SUR CANNE A SUCRE.

La chenille s'attaque surtout aux jeunes plantations et plus particulièrement aux rejets lorsque ceux-ci atteignent 20 cm. Au-dessus de 80 cm les attaques deviennent plus rares, car la larve préfère les tissus tendres. Les dégâts se manifestent par le dessèchement de la feuille centrale du rejet, entraînant la mort de celui-ci.

1.7. MOYENS DE LUTTE.

Les dégâts provoqués par les foreurs du mais en Côte d'Ivoire et particulièrement Sesamia calamistis sont comparables à ceux provoqués par la pyrale du mais Ostrinia nubilalis en Europe, décrits par GUENNELON (1964) qui montre bien l'importance économique de ces foreurs.

Les infestations peuvent être parfois importantes et contribuent directement ou indirectement à une baisse de rendement : l'affaiblissement de la plante, en entravant la montée de la sève, affecte le remplissage des grains, entraînant ainsi une diminution de la qualité marchande de la céréale.

Les galeries pratiquées dans la tige ou dans le pédoncule de l'épi, peuvent provoquer la chute de ces derniers ; c'est un phénomène courant dans les régions à vents violents (GUENNELON, 1972) ou avec orages et tornades, comme en Afrique.

Dans la plupart des cas, le petit agriculteur n'intervient pas contre les insectes sans aide extérieure, ceci est encore plus vrai dans le cas des larves endophytes contre lesquelles la lutte est difficile et nécessite la mise au point d'un programme d'interventions basées sur une bonne connaissance de l'écologie et de la biologie des ravageurs.

1.7.1. LUTTE CHIMIQUE.

En règle générale, la réussite de la lutte chimique exige la connaissance précise de la biologie du ravageur dans une région donnée (par exemple, il est nécessaire de déterminer le nombre de générations de l'insecte et le déroulement de chacune de ces générations ; il est également indispensable de savoir si l'insecte subit une diapause, et à quel état). L'examen du comportement de chacun des stades de l'insecte en fonction de la phénologie de la plante-hôte et l'étude des rapports entre la plante et l'insecte sont essentiels pour déterminer dans quelle mesure ces stades peuvent être vulnérables à des traitements insecticides. Enfin, le niveau de population, qui correspond à un certain degré d'infestation des plantes, ne doit pas dépasser le seuil économique. Le degré d'attaque est en effet très variable d'une culture à l'autre et d'une année à l'autre, en raison de nombreux facteurs parmi lesquels les plus importants sont : le climat, le parasitisme et les conditions culturales.

En outre, il faut procéder à ces traitements insecticides en évitant d'une part tout gaspillage et, d'autre part, en respectant les règles de sécurité afin d'éviter tout risque d'intoxication pour l'opérateur et le consommateur et sans mettre trop en danger les équilibres biologiques (sol, eau, faune utile...)

Les observations du comportement de Sesaria calamistis Hampson, de l'éclosion à la nymphose, montrent que le moment où les larves peuvent être vulnérables à des traitements insecticides se situe entre l'éclosion de l'oeuf et la pénétration dans la tige (APPERT, 1971).

APPERT et RANAIVOSOA (1970) ont montré que, sur le mais, par suite de son mode de vie endophyte, le ravageur ne peut se trouver au contact du toxique que durant de brèves périodes de son existence : au moment de la ponte, lors de l'éclosion des jeunes larves et quand les chenilles sortent de la tige pour migrer.

BRENIERE (1977) montre qu'il faut diriger la lutte insecticide d'une manière précoce, avant que les chenilles aient pénétré en profondeur. Cet auteur (1966) a montré que les traitements insecticides doivent être effectués au début de l'infestation et qu'il importe donc de pouvoir en réaliser la prévision. Cette infestation est sous la dépendance de facteurs limitants ou favorisants très complexes. liés étroitement aux variations du milieu végétal et donc du climat et des interventions humaines. Pour parvenir à une estimation "utile" du seuil économique, il faudrait pouvoir établir une relation entre les comptages de ponte ou les piégeageslumineux d'adultes et les pertes de rendement. Ceci nécessite de longues années d'étude et une excellente organisation des structures paysannes. Enfin, les traitements doivent être renouvelés tous les buit jours pendant toute la période où les pontes sont déposées en abondance et souvent jusqu'à l'épiaison ce qui peut nécessiter jusqu'à huit répétitions. Etant donné que les adultes de S.calamistis ont une activité crépusculaire et sont attirés par la lumière, le piégeage lumineux, sans doute insuffisant comme moyen de lutte, est par contre, intéressant pour suivre la dynamique des populations ce qui peut permettre de réduire le nombre de traitements voire même d'annuler, dans certains cas, les traitements préventifs.

APPERT (1967) montre que l'époque du traitement a une importance capitale. Il n'est pas souhaitable de la calculer en fonction de la date de semis ou de la germination car les aléas climatiques rendent imprécis les chiffres obtenus à partir de ces données. Il est préférable de se baser sur la date de ponte puisque-la durée du stade oeuf est connue.

Le mieux est de traiter avec un insecticide persistant depuis le début des éclosions et durant tout le temps de l'infestation. Si celle-ci est continue et se prolonge au-delà de la rémanence du produit, plusieurs interventions sont à prévoir à condition qu'elles s'avèrent rentables. Les insecticides organo-chlorés (DDT-ECH-Dieldrine) ont donné des résultats satisfaisants mais la plupart de ces produits sont exclus actuellement du marché à cause de leur toxicité importante et du danger qu'ils présentent pour les consommateurs et pour l'environnement. L'épandage massif par des moyens mécaniques (pulvérisation ou poudrage) est peu précis, moins efficace et en définitive nettement moins économique que les traitements par dépôt à la main d'une pincée d'insecticide sous forme de microgranulés dans le cornet foliaire ou au niveau du sol; cette méthode présente en outre l'avantage d'assurer un effet rémanent très supérieur (APPERT, 1967).

Une seule application par ce procédé, pratique et d'une efficacité reconnue, suffit souvent (APPERT et al. 1970, HOUILLER, 1958, in litt.).

Cette technique d'application permet ainsi de lutter non seulement contre les larves nouveau-nées, mais aussi contre les chenilles ayant commencé à se développer dans la tige, à condition que le produit utilisé ait des propriétés systématiques.

Les insecticides systématiques (ou endothérapiques) résolvent donc en grande partie les difficultés que présente la lutte contre les larves endophytes, c'est la raison pour laquelle ils sont considérés actuellement comme les mieux adaptés pour le contrôle de ces insectes.

Plusieurs insecticides ont été testés avec succès contre les foreurs du genre Sesamia. CARESCHE et BRENIERE (1962) conseillent, sur canne à sucre, des traitements à l'Endrin qui agit par ingestion et contact, en pulvérisation tous les quinze à vingt jours, suivant la rapidité de la végétation. La dose d'Endrin à prévoir s'échelonne de 400 à 600 g de m.a. par ha, selon le stade de la végétation. La pulvérisation doit être uniquement dirigée sur la ligne de cannes.

ADEYEMI et al. (1966), sur mais, montrent que l'Endrin donne de bons résultats contre les foreurs des tiges au Nigéria (Sesaria calamistis, Busseola fusca et Eldana saccharina). D'autre part, ces auteurs obtiennent des résultats satisfaisants avec deux pulvérisations de Carbaryl, 10 à 14 jours et 20 à 24 jours après la germination du mais.

INGRAM (1958) obtient un contrôle partiel de Sesamia et une récolte moyenne, par un traitement chimique hebdomadaire.

LESPES, au Maroc (in ANGLADE, 1972), signale que des applications de Roténone ou de Dieldrine, sur mais et sorgho, pour lutter contre les larves de Sesamia nonagriciaes, donnent dans certains cas des résultats relativement efficaces; trois traitements effectués pendant la période où la population imaginale est la plus nombreuse ont entraîné une augmentation de récolte de 30%.

APPERT (1967) conseille, à nouveau, contre ce ravageur, sur canne à sucre, l'Endrin à raison de 400 à 600 g de m.a/ha tous les 15 jours. Par ailleurs, cet auteur indique que l'emploi du Carbaryl en pulvérisations, à raison de 1000 à 2500 g de m.a/ha, selon l'importance du développement foliaire, donne de bons résultats, de même que le Trichlorfon, sous forme de granulés, appliqué à raison de 7,5 kg/ha à 25% de m.a.

HEERDEN (1967, in BINSO, 1980) estime que l'Endosulfan, avec 227 g de m.a. pour 455 litres d'eau, par hectare, est le meilleur des insecticides qu'il ait testé contre Sesamia calamistis. Cet insecticide assure un bon contrôle s'il est appliqué deux et quatre semaines après la levée, avec un troisième traitement à l'épiaison, et un quatrième 10 à 14 jours après.

Le Monocrotophos, qui a une action systémique mais qui agit également par contact, est utilisable lorsque les précautions relatives à sa toxicité élevée peuvent être prises (DL_{50} pour le rat, par ingestion : 8 à 23 mg/kg).

La mise en place d'essais de traitements insecticides et la recherche de moyens pratiques d'avertissement (piégeage lumineux et comptages de pontes) ont permis la mise au point de moyens de lutte efficace contre les ennemis du riz. Parmi les principaux résultats pratiques qui ressortent de cet ensemble d'études (BRENIERE et LACOSTE, 1962; BRENIERE et RODRIGUEZ, 1963 et BRENIERE, 1963) on peut relever la classification suivante, de divers produits, en fonction de leur efficacité contre les insectes foreurs des tiges :

- Carbaryl, Azinphos-ethyl, Fenthion, Endrin : très actifs ;
- Diazinon, Dimethoate, Endosulfan, Oxydemeton-methyl : médiocres ;
- Trichlorfon, DDT : pratiquement inefficaces.

Enfin, APPERT et RANAIVOSA (1970) montrent que le Diazinon et l'Endosulfan donnent de bons résultats en application sous forme de microgranulés dans le cornet foliaire. En riziculture irriquée, à condition que l'on possède la maîtrise de l'eau et qu'il soit possible de draîner ou de ramener la hauteur d'eau à moins de 5 centimàtres, le meilleur procédé de lutte consiste à épandre, dans l'eau, de l'insecticide en granulés. Le Lindane, qui donne satisfaction contre le borer blanc, Maliarpha separatella, est inefficace contre Sesamic, aussi lui préfère-t-on le Diazinon à la dose de 3 kg de matière active à l'hectare (rémanence, trois à quatre semaines). L'Endrin est formellement déconseillé en riziculture traditionnelle paysanne, en raison de la persistance de ce produit et de sa forte toxicité rendant l'eau de la rizière parfaitement abiotique.

1.7.2. LUTTE BIOLOGIQUE.

Comme beaucoup d'insectes, les sésamies ont leurs parasites naturels appartenant surtout aux deux ordres des Hyménoptères et des Diptères.

JEPSON (1954) indique qu'en Afrique, il y a habituellement dans chaque territoire, dans le complexe parasitaire un parasite principal : un Braconide en Afrique du Sud, un Tachinide en Rhodésie, un Scelionide parasite d'oeufs au Soudan...

De même, INGRAM (1958) estime que Pediobius furoum, hymenoptera, Eulophidae) est la principale des espèces parasites des foreurs de tige en Uganda.

JERATH (1968) indique que le Tachinide, Descampsina sesamiae, est le principal parasite des foreurs de canne à sucre au Nigéria, dans l'état de Bacita, situé dans la zone de savane guinéenne. Il représente entre 73 et 84% du total des parasites récoltés sur ces ravageurs. Cet auteur dresse une liste de 12 espèces de parasites (Diptères et Hyménoptères), obtenus des larves et chrysalides des foreurs de tige de canne à sucre au Nigéria.

RISBEC (1960), pour le Sénégal et le Mali, HARRIS (1962), pour le Nigéria, ont identifié beaucoup de parasites naturels des déprédateurs dumais en Afrique occidentale, mais ceux-ci n'ent encore fait l'objet d'aucune opération de lutte biologique.

Par contre, à l'Ile Maurice et à Madagascar, Sesamia calamistis a fait l'objet de plusieurs programmes de lutte biologique sur canne à sucre. Ainsi, Xantopimpla stemmator (Hymenoptera, Ichneumonidae) a été introduit de Ceylan à Maurice par MOUTIA, en 1952.

A Madagascar, Apanteles sesamiae (Eymenoptera, Braconidae) a été introduit, à trois reprises, d'abord en 1955, puis en 1968 et 1969, mais chaque fois sans succès. Peaiobius furvam, importé de Kampala en Mars 1968, s'y est par contre parfaitement acclimaté puisque deux ans après son introduction APPERT et al.(1969) notent que, sur les plateaux malgaches, il entraîne une diminution très sensible des populations de S.calamistis encore qu'il faudraît évidemment démontrer que cette baisse n'est pas liée à d'autres facteurs ce qui est toujours le grand problème écologique de ces modes de lutte.

Sur l'ensemble du continent africain, il n'y a pas eu d'introductions d'entomophages parasites de S.calamistis. En Côte d'Ivoire, et dans la plupart des pays où vit S.cala-mistis, il existe une période pluvieuse et une période sèche. La saison sèche permettrait l'élevage au laboratoire et l'accumulation des parasites jusqu'à la période d'activité maximale du ravageur déterminée à partir de la connaissance précise de la date de ponte, les lâchers de parasites s'effectuant alors, pendant la saison des pluies (in BINSO, 1980).

Aucun microorganisme pathogène n'a été expérimenté sur Sesamia sp. Des larves de foreurs de tiges du mais mortes de viroses ou autres maladies ont été confiées au laboratoire de pathologie des insectes de l'I.R.C.T. à Bouaké et pourront peut être servir dans la lutte microbiologique contre ces ravageurs (BINSO, 1980).

Par contre, ANGLADE (1972) indique que des maladies affectent gravement les populations hivernantes de Sesamia nonagrioides, en France. De nombreux germes pathogènes, isolés de chenilles provenant du Sud-Ouest, figurent dans la collection de C. VAGO à la Station de Recherches Cytopathologiques de Saint-Christol les Alès. En particulier, on y trouve la bactérie Bacterium paracoli et les champignons Fusarium moniliforme (Scheld) et F. roseum (Link) qui sont les formes conidiennes des agents des pourritures des tiges du mais : Gibberella jeae et G. fujikuroi. On y trouve également un Beauveria qui se développe sur les chenilles hivernantes.

1.7.3. METHODES CULTURALES ET SELECTION DE VARIETES RESISTANTES.

Lorsque l'état végétatif d'une culture vivrière laisse à désirer (comme c'est souvent le cas en culture paysanne africaine, la
plante croissant sur un sol épuisé et non fumé), les pertes provoquées
par les foreurs sont beaucoup plus sensibles, le végétal n'ayant pas
la vigueur nécessaire pour pallier les conséquences de la présence de
l'insecte sur sa fructification. Une culture saine issue de semences
sélectionnées, bien fumée et bien arrosée, est moins vulnérable et mieux
à même de compenser les dommages des insectes. De même, l'élimination
des graminées sauvages dans les champs est une mesure susceptible d'en-

traver l'infestation de la culture par les foreurs.

En matière de protection de la canne à sucre, le mais a été souvent utilisé comme plante piège, à La Réunion et à Maurice, en interligne dans les champs de cannes (BRENIERE, 1977).

NEPVEU et AUDEMARD (1953) ont souvent observé, sur le mais, qu'après une irrigation sérieuse, les chenilles de sésamies sont chassées vers l'extérieur, noyées dans une formation mucilagineuse claire, secrétée par la plante et emplissant les galeries. Elles sont alors à la merci de toutes les destructions possibles : insecticides, parasites, Oiseaux, Rongeurs. La destruction des sésamies endophytes par l'irrigation, suivie d'un traitement insecticide, pourrait donc être envisagée puisque les larves sont plus nombreuses dans les tiges que dans les épis, après floraison.

La plupart des foreurs possèdent un large éventail de plantes hôtes. La connaissance de ces hôtes intermédiaires permet rarement d'envisager une lutte préventive efficace basée sur leur seule destruction, mais bien qu'il soit difficile d'influer sur les peuplements de ces végétaux dont l'influence domine souvent le milieu agricole africain (BRENIERE, 1971), l'étude écologique des foreurs hors des végétaux cultivés peut à la fois expliquer le dynamisme de leurs populations et constituer la base de la recherche de leurs parasites naturels, tant des entomopathogènes que des entomophages.

Les chenilles de foreurs, poursuivant leur développement dans les tiges après la récolte du mais, celles-ci constituent ainsi un réservoir de ravageurs pour les cultures suivantes. La destruction de ces tiges desséchées permettrait donc de réduire les populations de l'insecte. Cette opération serait à faire surtout pendant la petite saison sèche. Les pieds de mais doivent être détruits immédiatement après la récolte, les débris de pieds et les chaumes étant enfouis profondément ou brûlés. Cette méthode de destruction suivie de l'enfouissement des chaumes et des fragments de tiges après la récolte a toujours été préconisée pour la lutte contre les foreurs de tiges, en général.

ANGLADE (1972) note que l'incinération des tiges a été longtemps préconisée et même rendue obligatoire dans certaines régions (Landes, Italie).

Dans le cas précis de Sesamia calamistis, en Afrique, les méthodes restent semblables. Plusieurs auteurs, MOUTIA (1934), INGRAM (1958), HARRIS (1962) et USUA (1966) ont établi que la destruction régulière des résidus de céréales, des plantes spontanées, de toutes les graminées servant de plantes-hôtes secondaires dans la surface cultivée ou aux alentours, réduirait les attaques des foreurs au début de la saison de culture.

La sélection de variétés résistantes aux foreurs, en Afrique, n'entre pas, à ce titre, dans les préoccupations des généticiens. Ceux-ci s'attachent d'abord à l'obtention d'un matériel végétal à potentiel de rendement élevé. On sait cependant que des différences très nettes de sensibilité aux attaques des foreurs existent entre variétés de canne à sucre en fonction de certaines qualités variétales, notamment la rapidité de croissance et la capacité de tallage.

HARRIS (in BRENIERE, 1971) observe que les variétés de mais hautement productives, introduites au Nigéria, semblent plus sensibles aux attaques de foreurs que les variétés locales. De même, les sorghos nains à tiges fines, dérivés des sorghos américains, sont plus sensibles que les variétés locales à tiges épaisses et de grande taille. Il en est de même en matière de riz ; en 1969, BRENIERE a observé sur riz de plateaux, au Sénégal, de fortes différences entre la sensibilité des diverses variétés à l'égard de Chilo zacconius ; ici encore les variétés introduites sont souvent les plus sensibles.

Cependant, des recherches sur la résistance du mais et du sorgho à la sésamie, sont en cours actuellement dans divers pays (ANGLADE, 1972). Elles ont pour but, d'une part, d'éviter l'introduction de variétés plus sensibles ou plus favorables à l'insecte que les variétés actuelles et, d'autre part, de sélectionner un matériel

végétal possédant des caractères de résistance ou d'"antibiosis" à l'égard de la sésamie.

Des méthodes de tests de lignées ont été définies et utilisées dans les programmes de sélection (ANGLADE, MONTEAGUDO, 1962).

2. CHAPITRE II

ELEVAGE DE SESAMIA CALAMISTIS HAMPSON

Notre recherche a eu pour objectif la mise au point d'une méthode d'élevage permettant la réalisation du cycle complet de l'oeuf à l'adulte pendant plusieurs générations successives, de manière à assurer une production importante d'insectes, dans les conditions de notre laboratoire.

Les premiers essais d'élevage de S.calamistis, menés au laboratoire d'Entomologie Agricole des S.S.C.-Bondy, à partir de 1978, avaient montré que l'utilisation d'un milieu artificiel pour la nourriture des chenilles ne semblait possible qu'à partir d'un certain stade du développement larvaire, (début du 3ème stade, DIEME, 1978; AL SALTI, 1978 et 1979). D'après ces travaux, il semblait donc que le premier problème à résoudre, pour obtenir une véritable production de masse, était la mise au point d'une technique d'élevage des chenilles néonates sur milieu artificiel.

Nous avons bénéficié pour cette recherche des mises au point déjà réalisées, surtout pour ce qui concerne les lépidoptères phytophages et leurs besoins nutritionnels. Les tentatives de mise au point d'un milieu d'élevage pour les lépidoptères remontent en effet à 1942, aux U.S.A., avec les travaux de BOTTGER, suivis de ceux de BECK en 1950 et de VANDERZANT et al. en 1962. Ce dernier a précisé le rôle des divers constituants nutritionnels (acides aminés, glucides, acides gras, sels minéraux et vitamines).

Cette technique d'Elevage s'est par la suite généralisée et, depuis une quinzaine d'années, les travaux portant sur les besoins nutritionnels des lépidoptères et sur la mise au point de milieux synthétiques ou semi-synthétiques se sont multipliés : CHAUTHANI et ADKISSON (1965), SHOREY et HALE (1965), GUENNELON (1967), GUENNELON (1968), CHATTERJI et al.(1969), SENDER (1969), POITOUT et BUES (1970), RAMANAKASINA (1970), GUENNELON, D'ARCIER et AUDEMARD (1970), POITOUT, BUES et LE RUMEUR (1972), RIDET (1972), QURESHI et al.(1972), CAVALLORO et al.(1972), GUENNELON et SORIA (1973), POITOUT et BUES (1974), MOREAU et GAHUKAR (1975), GAHUKAR (1976), BOUNIAS et BONNOT (1977), BORDAT, BRENIERE et COQUARD (1977), PRITAM SINGE (1977), GOUJET et GUILBOT (1979).

2.1 MATERIEL ET METHODES.

Les souches de Sesamia calamistis ont été récoltées dans la région de Bouaké (zone de savanes), en Côte d'Ivoire. Elles sont arrivées au laboratoire d'Entomologie Agricole des Services Scientifiques Centraux de l'O.R.S.T.O.M. à Bondy soit au stade larvaire, soit au stade nymphal. La première souche fut reçue au mois d'Août 1978, la deuxième au mois de Juillet 1979 et la troisième au mois d'Octobre 1979. Les prélèvements dans la nature, ainsi que l'acheminement des insectes, ont été effectués par les soins de l'O.R.S.T.O.M. (1)

Nous avons examiné des préparations de genitalia de et que en faisant référence à la révision de TAMS et BOWDEN (1953); on peut admettre qu'il s'agit bien de Sesamia calamistis Hampson (2).

^{(1).} Office de la Recherche Scientifique et Technique Outre-Mer. Nous remercions M. COCHEREAU qui a bien voulu nous procurer des souches de ces insectes.

^{(2).} Nous adressons nos remerciements au Dr.I.W.B. NYE, du Muséum de Londres (British Museum Natural History), qui a bien voulu nous confirmer cette détermination.

2.1.1. ELEVAGE DES LARVES ET INCUBATION DES OEUFS.

Le milieu utilisé est de composition relativement simple. Il s'agit de la formule que POITOUT et BUES (1970) ont déjà employée pour huit autres espèces de Noctuelles. La seule modification apportée fut l'addition de chlorhydrate de chlortétracycline qui améliore la conservation du milieu et donne une plus grande sécurité aux élevages.

IGNOFFO (1963) a montré que la quantité d'auréomycine ajoutée au milieu (qu'il a mis au point pour Trichoplusia ni.) ne doit pas dépasser 0,03%. Le développement larvaire est ralenti au-dessus de cette dose et la mue ne se fait plus à partir de 0,1%. Cet auteur conseille d'ajouter une faible quantité d'auréomycine, car la richesse du milieu en germe de blé le rend plus sensible au développement des microorganismes.

Nous avons donc ajouté le chlorhydrate de chlortétracycline à la dose de 0,01%.

La fabrication et la conservation de l'aliment artificiel sont par contre inchangées, on en trouvera tous les détails dans les travaux de POITOUT et BUES (1970).

La formulation du milieu semi-synthétique utilisé est donc la suivante :

Constituants	Poids en g. pour une dose	Proportions des constituants %
Eau distillée	170	77,63
Agar-agar	5,00	2,28
Semoule de mais	28,00	12,79
Germe de blé	7,00	3,20
Levure de bière (sèche, en poudre)	7,50	3,43
Acide ascorbique L. (+)	1,00	0,46
Acide benzoique	0,25	0,11
Nipagine (Méthyl para-hydroxy-benzoate)	0,20	0,09
Chlorhydrate de chlortétracline (Spécia)	0,03	0,01

L'élevage des larves est conduit dans une étuve où la température est de 26°7 1°C, et l'humidité relative de 68 à 72%. L'éclairage quotidien comporte 12 heures de lumière artificielle avec 220 lux et 12 heures d'obscurité (Fig.5). Les larves sont élevées soit isolément, soit en groupe pendant les quatre premiers stades larvaires puisque, durant les quatre premièrs stades, les chenilles s'attaquent généralement peu les unes les autres. Par contre, on constate un phénomène de cannibalisme chez les larves âgées, les chenilles en prénymphose et les nymphes nouvellement formées étant fréquemment attaquées par leurs congénères. Nous n'avons observé aucun cas de cannibalisme, dans les boîtes où les chenilles étaient de même âge. Il est donc souhaitable, en élevage, de mettre, dans de mêmes boîtes, des chenilles de même âge.

POITOUT et BUES (1974) ont dû procéder à des élevages individuels en récipients indépendants pour Ecrias insulana BOIDS et Sesamia nonagrioides Lef. en raison du comportement des chenilles qui pratiquent le cannibalisme.

L'élevage en groupe est conduit dans des boîtes cylindriques, en matière plastique, de 8 cm de diamètre et 5 cm de hauteur, avec une épaisseur de 1,5 cm environ de milieu artificiel. Avant leur installation sur le milieu, les oeufs sont immergés pendant 3 minutes dans une solution aqueuse à 2,5% d'hypochlorite de sodium (18° chlorométriques), puis rincés à 1'eau distillée pendant deux fois deux minutes. Les pontes sont ensuite égouttées sur papier filtre, puis disposées dans des boîtes de Pétri afin d'y achever leur développement embryonnaire (6-7 jours). Un tampon de coton humide assure dans ces boîtes une humidité relative élevée, égale ou supérieure à 80%, la température étant de l'ordre de 26°C. Afin de maintenir ces conditions aussi constantes que possible, il faut éviter d'ouvrir les boîtes de Pétri pendant l'incubation des oeufs (Fig.6).

Peu avant l'éclosion, au moment de l'apparition des capsules céphaliques noires (5 jours après la ponte), les oeufs sont disposés sur la surface du milieu, préalablement strié, au moyen d'un pinceau désinfecté.



 $\underline{\text{Fig.5}}$: Elevage des larves de *Sesamia calamistis* sur milieu artificiel, dans une étuve à une température de 26°± 1°C et à une humidité relative de 68 à 72%.

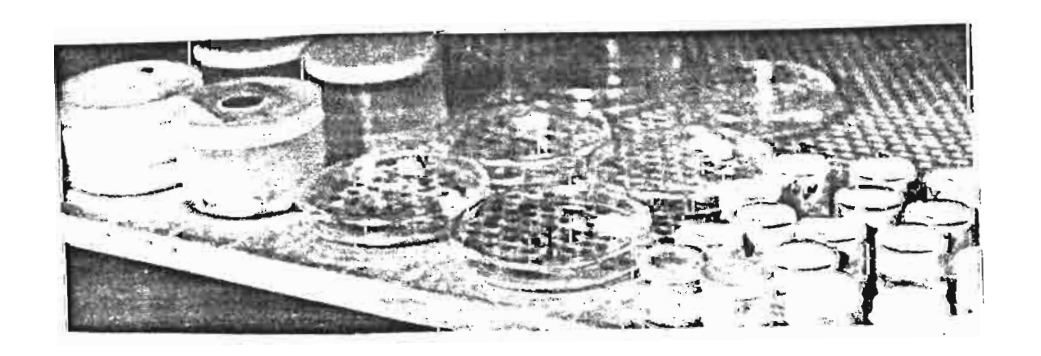


Fig.6 : Pontes de Sesamia calamistis disposées dans des boites de Pétri, avec un tampon de coton, pour achever leur développement embryonnaire.

De coloration jaune pâle au moment de la ponte, les oeufs se colorent en rose à l'approche de l'éclosion, avec apparition des capsules céphaliques noires. Ce changement de coloration intervient environ qurante huit heures après la ponte. Toutes les chenilles issues d'une même ponte éclosent presque simultanément, les oeufs non fécondés sont reconnaissables à leur teinte claire et homogène ; ils se dessèchent d'ailleurs généralement très rapidement. Les larves nouveau-nées se déplacent beaucoup durant les premières heures de leur vie en montant vers le bord des couvercles, manifestant une sorte de géotropisme négatif. Le foreur rose attaque tous les organes du mais à l'exception des racines (APPERT, 1971) et la très jeune chenille ne manifeste aucune tendance à pénétrer dans le milieu par une galerie descendante. Nous avons donc eu l'idée, durant les premières vingt-quatre heures de la vie larvaire de disposer les boîtes d'élevage à l'envers, milieu nutritiel en haut, donc, afin de permettre à la jeune chenille d'y pénétrer par une galerie montante. L'installation des chenilles dans le milieu se trouve ainsi considérablement facilitée. Les boîtes d'élevage sont ensuite retournées, et fermées par un couvercle percé d'orifices grillagés à mailles de 0,105 mm, pendant les deux premiers stades larvaires; puis à mailles de 0,525 mm, 10 à 12 jours plus tard, afin d'éviter la fuite des chenilles tout en leur assurant une aération suffisante. Les élevages individuels sont conduits dans des piluliers de 2,8 cm de diamètre et 3 cm de hauteur, avec une épaisseur de 1 cm environ de milieu artificiel, le couvercle étant percé et muni d'un grillage fin. Ce grillage doit déborder l'orifice du pilulier pour éviter que les chenilles âgées de Sesamias calamistis, très actives et manifestant un géotropisme négatif, ne parviennent à s'échapper en creusant des trous dans le couvercle de plastique. GUENNELON et SORIA (1973) ont observé un phénomène analogue chez Chilo suppressalis Walker.

Les piluliers utilisés, facilement lavables, permettent d'élever les chenilles jusqu'à la nymphose. 48 piluliers peuvent être placés dans des cadres en plastique rigide de 26 x 19 cm, ce qui permet donc une manipulation aisée d'un grand nombre de piluliers à la fois. Quand le milieu, de couleur jaune à l'origine, est devenu brun, signe d'oxydation et peut-être de dégradation pouvant avoir des conséquences sur la valeur nutritive (POITOUT et al.1972), les chenilles sont transférées sur un milieu frais, ceci 2 à 3 fois pendant la durée du développement larvaire.

L'avantage de cette méthode est que l'on favorise la pénétration rapide des larves nouveau-nées dans le milieu, tout en évitant leur fuite. En outre cette méthode, en supprimant les risques de blessure lors du transfert des chenilles nouveau-nées dans le milieu artificiel, permet de maintenir un taux de mortalité larvaire très bas. En général, les échecs de l'élevage des larves néotanes sur milieu artificiel, sont dus, non à leur répugnance pour ce milieu mais au traumatisme du transfert. Notre méthode qui consiste à déposer les pontes sur le milieu a fait cesser cet handicap. Mais les inconvénients sont, d'une part, que l'installation des oeufs dans l'élevage individuel exige beaucoup de temps, d'autre part, que l'élevage doit être surveillé de très près pendant le premier stade larvaire pour éviter les risques de condensation de l'eau. Pour éviter cela, les récipients d'élevage sont disposés à l'envers et sans couvercle au-dessus d'un papier filtre afin de permettre l'évaporation de l'eau libre de surface, pendant 12 heures, avant l'installation des oeufs.

2.1.2. CONDITIONS DE DEVELOPPEMENT NYMPHAL.

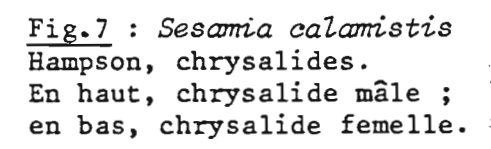
Arrivées à complet développement, les chemilles cessent de se nourrir, entrent en prénymphose et creusent dans le milieu nutritif une logette à l'intérieur de laquelle elles tissent un cocon très lâche où s'effectuera la nymphose. Cependant, certaines chemilles sortent du milieu pour se nymphoser à sa surface et cela sans tisser de cocon.

Les chrysalides ont une coloration brun clair au début de la nymphose puis brun foncé avant la sortie de l'imago. Elles sont récoltées chaque jour à l'aide d'une pince souple désinfectée dans une solution antiseptique; elles sont "sexées" et pesées (Fig.7). A l'aide

d'une loupe binoculaire, on peut distinguer facilement les chrysalides mâles des chrysalides femelles grâce à la situation du pore génital virtuel, nettement plus antérieur chez la femelle que chez le mâle. Chez la femelle, l'orifice de copulation se trouve sur le 8ème segment et l'orifice de ponte sur le 9ème segment (Lépidoptères, Ditrysiens). Chez le mâle, on observe en outre deux protubérances plus ou moins arrondies entre le 9ème et le 10ème segment abdominal. Les chrysalides femelles sont placées individuellement dans des piluliers dont le couvercle est grillagé, les chrysalides mâles sont placées en groupe dans les boîtes d'élevage et l'ensemble, disposé dans l'enceinte de ponte, est étiqueté suivant les dates de nymphose (Fig.8). Un à deux jours avant l'émergence, les chrysalides sont mises en place dans des pondoirs, constitués d'un couvercle de boîte de Pétri, recouvert d'un manchon en grillage moustiquaire de 15 cm de haut et 10 cm de diamètre (Fig.9), ce dispositif permet aux adultes, grimpant le long du grillage, de distendre leur corps et d'étaler leurs ailes dès la sortie des chrysalides (AL-SALTI, 1979).

2.1.3. ELEVAGE DES ADULTES.

Il s'effectue dans les pondoirs, disposés à l'intérieur de . l'enceinte de ponte (en bois et plastique, de 62x48x62cm et dont la base métallique est percée de trous de 1,5 cm de diamètre). Cette enceinte est disposée au-dessus d'un bac d'eau, ce dispositif expérimental permettant d'assurer l'humidité relative très élevée (80 à 90%) indispensable pour le déclenchement des pontes. Cette enceinte de ponte est placée dans une salle climatisée fonctionnant à 27° = 2°C et 45 à 50% d'H.R., avec un éclairage artificiel comportant 12 heures de jour avec 410 lux au niveau de l'enceinte de ponte et 12 heures d'obscurité.



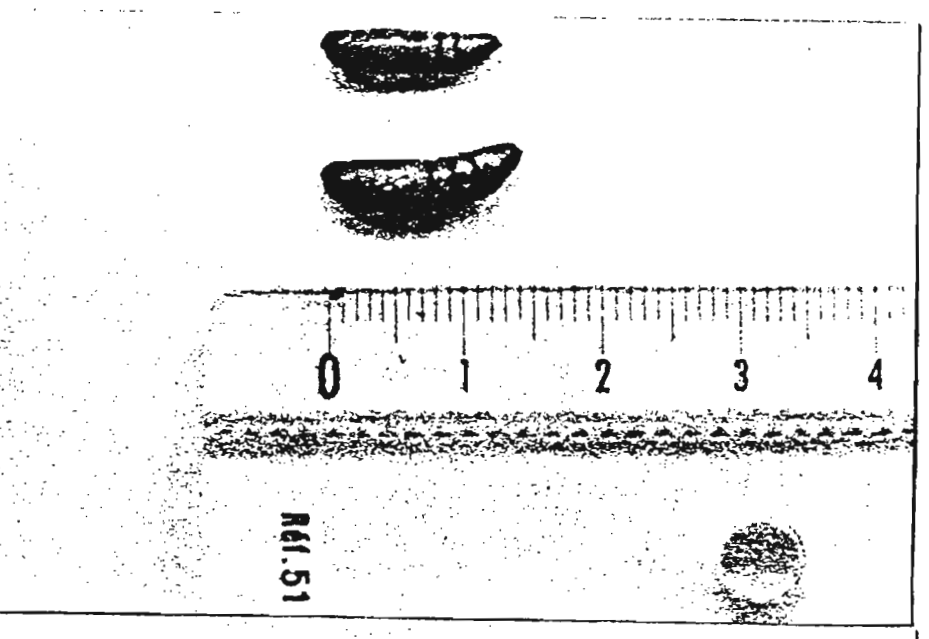


Fig.8: Dispositif expérimental pour le contrôle du développement nymphal.

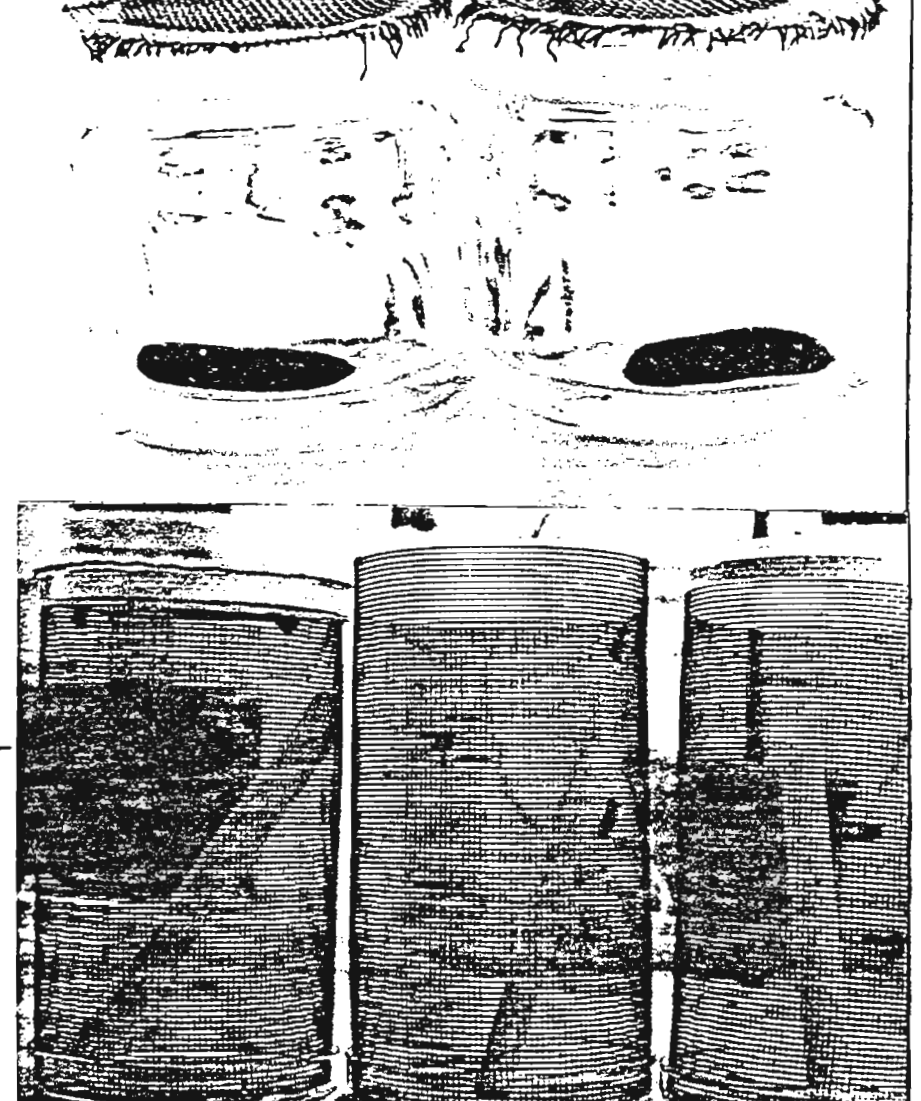


Fig.9: Dispositif expérimental pour l'élevage des adultes.

ANGLADE (in HILAL, 1978) a indiqué que, chez une espèce très voisine, Sesamia nonagrioides LEF., le problème crucial, pour la réussite de l'élevage de masse au laboratoire est celui de l'oviposition. L'insecte ne dépose ses oeufs que sous les gaines des plantes de graminées et tout autre support artificiel ne permet pas le ponte.

Nos expérimentations dans ce domaine ont été basées sur l'observation du comportement de ponte de la sésamie du mais sur pieds de mais au laboratoire. Celle-ci dépose très généralement ses oeufs sur la face interne des gaines foliaires, à quelques centimètres de la ligule ainsi que l'a observé BRENIERE (1976) dans la nature.

En effet, la femelle de S.calamistis ne pond bien que si elle peut insérer son ovipositeur entre deux surfaces rapprochées.

Après une série d'essais, nous avons obtenu la ponte de la sésamie, au laboratoire, en utilisant du papier lisse (90 g/m²) enroulé en cornets spiralés de 15 cm de long et 1,5 cm de diamètre (Fig.10). Les oeufs sont déposés sur la face interne du papier, le long de la spirale, la ponte débutant généralement à la base du cornet. Nous verrons, dans un prochain chapitre, quelle est l'influence du support de ponte.

De l'eau sucrée, à 5% de sucre de canne est offerte aux insectes, dans un flacon abreuvoir garni d'un tampon d'ouate (Fig.11). Dans les pondoirs, les adultes sont disposés soit par couples isolés, soit par 4 à 5 couples. Les conditions d'élevage des adultes par couples isolés semblent mieux convenir à nos insectes, elles sont presque analogues à celles utilisées par POITOUT (1969) et POITOUT et BUES (1970) pour l'élevage de plusieurs espèces de *Noctuidae*.

En effet, il est difficile d'obtenir des ceufs fertiles en grand nombre à partir de papillons groupés car ceux-ci vivent peu de temps. De même, GUENNELON et al.(1970), pour l'élevage au laboratoire de Lobesia botrana DEN. et SCHIFF (Tortricidae) ont montré que la technique d'élevage, par couples isolés, est plus favorable à la survie des adultes. En outre, les papillons femelles vivent quelques

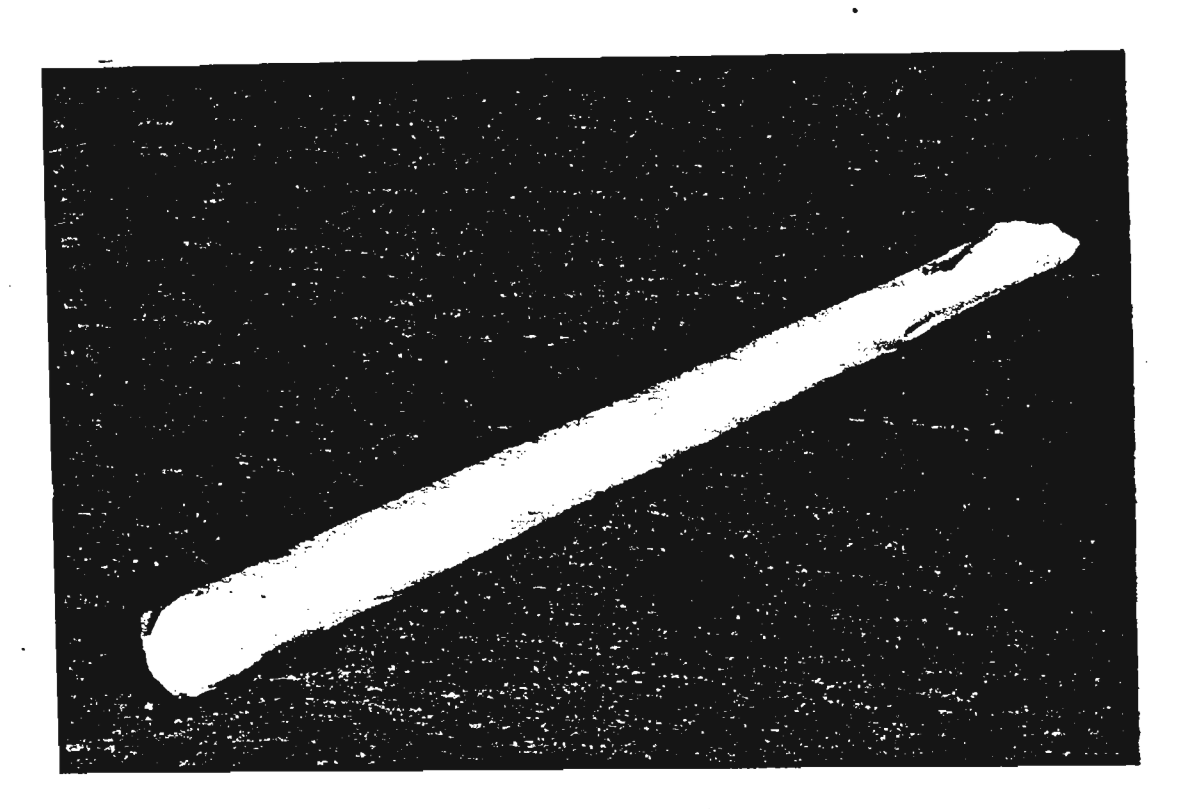


Fig.10 : Le support artificiel de ponte.

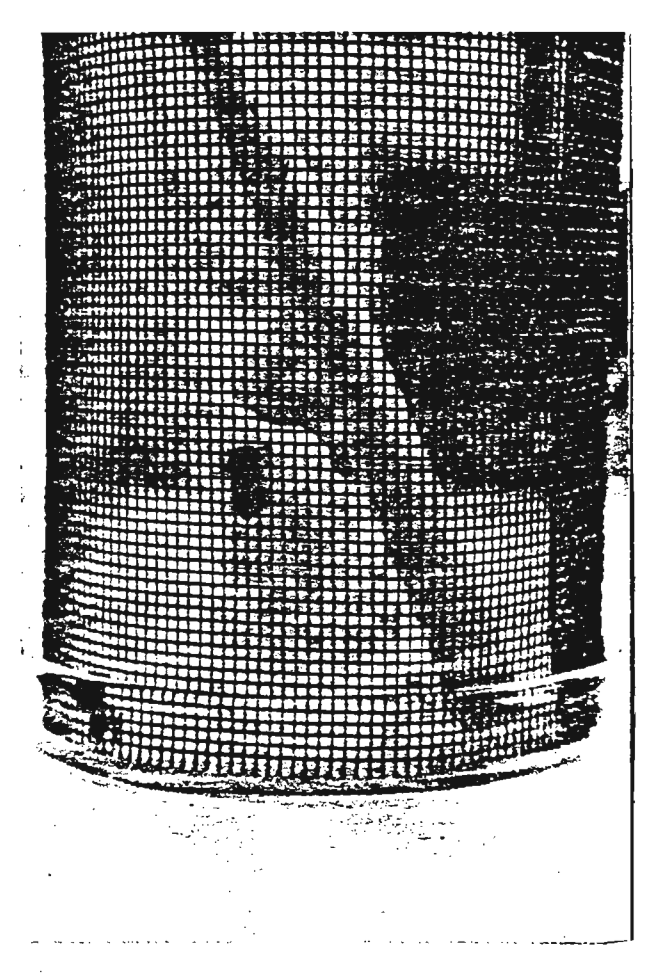


Fig.11 : L'alimentation des adultes de S. calamistis

jours de plus que les mâles, aussi bien dans une production sur fruit que sur milieu artificiel.

2.1.4. ELEVAGE DES LARVES SUR UNE PLANTE-HOTE NATURELLE, LE MAIS.

Les conditions de développement nymphal, l'élevage des adultes et l'incubation des oeufs restent les mêmes. Seule la méthode d'élevage des larves est modifiée. L'élevage en groupe est conduit dans des boites en matière plastique de 26x19x7cm, sur fragments de tiges de maïs, groupés sur un papier buvard (Fig.12 et 13).

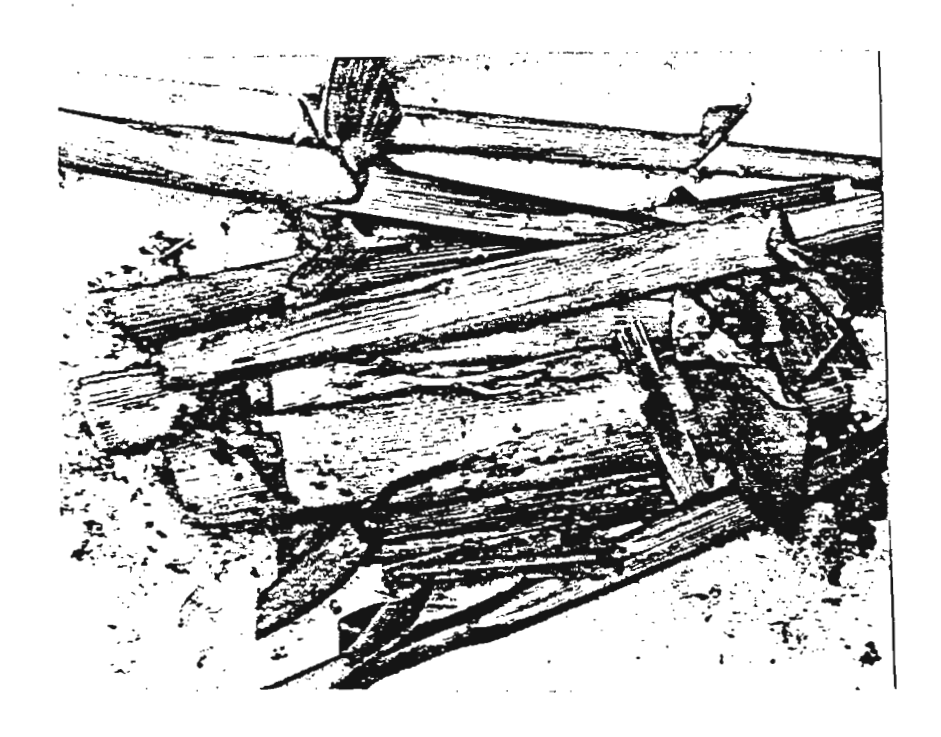


Fig.12: Fragments de tiges de mais attaqués par des chenilles de S.calamistis.

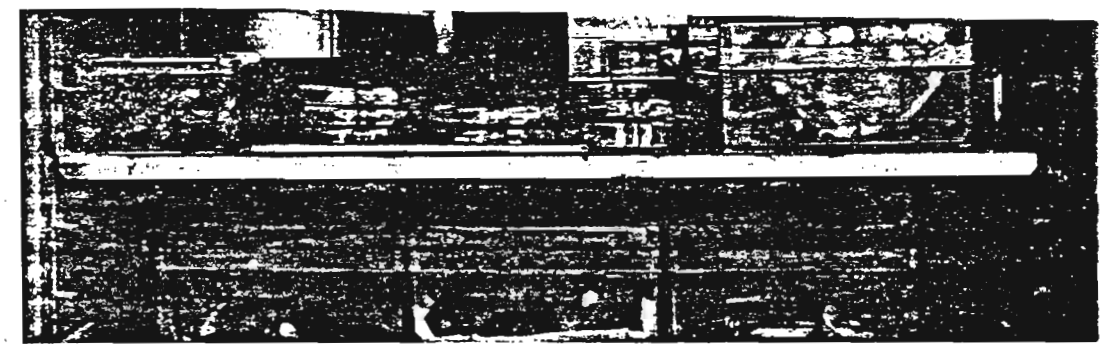


Fig.13: Elevage des larves de S.calamistis sur fragments de tiges de mais placés sur papier buvard en boite plastique.

Pour l'élevage des larves néonates, nous installons de petits fragments de tiges de mais, peu avant l'éclosion, entre les plaques d'oeufs, dans les boîtes de Pétri où ils ont achevé leur développement embryonnaire (Fig.14 et 15). L'élevage individuel sur fragments de tiges de mais est conduit dans des boîtes cylindriques en matière plastique, de 8 cm de diamètre et 5 cm de hauteur, dont le couvercle est percé d'un orifice muni d'un grillage. L'élevage des larves sur la plante-hôte naturelle exige beaucoup de manipulations car il faut transférer les larves sur la nourriture fraîche, plusieurs fois au cours de leur développement. Ainsi un élevage permanent sur la plante-hôte dépend beaucoup des conditions saisonnières et exige un espace et une main d'oeuvre qui dépassent les possibilités du laboratoire.

L'élevage de *S. calamistis* sur le mais au laboratoire nous a toutefois permis de définir le cycle évolutif normal de l'insecte (Fig. 16, 17, 18, 19 et 20) car il n'est pas impensable d'imaginer que la biologie d'un insecte peut être plus ou moins profondément modifiée par une nourriture non naturelle.

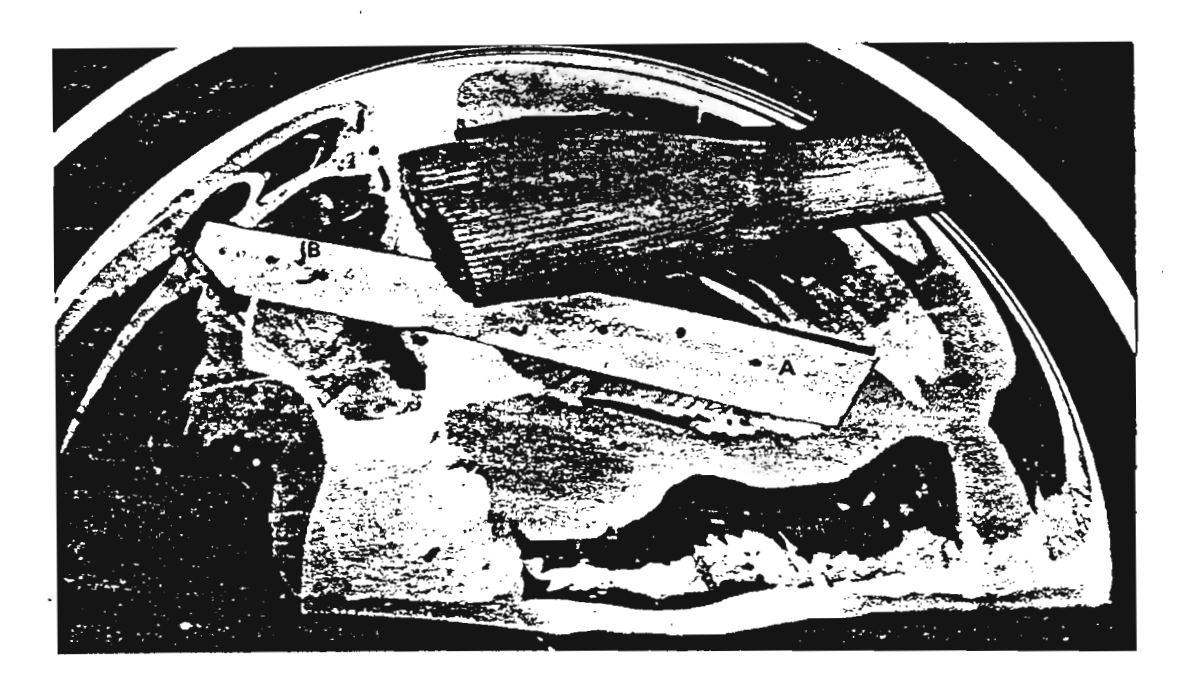


Fig.14: Elevage des larves néonates sur fragment de tige de mais.

A - Ponte de S.calamistis sur un morceau du support artificiel de ponte;

B - Eclosion des oeufs, avec chenilles néonates, dans une boîte de Pétri.

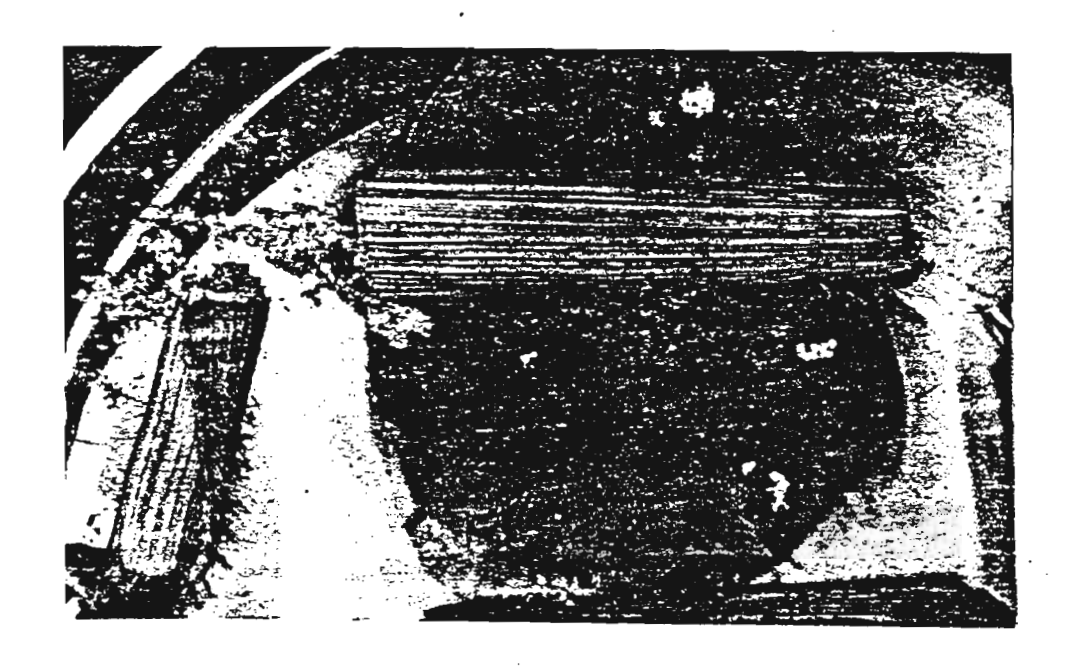


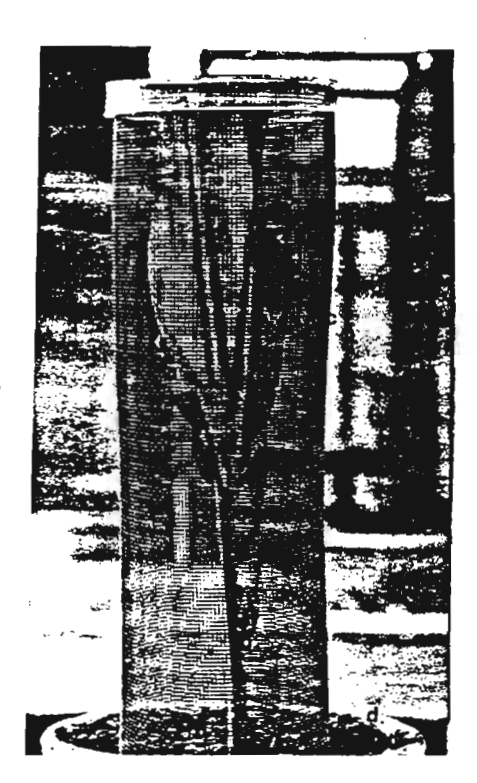
Fig.15: Attaque de chenilles néonates sur des fragments de tige de mais dans une boîte de Pétri.

A - En bas, oeufs éclos.

LE CYCLE EVOLUTIF de SESAMIA CALAMISTIS HAMPSON.

1. L'élevage des adultes.

Fig. 16: Dispositif expérimental d'élevage des adultes. Dès l'émergence, les papillons (a,b) sont déposés sur un jeune plant de mais (stade 4 à 5 feuilles) recouverts par des manchons de grillage moustiquaire (c) et placés sur le pot de fleurs contenant le pied de mais (d).



2. La ponte.

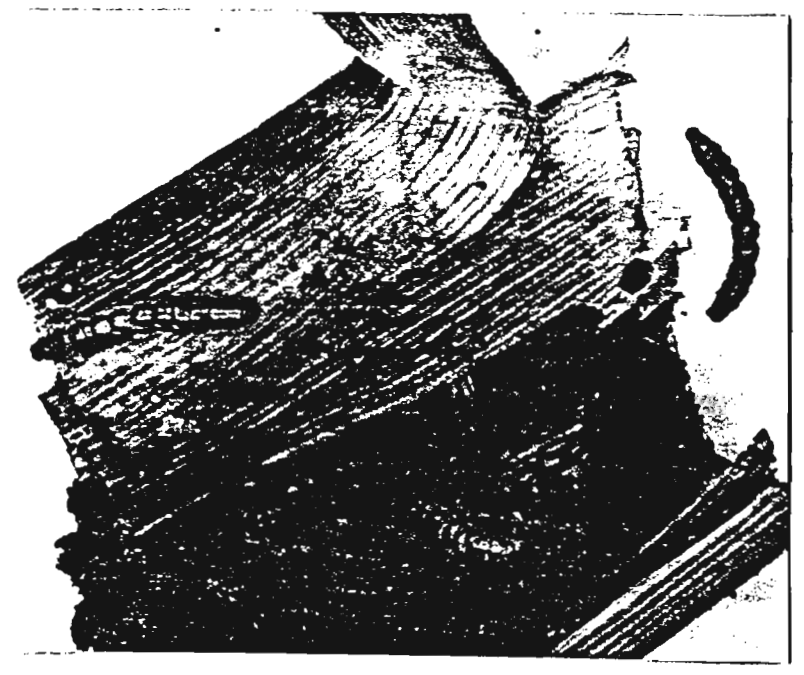
 $\underline{\text{Fig.}17}$: a). La site de ponte de S.calamistis.

b). On voit par transparence les attaques des chenilles néonates à la face interne de la gaine.



3. Le développement larvaire.

Fig.18: Chenilles de 5ème stade larvaire de S.calamistis creusant des galeries dans la moelle d'un fragment de tige de mais.

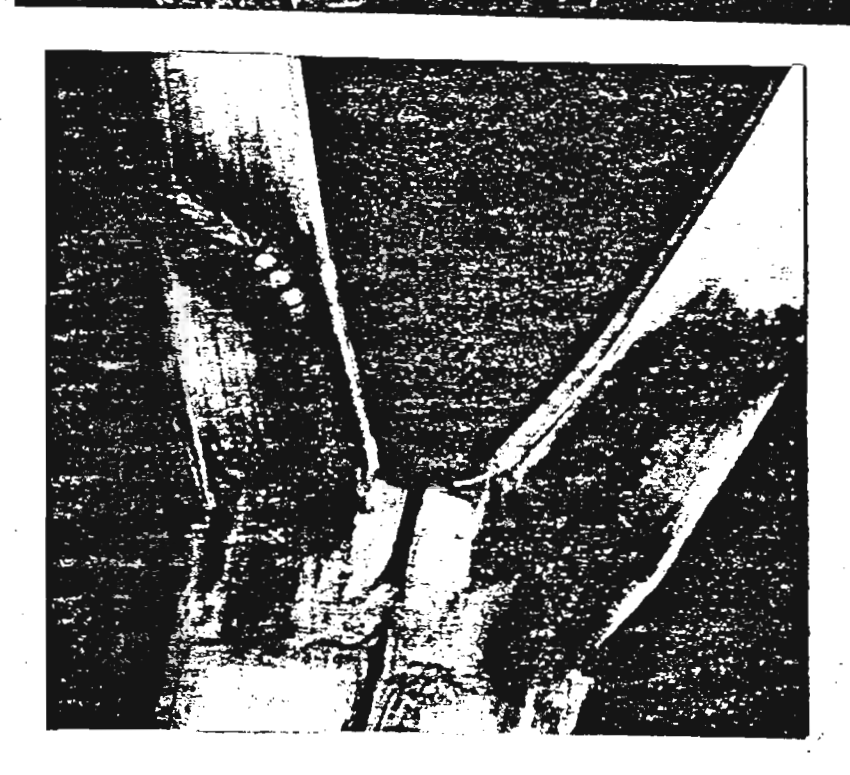




<u>Fig.19</u>: Chenilles de 6ème stade larvaire de S.calamistis

4. La nymphose.

<u>Fig. 20</u>: Chrysalide de S.calamistis dans une loge creusée, par la chenille, dans une tige de mais.



2.2. RESULTATS ET DISCUSSION.

Les techniques décrites ci-dessus ont permis de mettre au point une production importante du ravageur, en laboratoire. Nous avons étudié plus particulièrement les caractéristiques biologiques suivantes : nombre de stades larvaires ; durée du développement larvaire et nymphal, en jours ; poids des chrysalides, en mg ; rendement en adultes exprimé en pourcentage et fécondité moyenne par femelle.

2.2.1. DETERMINATION DU NOMBRE DE STADES LARVAIRES.

Dans l'élevage individuel des larves de Sesamia calamistis HAMPSON, nous avons mesuré la largeur des capsules céphaliques des larves, lors de chaque mue. Nous avons résumé dans le tableau 1, les mensurations effectuées sur les capsules céphaliques de chaque stade larvaire.

Tableau 1

Stade	Nombre de chenilles	Largeur	Largeur de la capsule céphalique (rm)						
Stade	étudiées	x	s	Valeurs extrêmes					
L ₁	30	0,320	0,008	0,306 - 0,332					
L ₂	30	0,495	0,048	0,425 - 0,575					
L3	30	0,686	0,049	0,600 - 0,750					
Lų	30	0,914	0,057	0,800 - 1,025					
L ₅	35	1,360	0,160	1,125 - 1,675					
L ₆	32	1,872	0,190	1,700 - 2,275					
L ₇	15	2,552	0,408	2,000 - 3,025					
	X̄ = Moyenn	e	S =	Ecart-type					

Nous avons observé une assez forte hétérogénéité dans les durées du développement larvaire. C'est ainsi que, dans une même génération, nous avons relevé des individus à 5, 6 et 7 stades larvaires, la proportion de chaque type (1) étant différente, suivant le sexe ou la génération. Le tableau 2 présente le pourcentage de chaque type de développement et les durées moyennes du développement larvaire, en jours. Ces données portent sur des nombres de larves supérieurs à 30 et ont été obtenues à partir de chenilles néonates écloses le même jour et suivies isolément jusqu'à la nymphose, dans les mêmes conditions climatiques et alimentaires.

Tableau 2

rents typ	oportions, en pourcentage, des diffé- ets types de développement larvaire cours de la 6ème génération chez les rves de Sesamia calamistis Hamps.				Durées moyennes du dévelop- pement larvaire pour chaque type, en jours.				
Sexe	Type 5	Type 6	Type 7	Type 5	Type 6	Type 7			
3 7	23,53	64,71	11,76	23,75	31,36	34,00			
우	***	89,47	10,53	-	33,41	35,00			

L'examen du tableau 2 permet de constater que l'espèce présente généralement 6 stades larvaires dans notre élevage et qu'une partie des larves mâles subit moins de mues que les larves femelles. LOMA (1974) a obtenu des résultats comparables avec Chilo suppressalis WAL-KER (Pyralidae). La variation du nombre de stades larvaires est un phénomène observé également chez diverses espèces de Noctuidae. Il peut être expliqué par l'action de facteurs externes (température, alimentation et photopériode) ou internes (hétérogénéité des populations naturelles - lignée (2)) ou encore par leur interaction (POITOUT et CAYROL, 1969). BORDAT et PICHOT (1980) ont observé que le pourcentage

^{(1).} Pour faciliter notre présentation nous indiquons que les larves qui passent par (n) stades sont du "type n".; (2). POITOUT et CAYROL (1969) ont appelé "lignée" la descendance d'un mâle et d'une femelle récoltés dans la nature au stade larvaire = l'aptitude des insectes à se développer suivant un type donné (5 ou 6) varie d'une lignée à l'autre.

de larves de S. calamistis Hamps. du type 5 est de 86% et, du type 6, de 14%; mais ces auteurs, d'une part n'ont pas étudié ces pourcentages en fonction du sexe et, d'autre part, n'ont pas indiqué pour qu'elle génération de l'élevage ce résultat avait été obtenu. A signaler également un changement dans les proportions des éléments constitutifs du milieu artificiel, entre le milieu POITOUT et BUES (1970) qui est utilisé pour notre élevage et celui employé par BORDAT et al.(1980). (Tableau 3).

A Maurice, sur canne à sucre, MOUTIA (1954) a observé une moyenne de 7 mues pour l'élevage des larves de S.calamistis Hamps. et, à Madagascar, APPERT et al.(1970) ont pu compter 7 mues durant la vie larvaire de S.calamistis Hamps.

Les variations du nombre de stades en fonction du milieu ont également été observées chez la noctuelle de la tomate Helicoverpa armigera H.B.N. par POITOUT et CAYROL (1969). LOMA (1974) trouve, chez C. suppressalis WALKER, des larves de type 5, 6 et 7, ceci dans les mêmes conditions de température et de photopériode. DRAVE (1977), également chez C. suppressalis WALKER, remarque, dans une même génération, des larves à 4, 5 et 6 stades. En outre, il a été observé que des manipulations trop fréquentes des larves peuvent provoquer une ou deux mues surnuméraires.

2.2.2. DUREE DU DEVELOPPEMENT LARVAIRE ET NYMPHAL.

聖上与の所 ならある 以 一般に関係 いると

Six générations successives de *S. calamistis* Hamps. ont été produites, pendant un an, sur le milieu décrit. Nous avons évalué la durée du développement larvaire et celle de la nymphose, grâce à l'élevage individuel des larves (tableau 4). Au cours de ces six générations, nous avons contrôlé l'émergence de deux cents papillons (tableau 5); nous avons constaté qu'elle s'effectue entre les 31^e et 54ème jours pour les papillons mâles et les 34^e et 63ème jours pour les papillons femelles, après l'installation sur le milieu des larves nouveau-nées, le maximum se situant entre le 34^e et 48ème jours pour les papillons mâles, le 37^e et le 51ème jours pour les papillons femelles (Fig.21).

Tableau 3

Conditions d'élevage	Température	Photopériode	Intensité lumineuse	Humidité relative
Dans l'élevage de BORDAT et al.	25° ± 1°C	18 heures de jour	3000 à 4000 lux	85%
Dans notre Élevage	- 26°± 1°C pour l'élevage des larves - 27°± 2°C pour l'élevage des nym- phes et adultes.	12 heures de jour	- 220 lux dans l'éle- vage des larves. - 410 lux dans l'éle- vage des nymphes et adultes.	- 68 à 72% dans l'é- levage des larves. - 80 à 90% dans l'é- levage des nymphes et adultes.

TABLEAU 4.

	Effe	ectif	Durfes	moyengas	du dévelo	ppement la	srvaire en	jours	Durées	moyennes	du dévet	erpement n	ymjihal en	jours	Durées mo	rennes du c	lév e lop res	nt larvair	e et nymph	al en jour
Générations	8	\$		8			ş			87			¥			8			\$	
			¥		í	×	я	1	¥		í	×		i	Ī	•	i	x x	•	1
lère	15	15	28,93	1,75	0,89	29,73	1,22	0,62	11,27	1,10	0,56	11,53	1,06	0,54	40,20	2,18	1,10	41,27	1,83	0.93
2≥me	15	15	32,13	2,50	1,27	33,27	2,43	1,23	11,20	1,01	0,51	11,47	1,06	0,54	43,33	2,82	0,73	44,73	2,84	1.44
32me	15	15	32,13	2,88	1,47	33,93	2,58	1,30	11,27	1,03	0,57	11,60	1,24	0,63	43,40	2,90	1,47	45,53	3,14	1,59
Aème	22	18	32,41	4,27	1,78	36,33	5,89	2,72	10,80	0,77	0,34	11,88	1,27	0,60	43,80	4,56	2,00	48,41	6,15	2,93
Sème	15	14	27,53	4,63	2,35	30,36	5,67	7,97	11,87	1,30	0,66	11,43	0,92	0.48	39,40	4,63	2,34	42,36	5,89	3,09
6ème	2)	25	29,87	4,98	2,03	33,24	4,75	1,86	12,14	1,01	0,43	12,78	1,31	0,53	41,91	4,79	1,96	46.04	4,96	2,02
													1	1						
		•	·										L	L	<u> </u>					

▼ : Hoyenne

a : Ecart-type

i : Intervalle de confiance à la probabilité de 5 % (P = 0,05).

Tableau 5: Pourcentages des éclosions d'adultes en fonction de la durée de développement larvaire et nymphal (données portant sur 200 papillons, pendant 6 générations successives).

Fréquence : Nombre de papillons éclos le même jour.

Durées du développement	٠	7	_	2	
larvaire et nymphal en jours	Fréquence	Pourcentage	Fréquence	Pourcentage	
31 - 33	1	0,97	-	-	
34 - 36	9	8,74	3	3,09	
37 - 39	16	15,53	9	9,28	
40 - 42	35	33,98	24	24,74	
43 - 45	20	19,42	21	21,65	
46 - 48	14	13,59	16	16,49	
49 - 51	7	6,80	16	16,49	
52 - 54	1	0,97	6	6,19	
55 - 57	-	-	-	-	
58 - 60	-	-	1	1,03	
61 - 63	-	-	1	1,03	
TOTAL	103	100%	97	99,99%	

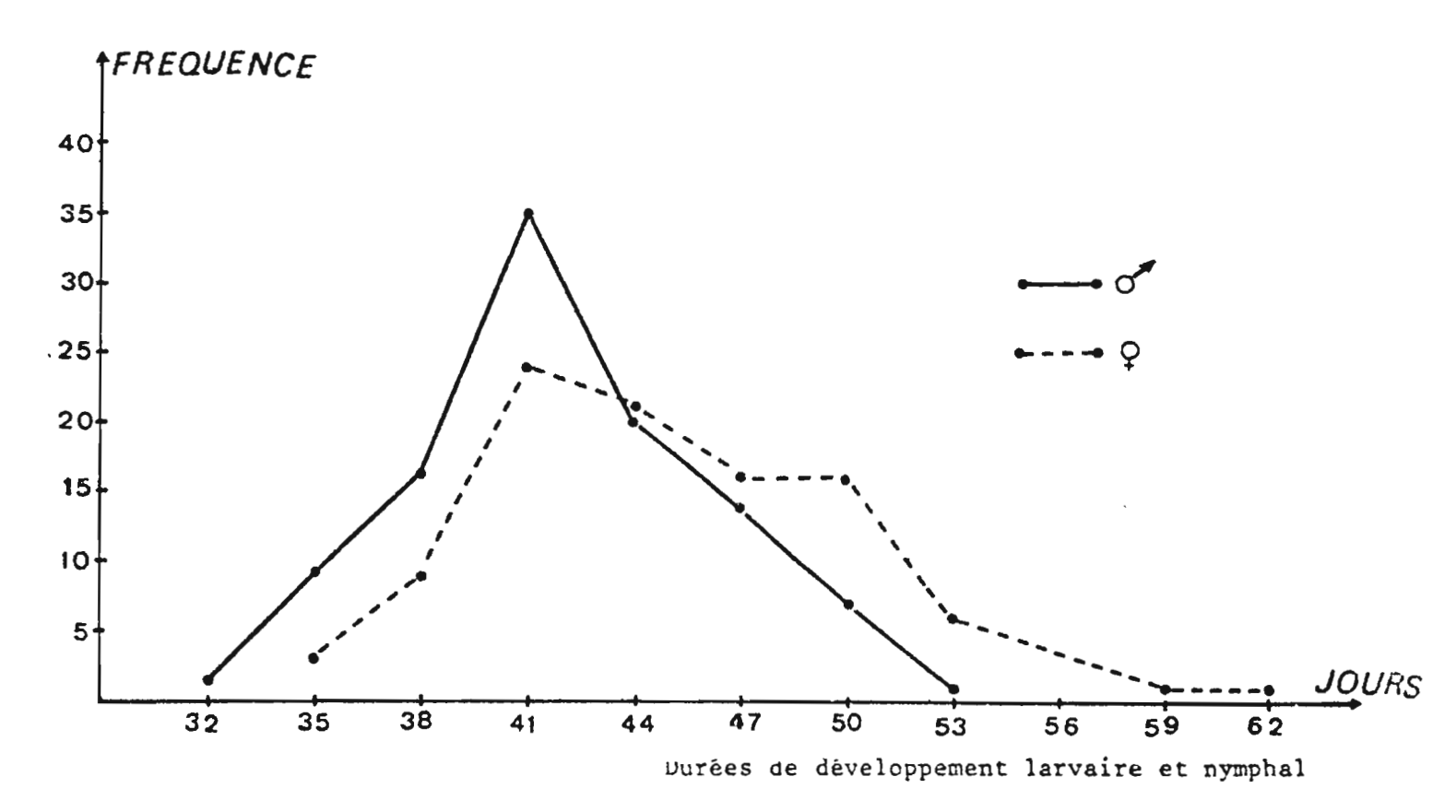


Fig-21- Répartition des émergences d'adultes de Sesamia calamistis HAMPSON (données portant sur 200 papillons).

L'examen du tableau 4 permet de constater l'existence de différences relativement faibles entre les durées moyennes du développement des larves mâles et femelles. Nous observons que le temps de développement larvaire des femelles est légèrement plus long que celui des mâles, cette observation est confirmée par le décalage des émergences (tableaux 4, 5 et Fig.21).

Dans notre élevage, la durée moyenne de l'évolution larvaire est de 28, 93 jours au cours de la première génération pour les individus mâles et 29,73 jours pour les femelles. Elle est donc voisine de celle observée par d'autres auteurs. Ainsi INGRAM (1958) a obtenu une durée de vie larvaire variant de 27 à 36 jours en élevage au laboratoire, BORDAT et al. (1980) obtiennent 25 à 32 jours. A Maurice, sur canne à sucre, MOUTIA (1954) montre que le développement larvaire des chenilles de S.calamistis Hamps. a une durée de 31 à 49 jours. BRE-NIERE (1977) et APPERT (1967) observent que, dans la nature, la vie larvaire varie de 28 à 35 jours. L'examen des durées moyennes du développement larvaire, de leur écart-type et de leur intervalle de confiance, indique, qu'au fur et à mesure que les générations se succèdent, on observe un allongement de la durée moyenne, de l'écart-type et de l'intervalle de confiance, très net dès la 4ème génération. On peut peut-être attribuer cet allongement à des différences de température dans la pièce où se trouve l'étuve, la 4ème génération s'étant développée au mois de Janvier-Février.

Les durées moyennes du développement nymphal, leur écart-type et leur intervalle de confiance, sont restés à peu près constants pendant les six générations successives. La durée moyenne du stade nymphal est de 11,27 jours pour les individus mâles et 11,53 jours pour les femelles. Elle est donc comparable à celle observée par BORDAT et al.(1980) alors que, dans la nature, les valeurs données par les différents auteurs varient entre 10 et 14 jours (BRENIERE, 1977), 10 et 12 jours (APFERT, 1967; INGRAM, 1958) et 12 et 16 jours (MOUTIA, 1954).

Nous avons effectué des comparaisons entre les élevages des

larves, en groupe, sur la plante-hôte naturelle (fragments de tige de mais) et sur le milieu artificiel (Tableau 6). Cet essai a été mené à partir de larves néonates écloses le même jour et suivies, en groupe, jusqu'à la nymphose. La comparaison entre le tableau 4 et le tableau 6 montre d'une part que les chenilles élevées isolément ont, en général, un cycle larvaire moins long que les larves groupées et d'autre part, que les chenilles élevées sur milieu artificiel ont des durées moyennes de développement larvaire plus longues que celles élevées sur fragments de tige de mais. Par contre, les durées moyennes du développement larvaire pour les chenilles élevées sur milieu artificiel sont plus homogènes que pour celles élevées sur fragments de tige de mais (comparaison du coefficient de variabilité dans le tableau 6). La durée du développement nymphal reste la même, que les larves soient élevées en groupe ou individuellement, qu'elles soient nourries sur milieu artificiel ou sur fragments de tige de mais.

2.2.3. POIDS DES CHRYSALIDES.

Nous avons effectué des pesées de chrysalides pour chaque génération, ces pesées ont porté chaque fois sur 22 nymphes mâles et 22 nymphes femelles. Ces chrysalides sont issues de larves ayant le même âge et ayant été élevées en groupe, sur milieu artificiel (Tableau 7).

L'examen du tableau 7 nous permet de tirer les conclusions suivantes :

- les nymphes femelles sont plus lourdes que les mâles
- il n'y a pas de différences importantes de poids entre les chrysalides au cours des six générations mais on peut noter une légère augmentation des poids moyens des chrysalides mâles à partir de la troisième génération. Nous avons observé, dans nos conditions d'élevage, pour les nymphes issues des larves ramassées dans la nature à Bouaké en Côte d'Ivoire, un poids moyen nymphal de 174,35 avec un C.V. de 23,72% pour les nymphes femelles et de 115,41 avec un C.V. de 28,95% pour les nymphes mâles.

5

Tableau 6

Aliment		Effe	Effectif		Durées moyennes du développement larvaire en jours						
	Générations	7		o ⁷				<u> </u>			
		8	<u></u>	x	s	c.v.z	x	S	c.v.z		
Fragments de tige de maïs	lère	134	97	25,17	2,31	9,18	26,19	2,55	9,74		
	2ème	66	51	31,77	2,66	8,37	32,82	2,33	7,10		
Milieu artificiel	lère	25	29	29,04	1,42	4,89	29,59	1,06	3,58		
	2ème	38	43	33,03	2,55	7,72	34,26	2,07	6,04		
	X = 'Moyenne	S = Eca	rt-type	C.V.2	= Coeff	icient de	variabilit	6 .			

Tableau 7

?<-<	Chrysa	lides mâle	es	Chrysal	ides feme	lles
Générations	x	S	c.v.7	x	S	C.V.Z
lère	118,27	14,83	12,54	174,59	20,51	11,75
2 ĕ me	117,23	23,49	20,04	159,00	30,27	19,04
3ème	124,77	24,71	19,80	158,73	28,31	17,84
4ème	126,00	22,68	18,00	162,32	23,64	14,56
5ème	125,27	23,74	18,95	171,14	29,93	17,49
6ème	121,55	20,88	17,18	167,05	25,64	15,35

Nous avons effectué des comparaisons entre les poids moyens des chrysalides issues des larves élevées sur milieu artificiel et sur fragments de tige de mais, les résultats obtenus sont résumés dans le tableau 8.

Nous observons que les chenilles élevées sur milieu artificiel donnent des chrysalides plus lourdes que celles élevées sur fragments de tige de maïs. Il en est de même pour le poids larvaire et l'on peut attribuer ceci à des durées moyennes du développement larvaire plus longues sur milieu artificiel (Tableau 6) que sur les fragments de tige de maïs. L'examen du tableau 8 montre également que les nymphes issues des larves élevées sur milieu artificiel ont des poids plus homogènes que celles issues des larves élevées sur fragments de tige de maïs (voir les coefficients de variabilité). BORDAT et al.(1980) ont obtenu, en moyenne, 137 mg pour les nymphes mâles et 187 mg pour les nymphes femelles, en élevage sur milieu artificiel, dans les conditions décrites plus haut (Tableau 3).

Tableau 8

Aliment		Effectif		Poids moyens des chrysalides en mg.						
	Générations	7			3			9		
		8	우	x	s	C.V.Z	x	S	C.V.2	
Fragment de	lère	101	82	97,39	17,1	17,56	139,99	29,16	20,83	
tige de mais	2ème	99	73	97,86	23,86	24,38	145,04	41,52	28,63	
Milieu artificiel	lère	22	31	118,27	14,83	12,54	181,29	31,46	17,35	
willed altilities	2ème	48	48	116,89	24,42	20,89	157,92	29,29	18,55	

A madagascar, APPERT et al. (1970) ont obtenu, pour des nymphes ramassées dans des champs de mais, 195 et 255 mg, respectivement, pour les nymphes mâles et f. alles.

2.2.4. RENDEMENT DE L'ELEVAGE.

Le rendement de l'élevage est exprimé par le pourcentage d'adultes obtenus par rapport au nombre de larves nouveau-nées. Les différentes valeurs de ce rendement, obtenues au cours des six générations successives élevées sur milieu artificiel, sont présentées dans le tableau 9. L'examen des valeurs obtenues montre que le rendement est resté à peu près constant, au cours des 6 générations successives.

Tableau 9

Générations	Mortalité larvaire en %	Mortalité larvaire et nymphale, en %	Rendement en adultes, en %
lère	18,8%	30%	70%
2ème	13,37	24,8%	75,2%
3ème	16,7%	26,7%	73,3%
4ème	17,5%	25%	75 % ·
5ème	26,7%	33,3%	66,7%
6ème	20%	28%	72%

De façon générale, en considère qu'un milieu alimentaire présente un intérêt pour la production d'insectes lorsque le rendement est au moins égal à 50%, c'ell-à-dire lorsqu'on obtient au moins 50 imagos à partir de 100 larves nouveau-nées (GUENNELON, 1968). Aucune manifestation morphologique anormale n'a été observée chez les chenilles au cours des six générations successives. Nous avons constaté, dans nos conditions d'élevage, pour les larves élevées sur fragments de tige de maïs, une mortalité larvaire de 9,9% en première génération et de 9,2% en deuxième génération. Le rendement en adultes pour les

larves élevées sur fragments de tige de mais est de 80,3% en première génération et de 82,42% en deuxième génération. Sur deux lots de nymphes issues de néonates écloses le même jour, le premier élevé sur milieu artificiel et le deuxième élevé sur fragments de tige de mais, nous avons obtenu comme valeurs du sex-ratio (nombre d'individus mâles divisé par le nombre d'individus femelles) 1,12 pour le premier lot et 1,40 pour le deuxième lot. Ces valeurs sont très proches de celle obtenue par BORDAT et al.(1980), qui était de 1,28.

2.2.5. FECONDITE.

Elle fut évaluée en isolant des couples de papillons dans les dispositifs expérimentaux déjà décrits. Les oeufs sont déposés sur un support artificiel en papier et comptés chaque jour. Les résultats obtenus au cours des 6 générations successives sont regroupés dans le tableau 10. Il existe pour chaque génération une grande variabilité: par exemple pour 145,75 oeufs en moyenne par femelle en première génération, les valeurs extrêmes sont de 40 et 222 oeufs. Nous constatons une faible diminution de la fécondité, au fur et à mesure que les générations se succèdent. En élevage continu, on pallie cet inconvénient par l'augmentation du nombre des pondoirs, l'introduction périodique dans l'élevage de génotypes sauvages et l'augmentation de la durée du développement nymphal des chrysalides mâles afin d'éviter un trop grand décalage des émergences entre les adultes mâles et femelles.

Tableau 10

Générations	Nombre de couples	Nombre oeufs pondus	Fécondité moyenne (oeufs par femelle)	% d'oeufs éclos
lère	8	1166	145,75	74,79
2ēme	9	1188	130,00	71,89
3ème	8	1095	136,88	74,06
4ème	9	1141	126,78	69,06
5ème	9	1069	118,78	70,25
6ème	9	1082	120,22	69,87

La fécondité observée est très voisine de celle que nous avions indiquée en 1979, ainsi que par BORDAT et al. (1980). Nous avons observé, dans nos conditions d'élevage, pour les femelles issues de larves ramassées dans la nature à Bouaké en Côte d'Ivoire, une fécondité moyenne de 165,27 oeufs par femelle avec un taux d'éclosion de 85,59%. Dans la nature, en conditions favorables, la fécondité moyenne serait de 300 oeufs, d'après INGRAM (1958); APPERT (1967) indique qu'une femelle pond rarement plus de 300 oeufs. A signaler que tous les oeufs non éclos ne sont pas stériles ; parmi ceux qui meurent sans éclore, un certain nombre contient un embryon souvent achevé (stade capsule céphalique noire), tandis que d'autres paraissent ne pas avoir été fécondés. Ces derniers ont cependant une coloration jaune foncé différente de celle des oeufs réellement non fécondés qui sont facilement reconnaissable, dès la ponte, par leur teinte claire et homogène (ils se dessèchent d'ailleurs rapidement). Le taux d'éclosion observé dans notre élevage est donc proche de celui indiqué par BORDAT et al. (1980) qui mentionnent le chiffre de 82,5%.

Grâce au support de pontes en papier, les oeufs sont facilement désinfectés et aucun développement de moisissure n'a jamais été observé sur les pontes mises en incubation dans les boîtes de Pétri.

2.2.6. APPARITION DES MALFORMATIONS MORPHOLOGIQUES.

Dans certains cas, nous avons noté des malformations chez les chrysalides, consistent en un "raccourcissement" de l'abdomen et la conservation de caractères larvaires au niveau du thorax (Fig.22). Le pourcentage de nymphes ainsi déformées a été de 2,03% pour celles is~ sues des larves élevées sur fragments de tige de mais (en deuxième génération). Par contre, il fut de 7,29 pour les nymphes issues des larves élevées sur milieu artificiel (pour la même génération). Dans les deux lots, ce pourcentage a toujours été plus élevé pour les nymphes mâles que les femelles.

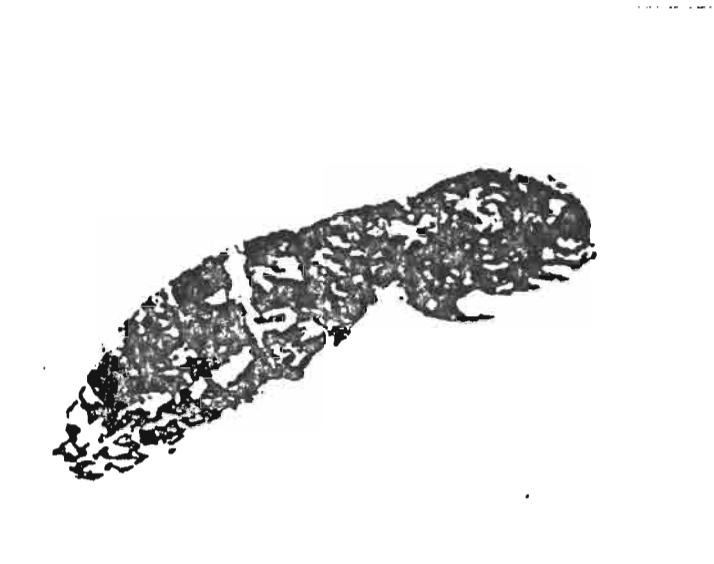


Fig.22: Malformations d'une chrysalide de Sesamia cala-. mistis HAMPSON, (élevage au laboratoire sur milieu semi-artificiel).

Les nymphes déformées produisent des papillons anormaux. L'adulte anormal ne peut se défaire entièrement de son enveloppe nymphale au niveau du pygidium; d'autre part, les ailes restent "cassantes" et le papillon ne peut voler. On observe également des nymphes apparemment normales qui donnent naissance à des papillons anormaux. L'apparition d'anomalies morphologiques peut être la manifestation de critères défavorables d'un milieu artificiel alimentaire. Mais le fait est difficile à prouver, rappelons simplement que le pourcentage d'anomalies est bien moindre pour les insectes élevés sur la plante-hôte.

Les anomalies et les malformations apparaissent souvent chez les nymphes et les adultes, beaucoup plus rarement chez les larves. Des anomalies ou malformations apparaissent quelquefois chez d'autres lépidoptères élevés artificiellement au laboratoire. C'est ainsi que les chrysalides de Trichoplusia ni (Noctuidae) peuvent être de couleur pâle, tandis que celles de Pectinophora gossypiella (Tineidae) présentent de grandes taches noires dans les régions céphalique et thoracique; les prénymphes de Prodenia litura (Noctuidae) se nymphosent incomplètement et les nymphes de Carpocapsa pomonella (Tortricidae) présentent une zone molle entre le thorax et l'abdomen. Les adultes ne peuvent se défaire de l'enveloppe nymphale, au niveau de la tête chez le carpocapse,

à l'extrémité des ailes chez *Trichoplusia ni*, dans ce dernier cas, les ailes sont rabougries et "cassantes" et les papillons ne peuvent voler (GUENNELON, 1968).

2.3. CONCLUSIONS.

Une technique d'élevage de Sesamia calamistis HAMPSON sur milieu artificiel simple, à base de semoule de mais, et un support artificiel pour la ponte ont été mis au point. Cette technique permet de réaliser l'élevage de plusieurs milliers de larves au laboratoire, tout au long de l'année et d'assurer de façon régulière, la production des importantes quantités d'insectes normaux qu'ont exigé nos diverses expériences. L'élevage sur milieu artificiel donne des résultats inférieurs à celui sur plante-hôte naturelle (mais) : les durées moyennes du développement larvaire sont allongées et le rendement en adultes diminué. Par contre, nous constatons que les durées moyennes du développement larvaire, les poids moyens des larves et des nymphes sont plus homogènes pour les larves élevées sur milieu artificiel. Il apparaît que le milieu utilisé jusqu'ici n'est pas l'alimentation optimale pour les larves. Des recherches sont en cours pour l'amélioration des qualités nutritionnelles du milieu afin de permettre la production permanente d'insectes physiologiquement semblables à ceux que l'on peut trouver dans la nature.

Il faut noter, à ce propos, que la consanguinité dans l'élevage peut avoir un effet défavorable et faire croire, à tort, que le milieu n'est pas satisfaisant. POITOUT (1969) a bien montré que chez la Noctuelle Helicoverpa armigera, la dégénérescence des souches élevées au laboratoire est due à une consanguinité trop stricte. L'influence de la consanguinité a été également démontrée chez d'autres Noctuelles; mais il y a certainement des espèces qui sont capables, génétiquement, de résister à un haut degré de consanguinité.

Enfin, des phénomènes de lente adaptation aux conditions d'élevage imposées peuvent se traduire par d'importantes modifications dans la physiologie de l'insecte, il est donc nécessaire d'élever plusieurs générations successives avant de pouvoir affirmer qu'un milieu donne satisfaction.

3. CHAPITRE III

INFLUENCE DE QUELQUES FACTEURS SUR LA FECONDITE DE SESAMIA CALAMISTIS HAMPSON

Dans le cadre de l'étude des effets physiologiques de divers insecticides sur Sesamia calamistis, il importe de connaître le potentiel reproducteur de l'espèce et les facteurs qui peuvent le modifier. Ces derniers peuvent être classés en deux catégories :

A - les uns liés au développement des stades préimaginaux : relation entre le poids des chrysalides femelles et la fécondité, rôle de l'alimentation larvaire.

B - les autres agissant directement sur l'adulte : accouplement, nature du support de ponte et degré d'imbibition de ce support.

A .- FACTEURS LIES AU DEVELOPPEMENT DES STADES PREIMAGINAUX.

Nous avons étudié d'abord la relation entre le poids des chrysalides femelles et la fécondité, ainsi que l'influence de l'alimentation larvaire en milieu artificiel et naturel sur cette fécondité.

CARLE (1963) montre que chez la bruche du haricot Acanthoscelides obtectus SAY (Bruchidae) la fécondité dépend largement du poids
de la femelle à l'émergence. La même relation a été démontrée chez
Sitotroga cerealella OLIV. (Gelechiidae), (STOCKEL, 1973). HIDAL (1978)
montre également que la fécondité de Sesamia nonagrioides LEF. est
en liaison avec le poids des chrysalides femelles. ALROUECHDI (1980)
a montré, chez Chrysoperla carnea STEPH. (Chrysopidae), qu'il existe
une corrélation positive entre le poids des cocons femelles et l'indice ovarien à l'émergence (cet indice correspond à 90% du volume
total de l'ovaire à l'émergence).

L'intérêt de cette étude est de déterminer l'effet de certains insecticides sur le poids nymphal et en conséquence sur la fécondité de *S. calamistis*; l'une des applications possibles est l'échantillonnage de chrysalides femelles pour une estimation des potentialités biotiques de l'insecte, dans une culture de maïs par exemple.

La nourriture peut aussi influencer sur la fécondité mais en jouant sur la taille et le poids ce qui nous ramène au cas précédent : MILLS (1964) montre que l'embryon du grain de blé contient un facteur nutritionnel important (de nature protéinique), responsable de la vitesse de développement larvaire et nymphal et du poids de la femelle à l'émergence chez Sitotroga cerealella OLIV. JOUBERT (1966) pour le même insecte a obtenu de petits insectes élevés sur Setaria nigrirostris et qui pondent des nombres d'oeufs significativement inférieurs à ceux produits par des individus élevés sur grains de mais. STOCKEL (1973) conclut, de même, que l'alimentation de S.cerealella joue un rôle important sur le poids des adultes et par suite sur la fécondité. HILAL (1978) montre que l'alimentation larvaire sur mais en épis présente une différence significative par rapport à l'alimentation larvaire sur blé ou canne à sucre quant au poids des chrysalides femelles de Sesama nonagrioides. Cette différence significative, qui n'apparaît que chez les chrysalides femelles, s'explique par l'accumulation importante des réserves alimentaires indispensables à la vitellogenèse.

Mais il est possible également que la nourriture influe directement sur la fécondité. CARLE (1963) montre que la fécondité des bruches du haricot Acanthoscelides obtectus SAY varie selon la variété des haricots utilisés pour l'élevage. C'est ce que nous avons voulu savoir à propos de Sesamia calamistis. 3.1. RELATION ENTRE LE POIDS DES CHRYSALIDES FEMELLES ET LA FECONDITE.

3.1.1. TECHNIQUES D'ETUDES.

Nous avons cherché à déterminer s'il y a des corrélations entre le poids des chrysalides femelles et la fécondité. Pour une série de 25 papillons femelles dont les larves ont été élevées sur milieu artificiel, les chrysalides femelles (de poids nymphal variant de 105 à 285 mg) sont élevées individuellement jusqu'à l'émergence. D'autre part, nous avons choisi des mâles d'un poids nymphal relativement constant et proche de la moyenne de l'espèce. Chaque couple est placé dans les pondoirs munis d'un abreuvoir (eau + saccharose) et d'un support artificiel de ponte.

3.1.2. RESULTATS.

Pour l'ensemble des 25 couples étudiés, la ponte varie de 57 à 317 oeufs. Les résultats sont présentés dans le tableau 11.

L'analyse statistique montre que, pour l'ensemble des chrysalides femelles, il y a corrélation positive entre leur poids et la quantité d'oeufs déposés. Le coefficient de corrélation r = 0,74 présente un degré de signification supérieur au seuil de 5% ($t_{23} = 5,25$).

La droite de régression calculée sur l'ensemble des données a pour équation y = -13,16 + 0,82 X. La figure 23 donne la représentation graphique de cette corrélation, dans laquelle X est le poids des chrysalides femelles et y le nombre d'oeufs pondus par femelle.

Nous pouvons dire que la fécondité de Sesamia calamistis HAMPSON, est bien en relation avec le poids des chrysalides femelles.

Tableau II : Relation entre le poids des chrysalides femelles et la fécondité.

Poids des chrysalides femolles (en mg)	105	130	133	144	148	152	156	101	163	167	182	188	196	199	210	212	216	222	228	246	265	265	281	181	285	
Fecondité (Nore d'oeufs pondus par femelle)	102	133	62	131	108	139	57	117	112	148	80	115	166	154	181	173	168	186	107	167	275	175	180	180	317	1

99



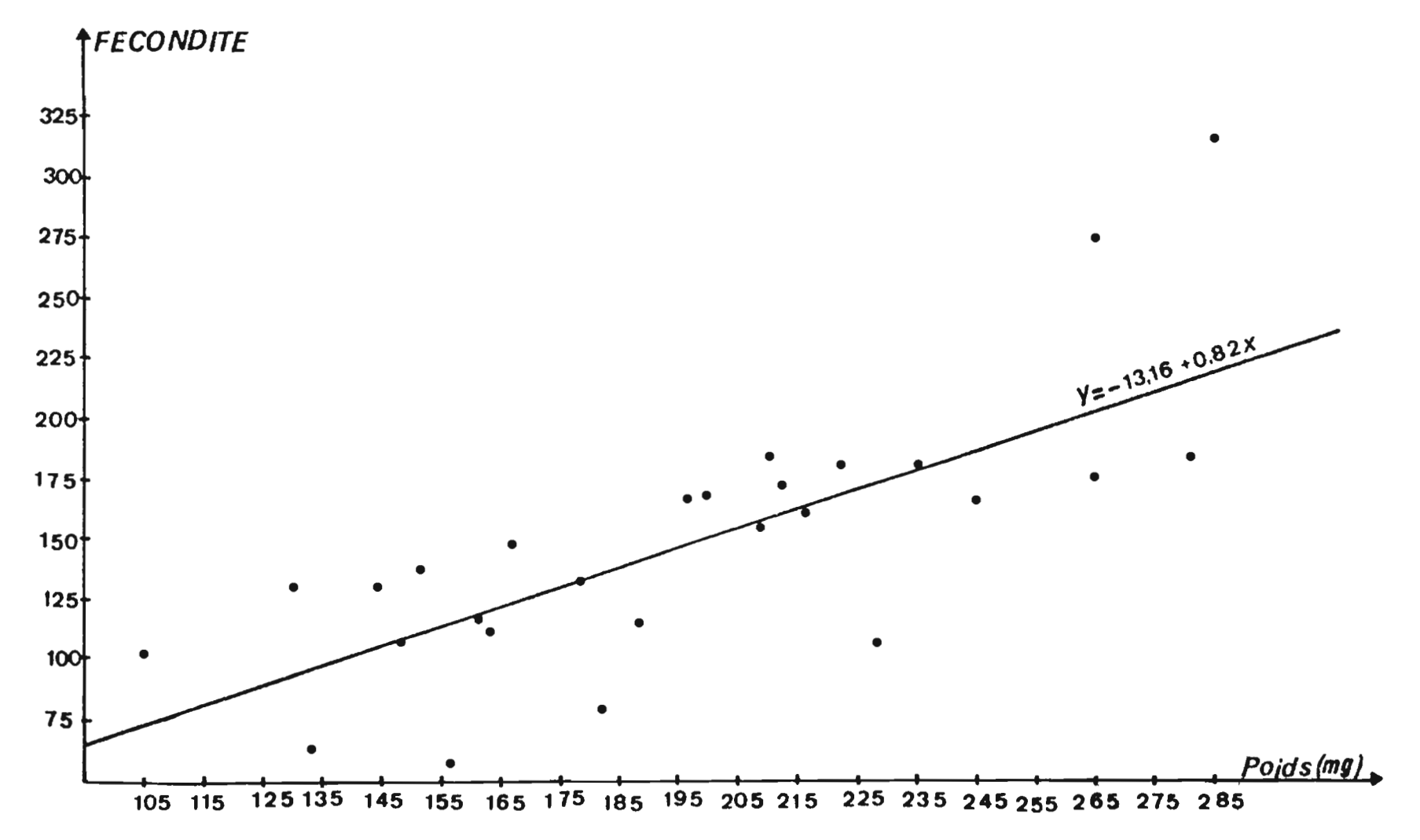


Fig. 23 - Régression du nombre d'oeufs pondus en fonction du poids des chrysalides femelles de Senamia calamistis HAMPSON.

3.2. INFLUENCE DE L'ALIMENTATION LARVAIRE EN MILIEU ARTI-FICIEL ET NATUREL SUR LA FECONDITE.

3.2.1. TECHNIQUES D'ETUDES.

Les adultes destinés à cet essai proviennent de 20 chrysalides, dix chrysalides provenant de larves élevées sur milieu artificiel et dix chrysalides provenant de larves élevées sur fragments de tige de maïs. Les 20 chrysalides ont toutes à peu près le même poids. Dès l'émergence, nous avons placé chaque couple dans un dispositif expérimental pour l'élevage des adultes.

3.2.2. RESULTATS.

Les résultats sont présentés dans le tableau 12.

Tableau 12 : Influence de l'alimentation larvaire sur la fécondité de la sésamie.

N° Ordre	Nombre d'oeufs po			
	Fragments de tige de mais	Milieu artificiel		
1	103	131		
2	133	197		
3	186	88		
4	196	148		
5	48	204		
6	232	40		
7	154	222		
8	208	136		
9 ·	89	-		
10	164	-		
TOTAL	1513	1166		
MOYENNE	151,3	145,75		

L'analyse statistique pour l'ensemble des données du tableau 12 montre que la différence entre le nombre d'oeufs pondus par femelle dans les deux lots n'est pas significative au seuil de 1% (pour DL = 16, F = 0,048). Nous avons appliqué le test de l'analyse de variance à une dimension après avoir transformé les données selon la méthode de FREEMAN-TUKEY : $[1/2 (\sqrt{x} + \sqrt{x+1})]$.

Ainsi que l'a montré HILAL (1978), pour S.nonagrioides, l'influence de l'alimentation larvaire sur la fécondité n'est pas significative qu'elle soit à base de milieu artificiel ou de tiges de mais où encore d'épis.

- B. FACTEURS AGISSANT DIRECTEMENT SUR L'ADULTE.
- 3.3. INFLUENCE DE L'ACCOUPLEMENT SUR LA FECONDITE DE LA SESAMIE.

STOCKEL (1973) montre que, chez la femelle vierge de Sitotroga cerealella OLIV., il existe une inhibition de comportement de ponte et le rythme de la vitellogenèse diminue jusqu'à sa mort.

LHOSTE et al. (1976) montrent que la femelle vierge de Laspeyresia pomonella L. dépose moins d'oeufs que la femelle fécondée, les
gonades, chez ces femelles vierges, restent en parfait état et leur
activité est simplement réduite.

POITOUT et al. (1972) ont montré que les oeufs pondus par Earias insulana BOISD sont presque toujours viables ce qui laisse supposer que les femelles non accouplées ne pondent pas (ou seulement quelques rares oeufs).

Assez souvent, chez les insectes, l'accouplement est accompagné de l'introduction d'un spermatophore, par le mâle, dans la bourse copulatrice de la femelle.

HUIGNARD (1969) pense que, chez Acanthoscelides obtectus SAY, les secrétions provenant des glandes annexes mâles, absorbées par

l'organisme femelle, pourraient agir sur l'ovogenèse, provoquant une augmentation de la fécondité (éction chimique). Une distension de la bourse copulatrice ne paraît pas influencer l'ovogenèse chez A.obtectus (action nerveuse); mais ENGELMANN (1960, in LHOSTE et al. 1976) montre que chez les femelles de Leucophaea maderae F., l'implantation d'un spermatophore artificiel dans la bourse copulatrice a les mêmes conséquences qu'un accouplement normal.

Le rôle de l'accouplement dans la stimulation de la ponte est donc bien un phénomène qui semble général.

3.3.1. TECHNIQUES D'ETUDES.

Des femelles vierges provenant de notre élevage sur milieu artificiel sont maintenues isolées, sans mâle, dès leur émergence, dans des dispositifs expérimentaux pour l'élevage des adultes. Parallèlement des femelles sont maintenues en présence de mâles, par couple isolé, dès leur émergence. A chaque série d'expériences les oeufs sont comptés. Nous avons observé plusieurs fois que l'accouplement se prolongeait jusqu'en matinée, malgré que l'activité des adultes soit essentiellement crépusculaire (Fig.24).

Après leur mort, les femelles maintenues en présence de mâles, sont disséquées en vue de vérifier que l'accomplement a eu lieu, en observant s'il y a présence ou non d'un spermatophore dans la bourse copulatrice (Fig. 25 et 26).

3.3.2. RESULTATS.

Nous constatons (Tableau 13) que, pour toutes les femelles vierges, la ponte moyenne est de 26,65 oeufs; par contre, elle est de 130,55 oeufs pour les femelles accouplées. Nous constatons également que le pourcentage des femelles qui ne pondent pas est de 15 pour les femelles vierges et de 5 pour les femelles accouplées. Les femelles accouplées déposent normalement leurs oeufs sur le support artificiel de ponte; par contre, les femelles vierges déposent leurs oeufs dans la boîte de Pétri même, ou bien ceux-ci demeurent collés à l'orifice de ponte.

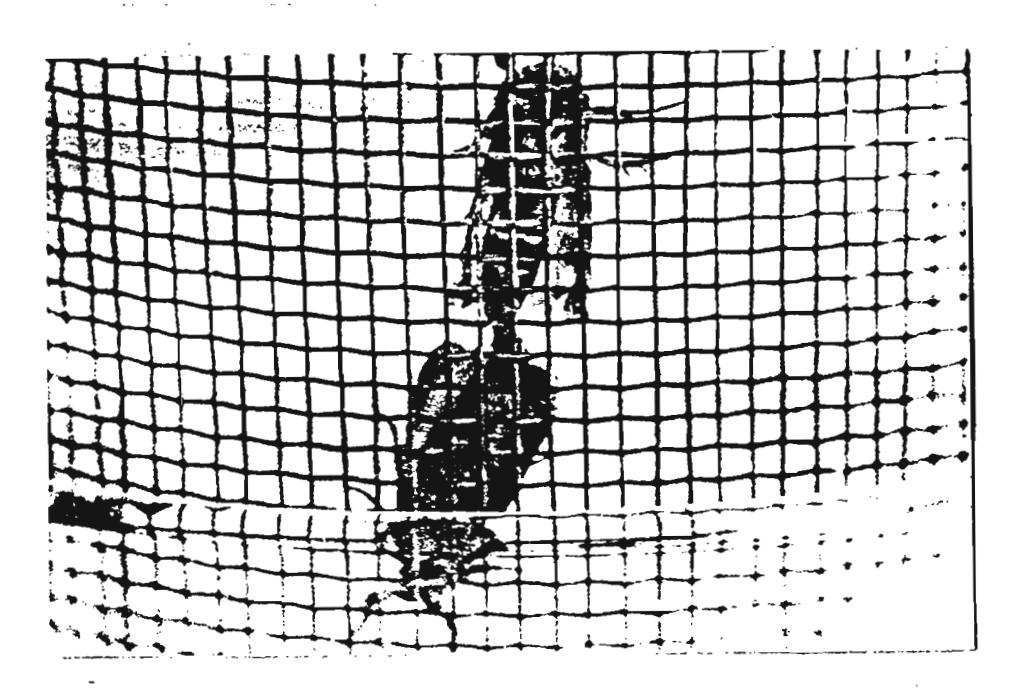


Fig.24 : L'accouplement chez Sesamia calamistis Hampson



Fig. 25: Spermatophore dans la bourse copulatrice (G.x13), chez une femelle accouplée de Sesamia calamistis Hampson

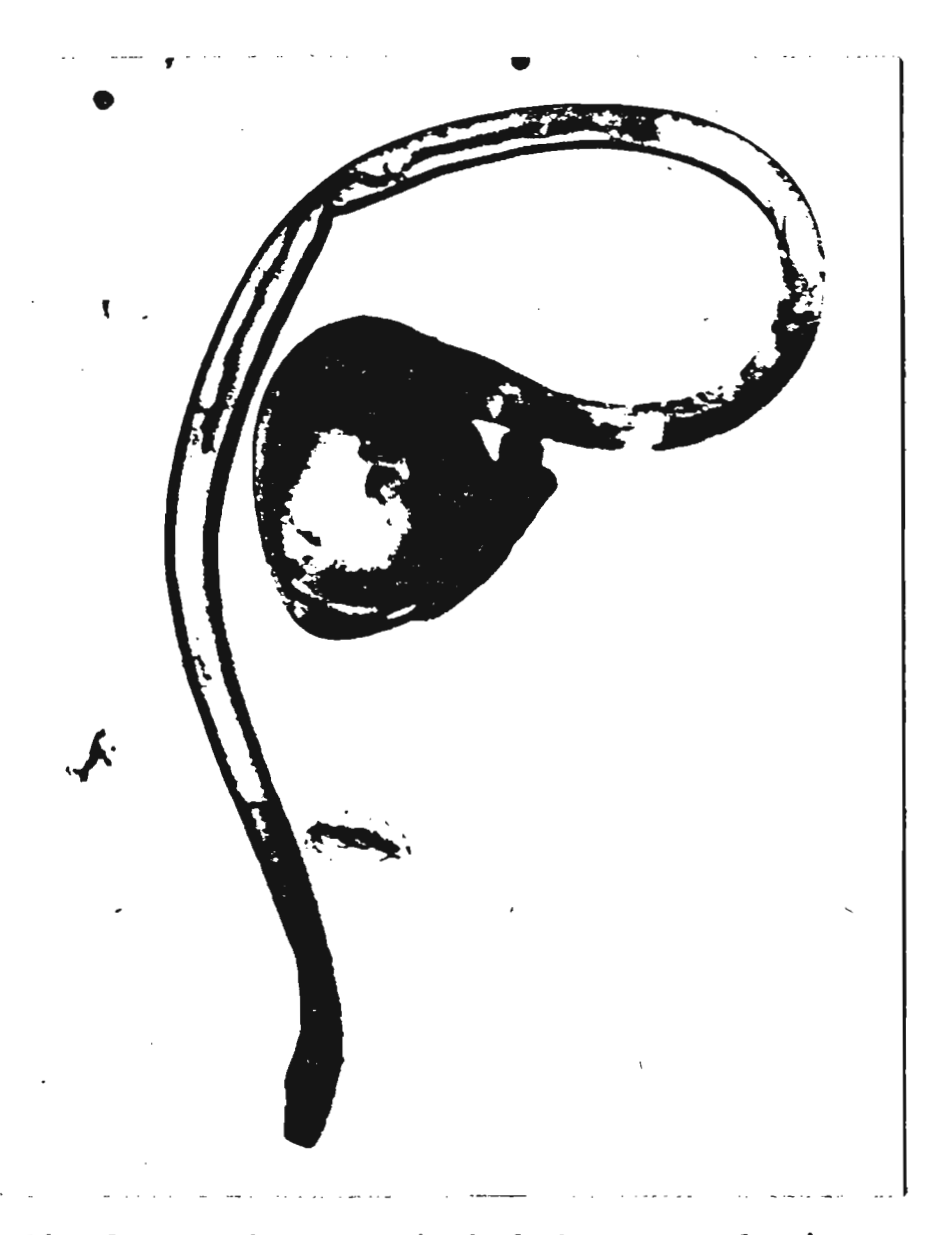


Fig.26 : Spermatophore extrait de la bourse copulatrice (G.x21), chez une femelle accouplée de Sesamia calamistis HAMPSON.

Tableau 13 : Influence de l'accouplement sur la fécondité de la sésamie.

N° Ordre	Nombre d'oeu	fs pondus par
N Oldre	Femelles vierges	Femelles accouplées
1	17	139
2	34	153
3	13	92
4	58	73
5	25	34
6	6	41
7	0	120
8	51	148
9	4	205
10	64	210
11	0	175
12	20	115
13	33	154
. 14	0	0
15	44	248
16	35	292
17	28	167
18	37	153
19	45	12
20	19	80
TOTAL	533	2611
MOYENNE	. 26,65	130,55

L'analyse statistique, pour l'ensemble des données (tableau 13), montre que la différence entre le nombre d'oeufs pondus par femelle vierge et accouplée est significative au seuil de 1% (pour DL = 38, F = 31,17). Nous avons appliqué le test de l'analyse de variance à une dimension après avoir transformé les données selon la méthode de FREEMAN-TUKEY : $[1/2 (\sqrt{x} + \sqrt{x+1})]$.

L'accouplement joue donc un rôle important sur le comportement de ponte chez Sesamia calamistis HAMPSON. Il se produit obligatoirement au début de la vie imaginale, car nous avons constaté que, si elles ne sont pas fécondées immédiatement, les femelles refusent ensuite l'accouplement (au moins pendant les trois premiers jours de la vie imaginale, pendant lesquels nous les avons observées).

Rappelons que BRUNEL (1979) a observé ce phénomène chez Psila rosae Fab. (Diptère, Psilides). Ce résultat est cependant différent de celui que l'on trouve chez Laspeyresia pomonella L. (Tortriciaae), (LHOSTE et al. 1976) puisque les femelles vierges de cet insecte, âgées de six jours, acceptent encore l'accouplement. Une ponte est alors déclenchée d'une importance voisine de celle des femelles du même âge normalement fécondées.

Enfin, nous avons observé que les femelles vierges ont une longévité plus grande que les femelles fécondées.

3.4. DEROULEMENT DE L'OVIPOSITION A 27°±2°C.

HILAL (1978) a remarqué, pour Sesamia nonagrioides LEF., à 18°C, que 50% des oeufs sont pondus durant la deuxième nuit. Ce pourcentage diminue légèrement durant la troisième nuit pour atteindre 25%. Pour la même espèce, LESPES et JOURDAN (1939), au Maroc, ont montré que, dans la nature, les pontes de la sésamie sur le mais se font à partir de la 3ème nuit, avec une décroissance assez régulière du nombre des oeufs nuit après nuit.

3.4.1. TECHNIQUES D'ETUDES.

Nous avons cherché à analyser la distribution des pontes au cours de la vie imaginale de la sésamie à 27°±2°C. Des couples de sésamie sont isolés dès leur émergence dans des dispositifs expérimentaux pour l'élevage des adultes. Les oeufs déposés la nuit sont récoltés tous les matins.

3.4.2. RESULTATS.

Nous constatons (Tableau 14) que, en moyenne, 56% des oeufs sont pondus durant la deuxième nuit et que ce nombre diminue durant la troisième nuit pour atteindre un pourcentage de 31%.

Ce résultat est en accord avec ceux trouvés par HILAL (1978) pour Sesamia nonagrioides LEF.

3.5. INFLUENCE DU SUPPORT DE PONTE ET DE SON DEGRE D'IMBI-BITION SUR LA FECONDITE DE SESAMIA CALAMISTIS HAMPSON.

Nous avons déjà mentionné que S.calamistis ne dépose ses oeufs que sous les gaines des plantes de graminées, c'est ainsi que le plant de mais constitue le substrat idéal (ANGLADE, in HILAL, 1978; DIEME, 1978).

Le blocage de l'oviposition et la diminution de la fécondité ont été démontrés chez plusieurs espèces lorsque le support convenable manque. C'est le cas par exemple du Getechiidae : Scrobipalpa ocellatella BOYD (ROBERT, 1964), de Sitotroga cerealella OLIV. (STOCKEL, 1969), de l'Eyponomeutidae : Acrolepia assectella ZELLER (CADEILHAN, 1965), des Silichiidae : Zeiraphera âiniana (BENZ, 1969).

Chez les phytophages interviennent divers stimulus (olfactifs, chimiques, tactiles etc.) le manque d'une quelconque de ces stimulations pouvant suffire à éloigner l'insecte d'un support permettant pourtant le développement de ses larves ; cependant, Ecfmannophila pseudospretella STAINT (Oecophoridae), étudié par WOODROFFE (1951), dépose un plus grand nombre d'oeufs sur des cailloux, ayant même

Tableau 14 : Etude de l'oviposition, à 27°±2°C et 80 à 90% d'humidité relative, de Sesamia calamistis HAMPSON.

N°			Nu	its			Longévité
Ordre	lère	2 ème	3ème	4ème	.5ème	6ème	en jours
1 .	-	292	-	-	-	_	3
2	-	120	_	_	29	-	5
3	-	82	115	-	36	-	5
4		67	-	89	-	-	4
5	-	82	71	-	-	-	3
6	_	-	167	_	-	50-	4
7	_	209	172	_	-	-	4
8	-	198	143	_	-	-	4
9	_	-	215	-	-	81	6
10	-	_	-	-	80	-	6
11	-	113	68	_	-	-	4
12	-	210		107	-	-	4
13	_	148	_	_	-	-	3
14	-	137	38	25	-	-	4
15	-	139	-	_	-	-	3
Total	0	1797	989	221	145	81	Moy.=4,13
Z	0	55,58	30,59	6,84	4,49	2,51	Total des oeufs pondus 3233

La figure 27 présente la distribution de la ponte de Sesamia calamistis Hampson à 27 ±2°C et 80 à 90% d'humidité relative.

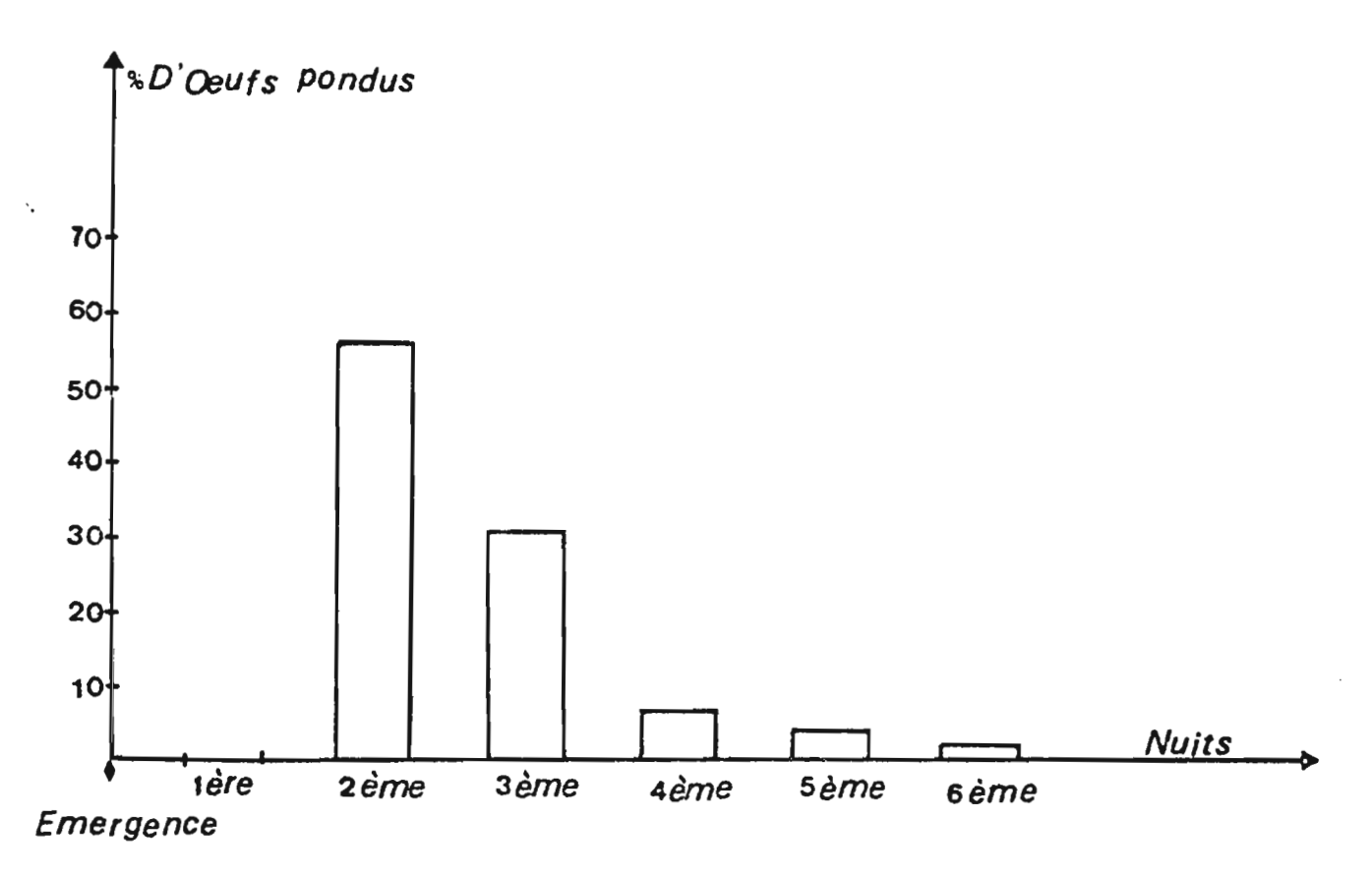


Fig. 27- Pourcentages moyens des oeufs pondus, par nuit, par S.calamistis HAMPSON.

forme et même taille que des grains de blé, que sur de grosses graines qui permettraient pourtant le développement des chenilles. CHAUVIN (1971) a montré que, pour les deux lépidoptères, Tineidae : Monopis rusticella CLERCK et Trichophaga tapetzella L., la femelle de Monopis, dont les larves ne se développent qu'en humidité forte (supérieure à 60%), choisit sont lieu de ponte, selon un critère de forte humidité quoiqu'elle soit aussi attirée par l'odeur de l'aliment larvaire. La femelle de Trichophaga, dont les larves peuvent se développer en milieu plus sec (humidité relative inférieure à 50%), est attirée seulement par l'odeur de l'aliment larvaire.

Nous avons d'abord cherché s'il existait une liaison entre la présence de la tige de mais et la quantité d'oeufs pondus, en fait, nous avons observé que la femelle de Sesamia calamistis Hampson ne pouvait convenablement pondre que si elle pouvait insérer son ovipositeur entre deux surfaces rapprochées (Fig.28). Mais cet effet "thigmotactique" n'est pas le seul stimulus et nous avons étudié le rôle du degré d'humidité du support de ponte quant à la quantité d'oeufs pondus.

3.5.1. TECHNIQUES D'ETUDES.

Nous avons effectué cette étude à la température et la photopériode habituelles de notre élevage. Les individus testés sont prélevés, dès leur mue imaginale et sont ensuite placés dans des dispositifs expérimentaux pour l'élevage des adultes, par couple séparé.

Les supports naturels sont de jeunes plants de mais (stade 4 à 5 feuilles) qui ont poussé dans des pots recouverts de manchons de grillage moustiquaire. Les supports synthétiques testés étaient du papier (90 g/m²) enroulé en cornets spiralés de 15 cm de long et 1,5 cm de diamètre.

Ensuite, afin d'examiner l'influence du degré d'imbibition de ces supports synthétiques sur la fécondité, nous les avons placés dans deux atmosphères différentes : l'une à 80-90% de degré hygromé-

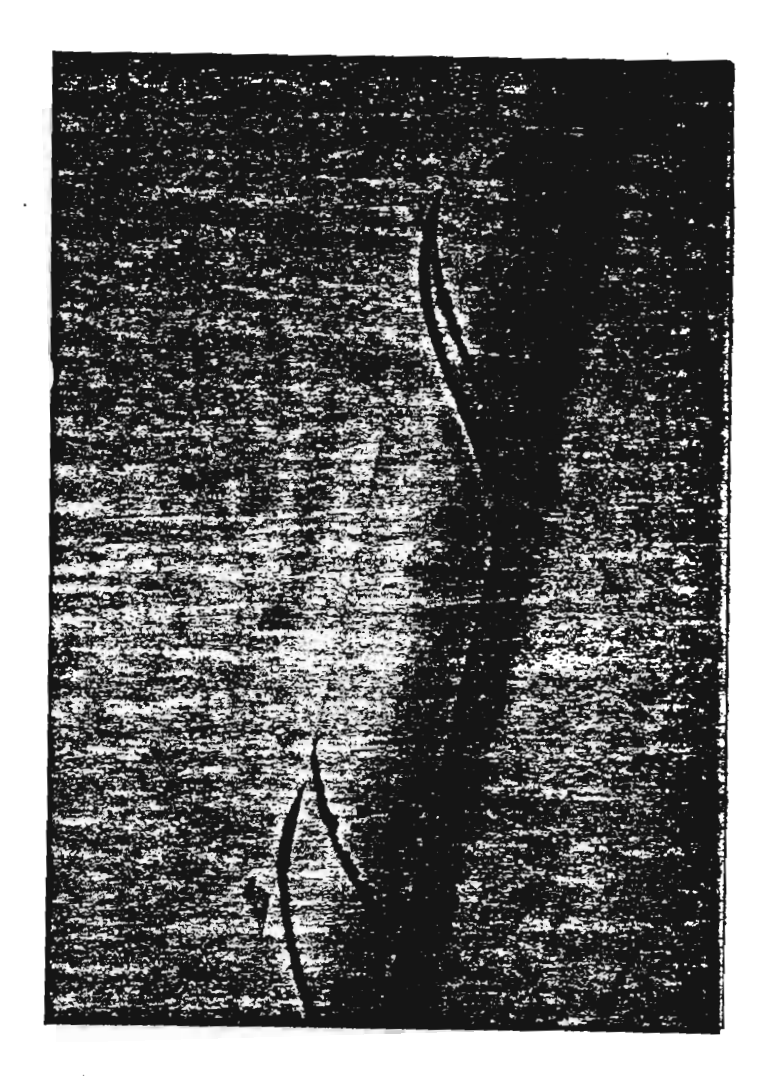


Fig.28 : Support synthétique de ponte légèrement déroulé pour pouvoir obsrvé les pontes déposées dans la rainure hélicoïdale.

trique, l'autre à 45-50%. Nous avons ensuite mesuré la quantité d'eau adsorbée sur ces supports : durant les 4 jours pendant lesquels ils sont demeurés dans les deux milieux d'hygrométrie différents. Pour ce-la, nous les avons pesé pour déterminer leur poids frais puis nous les avons laisser durant 24 heures dans une étuve à la température de 100°C, afin de les déshydrater (les poids secs demeurant d'ailleurs constants, passé ces 24 heures).

3.5.2. RESULTATS.

Les résultats sont indiqués dans les tableaux 15, 16 et 17 (voir aussi Fig.29).

Les supports naturels ont reçu 21,09% d'oeufs de plus que les supports synthétiques (Tableau 15). Pour savoir si la différence entre le nombre d'oeufs pondus, sur un support naturel et sur un support synthétique, est statistiquement significative; nous avons appliqué le test de l'analyse de variance à une dimension après avoir transformé les données selonla méthode de FREEMAN-TUKEY: $[1/2 (\sqrt{x} + \sqrt{x+1})]$. L'analyse des résultats (Tableau 15) montre que la différence n'est pas significative au seuil de 1% (pour DL. =14 et F = 1,48).

Enfin, pour déterminer si la quantité d'eau adsorbée sur les supports synthétiques de ponte peut influer sur la fécondité et si la différence de la fécondité est statistiquement significative, nous avons appliqué le test de l'analyse de variance à une dimension après avoir transformé les données selon la méthode de FREEMAN-TUKEY: $[1/2 \ (\sqrt{x} + \sqrt{x+1})]. \ L'analyse des résultats (Tableau 17) montre que la différence est significative au seuil de 1% (pour DL. = 48 et F = 14,60).$

Le degré hygrométrique du support de ponte joue donc un rôle important sur la fécondité de Sesamia calamistis HAMPSON et la quantité d'eau adsorbée sur les supports synthétiques de ponte a une action stimulatrice sur le choix du lieu de ponte.

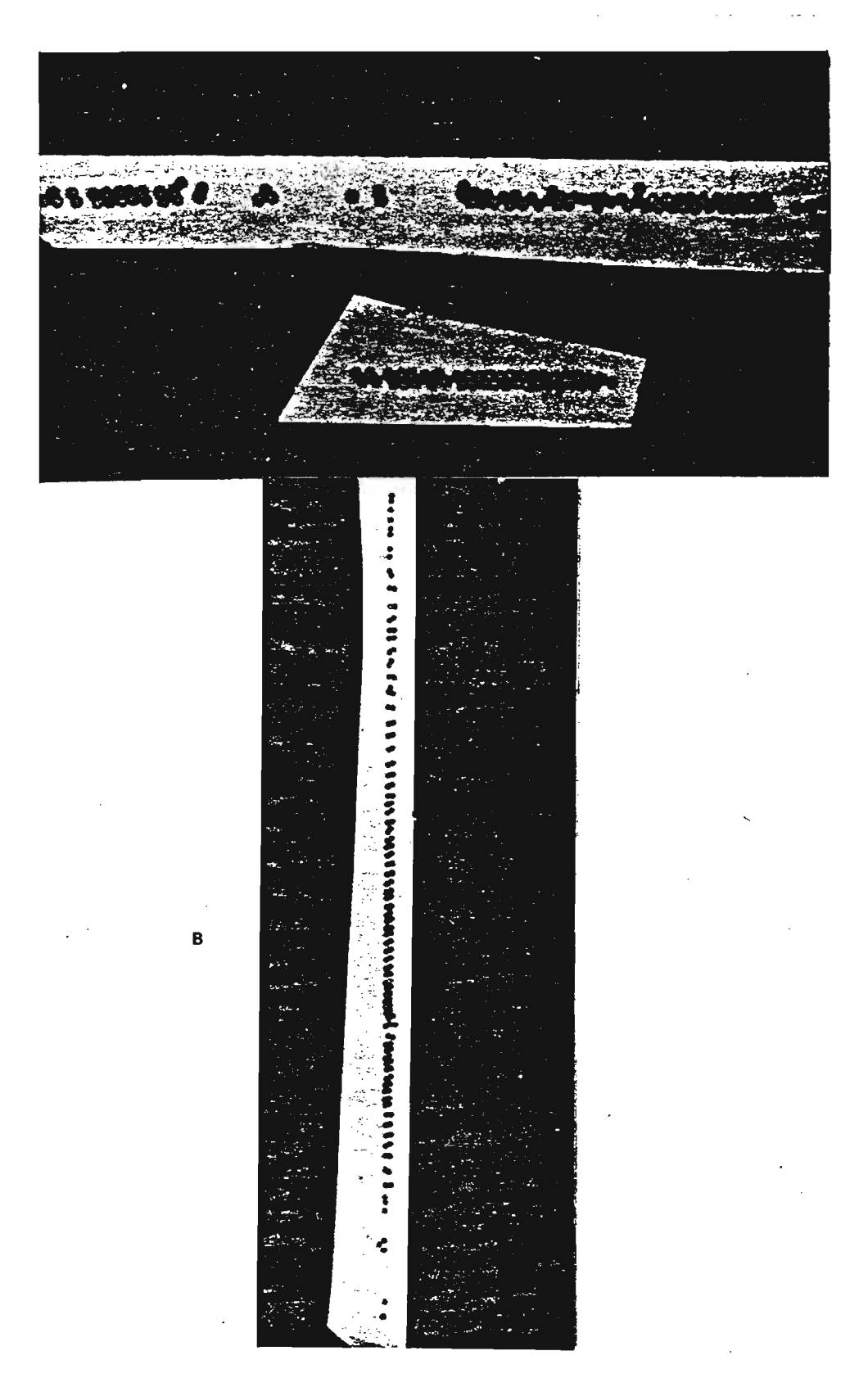


Fig.29: Ponte de Sesamia calamistis HAMPSON, sur un morceau du support artificiel de ponte (A X 3,7; B x 1,5).

Tableau 15 : Influence de la présence de tige de mais sur la fécondité de Sesaria calamistis HAMPSON.

Nombre d'oeufs pondu	s par femelle sur
Support naturel (jeune plant de mais, stade 4 à 5 feuilles)	Support synthétique (degré hygrométrique de) 80 à 90%
178	111
217	153
268	185
71	135
186	128
123	91
107	105
220	173
Total : 1370	1081
Moyenne : 171,25	135,13

Tableau 16 : Quantité d'eau adsorbée sur des supports synthétiques, placés durant 4 jours dans des atmosphères différentes.

Humidi	tě relative 80	à 90%	45 à 50%						
Poids frais du support (en g.)	Poids sec du support (en g.)	Quantité eau adsorbée (en mg.)	Poids frais du support (en g.)	Poids sec du support (en g.)	Quantité eau adsorbée (en mg.)				
2,055	1,750	350	1,258	1,198	60				
1,876	1,577	299	1,482	1,417	65				
1,421	1,203	218	1,629	1,561	68				
1,600	1,340	260	1,441	1,357	84				
1,867	1,557	310	1,236	1,178	58				
1,882	1,563	319	1,202	1,162	40				
1,987	1,649	338	1,234	1,177	57				
1,798	1,528	270	1,025	0,977	48				
1,762	1,505	- 257	1,400	1,318	82				
1,720	1,451	269	1,583	1,496	87				
1,857	1,566	291	1,136	1,070	66				
1,730	1,467	263	1,383	1,287	96				
1,541	1,247	294	1,278	1,204	74				
1,750	1,484	265	1,390	1,334	56				
1,599	1,,341	258	1,208	1,155	53				
		Moyenne : 281,07			Moyenne: 66,27				

<u>Tableau 17</u>: Influence du degré d'imbibition des supports synthétiques de ponte sur la fécondité de Sesamia calamistis HAMPSON.

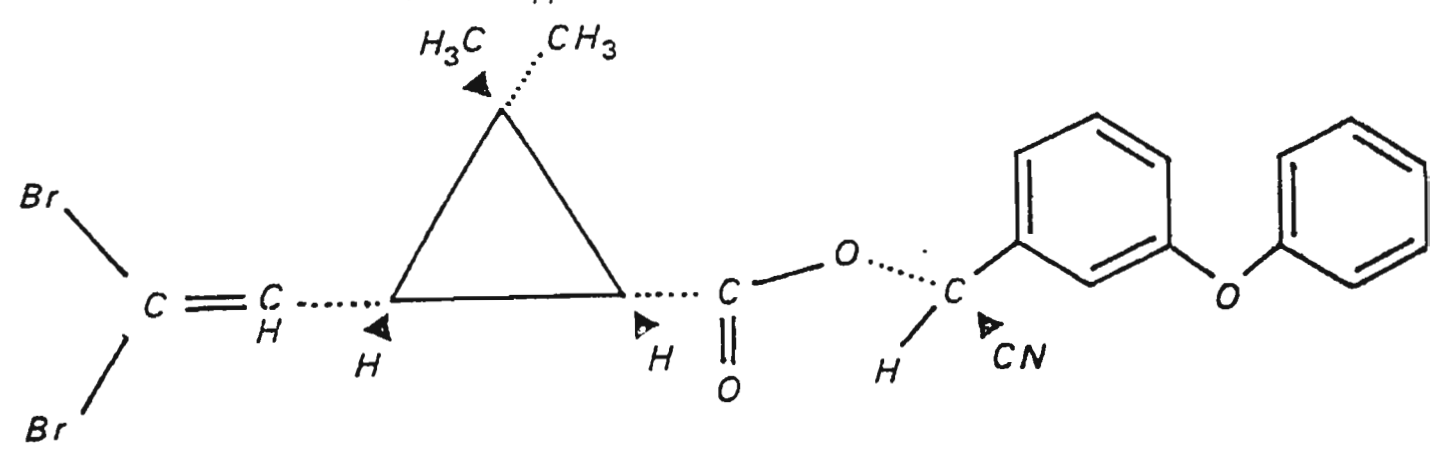
Nombre d'oeufs	déposés par femelle sur
un support dont la quantité mo ne d'eau adsorbée est de 66,27	oyen- un support dont la quantité moyenn d'eau adsorbée est de 281,07 mg.
91	115
118	177
161	154
80	181
70	151
180	156
66	121
112	62
111	96
91	146
96	207
125	57 118
51 63	81
71	188
92	80
72	215
57	112
153	153
73	126
139	167
52	241
98	192
120	287
83	102
Total : 2425	3685
Moyenne : 97	147,4

4. CHAPITRE IV

EFFETS DE DOSES SUBLETALES DE DIVERS INSECTICIDES SUR LA PHYSIOLOGIE DU DEVELOPPEMENT DES LARVES DE SESAMIA CALAMISTIS HAMPSON

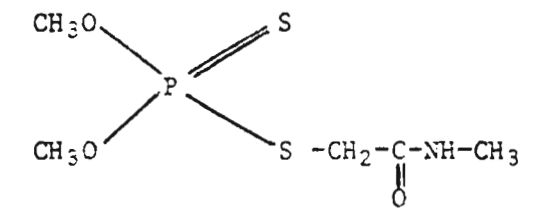
4.1. INSECTICIDES UTILISES.

- 1 Décaméthrine, 2 Diméthoate, 3 Carbofuran.
- 4.1.1. FORMULES ET PROPRIETES PHYSICO-CHIMIQUES.
- 1). Décaméthrine (nom commun) : Pyréthrinoïde de synthèse.
- . Nom chimique : d-cis 2,2 -diméthy1-3- (2,2- dibromoviny1) cyclo propane carboxylate de l alpha cyano-3-phénoxybenzyl.
 - . Formule brute : $C_{22}\ H_{19}\ Br_2\ NO_3$
 - . Formule développée :



(in LHOSTE, 1977)

- . Dénomination commerciale : Décis
- . Propriétés physico-chimiques : La décaméthrine se présente sous la forme d'une poudre cristalline blanche, insoluble dans l'eau (< 0,002 ppm.), soluble dans la plupart des solvants organiques et dans les lipides. Elle est photostable.
- 2). Dimethoate (nom commun): Ester phosphorique.
- . Nom chimique : Dithiophosphate de 0,0 diméthyle et de S-(méthyl-carbamoyl-méthyle).
 - . Formule prute : C5H12NO3PS2
 - . Formule développée :



(in FARAH, 1978)

- . Dénominations commerciales : Perfekthion, Prodathoate, Rogor.50, Sevi-Roxion et Asthoate.
- . Propriétés phisico-chimiques : Le produit pur est un solide incolore. Le produit technique est une huile brun-jaunâtre. Densité : 1,297. Tension de vapeur 8,5 x 106 mm Hg à 25°C. Ce produit s'hydrolyse lentement en solution acide, plus rapidement en solution alcaline. Il est légèrement corrosif pour le fer. Il se solubilise aisément dans les solvants organiques, sauf l'éther de pétrole et les huiles minérales. Sa solubilité dans l'eau est de 25 g/l.
- 3). Carbofuran (nom commun) : Carbamate
- . Nom chimique : 2-3-dihydro-2,2-diméthyl-7-benzofuranyl-N-méthyl carbamate.

- . Formure brute : C12H15NO3
- . tormule développée :

$$C \longrightarrow NH \longrightarrow CH_3$$

$$CH_3$$

$$CH_3$$
(in VILLEROY, 1973)

- . Dénomination commerciale : Curater
- Propriétés physico-chimiques : Le produit pur se présente sous la forme d'un solide cristallin blanc. Point de fusion : 150°-152°C (produit technique). Tension de vapeur : 2 x 10⁻⁵mmHg à 33°C, 1,1 x10⁻⁴mmHg à 50°C. Sa solubilité à 25°C, est de 700ppm dans l'eau, 15% dans l'acétone, 12% dans le chlorure de méthylène, 9% dans le cyclohéxanone et moins de 1% dans le xylène. Il est stable dans les milieux acides et neutres, légèrement hydrolysable dans les milieux alcalins.

4.1.2. PROPRIETES BIOLOGIQUES.

1). Décamethrine : Les pyréthrines naturelles sont caractérisées par une très faible toxicité pour les mammifères et un effet de choc (effet Knock down) très marqué sur les insectes, ce qui explique leur intéret pour les usages ménagers. Par contre, leur pouvoir insecticide n'était pas considérable et surtout leurs molécules sont très instables, notamment sous l'effet de la lumière solaire, ce qui interdit leur usage pour certaines applications agricoles et les confine au seul traitement des denrées entreposées.

CHEN et CASSIDA (1969) ont montré que tous les pyréthrinoïdes décrits jusqu'à cette date sont instables à la lumière et très sensibles à l'oxygène de l'air qui rompt leur molécule. Ce n'est qu'en 1973 qu'ELLIOTT et ses collaborateurs, à Rothamsted (U.K.), ont pu obtenir des composés photostables à très haut niveau d'activité insecticide, donc susceptibles d'être employés sur une vaste échelle dans les domaines agricoles, forestiers et sanitaires (lutte contre les insectes vecteurs de maladies humaines ou du bétail). L'un des plus connus est la décaméthrine.

Cet insecticide est 1700 fois plus actif sur les mouches domestiques que les pyréthrines naturelles et 34 fois plus actif que la bioresméthrine (isomère trans de la resméthrine), (MARTEL, 1978). Dans l'étude de quelques pyréthrinoïdes photostables en arboriculture fruitibre présentée par VAN WETSWINKEL et SEUTIN (1979) on peut voir que les doses efficaces sont extrêmement faibles : 6 à 40 fois inférieures à celles des insecticides classiques, la décaméthrine étant d'ailleurs la plus remarquable à ce sujet. Le mode d'action particulier des pyréthrinoïdes permet de lutter contre les souches d'insectes résistantes aux autres insecticides, sauf très rares exceptions : ainsi, une résistance élevée a été observée chez les mouches des fermes danoises vis-à-vis des pyréthrinoïdes de synthèse ; KEINING (1977) a observé chez ces insectes un phénomène de résistance (DL 50 x 1600) à la décaméthrine. Ces exceptions doivent, néanmoins, être toujours présentes à l'esprit afin de bien recommander toutes les mesures possibles pour prévenir cette apparition de souches résistantes aux pyréthrinoides : éviter les sous ou surdosages, alterner les classes d'insecticides utilisés etc. (LHOSTE, 1977).

La décaméthrine agit par contact et ingestion sur un grand nombre d'insectes, à des doses très faibles.

Les pyréthrinoïdes n'agissent pas par voie endothérapique, étant insuffisamment solubles dans l'eau, ils ne sont pas véhiculés par la sève et par conséquent n'agissent pas sur les insectes abrités sous les feuilles, les écorces etc. à l'abri donc des pulvérisations directes.

En plus de leur effet insecticide, remarquable et de leur biodégradabilité, les pyréthrioïdes présentent un effet antiappétant. Celui-ci peut protéger pendant un certain temps contre les attaques des insectes; la persistance utile s'étend sur une période allant de 7 à 21 jours, selon les conditions climatiques. Des observations très intéressantes ont été faites sur l'action répulsive de la décaméthrine vis-à-vis des abeilles (in LHOSTE, 1977).

Cet insecticide présente les avantages de n'avoir pratiquement aucume phytotoxicité et de ne laisser que très peu de résidus toxiques, les quantités retrouvées dans divers végétaux étant toujours inférieures à 0,1 ppm, excepté dans un cas de laitues examinées deux jours après traitement (HASCOET et ANDRE, 1978; MESTRES, 1978).

La décaméthrine est souvent utilisée en traitement des parties aériennes sous la forme de liquide émulsifiable pour pulvérisation, sur de nombreuses cultures (céréales, cultures légumières, cultures fruitières, cotonnier), à des concentrations faibles : 0,75 g/hl à 1,75 g/hl (in BAILLY et DUBOIS, 1980). Sa toxicité à l'égard des animaux à saug chaud est faible, la DL 50 pour le rat étant de 70-140 mg/kg en application per OS (in LHOSTE, 1977).

Les pyréthrinoïdes ne semblent pas présenter de danger pour l'homme à condition de les manipuler avec un minimum de soins. Par contre, ils seraient, semble-t-il, dangereux pour les poissons.

. Formulation utilisée pour nos tests.

Poudre technique à 97,5%.

2). Dimethoate: Cet insecticide organo-phosphoré, surtout fabriqué en Italie et aux U.S.A., présente des propriétés endothérapiques (ou systématique ou télétoxiques) et agit par contact et ingestion sur de nombreux Acariens et Insectes.

Il présente une bonne rémanence, de 2 à 3 semaines. Il est souvent utilisé en traitement des parties aériennes sous forme de liquide pour pulvérisation, sur de nombreuses cultures (betterave, culturees fruitières, cultures légumières, olivier), à la dose de 500 g de m.a./ha. Son utilisation est en général interdite 7 jours avant la récolte (15 jours pour les légumes, 2! jours pour les olives). Sa DL₅₀ moyenne pour le rat est de 130 mg/kg (in STREBLER, 1978). Il est dangereux pour le gibier et les abeilles et très dangereux bien sûr pour les entomophages. Son usage répété favoriserait le développement des tétranyques.

- . Formulation utilisée pour nos tests.

 Poudre technique à 100%.
- 3). Carbo furan: Cet insecticide d'origine allemande et américaine est doté de propriétés systémiques et agit par contact, ingestion et de manière plus réduite, par inhalation (in BAILLY et DUBOIS, 1980). Il agit sur de nombreux insectes et possède également une action vis-à-vis des myriapodes et nématodes.

Le carbofuran est expérimenté en France depuis 1971, essentiellement sous forme de granulés à 5% de matière active (Curater), en traitement du sol (VILLEROY et POURCHARESSE, 1975) et aussi avec d'autres formations, par exemple en traitement des semences. La technique du traitement du sol en localisation dans la raie de semis apporte une protection efficace, même en cas de forte attaque, avec des doses de produit réduites jusqu'à dix fois par rapport à la dose qui serait à utiliser en traitement généralisé.

Cet insecticide est très indiqué pour traiter les cultures de riz, de maïs, de betteraves, d'arachides, de pomme de terre, de coton, de légumes, de sorgho, de tournesol, de colza et de chicorée, à la dose de 600 g de m.a./ha, en localisation dans la raie de semis.

En traitement du sol, sa persistance d'action est de l'ordre de 50 jours. Le produit se métabolise dans le sol et dans la plante par oxydation et hydrolyse et se transforme en glucosides et glucuronides non toxiques. Du fait de la dégradation naturelle de la matière active dans le sol, il n'y a donc pas lieu de craindre la présence de résidus toxiques, ni dans la plante et ses sous-produits, ni dans les cultures suivantes. Ce produit n'a pas de propriétés toxiques cumula-

tives; il n'a pas non plus de propriétés neurotoxiques (in VILLEROY, 1973). Par des tests effectués avec le carbofuran en traitement du sol, à des doses de 1,12 et 2,24 kg/ha., PFRIMÆR (1968) a observé, en culture de cotonnier, que, par ce mode d'application, seuls les insectes nuisibles suceurs et broyeurs s'attaquant aux feuilles sont touchés par le produit, les insectes et acariens utiles n'étant pas atteints; ce serait évidemment à vérifier avec beaucoup de rigueur.

. Toxicité: La DL 50 pour le rat, par ingestion, est de 8 à 14 mg/kg. Il est dangereux pour le gibier et les poissons (in BAILLY et DUBOIS, 1980).

. Formulation utilisec pour nos tests.

Poudre technique à 100%.

4.1.3. MODE D'ACTION.

1). Urganophosphorés (diméthoate) et Carbamates (carbafuran). Ils agissent en inhibant la cholinestérase. Il s'en suit une accumulation de l'acétylcholine au niveau des synapses et un arrêt de la transmission nerveuse. Cependant, les carbamates sont plus sélectifs que les organophosphorés vis-à-vis des insectes et ils présentent une meilleure complémentarité structurale à l'égard du site d'action de l'acétylcholinestérase.

Les carbamates sont moins toxiques pour les vertébrés et particulièrement pour l'homme en raison de l'intense détoxification opérée par les oxydases du foie (METCALF, 1971).

2). Pyréthrinoïdes (décamathrine). Ils perturbent l'influx nerveux en intervenant, par voie électrophysiologique, sur le système neuromusculaire (NARAHASHI, 1976). Il s'en suit une dépolarisation de la membrane nerveuse et un blocage du potentiel d'action de la cellule soumise à une excitation électrique. Ceci explique que de nombreux auteurs n'aient pas décelé de modification morphologique dans les cellules des individus traités (LHOSTE, 1959). On ne décèle pas non plus de modification dans la répartition du sodium ni dans la localisation des zones d'activité des estérases.

YAMAMOTO (1969) estime que les pyréthrinoïdes agissent sur les terminaisons nerveuses sensorielles en provoquant une paralysie passagère; comme le signale également LHOSTE (1977), les esters d'al-léthrolone qui agissent très rapidement, provoquent bien une paralysie des insectes, mais de caractère passager. Des enzymes, oxydase et estérase détoxifient les composés de ce groupe, permettant ainsi à l'insecte de survivre.

4.1.4. MODE D'UTILISATION LORS DE NOS TESTS.

Dans tous les travaux d'expérimentation insecticide au laboratoire, les doses des substances à tester sont définies au microgramme de matière active par gramme de poids vif de l'insecte ($\mu g/g$) ou par insecte.

Pour pouvoir administrer commodément et avec précision la dose choisie, nous appliquons la substance, en solution acétonique, au moyen d'un appareillage connu pour sa grande précision, le microapplicateur automatique ARNOLD (Fig. 30), doté d'une seringue micrométrique AGLA permettant le dépôt de faibles volumes de solution allant de 0,1 à 1 microlitre. On trouvera tous les détails sur cet appareillage dans les publications de GRY (1974).

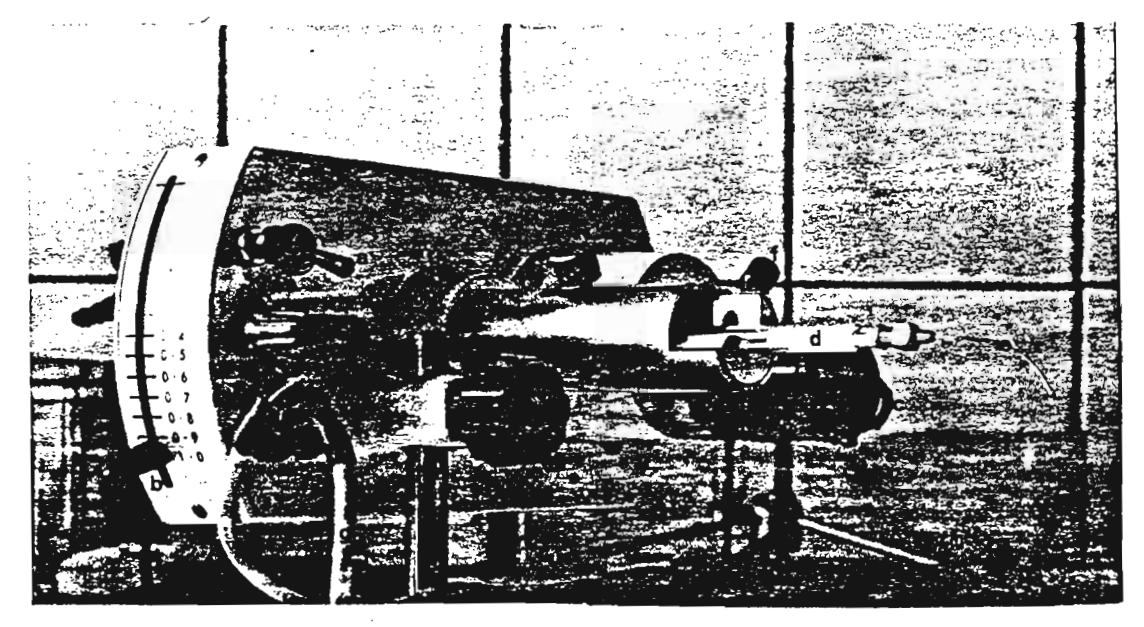


Fig. 30: Microapplicateur automatique, ARNOLD.

a) Interrupteur général, b) Levier du sélecteur de gouttes, c) Moteur électrique, d) Seringue en verre "AGLA", e) aiguille coudée, f) Boulon de blocage de la seringue, g) Arrivée du courant (12-18 v.).

Lors des essais par contact topique, sur les larves de Sesamia calamistis Hampson, la dose est appliquée sur la partie dorsale du thorax de chacune des larves, selon la méthode recommandée par la F.A.O. pour les larves de Spodoptera littoralis (N° 8, vol.19, pp.32-1971).

4.1.5. PREPARATION DES SOLUTIONS.

Les substances à tester sont mises en solution dans l'acétone, solvant très employé pour sa grande volatilité. Les solutions sont préparées dans des petites fioles à fermeture rodée, de contenance 10 ml, qui sont fermées hermétiquement à l'aide de parafilm et placées, après leur utilisation, dans un congélateur, à une température de - 20°C afin d'éviter toute dégradation.

Compte tenu des propriétés de la décaméthrine, il est recommandé d'ajouter, à la solution acétonique, ! partie pour mille d'acide acétique (CARLE, communication personnelle) et de ne pas préparer les solutions trop longtemps à l'avance. Il est également indispensable de les mettre à l'abri de la lumière, ceci pour éviter tout changement de concentration par la dégradation du produit.

4.1.6. CHOIX DE LA DOSE SUBLETALE.

D'après MORIARTY (1969) et RAMADE (1969), une dose sublétale d'insecticide est celle qui ne provoque pas une mortalité significative dans l'échantillon de la population d'insectes étudiés. Cependant, dans la littérature, on considère généralement qu'un traitement a un effet sublétal quand il ne provoque pas une mortalité totale de l'échantillon, ce qui laisse subsister une incertitude sur la dose à employer, celle-ci pouvant donc théoriquement varier entre les valeurs extrêmes, O à 99% de mortalité. Par exemple une dose létale 50% (DL 50) peut ainsi être considérée comme sublétale pour les 50% d'individus survivants.

Dans le cadre du présent travail nous avons dénommé "doses sublétales" des doses d'insecticides provoquant une mortalité inférieure à 50%

4.2. ETUDE STATISTIQUE DE L'HOMOGENEITE DU POIDS DES LARVES DU 3EME STADE LARVAIRE DE SESAMIA CALAMISTIS HAMPSON.

Pour nos essais, nous avons choisi de tester des larves en début du 3ème stade larvaire, en raison du fait que ces larves sont, durant les deux premiers stades larvaires, trop petites et trop fragiles pour supporter les manipulations exigées par un traitement en contact topique.

Il importe que le poids des individus utilisés dans un test soit relativement homogène et s'écarte peu de la moyenne. A l'aide d'une balance Mettler, nous avons donc pesé individuellement 80 larves prises au hasard, au début du 3ème stade larvaire. Nous avons ensuite calculé la moyenne, la variance, l'écart-type et le coefficient de variabilité (le rapport de l'écart-type et de la moyenne de l'échantillon) exprimé en pourcentage.

Les résultats sont reportés dans le tableau 18, ils montrent que le C.V.7 des larves au début du 3ème stade larvaire est de 10,60%. Ce coefficient, inférieur à 20%, montre que le poids des larves, en début du 3ème stade larvaire, est suffisamment homogène pour qu'elles puissent être utilisées dans les tests.

Tableau 18

Nore de larves étudiées	Moyenne	Variance	Ecart-type	C.V. Z
80	11,13	1,39	1,18	1,18 11,13 100=10,60Z

- 4.3. EXPERIENCES REALISEES PROCEDURE EXPERIMENTALE ET RESULTATS.
 - 4.3.1. EFFET DU CARBOFURAN SUR LA PHYSIOLOGIE DU DEVELOPPEMENT DES LARVES DE SESAMIA CALAMISTIS HAMPSON.

Pour l'ensemble de ces expériences, les observations ont porté sur les larves qui restent vivantes du début à la fin de chaque essai. Nous avons étudié l'effet du carbofuran sur la croissance pondérale des larves de *S.calamistis*, placées isolément sur milieu artificiel. Pour ce faire, nous avons suivi tous les 2 jours, avec des larves de même âge, au cours du même essai, l'évolution du poids vif de larves non traitées, de larves traitées avec le solvant seul (acétone) et de larves traitées avec une dose de 50µg/g de carbofuran (1).

Les larves sont strictement soumises aux conditions expérimentales précisées au chapitre II. Le traitement est effectué par application topique d'une solution acétonique de carbofuran à raison de lui de solution par 20 mg. d'insecte. Le poids moyen des larves était de 11,13±0,13 mg. Chaque lot témoin était composé de 20 larves, mais le lot traité en comprenait 40. Chaque larve fut placée dans un pilulier, sur milieu alimentaire et l'ensemble faisait l'objet de contrôles périodiques pour ce qui concernait le pourcentage de mortalité, le poids vif des larves, les durées de développement larvaire et nymphal et le poids nymphal.

La mortalité observée pour chacun des lots tests est corrigée pour tenir compte du pourcentage de mortalité qui a pu être provoquée par divers autres facteurs, selon la formule d'ABBOTT :

Mortalité corrigée = 7 mortalité du lot traité-7 mortalité du lot témoin x100 - 7 mortalité du lot témoin

Lorsque la mortalité du lot témoin est inférieure à 5% la correction ne se justifie pas et si elle excède 20%, on doit refaire le

(1). Remarque, nous avons étudié l'effet du solvant (acétone) sur la physiologie du développement des larves de S.calamistis afin de rechercher si ce solvant avait éventuellement une action propre.

test en s'efforçant de réduire ou d'éliminer les causes d'une telle anomalie.

Le tableau 19 représente les mortalités cumulées relevées 1,2,4 ... et 20 jours après traitement. Les tableaux 20 et 21 regroupent les moyennes de poids des larves mâles et femelles (avec leurs erreurs standards) relevées tous les 2 jours. Dans le tableau 22, nous comparons, par le test t de STUDENT, les moyennes des poids des larves mêles et femelles.

Les courbes des figures 31 et 32 représentent respectivement la croissance pondérale des larves femelles et celle des larves mâles de *S.calamistis* d'un lot d'insecte témoin non traité, d'un lot traité par le solvant (acétone) et d'un lot traité avec une dose de 50 g/g de carbofuran.

Le tableau 23 représente les durées moyennes de développement larvaire et nymphal en jours († les erreurs standards) ainsi que les poids moyens des chrysalides en mg († leurs erreurs standards). Le tableau 24 représente les pourcentages de larves nymphosées 24, 26... et 38 jours après éclosion. Les diagrammes des figures 33, 34 représentent la nymphose des larves de S.calamistis d'un lot d'insectes témoins, d'un lot traité par le solvant (acétone) et d'un lot traité avec une dose de 50µg/g de carbofuran. Il apparaît nettement que, dans les dix jours qui suivent le traitement, les moyennes des poids mesurés des larves femelles et mâles traitées sont inférieures à la moyenne des poids mesurés, aux mêmes dates, des insectes traités par le solvant seul (acétone) et des insectes témoins non traités (voir Tableaux 20, 21 et aussi Fig.31 et 32).

Nous avons appliqué le test t de STUDENT pour savoir si la différence entre les moyennes des poids dans le lot traité par le carbofuran et le lot traité par le solvant seul (acétone) est significative (Tableau 22).

Nombre de jours après traitement	1	2	4	6	8	10	12	20	Mortalité corrigée %
Lot témoin non traité	-	-	-	-	-	-	-	5	οz
Lot traité avec le solvant seul	_	-	10	10	. 10	10	10	10	5,26%
Lot traité à la dose de 50µg/g de carbofuran	10	12,5	12,5	12,5	12,5	12,5	12,5	15	5,56%

Tableau 19 : Pourcentages des mortalités cumulés pour des larves de S. calamistis HAMPSON.

Nbre jours	Nbre de jours	Lot témoir	non traité		avec le solvant (acétone)	Lot traité par le carbofuran à la dose de 50µg/g			
après éclosion	après traite- ment	Effectif	Moyenne des poids en mg. ± E.S.	Effectif	Moyenne des poids en mg. ± E.S.	Effectif	Moyenne des poids en mg ± E.S		
10	0	10	11,73±0,14	9	11,00±0,36	17	11,20±0,18		
12	2	10	36,80 [±] 1,78	9	34,56±2,08	17	24,47±2,71		
14	4	10	44,80±3,86	. 9	38,55 [±] 2,24	17	25,82 [±] 2,36		
16	6	10	132,10±4,37	9	115,44±6,83	17	83,88 [±] 11,01		
18	8	10	202,70±10,42	9	187,22±4,92	17	122,06±13,56		
20	10	10	235,20±13,55	9	201,78 [±] 5,75	17	157,18±15,36		
22	12	10	218,10 [±] 17,26	9	228,22+13,63	17	204,88 [±] 17,09		
24	14	10	201,36±13,72	9	213,56±9,52	17	206,76±13,87		
26	16	9	188,30±12,62	9	209,22±10,04	15	200,17±13,02		
			E.S. = Erre	eur standard.					

Tableau 20 : Croissance pondérale des larves femelles de S.calamistis , après traitement par le carbofuran avec une dose de 50µg/g.

près traite- ment	Effectif	Moyenne des poids en mg		Moyenne des		
0		± E.S.	Effectif	poids en mg	Effectif	Moyenne des poids en mg ± E.S.
Ť	9	10,67±0,25	9	11,44±0,50	17	11,00±0,22
2	9	31,44±2,80	9	29,67±4,70	17	25,65±2,21
4	9	33,89±2,98	9	34,22±4,95	17	30,65±2,99
6	9	99,89±6,30	9	85,78 [±] 10,63	17	83,29 [±] 6,77
8	9	150,67±7,49	9	155,56±15,54	17	129,82±9,89
10	9	172,11±7,61	9	174,22±13,08	17	161,71±13,32
12	9	159,22±7,72	9	152,44±13,25	17	164,56±7,11
14	9	140,56 [±] 5,02	8	146,13 [±] 10,19	16	152,71 [±] 8,59
16	6	116,50±3,50	6	140,67±7,07	10	142,50±5,98
	4 6 8 10 12	4 9 6 9 8 9 10 9 12 9 14 9	4 9 33,89±2,98 6 9 99,89±6,30 8 9 150,67±7,49 10 9 172,11±7,61 12 9 159,22±7,72 14 9 140,56±5,02 16 6 116,50±3,50	4 9 33,89±2,98 9 6 9 99,89±6,30 9 8 9 150,67±7,49 9 10 9 172,11±7,61 9 12 9 159,22±7,72 9 14 9 140,56±5,02 8	4 9 33,89±2,98 9 34,22±4,95 6 9 99,89±6,30 9 85,78±10,63 8 9 150,67±7,49 9 155,56±15,54 10 9 172,11±7,61 9 174,22±13,08 12 9 159,22±7,72 9 152,44±13,25 14 9 140,56±5,02 8 146,13±10,19 16 6 116,50±3,50 6 140,67±7,07	4 9 33,89±2,98 9 34,22±4,95 17 6 9 99,89±6,30 9 85,78±10,63 17 8 9 150,67±7,49 9 155,56±15,54 17 10 9 172,11±7,61 9 174,22±13,08 17 12 9 159,22±7,72 9 152,44±13,25 17 14 9 140,56±5,02 8 146,13±10,19 16 16 6 116,50±3,50 6 140,67±7,07 10

Tableau 21 : Croissance pondérale des larves mâles de S.calamistis, après traitement par le carbofuran avec une dose de 50µg/g

Tableau 22 : Comparaison des moyennes des poids larvaires par le test t de STUDENT

Nombre de jours après traitement	Larves	mâles	Larves femelles						
	Το - Λ	A - Tr	То - А	A - Tr					
2	t = 0,34 N.S.	t = 0,93 N.S.	t = 0,87 N.S.	t = 2,61 S.					
4	t = 0,06 N.S.	t = 0,68 N.S.	t = 1,43 N.S.	t = 3,63 H.S.					
6	t = 1,21 N.S.	t = 0,21 N.S.	t = 2,03 N.S.	t = 2,08 S.					
. 8	t = 0,38 N.S.	t = 1,52 N.S.	t = 1,37 N.S.	t = 3,51 H.S.					
10	t = 0,29 N.S.	t = 0,63 N.S.	t = 2,29 S.	t = 2,12 S.					
12	-	-	t = 0,48 N.S.	t = 0,94 N.S.					

<u>Légende</u>: To = Lot témoin non traité; A = Lot traité à l'acétone seule; Tr : Lot traité au carbofuran à la dose de 50µg/g; N.S. Non significatif; S = Significatif; H.S. Hautement significatif.

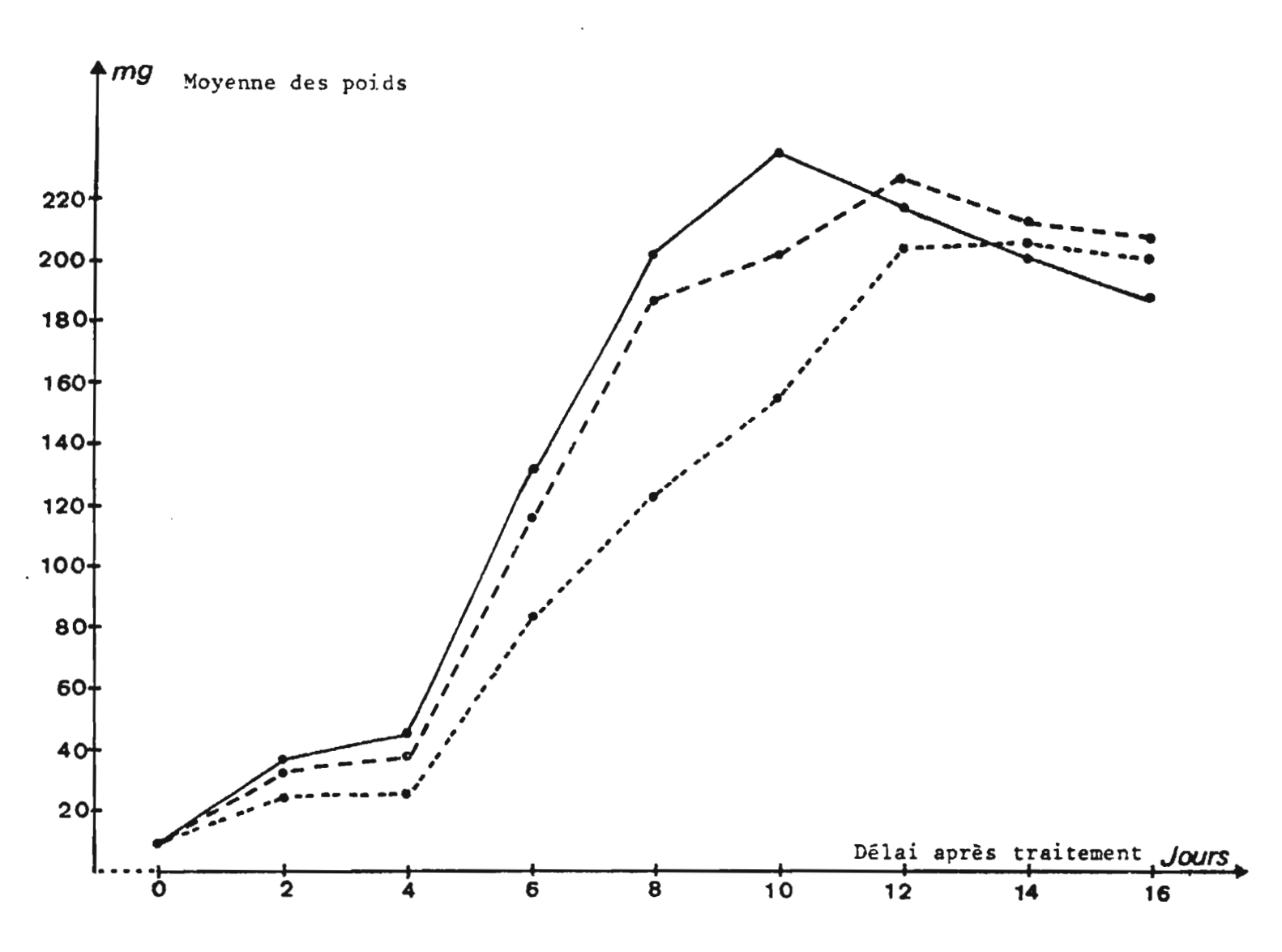


Fig.31- Croissance pondérale des larves femelles de S.calamistis placées isolément après traitement.

- -6--- Lot traité avec le seul solvant
- -(----) Lot traité avec une dose de 50 mg/g de carbofuran

 Chaque point représente le poids moyen pour 17 à 9 larves.

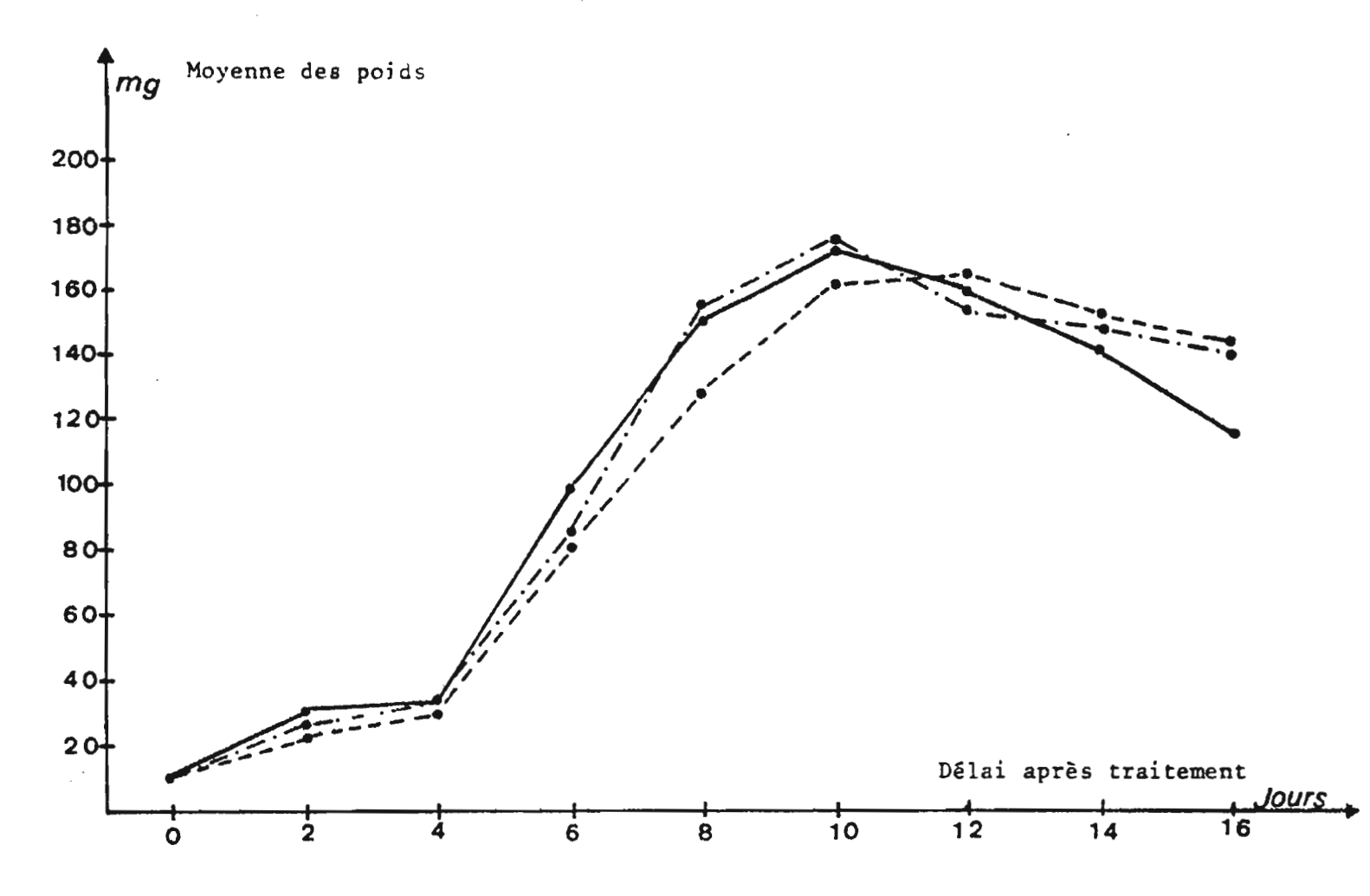


Fig-32 - Croissance pondérale des larves mâles de S. calanistis placées isolément après traitement.

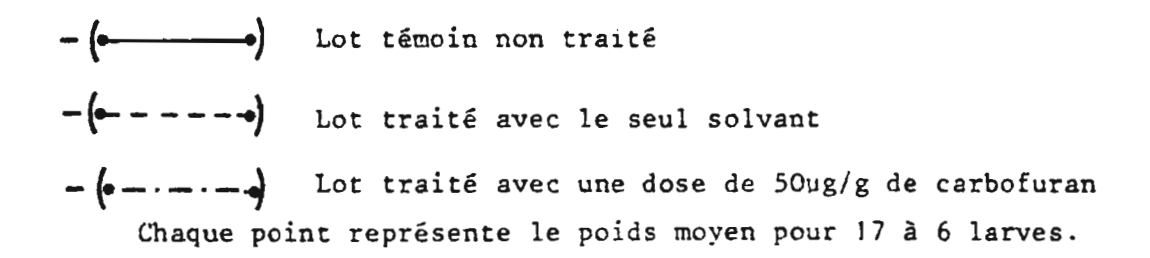


TABLEAU 23. Durées moyennes des développements larvaire et nymphal en jours et poids moyens des chrysalides en mg (+ leurs erreurs standards).

	développeme	oyennes du ent larvaire jours	Durées moy développemen en jou	nt nymphal	Poids moyens des chrysalides en mg			
	1	ç	871	ç	8	ş		
Lot témoin non traité	28,4 + 0,85	30,6 <u>+</u> 1,14	10,9 + 0,25	11,9 + 0,41	115,00 <u>+</u> 3,48	157,60 <u>+</u> 10,30		
Lot traité avec le solvant (acétone)	29,3 <u>+</u> 1,32	31,6 <u>+</u> 0,77	10,4 + 0,36	11,2 + 0,48	112,00 + 6,86	181,44 <u>+</u> 15,84		
Lot traité au carbofuran à la dose de 50 µg/g	28,7 <u>+</u> 0,88	31,9 <u>+</u> 1,09	10,5 <u>+</u> 0,17	11,5 + 0,26	124,53 <u>+</u> 3,67	174,18 <u>+</u> 10,20		

TABLEAU 24. Pourcentages de larves nymphosées pour des larves de S.calamistis HAMPSON.

Nombre de jours après éclosion	24		2	6	2:	8	3(o 	3:	2		34	36	5	3	8
·	87	Ş	81	Ŷ	8	9	8	\$	87	\$	δ	Ş	<i>₹</i>	Ş	d ⁷	\$
Lot témoin non traité	-		33,33	10	33,33	30	11,11	20	22,22	20	-	-	-	20	-	-
Lot traité par le solvant (acétone)	11,11	-	22,22	-	11,11	-	22,22	55,56	22,22	22,22	-	11,11	11,11	11,11	-	-
Lot traité par le carbofuran avec une dose de 50 µg/g	5,88	-	35,29	11,76	23,53	11,76	5,88	35,29	23,53	11,76	-	-	-	-	5,88	29,41

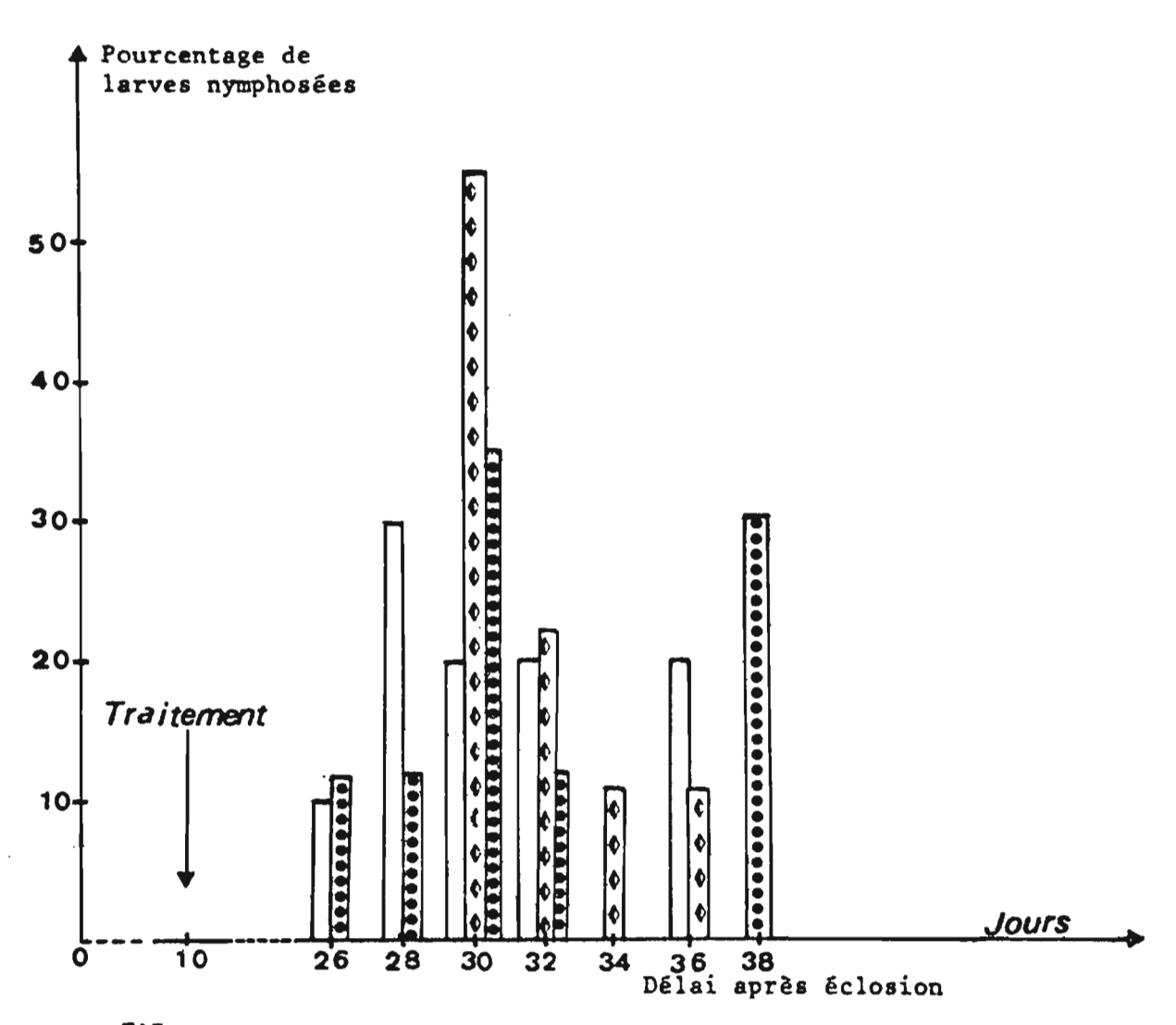


Fig.33 - Diagramme de nymphose des larves femelles de Sesamia calamistis HAMPSON après traitement au début du troisième stade larvaire.

- -([]) Lot témoin non traité
- -() Lot traité avec le solvant seul
- -(Lot traité au carboturan à la dose de 50 μg/g

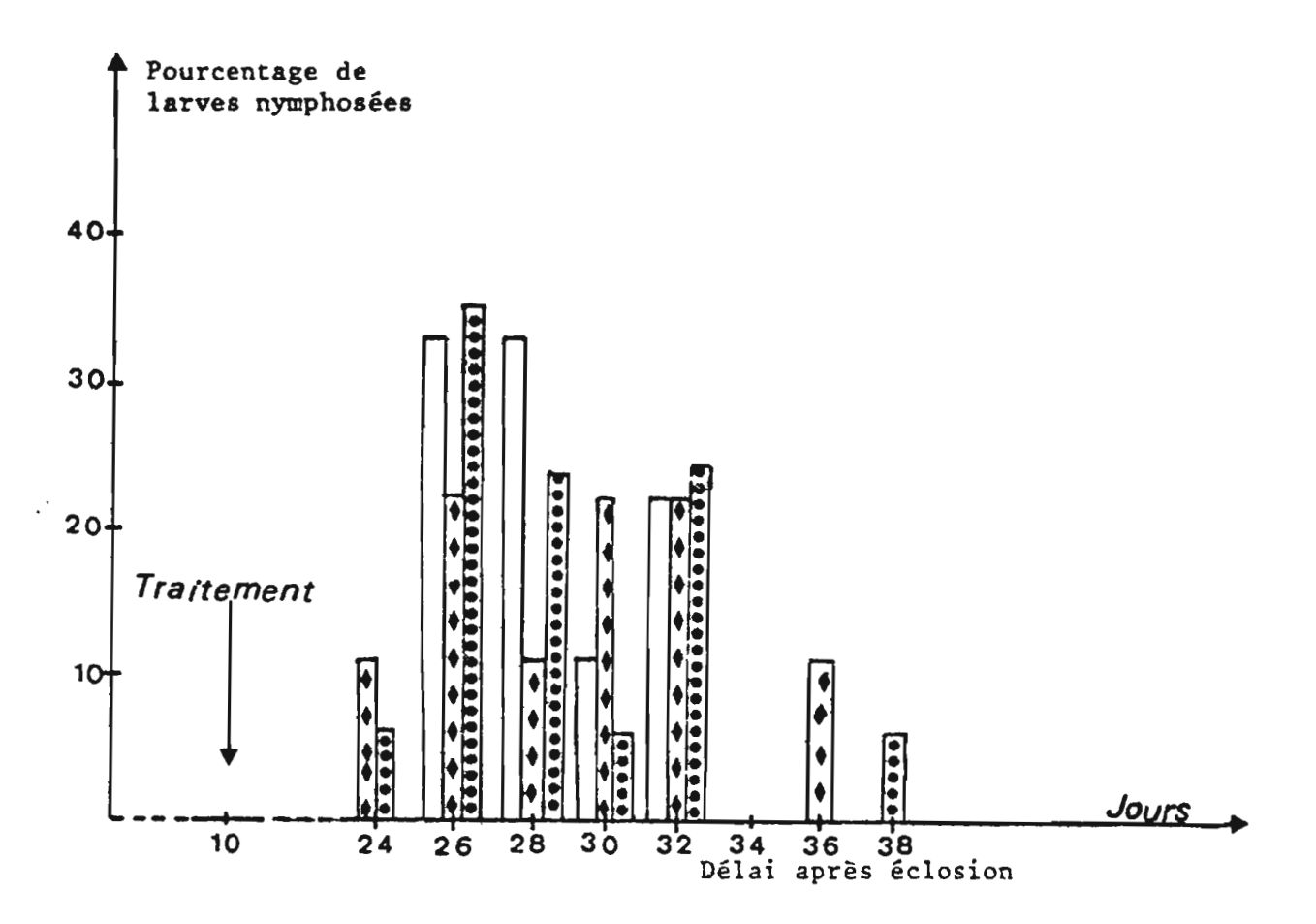


Fig. 34 - Diagramme de nymphose des larves mâles de Sesamia calamistis HAMPSON après traitement au début du troisième stade larvaire.

- -(]) Lot témoin non traité
- -() Lot traité avec le solvant seul (acétone)
- -() Lot traité au carbofuran à la dose de 50µg/g

Nous avons appliqué le même test pour comparer les moyennes des poids des larves traitées avec le solvant seul (acétone) et celles du lot témoin non traité (tableau 22).

L'examen de ce tableau montre que la différence entre les moyennes des poids de larves femelles dans le lot traité avec carbofuran et le lot traité au solvant seul (acétone) est significative, à partir du deuxième jour qui suit le traitement. Après le dixième jour qui suit le traitement, les différences entre ces moyennes ne sont plus significatives essentiellement parce que les larves du lot témoin commencent à entrer en prénymphose et que leur poids moyen diminue. Ainsi, le carbofuran manifeste réellement un effet inhibiteur sur la croissance des larves femelles de S.calamistis. Par contre, la différence entre lot témoin et lot traité au carbofuran n'est pas significative pour ce qui concerne les larves mâles, ni pour les larves mâles et femelles entre les lots traités par le solvant seul (acétone) et les lots témoins non traités. L'acétone est donc un produit neutre, n'e-xerçant pas d'effet sur la croissance pondérale des larves de S.calamistis.

L'examen du tableau 23 montre que la variation des durées moyennes de développement larvaire et nymphal est très peu importante, alors que la différence des poids moyens des chrysalides l'est davantage, surtout chez les femelles. Pour étudier cette différence de poids, nous avons appliqué le test t de STUDENT et les résultats sont les suivants :

Comparaison des moyennes des poids des chrysalides.

Pour les chrysalides femelles : A-To : t = 1,36 N.S., A-Tr : t = 0,42 N.S. Pour les chrysalides mâles : A-To : t = 0,41 N.S., A-Tr : t = 1,85 N.S.

Chez les larves traitées au carbofuran, la période de nymphose se prolonge, notamment chez les larves mâles. Ainsi, la nymphose des larves mâles s'échelonne sur 16 jours pour le lot traité au carbofuran, sur 12 jours pour le lot traité par le solvant seul (acétone) et sur 8 jours pour le lot témoin non traité.

Le tableau 24 et les diagrammes des figures 33 et 34 représentent la variation, en pourcentage de larves nymphosées, du délai entre l'éclosion de l'oeuf et la nymphose.

4.3.2. EFFET DE LA DECAMETHRINE SUR LA PHYSIOLOGIE DU DEVELOP-PEMENT DES LARVES DE SESAMIA CALAMISTIS HAMPSON.

Etant donné que l'acétone a déjà été présentée un produit neutre et n'exerçant aucun effet sur la physiologie du développement des larves de S.calamistie, nous avons éliminé le lot témoin non traité, de cet essai.

La technique d'étude est la même que pour l'essai précédent. La dose de décaréthrine choisie était de lug/g d'insecte. Le tableau 25 représente les mortalités cumulées relevées 2,3,9... et 20 jours après traitement

Les tableaux 26 et 27 regroupent les moyennes de poids des larves (avec leurs erreurs standards) relevés 3,8,12 et 15 jours après traitement, pour des larves femelles et mâles.

Le tableau 28 compare, par le test t de STUDENT, les moyennes des poids mesurés.

Les courbes des figures 35 et 36 représentent respectivement la croissance pondérale des larves femelles et celle des larves mâles de S.calamistis d'un lot d'insecte témoin traité par le solvant et d'un lot traité par la décaméthrine à la dose de lug/g.

Tableau 28 : Comparaison des moyennes des poids larvaires par le test t de STUDENT.

Nombre de jours après traitement	Pour les larves femelles A - Tr	Pour les larves mâles A - Tr
.3	t = 0,74 N.S.	t = 0,84 N.S.
8	t = 0,88 N.S.	t = 0,76 N.S.
12	t = 0,69 N.S.	t = 0,81 N.S.
15	t = 2,38 S.	t = 2,16 N.S.

N.S. = Non significatif ; S. = Significatif

Nombre de jours après traitement	2	3	9	13	16	20	Mortalité corrigée %
Lot traité par la décamé- thrine à la dose de lug/g	15%	25%	30%	30%	30%	30%	22,22%
Lot traité avec le seul solvant (acétone) : témoin	0%	07.	5%	10%	10%	10%	7.

<u>Tableau 25</u>: Pourcentages de mortalités cumulées pour des chenilles de Sesamia calonistis HAMPSON.

Nbre de jours			noin traité avec nt seul (acétone)	Lot traité avec la décaméthrine à la dose de lµg/g			
après éclosion	après traite- ment	Effectif	Moyenne des poids en mg ± E.S.	Effectif	Moyenne des poids en mg ± E.S.		
. 13	3	10	75,00 ± 11,12	6	62,17 [±] 15,07		
18	8	10	186,90 ± 21,43	6	156,33 ± 32,13		
22	12	10	237,90 ± 22,60	6	267,17 ± 46,91		
25	15	10	220,60 ± 13,41	6	273,83 ± 21,57		

Tableau 26 : Croissance pondérale des larves P de Sesomia Calomistis, après traitement à la décaméthrine à la dose de lug/g.

Nbre de jours			noin traité avec nt seul (acétone)	Lot traité avec la décaméthrine à la dose de lµg/g			
après éclosion	après traite- ment	Effectif	Moyenne des poids en mg ± E.S.	Effectif	Moyenne des poids en mg ± E.S.		
. 13	3	8	78,75 ± 15,23	8	64,50 ± 9,50		
18	8	8	159,38 ± 13,92	8	145,00 ± 14,65		
22	12	8	170,50 ± 15,92	8	152,38 [±] 17,65		
25	15	6	163,83 ± 13,71	7	126,71 ± 12,64		

Tableau 27 : Croissance pondérale des larves de Sesamia calamistis, après traitement par la décaméthrine à la dose de lug/g

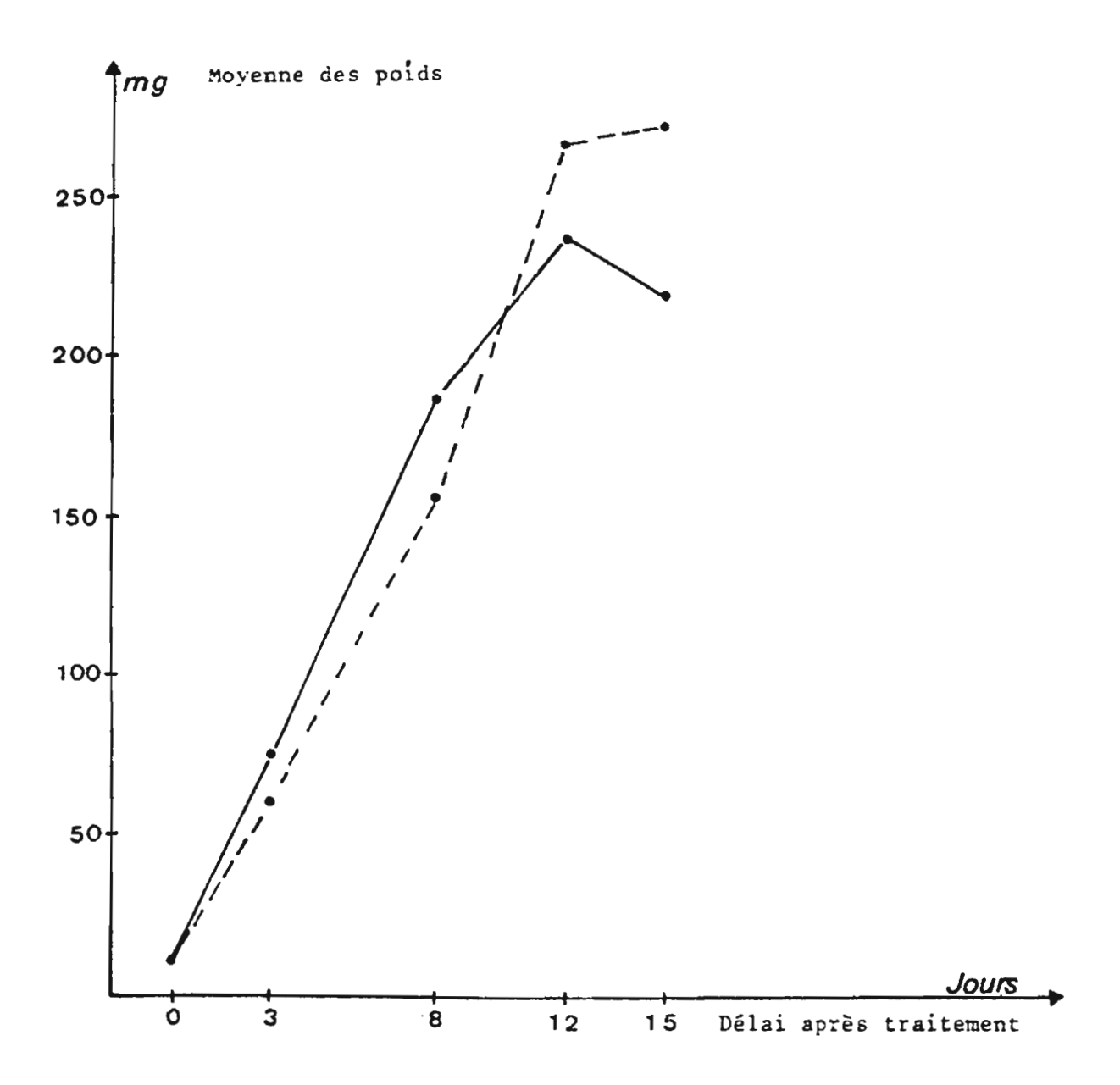


Fig-35 - Croissance pondérale des larves femelles de Sesamia calamistic HAMPSUN, placées isolément après traitement.

Lot témoin traité par le solvant seul

Lot traité par la dacaméthrine à la dose de lug/g

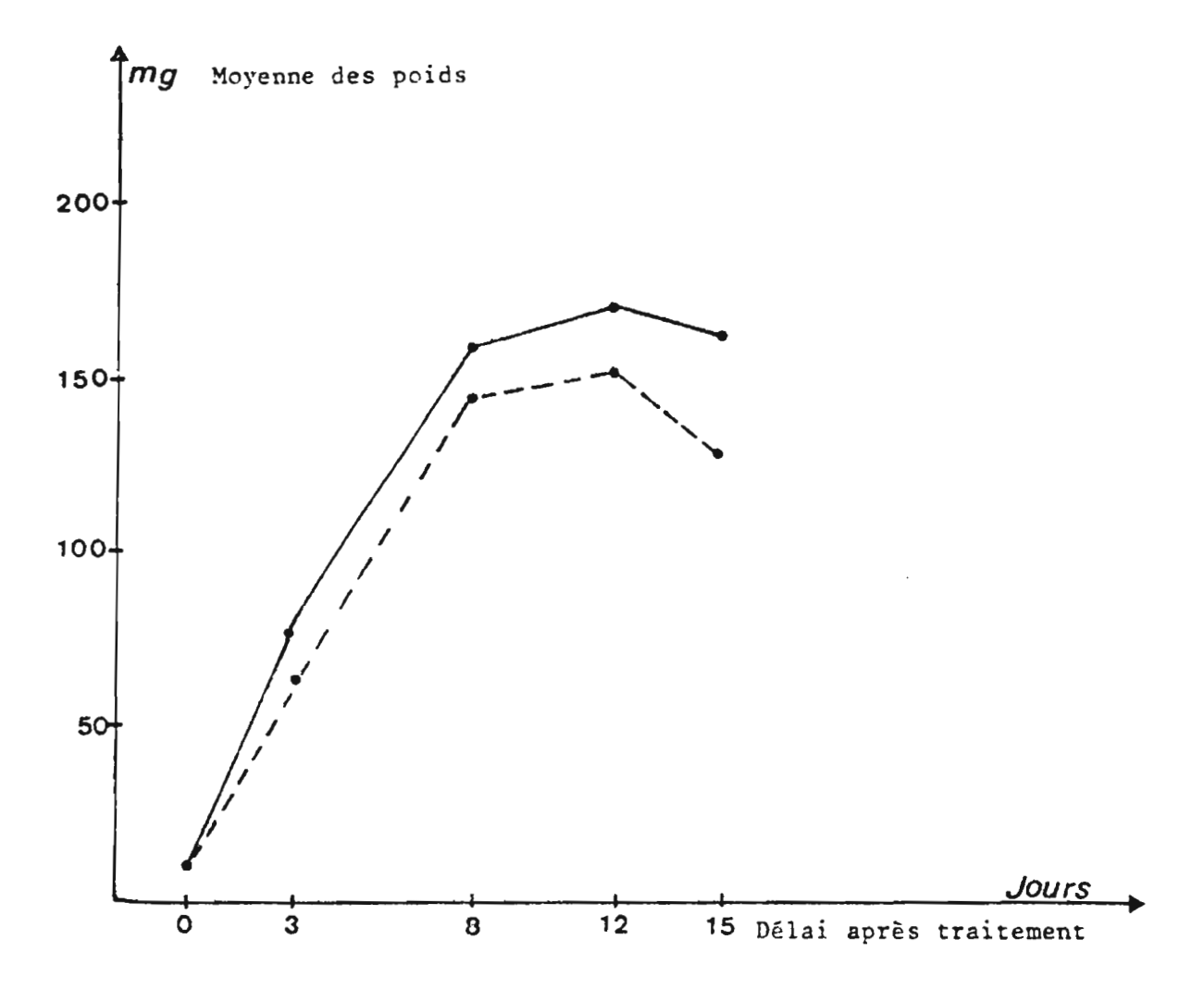


Fig-36- Croissance pondérale des larves mâles de Sesaria calaristis HAMPSON, placées isolément après traitement.

----- Lot traité par la décaméthrine à la dose de lug/g

Le tableau 29 représente les durées moyennes de développement larvaire en jours (± les erreurs standards), ainsi que les poids moyens des chrysalides en mg (± leurs erreurs standards).

Le tableau 30 représente les pourcentages de larves nymphosées 23, 24... et 46 jours après éclosion de l'oeuf.

Les diagrammes des figures 37 et 38 représentent les délais entre l'éclosion de l'oeuf et la nymphose de larves de *S. calamistis* d'un lot d'insecte témoin (traité par le seul solvant) et d'un lot traité à la décaméthrine à la dose de lug/g.

L'examen des tableaux 26 et 27 montre que, dans les 8 jours qui suivent le traitement, les moyennes des poids des larves femelles et mâles traitées par la décaméthrine sont inférieures à la moyenne des poids relevés à la même date pour les larves traitées avec le seul solvant. Par contre, dès le 12ème jour et pour les larves mâles, les moyennes des poids de larves traitées à la décaméthrine restent inférieures à la moyenne des poids des larves traitées par le solvant seul.

Nous avons appliqué le test t de STUDENT pour savoir si la différence entre les moyennes des poids dans le lot traité par la décaméthrine à la dose de lµg/g et le lot témoin traité par le solvant seul est significative. Les résultats sont présentés dans le tableau 28. L'examen de ce tableau montre que la différence entre les moyennes des poids de larves femelles et mâles dans le lot traité à la décaméthrine et celles du lot traité par le solvant seul n'est pas significative jusqu'à 12 jours après traitement.

Après le 12ème jour qui suit le traitement, les différences entre les moyennes, pour les larves femelles, deviennent significatives, car les larves du lot témoin commencent à entrer en prénymphose et que leur poids moyen diminue.

Pour montrer l'effet inhibiteur de la décaméthrine, sur la croissance des larves de S. calamistis traitées, nous avons utilisé

D	urées moyennes de dévelop	pement larvaire (en jo	ours)
Larve	s mâles	Larves	s femalles
Lot témoin, traité par le solvant seul	Lot traité à la déca- méthrine à la dose de lug/g	Lot traité par le solvant seul	Lot traité à la déca- méthrine à la dose de lug/g
28,75 ± 1,34	28,63 ± 1,34	31,30 ± 1,25	35,5 ± 2,78
	Poids moyens des chr	ysalides (en mg.)	
130,50 ± 8,16	115,38 ± 9,20	184,60 ± 11,55	194,67 ± 16,59

Tableau 29 : Durées moyennes de développement larvaire en jours (± les erreurs standards) et poids moyens des chrysalides en mg. (± leurs erreurs standards).

Nombre de jours	. 2	3	24		2	6	3	1	3	3	3	4	3	9	4	0	46)
après éclosion	81	우	31	9	<i>3</i> ¹	Q.	8	우	o ¹		đ		8	오	071	£	А	٢.
Lot témoin, traité par le solvant seul	12,5	_	12,5	-	12,5	20	50	50	12,5	10	-	10	-	10	-	-	-	-
Lot traité à la décaméthrine à la dose de lug/g	-	-	12,5	_	37,5	~	37,5	50	-	-	12,5	16,67	-	-	-	16,67	. ~	16,67

Tableau 30 : Pourcentages de larves nymphosées pour des larves de Sesamia calamietis HAMPSON.

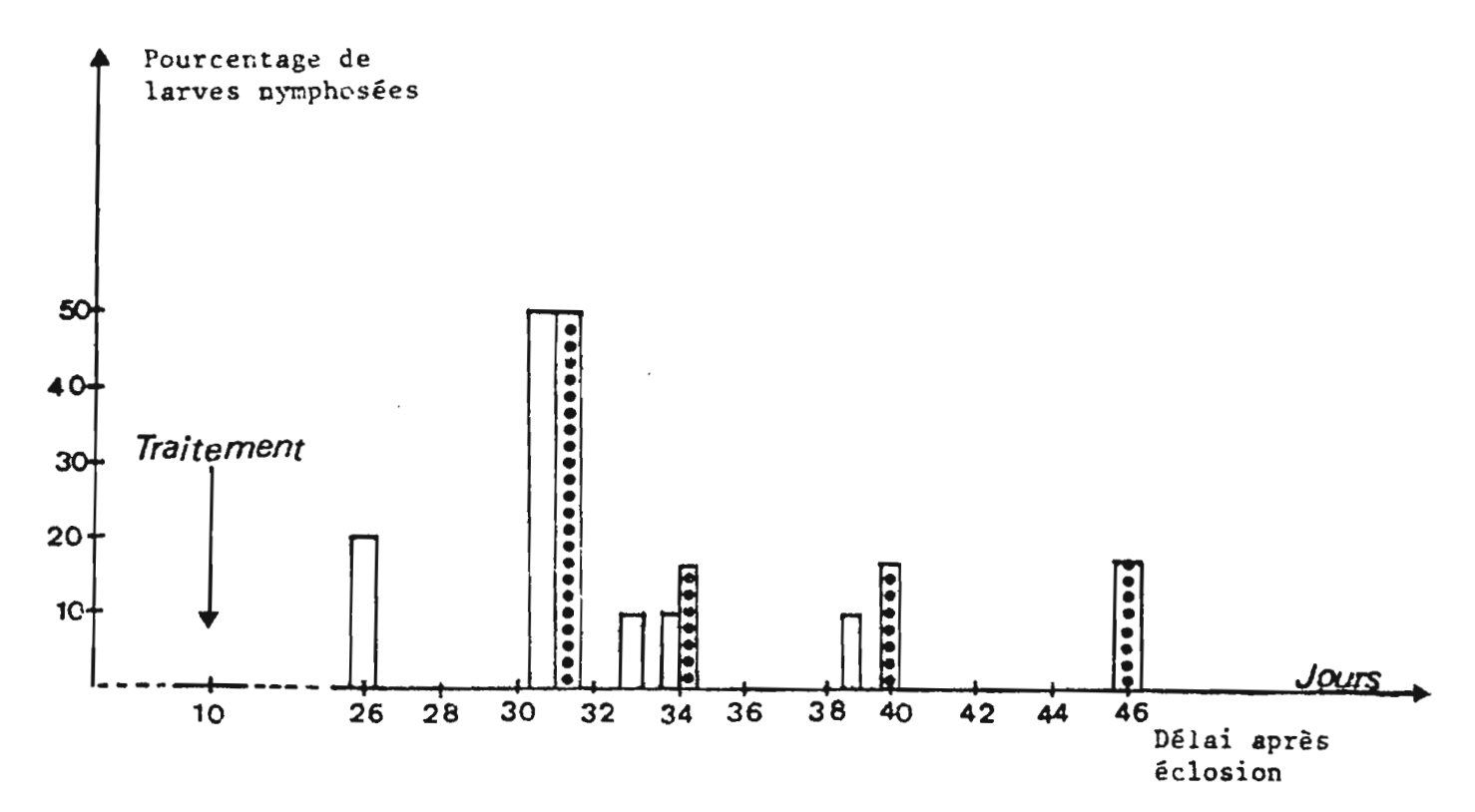


Fig.37- Diagramme de nymphose des larves femelles de Sesamia calamistis HAMPSON après traitement au début du troisième stade larvaire.

- -() Lot témoin, traité par le solvant seul
- -() Lot traité par la décaméthrine à la dose de lug/g

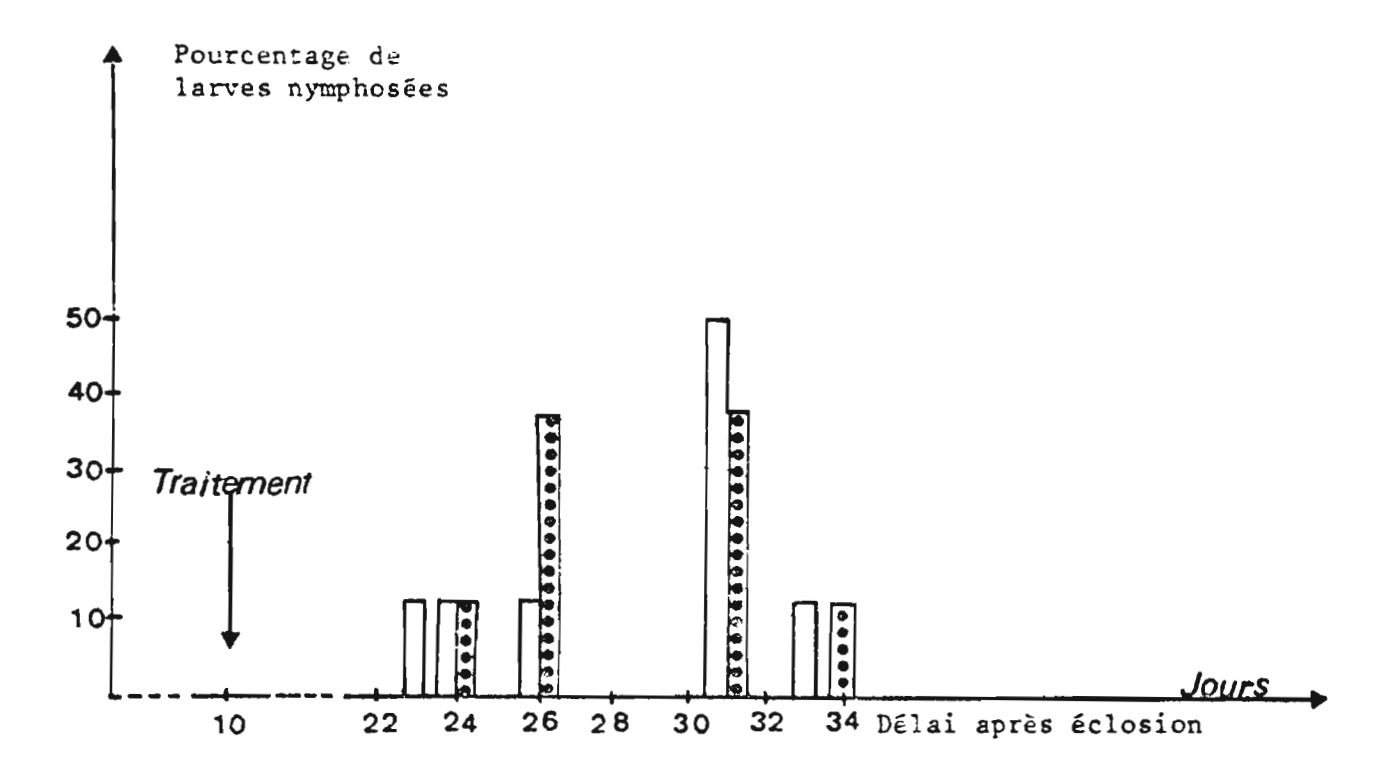


Fig. 38 - Diagramme de nymphose des larves mâles de Sesamia calamistis HAMPSON après traitement au début du troisième stade larvaire.

- -() Lot tëmoin traité par le solvant seul
- -() Lot traité par la décaméthrine à la dose de lug/g

la formule suivante :

Pourcentage de réduction de la moyenne des poids =

(Moyenne des poids) _ (Moyenne des poids)

des larves témoins _ des larves traitées x 100

Moyenne des poids des larves témoins

Les résultats de cette étude sont les suivants

Pourcentage de réduction de la moyenne des poids

L'examen du tableau 29 montre que la variation des durées moyennes de développement larvaire, pour les larves mâles, est très peu importante, alors que la différence des durées moyennes de développement larvaire pour les femelles est notable. Pour étudier cette différence de durées, nous avons appliqué le test de l'analyse de variance et les résultats sont les suivants:

Pour les larves femelles : F = 2,90 non significatif (en fait, limite) Pour les larves mâles : F = 0,0046 non significatif

Le ralentissement du développement pour ce qui concerne les larves femelles ne serait donc qu'apparent ; mieux vaut admettre, sans doute, qu'il est trop faible pour que le test en garantisse la réalité.

De même, la différence des poids moyens des chrysalides est très peu importante, nous avons appliqué le test t de STUDENT pour étudier cette différence de poids et les résultats sont les suivants :

Pour les chrysalides femelles : t = 0.55 non significatif Pour les chrysalydes mâles : t = 1.33 non significatif

L'examen du tableau 30 montre toutefois que la période de nymphose est la même pour les larves mâles traitées ou non. Par contre,

elle s'échelonne sur 13 jours pour le let témoin traité par le solvant seul et sur 15 jours pour le lot traité à la décaméthrine.

Les diagrammes des figures 37 et 38 représentent la variation du pourcentage de larves nymphosées en fonction du délai écoulé entre l'éclosion de l'oeuf et la nymphose.

4.3.3. EFFET DU DIMETHOATE SUR LA PHYSIOLOGIE DU DEVELOPPEMENT DES LARVES DE SESAMIA CALAMISTIS HAMPSON.

La technique d'étude dans cet essai est la même que dans les précédents. Le diméthoate a été appliqué à la dose de 8µg/g d'insecte. Le lot témoin, traité avec le solvant seul était composé de 20 larves et le lot traité par le diméthoate comprenait 40 larves.

Le tableau 31 représente les mortalités cumulées relevées 2, 5,9... et 20 jours après traitement.

Les tableaux 32 et 33 regroupent les moyennes des poids (avec leurs erreurs standards) relevés 2,6,9,14,17 et 21 jours après traitement, pour les larves femelles et mâles.

Le tableau 34 compare, par le test t de STUDENT, les moyennes des poids des larves mâles et femelles traitées.

Les courbes des figures 39 et 40 représentent respectivement la croissance pondérale des larves femelles et celle des larves mâles de S.calamistis d'un lot d'insecte témoin traité par le solvant seul et d'un lot traité au diméthoate à la dose de 8µg/g.

Le tableau 35 représente les durées moyennes de développement larvaire en jours (± les erreurs standards) ainsi que les poids moyens des chrysalides en mg (± leurs erreurs standards).

Le tableau 36 représente les pourcentages de larves nymphosées 32,34... et 46 jours après l'éclosion de l'oeuf.

Les diagrammes des figures 4! et 42 représentent, en fonction du délai écoulé entre l'éclosion de l'oeuf et la nymphose, la nymphose

Nombre de jours après traitement	2	5	9	13	16	20	Mortalité corrigée
Lot témoin traité avec le solvant seul	5	5	5	10	10	15	7.
Lot traité au di- méthoate à la dose de 8µg/g	25	25	25	25	25	45	35,29%

Tableau 31 : Pourcentages de mortalités cumulées pour des larves de Sesamia calamistis HAMPSON.

TABLEAU 32. Croissance pondérale des larves femelles de Sesamia calamistis après traitement au diméthoate à la dose de 8 µg/g.

Nombre de jours	Nombre de jours		n traité avec le vant seul	lot traité au diméthoate à la dose de 8 μg/g		
apres ecrosion	après traite- ment	Effectif	Moyenne des poids en mg + E.S.	Effectif	Moyenne des poids en mg ± E.S.	
. 12	2	9	39,56 <u>+</u> 8,05	9	44,89 + 8,39	
16	6	9	110,22 + 19,52	9	105,00 + 12,09	
19	9	9	156,67 <u>+</u> 23,80	9	143,22 + 11,25	
24	14	9	218,33 ± 19,82	9	213,67 + 19,18	
27	:7	9	223,22 ± 15,85	9	231,56 + 19,75	
31	21	8	248,63 + 21,91	7	234,43 + 21,40	
	,					

TABLEAU 33. Croissance pondérale des larves mâles de Sesamia calamistis après traitement au diméthoate à la dose de 8 µg/g.

Nombre de jours	Nombre de jours		n traité avec le vant seul	Lot traité au diméthoate à la dose de 8 µg/g			
après éclosion	après traite- ment	Effectif	fectif Moyenne des poids en mg + E.S.		Moyenne des poids en mg + E.S.		
12	2	8	46,13 <u>+</u> 8,51	13	37,92 <u>+</u> 3,29		
16	6	8	90,75 + 11,40	13	87,23 + 5,10		
19	9	8	114,13 <u>+</u> 14,87	13	102,85 + 6,36		
24	14	8	143,25 + 14,29	13	157,31 + 9,24		
27	. 17	8	142,38 + 10,59	13	146,31 <u>+</u> 8,92		
31	21	5	165,40 + 22,74	6	154,17 <u>+</u> 6,89		

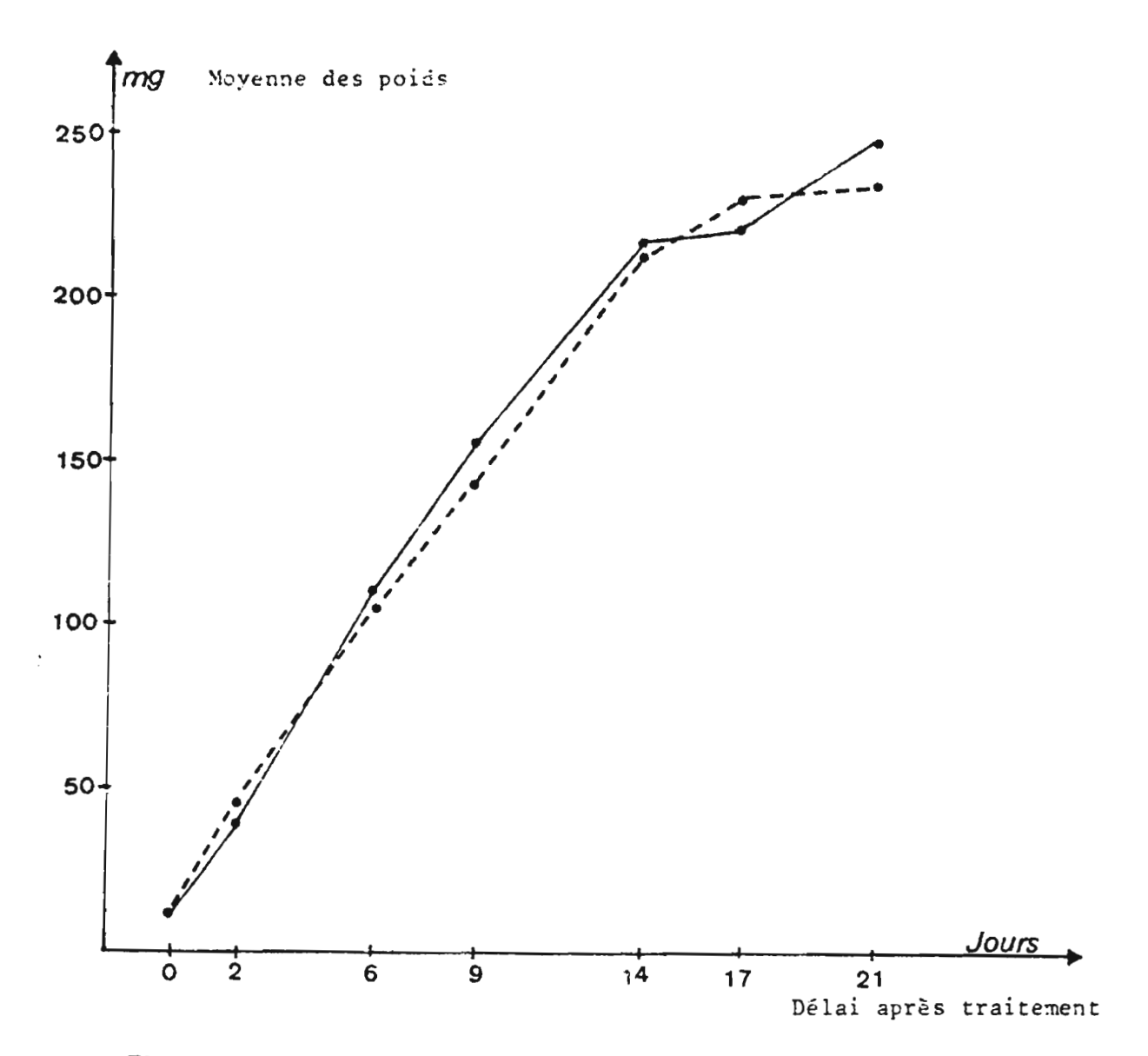


Fig. 39 - Croissance pondérale des larves femelles de Sesamia calamistis HAMPSON, placées isolément après traitement.

-(-) Lot témoin traité par le solvant seul

-(----) Lot traité au diméthoate à la dose de 8ug/g

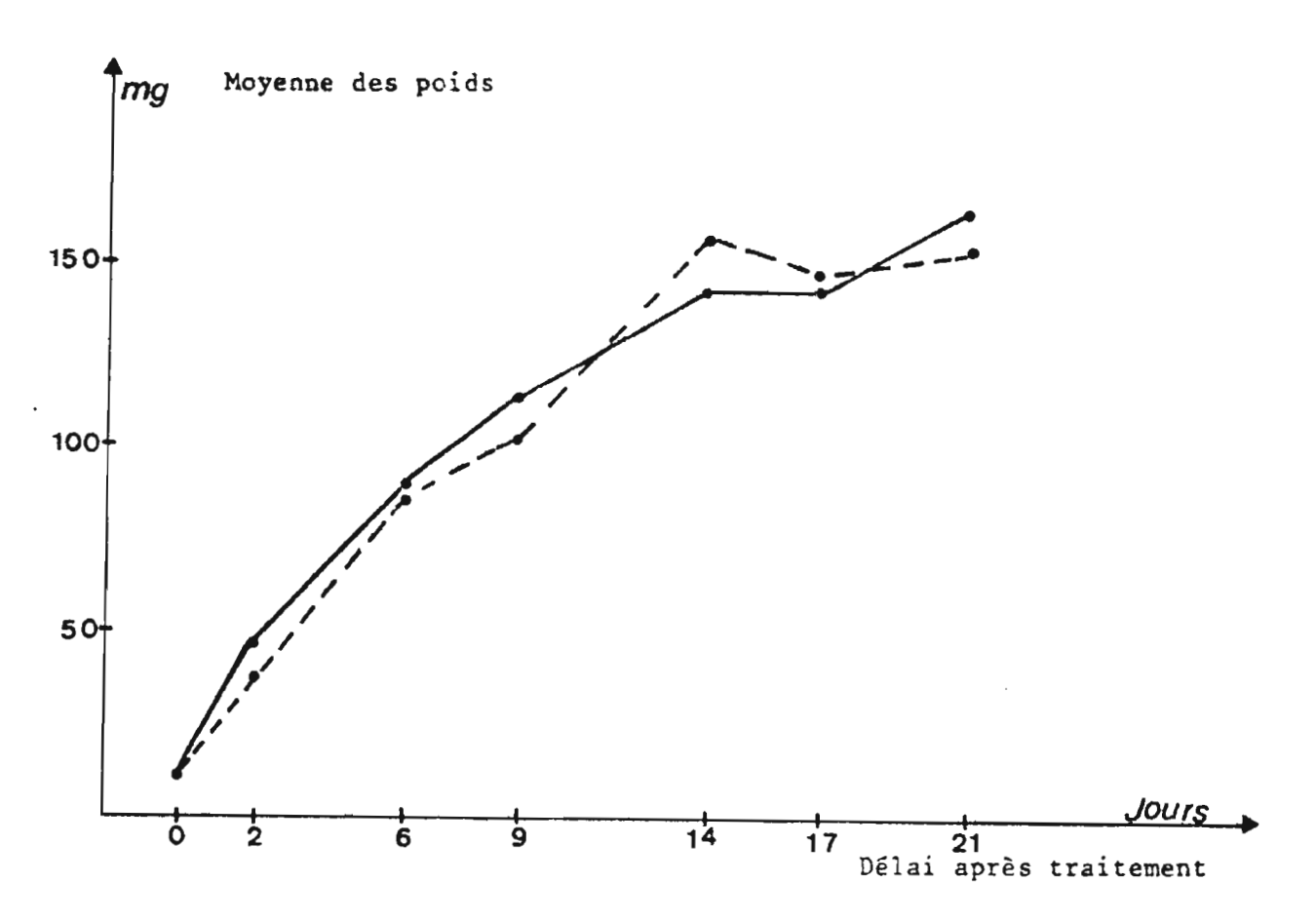


Fig.40 — Croissance pondérate des larves mâles de Sesamia calamistis HAMPSON placées isolément après traitement.

Lot témoin traité par le solvant seul

-(-- a) Lot traité au diméthoate à la dose de 8µg/g

Du	rées moyennes de dévelor	pement larvaire en jour	s							
Larves mâles Larves femelles										
Lot témoin, traité par le solvant scul	Lot traité par dimé- thoate à la dose de 8µg/g	Lot témoin, traité par le solvant seul	Lot traité par dimé- thoate à la dose de 8mg/g							
35,63 [±] 1,38	35,92 [±] 0,88	39,00 ± 1,25	38,89 + 1,49							
	Poids moyens des c	chrysalides (cn mg)								
122,75 ± 7,13	113,62 ± 6,00	160,11 ± 11,21	166,56 ± 10,23							

Tableau 35 : Durées moyennes de développement larvaire en jours (± les erreurs standards) et poids moyens des chrysalides en mg (± leurs erreurs standards).

Nombre de jours après éclosion	32	34	35	36	37	38	40	41	42	43	46
Lot témoin, traité par le solvant seul	25	12,5	-	-	12,5	25	12,5	-	12,5	_	-
Lot traité au di- méthoate à la dose de 8µg/g .	15,38	30,77	7,69	7,69	_	23,08	-	15,38	-	-	
	Larves mâles										
Nombre de jours après éclosion	32	34	35	36	37	38	40	41	42	43	46
Lot témoin, traité par le solvant seul	-	11,11	_	11,11	-	44,44		11,11	11,11	-	11,11
Lot traité au di- méthoate à la dose de 8µg/g	11,11		11,11	-	-	44,44	-	-	11,11	11,11	11,11

Larves femelles

Tableau 36 : Pourcentages de larves nymphosées pour des larves de S.calamistis HAMPSON.

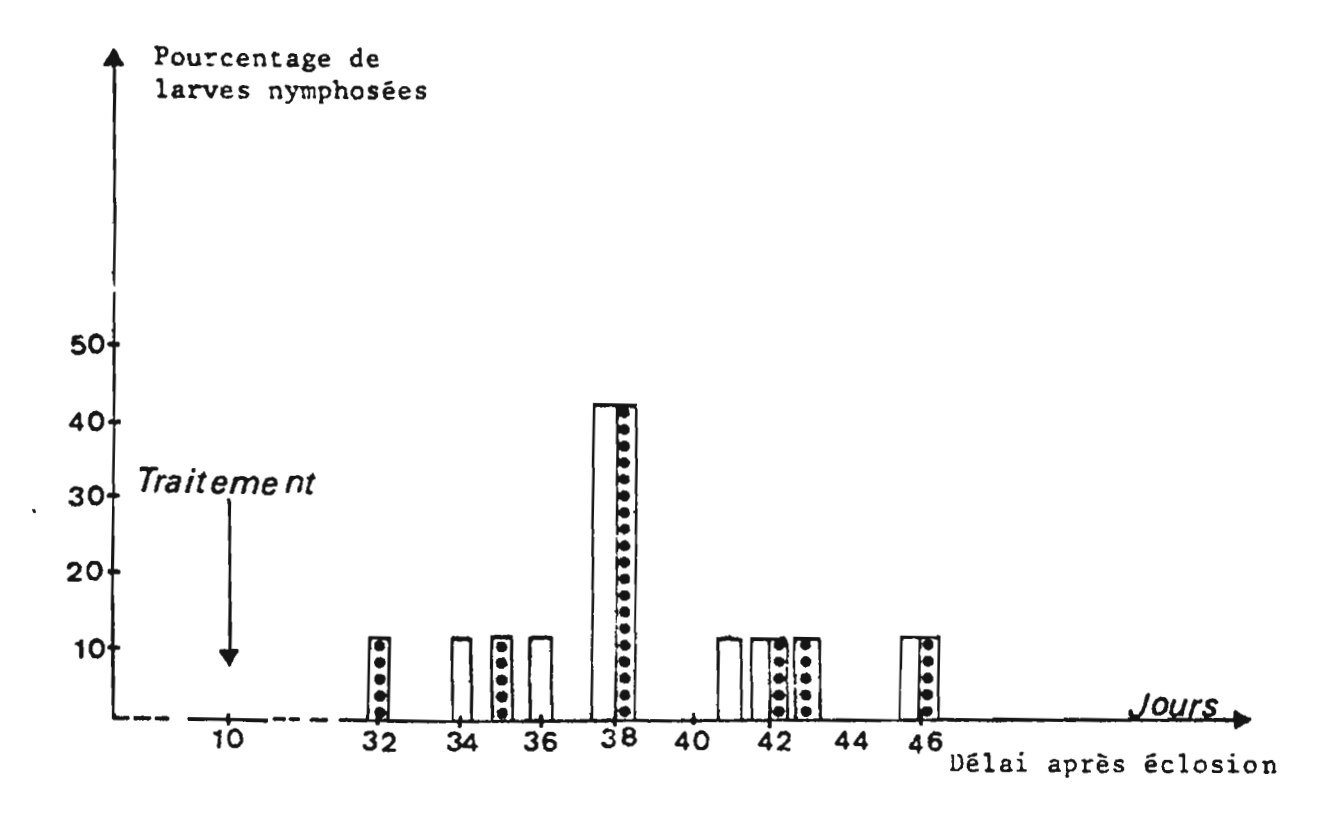


Fig. 41 — Diagramme de nymphose des larves femelles de Sesamia calamistis HAMPSON après traitement au début du troisième stade larvaire.

^{-()} Lot témoin traité par le solvant seul

⁻⁽E) Lot traité au diméthoate à la dose de 80g/g

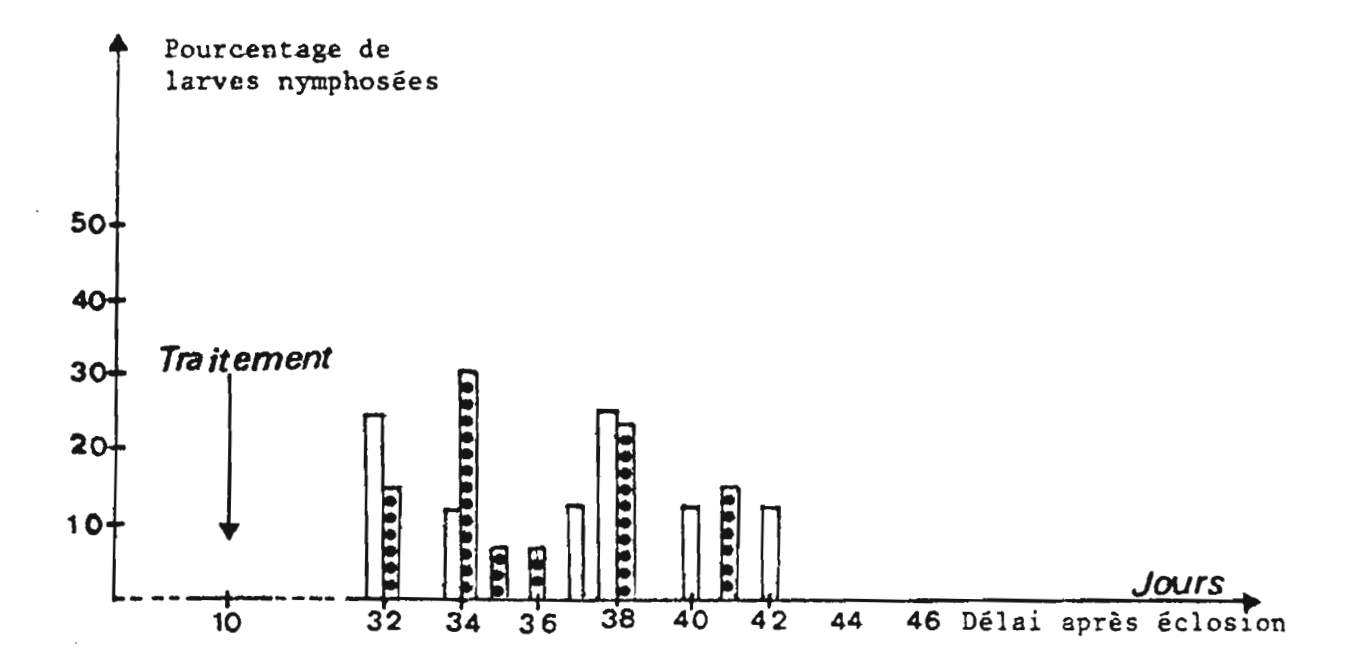


Fig.42 — Diagramme de nymphose des larves mâles de Sesamia calamistis HAMPSON après traitement au début du troisième stade larvaire.

- -(1) Lot témoin traité par le solvant seul
- Lot traité au diméthoate à la dose de 8 mg/g

Tableau 34 :	Comparaison	des	moyennes	des	poids-test	(t)) de	STUDENT.

Nombre de jours après traitement	Pour les larves femelles A - Tr	Pour les larves mâles A - Tr			
2	t = 0,49 N.S	t = 1,11 N.S.			
6	t = 0,24 N.S.	t = 0,34 N.S.			
9	t = 0,54 N.S.	t = 0,85 N.S.			
14	t = 0,18 N.S.	t = 0,91 N.S.			
17	t = 0,35 N.S.	t = 0,29 N.S.			
21	t = 0,49 N.S.	t = 0,57 N.S.			
	N.S. = Non significative.				

des larves de S. calamistis d'un lot d'insecte témoin, traité par le solvant seul et d'un lot traité au diméthoate à la dose de 8µg/g.

L'analyse statistique, par le test t de STUDENT, des données des tableaux 32 et 33 montre que la différence entre les moyennes des poids dans le lot témoin et le lot traité au diméthoate n'est pas significative (Tableau 34).

L'examen du tableau 35 montre que la variation des durées moyennes de développement larvaire pour les larves mâles et femelles est très peu importante. En ce qui concerne les poids moyens des chrysalides obtenus, on observe une différence assez nette chez les mâles entre lot témoin et lot traité, alors qu'elle est très faible pour les femelles. Pour étudier cette différence de poids, nous avons appliqué le test t de STUDENT et les résultats sont les suivants :

Pour les chrysalides femelles : t = 0,45 Non significatif Pour les chrysalides mâles : t = 1,01 Non significatif. L'examen du tableau 36 montre que la période de nymphose est à peu près la même, pour les larves mâles et femelles, qu'il s'agisse du lot témoin ou du lot traité au diméthoate.

Pour évaluer l'influence d'un traitement insecticide sur la physiologie du développement de l'insecte, nous avons choisi comme critères la croissance pondérale des larves, les durées moyennes de développement larvaire et nymphal et les poids moyens des chrysalides obtenues. Il s'agit, en effet, des seuls critères facilement utilisables pour des chenilles endophytes car on ne maîtrise pas encore suffisamment bien les autres techniques telle que l'évaluation de la consommation des larves ou le calcul du métabolisme respiratoire.

Ainsi nous avons montré, dans ce chapitre, que l'influence des insecticides testés sur la physiologie du développement ne donne pas toujours des indications d'interprétation aisée, d'autant que leur action sur les critères choisis n'est pas toujours très nette (cas de la décaméthrine et du diméthoate, par exemple).

Bien des perfectionnements techniques restent donc à apporter pour parvenir à interpréter correctement les résultats enregistrés. Un long travail reste encore à accomplir pour connaître l'influence réelle des différents insecticides sur les ravageurs agricoles, ainsi que sur les insectes auxiliaires de l'agriculture, prédateurs et parasites essentiellement.

GARCIA (1976) étudiant l'effet de trois produits phytosanitaires sur la coccinelle aphidiphage Semiadalia undecimnotata SCHNEIDER, s'est heurté à la même difficulté du choix des critères biologiques.

5. CEAPITRE V

EFFET DU DIMETHOATE SUR LA REPRODUCTION DE SESAMIA CALAMISTIS HAMPSON ET SENSIBILITE DES LARVES DE S.CALAMISTIS A L'EGARD DE LA DECAMETHRINE ET DU CARBOFURAN

Les effets d'un traitement insecticide sur une population d'insectes ne se limitent pas à la mortalité d'un certain nombre d'individus. La fraction survivante peut présenter des désordres fonctionnels plus ou moins profonds et durables, désignés généralement sous le nom d'effets sublétaux (KIVIERE, 1977).

Les manifestations les plus évidentes de ces effets sublétaux sont visibles au niveau de la reproduction. Selon les produits, les doses et les insectes, des modifications de la fécondité et de la fertilité sont assez fréquemment observés (MOKIAKTY, 1969).

Plusieurs travaux sur la question font état de résultats contradictoires. Alors que certains auteurs constatent un accroissement de la ponte, d'autres, par contre, observent une d'iminution qui peut aller jusqu'à la stérilité.

L'augmentation de la fécondité peut être due à un effet sélectif, car la sélection par l'insecticide favorise les génotypes résistants au détriment des sensibles et augmente la fréquence des gènes R dans la population. La sélection naturelle stimule les processus co-adaptatifs qui permettront aux individus résistants d'acquérir une fécondité et une viabilité appréciables. Ces individus s'adaptent au milieu contaminé et y deviennent compétitifs avec les individus normaux; ce processus permet le maintien de populations résistantes stables lorsque toute pression insecticide a éte supprimée (KEIDING, 1963 et 1967).

Des doses sublétales d'insecticides peuvent provoquer une stérilité complète des insectes survivants ; MORIARTY (1968) a observé un tel phénomène chez Aglais urticae (Lépidoptère, Nymphalidae) traité à la dose DL₅₀ avec la dieldrine. RAMADE (1969) confirme, sur Musca domestica, que la perturbation du système neuroendocrine pourrait être la cause profonde de ces effets.

5.1. METHODE D'ETUDE.

Il semble que l'effet d'un insecticide sur la reproduction des insectes soit en relation directe avec sa persistance; nous avons donc choisi de faire notre étude avec le diméthoate en raison de sa bonne rémanence.

L'expérimentation a consisté à traiter un lot de larves de Sesamia calamistis au début du dernier stade larvaire, avec une dose voisine de la dose létale 50, puis à comparer l'importance numérique des pontes provenant des adultes survivantes ainsi que la viabilité des oeufs avec celles d'un lot témoin traité avec le solvant seul (acétone). Nous avons choisi des larves en début de dernier stade larvaire en raison de la longue durée de ce stade qui facilite l'application de l'insecticide et l'observation de la mortalité larvaire.

Les méthodes de traitement par contact topique et la préparation des solutions ont été exposés dans le chapitre IV.

Les larves sont réparties par lots, selon leur poids, après avoir subi un jeûne préalable d'au-moins trois heures dans des petits tubes en plastique. Ce jeûne permet d'ajuster correctement la dose d'insecticide car, au bout de trois heures, le transit digestif est pratiquement achevé et le poids mesuré de l'insecte est bien le poids réel expurgé de toute surcharge alimentaire. Le poids vif des larves est obtenu par pesée individuelle au moyen d'une balance Mettler de précision, à lecture directe, juste avant chaque traitement. Ces larves sont ensuite réparties en un certain nombre de classes de poids.

On applique à chaque insecte d'une classe de poids un volume de solution proportionnel à la valeur du point médian de cette classe (Fig. 43). Chaque lot de larves traitées est placé dans une boite d'élevage sur morceaux de tiges de mais et fait l'objet de contrôles périodiques, en premier lieu pour ce qui concerne le pourcentage de mortalité puis, plus tard, pour les adultes issus des larves survivantes, pour ce qui concerne les effets du traitement sur la reproduction.

Les conditions d'élevage et les caractéristiques biologiques de la souche de *sesamia calamistis* Hamps. ont été décrites en détail, dans le chapitre II.

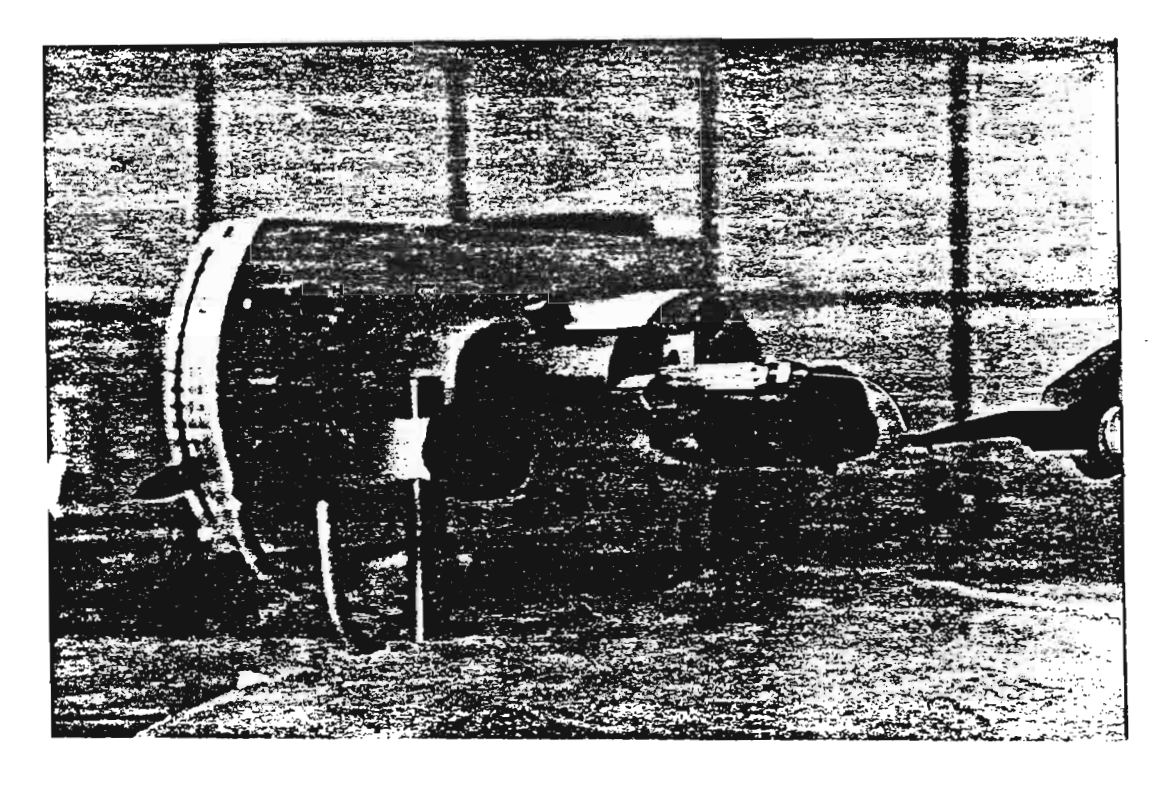


Fig. 43: Traitement d'une larve de S. calamistis au début du dernier stade larvaire, au moyen du microapplicateur automatique Arnold.

COL

Tableau 37 : Composition des lots dans l'essai définitif effectué pour la détermination de la DL50, en traitement par contact avec le Diméthoate.

Nombre d'individus de différents poids, par lot										Total pour chaque lot		
Classes de poids et médiane (mg)	65-74 70	75-84 80	85-94 90	95-104	105-114 110	115-124 120	125-134 130	135-144 140	145-154 150	155-164 160	165-174 170	-
Nombre d'individus	42	21	12	17	16	12	11	9	4	3	3	150
Volume appliqué de sclution par larve (en pl)	0,7	0,8	0,9	1,0	1,1	1,2	1,3	1,4	1,5	1,6	1,7	-
Lot traité à la dose 16µg/g	8	3	3	4	4	2	3	2	1	~	-	30
Lot traité à la dose 30,40µg/g	8	3	3	4	4	2	3	2		-	1	30
Lot traité à la dose 57,76µg/g	8	5	2	j	3	2	2	2 `	1	1	t	30
Lot traité à la dose 109,75µg/g	8	5	2	3	3	2	2	2	1	1	t	30
Lot traité avec le solvant (acétone)	10	5	2	3	2	. 4	1	1	1	ı	-	30

- Poids moyen pour l'ensemble (en mg) et écart-type : 93,21 et 24,66 -

5.2. RECHERCHE DE LA DL50 POUR LE DIMETHOATE.

Nous avons réalisé des tests préliminaires pour déterminer un intervalle de travail. Ces tests ont été effectués avec des doses de 5-9-16,2 et 29,16 µg/g de diméthoate, croissant donc en progression géométrique de raison 1,8. Le volume appliqué est de 1 mm³ de solution acétonique par 100 mg d'insecte. Les doses appliquées ont entraîné respectivement des mortalités de 0%, 5%, 5% et 40% (effectif traité pour chaque dose : 30 larves). Une seconde série de tests a été alors effectuée avec des doses plus fortes, de 16-30,40-57,76 et 109,74 µg/g, croissant, cette fois, en progression géométrique de raison 1,9. La composition des lots avant le traitement, pour la recherche de la DL50, figure dans le tableau 37. Les mortalités observées 2 jours après traitement sont indiquées dans le tableau 38.

Tableau 38 : Pourcentages de mortalité obtenue pour des larves de S.calamistis Hamps, traitées par le dimethoate, 2 jours après traitement.

Doses en µg/g	16	30,40	57,76	109,74	Témoin	
Effectif traité	30	30	30	30	30 .	
% de mortalité	6,7%	40%	90%	100%	0%	

L'analyse probit permet de calculer les droites de régression doses-mortalités et d'en déduire la DL_{50} . Pour cela nous avons utilisé la méthode des probits de travail ("Working probits") qui donne le maximum de précision et qui consiste à :

- 1). Chercher dans les tables les probits empiriques y, correspondant aux pourcentages de mortalité obtenus (Table I, in FINNEY, 1964).
- 2). Porter les points (déterminés à partir de log. doses et probits) sur un graphique et tracer une première droite.
 - 3). Déterminer à partir du graphique les probits attendus y'.
- 4). Pour chacun de ces probits attendus chercher les probits de travail (table IV, in FINNEY, 1964) ainsi que les coefficients de

pondération w (table II, in FINNEY, 1964).

5). Effectuer les calculs de x, y, sx^2 , sxy, sy^2 , b, puis calculer l'équation de la droite de régression et ensuite la DL_{50} et ses limites de confiance.

Nous indiquerons les calculs d'une façon condensée et pratique sous forme d'un formulaire et d'un tableau de calcul (Tableau 39).

Nous avons tracé sur le graphique (Fig. 44) la droite de régression pour le diméthoate.

5.3. EFFE! DU DIMETHOATE SUR LA REPRODUCTION DE S.CALAMISTIS HAMPSON.

Nous avons choisi de faire cette étude avec une dose de $27\mu g/g$, légèrement inférieure à la $DL_{5\upsilon}$. Deux séries d'expériences ont été réalisées portant, l'une sur 150 larves traitées à la dose de $27\mu g/g$ de diméthoate, l'autre sur 75 larves traitées avec le solvant seul (acétone).

La répartition des lots avant le traitement par le diméthoate figure dans le tableau 40.

Les larves, après traitement, sont maintenues en élevage de groupe et nourries à volonté de morceaux de tiges de maïs.

La mortalité larvaire est évaluée, 2 jours après traitement et également à la nymphose. La mortalité corrigée due au seul effet du diméthoate est calculée par la formule d'ABBOTT.

Les résultats du contrôle de l'effet toxique du diméthoate sur la mortalité larvaire sont résumés dans le tableau 41.

Pour analyser l'effet du diméthoate sur la ponte et la viabilité des oeufs (éléments considérés ici, de par leur importance écologique), nous avons élevé les adultes par couples isolés, selon la technique déjà décrites dans les chapitres II et III. Cette analyse consiste à :

TABLEAU 39 : Calcul de la droite de régression doses - mortalités

Doses µg/g λ	Log•des doses x	Effectif n	% de mortalité P		Probit attendu y'	C.P. ₩	Probit de travail y"	Poids n.w=W W	W.x	W.x ²	W.y"	W.y" ²	W.x.y"
16	1,20	30	6,7	3,50	3,3	0,208	3,36	6,24	7,49	8,99	20,97	70,45	25,16
30,40	1,48	30	40	4,75	4,8	0,627	4,75	18,81	27,84	41,19	89,35	424,35	132,24
57,76	1,76	30	90	6,28	6,2	0,370	6,28	11,10	19,54	34,41	69,71	437,78	122,69
109,74	2,04	30	99,99	8,72	7,5	0,050	7,85	1,5	3,06	6,24	11,78	92,43	24,02
		٠.					•	ΣW = 37,65	ΣW.x = 57,93	ΣW.x ² = 90,83	ΣW.y"= 191,81	ΣW.y" ² = 1025,01	ΣW.x.y"=

$$\dot{x} = \frac{\Sigma W \cdot x}{\Sigma W} = \frac{57,93}{37,65} = 1,54$$

$$\dot{y} = \frac{\Sigma W \cdot y''}{\Sigma W} = \frac{191,81}{37,65} = 5,10$$

$$Sx^2 = \Sigma W \cdot x^2 - \frac{(\Sigma W \cdot x)^2}{\Sigma W} = 90,83 - 89,13 = 1,7$$

$$Sxy = \Sigma W \cdot x \cdot y'' - \frac{\Sigma W \cdot x \cdot e \Sigma W \cdot y''}{\Sigma W} = 304,11 - 295,13 = 8,98$$

$$Sy^2 = \Sigma W \cdot y''^2 - \frac{(\Sigma W \cdot y'')^2}{\Sigma W} = 1025,01 - 977,19 = 47,82$$

$$b = \frac{Sxy}{Sx^2} + \sqrt{\frac{1}{Sx^2}} = \frac{8,98}{1,7} + \sqrt{\frac{1}{1,7}}$$

$$b = 5,28 + 0,77$$

$$y = y + b (x - x) = 5,10 + 5,28 (x - 1,54) = y = 5,10 - 8,13 + 5,28 x = -3,03 + 5,28 x$$

$$\chi^2_{L-2} = Sy^2 - \frac{(Sxy)^2}{Sx^2}$$

$$\chi^2_{4-2} = 47,82 - \frac{(8,98)^2}{1,7} = 0,38$$

C.P. - Coefficient de pondération

ADDITIF au TABLEAU 39 : Calcul des doses létales 50 et 90 :

Pour y = 5:

$$x = m = log DL_{50} : \bar{x} + \frac{5 - \bar{y}}{b} = 1,54 + \frac{5 - 5,10}{5,28} = 1,52$$

 DL_{50} = antilog de 1,52 = 33,11 µg/g

Intervalle de confiance de m pour χ^2 non significatif et $\alpha = 5\%$:

$$m \pm E.Sm = m \pm 1,96. Sm$$

$$Sm = \sqrt{\frac{1}{b^2} \left[\frac{1}{\Sigma W} + \frac{(m - \bar{x})^2}{Sx^2} \right]}$$

$$Sm = \sqrt{\frac{1}{(5,28)^2} \left[\frac{1}{37,65} + \frac{(1,52 - 1,54)^2}{1,7} \right]} = 0,031$$

E.
$$Sm = 1,96 \times 0,031 = 0,061$$

Limite inférieure = m - E. Sm = 1,52 - 0,061 = 1,459antilog de 1,459 = 28,77 μ g/g

Limite supérieure = m + E. Sm = 1,52 + 0,061 = 1,581 antilog de 1,581 = 38,11 ug/g

 DL_{50} en ug/g et ses limites : 28,77 < 33,11 < 38,11

Pour y = 6,282:

$$x = m = log DL_{90} : \bar{x} + \frac{6,282 - \bar{y}}{b} = 1,52 + \frac{6,282 - 5,10}{5,28} = 1,744$$

 DL_{90} = antilog de 1,744 = 55,46 µg/g

Intervalle de confiance de m pour χ^2 non significatif et $\alpha = 5Z$:

Sm :
$$\sqrt{0.036 [0.027 + (1.744 - 1.54)^2]} = 0.043$$

E. $Sm = 1,96 \times 0,043 = 0,084$

Limite inférieure : 1,744 - 0,084 = 1,66 antilog de 1,66 = 45,71 µg/g

Limite supérieure = 1,744 + 0,084 = 1,828 antilog de 1,828 = 67,30 μ g/g

 DL_{90} en $\mu g/g$ et ses limites : 45,71 < 55,46 < 67,30

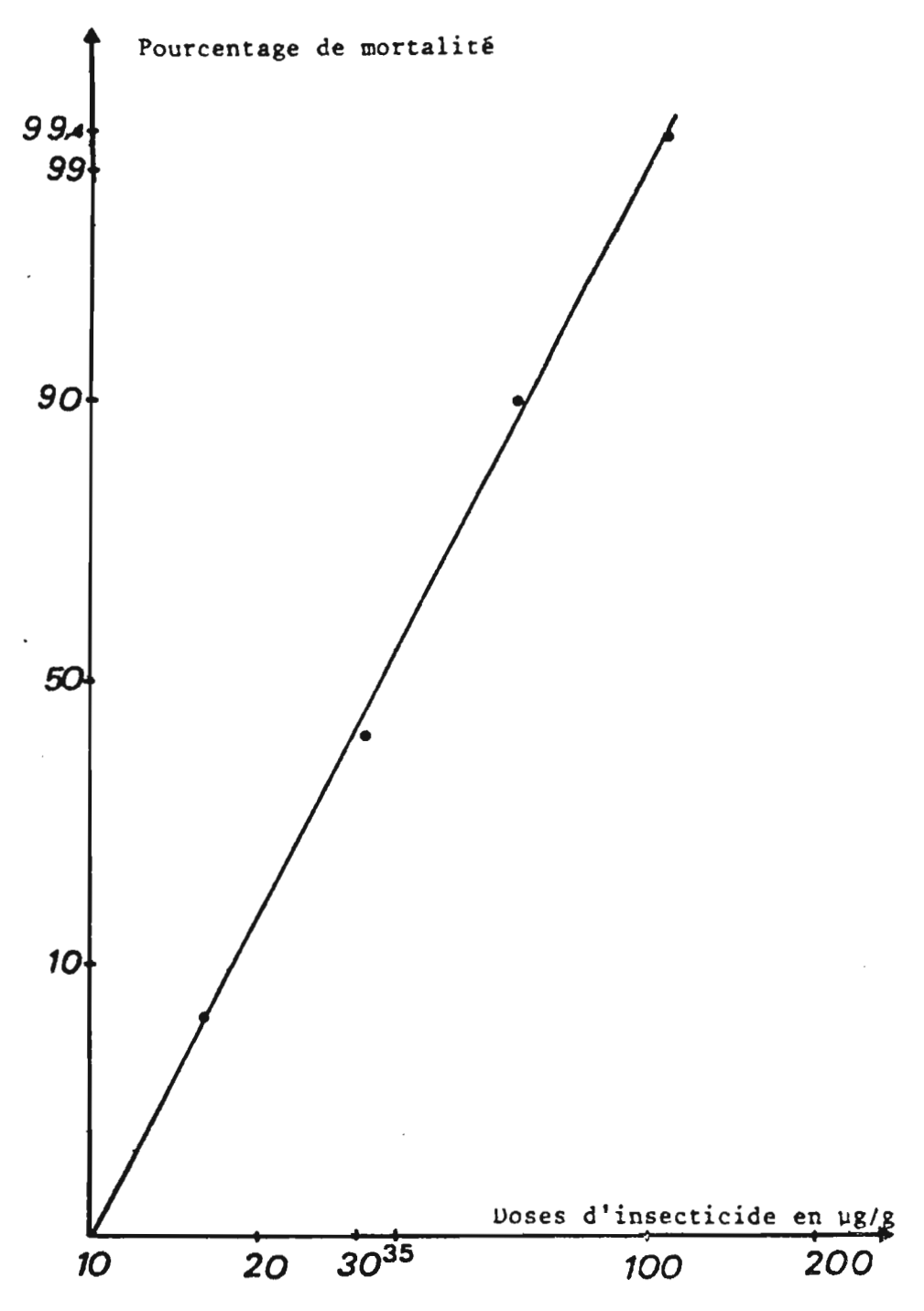


Fig.44 - Droite de régression du probit de la mortalité sur le logarithme de la dose de diméthoate. Test effectué par application topique de 4 doses différentes, avec 30 larves de S.calamistis HAMPSON en début de dernier stade larvaire, mortalité larvaire observée 2 jours après traitement.

Nombre d'individus de différents poids, par lot													Total pour chaque los
Classes de poids	65-74	75-84	85-94	95-104	105-114	115-124	125-134	135-144	145-154	155-164	165-174	175-184	
(en mg) et médiane	70	80	90	100	110	120	130	140	150	160	170	180	-
Nbre d'individus	79	29	25	19	17	15	16	7	6	5	4	3	225
Volume appliqué de solution par larve (en µl)	0,7	0,8	0,9	1,0	1,1	1,2	1,3	1,4	1,5	1,6	1,7	1,8	-
Lot traité à la done 27µg/g	44	20	20	15	15	10	10	5	3	3	3	2	150
Lot témoin traité par le solvant seul (acétone)	35	9	5	4	2	5	5	2	3	2	1	1	75

Tableau 40 : Composition des lots avant le traitement

La présente répartition des lots est celle des essais pour la recherche des effets du diméthoate sur la reproduction de Sesamia calamistis, en traitement par contact tonique à la dose de 27 mg/g

Lots testés	Effectif traité	Nbre indivi- dus morts, 46h. après traitement	1	té larvaire	larvaire jus- qu'à la nym-	7 de mortalité larvaire corri- gée jusqu'à la nymphose	Nom	bre de salides tenues	Sex-ratio	
Lot témoin, traité par le solvant seul	75	2	2,67%	-	6,67%	-	36	32	1,13	142
Lot traité à la dose de 27µg/g de diméthoate	150	52	34,67%	32,88%	41,33%	37,14%	46	42	1,10	

Tableau 41 : Pourcentages des mortalités pour des larves de S.calamistis HAMPSON

- étudier la distribution des femelles pondeuses en fonction de leur fécondité,
- évaluer les pourcentages de femelles non pondeuses et la fécondité moyenne des femelles pondeuses,
 - déterminer le taux moyen d'éclosion des oeufs.

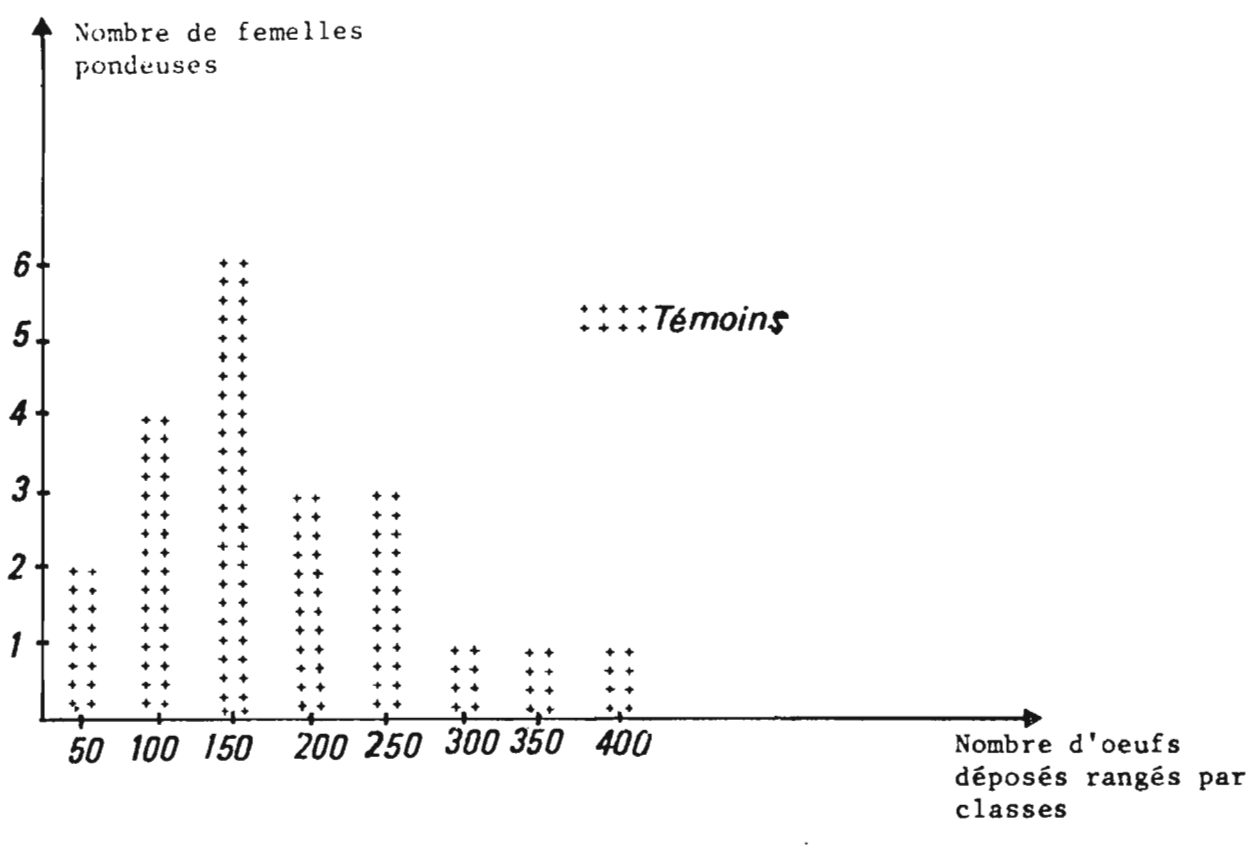
Pour ce faire, les pontes ont été ordonnées selon le nombre d'oeufs déposés, puis réparties dans des classes dont l'intervalle choisi est de 50 (de l à 50 oeufs, de 50 à 100 oeufs etc.). Nous avons opéré cette distribution à partir des pontes obtenues des femelles du lot traité et du lot témoin. Le tableau 42 et le graphique (Fig. 45) résument les résultats obtenus.

L'analyse de l'ensemble des données nous permet de tirer les conclusions suivantes :

- La distribution des femelles pondeuses en fonction de leur fécondité montre que le maximum des pontes se situe dans la classe de 100 à 150 oeufs pour le lot témoin alors qu'il est situé dans la classe de 50 à 100 oeufs pour le lot traité (à la dose de 27 µg/g de diméthoate).
- Pour le lot témoin 76,19% des femelles pondeuses se retrouvent dans les classes 50 à 250 oeufs, alors que pour le lot traité, 69, 57% des femelles pondeuses se rangent dans les classes 1 à 150 oeufs.
- Pour apprécier les effets du diméthoate sur la fécondité et la fertilité, nous avons appliqué le test de l'analyse de varicance à une dimension après avoir transformé les données selon la méthode de FREEMAN-TUKEY [1/2 ($\sqrt{x} + \sqrt{x+1}$)]. L'analyse statistique pour l'ensemble des oeufs pondus et des oeufs éclos montre que la différence entre le nombre d'oeufs pondus par femelle dans le lot témoin et le lot traité n'est pas significative (F = 1,43). Par contre, l'effet global du diméthoate sur la fécondité et la viabilité des oeufs, entre le lot traité et le lot témoin est significatif (F =2,28).

	Nbre femelles pondeuses	pour chaque classe oeufs
Classe d'oeufs	Lot témoin	Lot traité par le diméthoate à la dose de 27µg/g
1 à 50	2	5
50 a 100	4	6
100 à 150	6	5
. 150 à 200	3	2
200 à 250	3	2
250 à 300	1	2
300 à 350	1	-
350 à 400	1	1
Nombre de femelles pondeuses	· 21	23
Nombre d'oeufs pondus	3256	2836
Fécondité moyenne oeuf/femelle pondeuse	155,05	123,30
Nombre d'oeufs éclos	2312	1640
Taux d'éclosion	71,01%	57,83%
% de femelles non pondeuses	8,70%	11,54%
7 de pontes entiè- rement stériles	26,08%	. 46,15%

Tableau 42



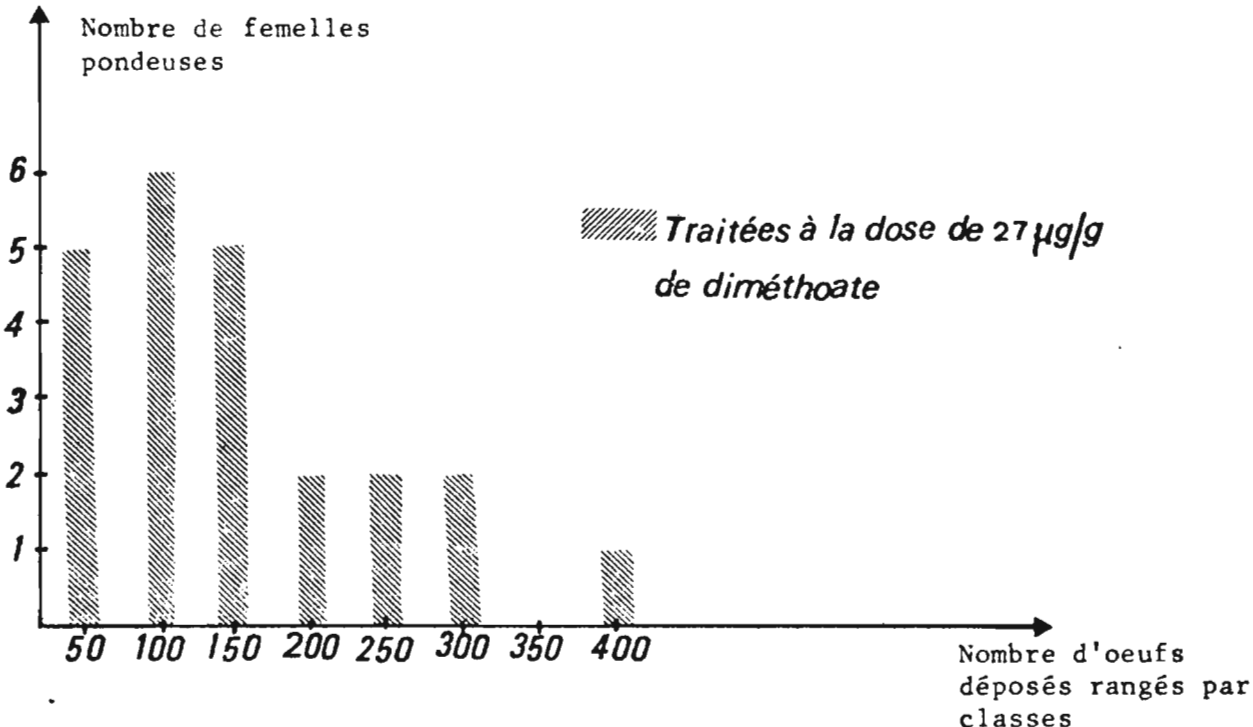


Fig.45 - La distribution des femelles pondeuses en fonction de classes d'oeufs déposés.

- Pour l'effet du diméthoate sur la viabilité des oeufs, nous avons appliqué le test de χ^2 . L'analyse statistique montre que la différence entre les taux d'éclosion dans le lot témoin et le lot traité est significative (χ^2 = 109,08 pour ! ddl).

Ainsi le traitement de larves de S. calamistis, au début du dernier stade larvaire, par le diméthoate à la dose de 27µg/g, entraîne, chez les femelles issues des larves survivantes, d'une part une réduction de fécondité de l'ordre de 20%, d'autre part une significative baisse de la viabilité des oeufs (action ovicide).

5.4. SENSIBILITE DES LARVES DE S.CALAMISTIS HAMPS. A L'EGARD DE LA DECAMETHRINE ET DU CARBOFURAN.

L'efficacité reconnue de ces deux produits et les caractéristiques de leur action, nous ont incité à étudier leur effet toxique
sur les larves de S. calamistis Hamps. La décaméthrine est très connue
pour son pouvoir insecticide remarquable, sa biodégradabilité,...
(voir propriétés biologiques de ce produit dans le chapitre 4). Le
carbofuran a une grande efficacité contre un large spectre de ravageurs
agricoles, particulièrement contre les ravageurs du mais et du riz,
en traitement du sol, en raison de son action systémique. Nous avons
déterminé les DL50 et DL90 pour les deux produits, en traitement par
contact topique, sur des larves de S. calamistis en début du dernier
stade larvaire.

Les méthodes de traitement par contact topique, la préparation des solutions acétoniques et la composition des lots avant le traitement ont été définies dans le chapitre 4 et le paragraphe précédent.

5.4.1. RECHERCHE DES DL₅₀ ET DL₉₀ POUR LA DECAMETHRINE.

Nous avons effectué des tests avec 5 doses de 0,8 - 1,6 - 2,56 - 4,10 et 10,76µg/g après avoir déterminé l'intervalle de travail par des tests préliminaires. La répartition des lots avant le traitement figure dans le tableau 43.

147

TABLEAU 43: Composition des lots dans l'essai définitif effectué pour la détermination de la DL₅₀, en traitement par contact avec la décaméthrine.

		Nombr	e d'indiv	idus de di	lférents p	ooids, par	lot				Total pour chaque lot
Classes de poids et médiane (mg)	75-84 80	85-94 90	95-104 100	105~114	115124	125-134 130	135-144	145-154 150	155-164 160	165-174 170	
Nombre d'individus	31	27	33	23	14	15	13	10	9	5	180
Volume appliqué de solution par larve (en µ1) .	0,8	0,9	1,0	1,1	1,2	1,3	1,4	1,5	1,6	1,7	-
Lot traité à la dose 0,8 µg/g	4	5	7	3	2	3	2	2	1	1	30
Lot traité à la dose 1,6 mg/g	5	5	5	4	2	3	2	2	1	1 .	30
Lot traité à la dose 2,56 µg/g	5	5	5	4	2	3	2	2	2	-	30
Lot traité à la dose 4,10 µg/g	5	6	5	4	2	2	2	ı	2	ì	30
Lot traité à la dose 10,76 ug/g	7	3	5	4	3	2	2	1	2	1	30
Lot traité avec le solvant (acétone)	5	3	6	4	3	2	3	2	1	1	30

⁻ Poids moyen pour l'ensemble (en mg) et écart-type : 109,32 et 24,92 -

Les larves après traitement sont maintenues en élevage de groupe et nourries à volonté sur milieu artificiel.

Les mortalités observées, 4 jours après traitement, sont indiquées dans le tableau 44. Nous avons cette fois choisi un délai de 4 jours car l'action des pyréthrinoïdes sur les larves se traduit par un effet de choc appelé "Knock down" suivi dans un délai plus ou moins long, soit de la récupération de l'insecte, soit de sa mort. Un temps aussi long nous a donc paru nécessaire, après l'application de la décaméthrine, pour évaluer avec certitude la mortalité larvaire finale.

L'analyse probit permet de calculer les droites de régression doses-mortalités et d'en déduire les DL₅₀ et DL₉₀. Comme pour le diméthoate, nous avons utilisé la méthode la plus précise, dite du maximum de vraisemblance ("the maximum likelihood solution") ou méthode des probits de travail ("working probits"), (FINNEY, 1964). Nous indiquons les calculs d'une façon condensée et pratique, sous forme d'un formulaire et d'un tableau de calcul (Tableau 45). Nous avons tracé sur le graphique (Fig.46) la droite de régression pour la décaméthrine.

5.4.2. RECHERCHE DES DL50 ET DL90 POUR LE CARBOFURAN.

Nous avons effectué les tests avec 5 doses : 20-30-45-67,5 et 101,25µg/g, croissant en progression géométrique de raison 1,5.

La répartition des lots avant le traitement figure dans le tableau 46. Les larves après traitement sont maintenues en élevage de groupe et nourries à volonté sur milieu artificiel.

Les mortalités observées 2 jours après traitement sont indiquées dans le tableau 47. L'analyse probit permet de calculer les droites de régression doses-mortalités et d'en déduire les DL50 et DL90. Nous avons utilisé la même méthode que pour le diméthoate et la décaméthrine. Nous indiquons les calculs d'une façon condensée et pratique sous forme d'un formulaire et d'un tableau de calcul (Tableau 48).

Tableau 44: Pourcentages de mortalité obtenus pour des larves de S.calamistis HAMPSON traitées par la décaméthrine, 4 jours après le traitement.

Doses en µg/g	0,8	1,6	2,56	4,10	10,76	Témoin
Effectif traité	30	30	30	30	30	30
% de mortalité	26,7%	56,7%	60%	86,7%	100%	0%

<u>Tableau 47</u>: Pourcentages de mortalité obtenues pour des larves de *S. calamistis* HAMPSON traitees par le carbofuran, 2 jours après traitement.

Doses en µg/g	20	30	45	67,5	101,25	Témoin
Effectif traité	30	30	30	30	30	30
% de mortalité	10%	26,67%	36,67%	56,67 %	73,33%	o z

TABLEAU 45 : Calcul de la droite de régression doses - mortalités.

Doses µg/g	Doses corrigées	Log des doses	Effectif	% de nortalité	Probit empirique	Probit attendu		Probit de travail	n. w = W	W.x	W.x ²	W.y"	₩. y'' ²	W.x.y"
λ		×	n	P	У	у'	W	у"	W	l				
0,8	.1	0	30	26,7	4,38	4,4	0,558	4,39	16,74	0	0	73,49	322,58	0
1,6	2	0,30	30	56,7	5,17	5,2	0,627	5,18	18,81	5,64	1,69	97,44	504,67	29,22
2,56	3,2	0,51	30	60,0	5,25	5,6	0,558	5,22	16,74	8,54	4,35	87,38	. 456, 17	44,58
4,10	5,13.	.0,71	30	86,7	6,11	6,1	0,405	6,13	12,15	8,63	6,08	74,48	456,60	52,90
	·'				·				EW = 64,44	ΣW.x = 22,81	ΣW.x ² = 12,12	ΣW.y" = 332,79	EW. y"2= 1740,02	EW.x.y"=

$$\frac{x}{x} = \frac{EW.x}{EW} = \frac{22.81}{64.44} = 0.35$$

$$\frac{y}{y} = \frac{EW.y''}{EW} = \frac{332.79}{64.44} = 5.16$$

$$Sx^{2} = EW.x^{2} - \frac{(EW.x)^{2}}{EW} = 12.12 - 8.07 = 4.05$$

$$Sxy = EW.x.y'' - \frac{W.x.EW.y''}{EW} = 126.7 - 117.80 = 8.9$$

$$Sy^{2} = EW.y''^{2} - \frac{(EW.y'')^{2}}{EW} = 1740.02 - 1718.64 = 21.38$$

$$b = \frac{8 \times y}{8 \times^2} \pm \sqrt{\frac{1}{8 \times^2}} = \frac{8,9}{4,05} \pm \sqrt{\frac{1}{4,05}} =$$

$$b = 2,20 \pm 0,5.$$

$$y = \overline{y} + b (x - \overline{x}) = 5,16 + 2,20 (x - 0,35) =$$

$$y = 5,16 - 0,77 + 2,20 x = 4,39 + 2,20 x$$

$$x^2_{L-2} = 8y^2 - \frac{(8 \times y)^2}{8x^2}$$

$$x^2_{4-2} = 21,38 - \frac{79,21}{4,05} = 1,82$$

C.P. - Coefficient de pondération.

ADDITIF au TABLEAU 45: Calcul des doses létales 50 et 90 :

Pour y = 5:

$$x = m = log DL_{50} : x + \frac{5 - y}{b} = 0.35 + \frac{5 - 5.16}{2.20} = 0.28$$

antilog de 0.28 = 1.91
 $DL_{50} = \frac{1.91 \times 8}{10} = 1.528 \, \mu g/g$

Intervalle de confiance de m pour χ^2 non significatif et $\alpha = 5\%$:

$$m \stackrel{+}{=} E. Sm = m \stackrel{+}{=} 1,96. Sm$$

$$Sm = \sqrt{\frac{1}{b^2} \left[\frac{1}{\Sigma W} + \frac{(m - \bar{x})^2}{Sx^2} \right]} = \sqrt{\frac{1}{(2,20)^2} \left[\frac{1}{64,44} + \frac{(0,28 - 0,35)^2}{4,05} \right]}$$

$$Sm = 0,059$$

E. $Sm = 1,96 \times 0,059 = 0,116$

Limite inférieure = m-E. Sm = 0,28 - 0,116 = 0,164antilog de 0,164 = 1,46

$$\frac{1,46 \times 8}{10} = 1,168 \text{ pg/g}$$

Limite supérieure = m + E - Sm = 0,28 + 0,116 = 0,396antilog de 0,396 = 2,49

$$\frac{2,49 \times 8}{10} = 1,99 \, \mu g/g$$

 DL_{50} en $\mathrm{\mu g/g}$ et ses limites : 1,17 < 1,53 < 1,99

Pour y = 6,282:

$$x = m = log DL_{90} : x + \frac{6,282 - y}{b} = 0,35 + \frac{6,282 - 5,16}{2,20} = 0,86$$

antilog de 0,86 = 7,24 DL₉₀ = $\frac{7,24 \times 8}{10} = 5,79 \mu g/g$

Intervalle de confiance de m pour χ^2 non significatif et $\alpha = 5\%$:

$$Sm = \sqrt{0.21 \left[0.0155 + \frac{(0.86 - 0.35)^2}{4.05}\right]} = 0.13$$

E. $Sm = 1,96 \times 0,13 = 0,25$

Limite inférieure = 0,86 - 0,25 = 0,61

antilog de $0,61 = 4,07 \mu g/g$

$$\frac{4,07 \times 8}{10} = 3,26 \, \mu g/g$$

Limite supérieure : 0,86 + 0,25 = 1,11

antilog de 1,11 = 12,88

$$\frac{12,88 \times 8}{10} = 10,30 \, \mu g/g$$

 DL_{90} en $\mu g/g$ et ses limites : 3,26 < 5,79 < 10,30

TABLEAU 46 : Composition des lots dans l'essai définitif effectué pour la détermination de la DL50, en traitement par contact avec le carbofuran

	. Noп	bre d'ind	ividus de	différent	s poids,	par lot				Total pour chaque lot
Classes de poids et médiane (en mg)	75-84 80	85-94 90	95-104 100	105-114 110	115-124	125-134 130	135-144 140	145-154 150	155-164 160	. -
Nombre d'individus	23	19	37	17	22	23	18	12	9	180
Volume appliqué de solution par larve (en µl)	0,8	0,9	1,0	1,1	1,2	1,3	1,4	1,5	1,6	-
Lot traité à la dose 20 vg/g	4	3	6	3	3	5	3	2	1	30
Lot traité à la dose 30 µg/g	4	3	6	3	3	2	3	4	2	30
Lot traité à la dose 45 µg/g	4	3	7	2	5	2	3	. 1	3	30
Lot traité à la dose 67,5 µg/g	4	3	6	3	5	5	3	ı		30 .
Lot traité à la dose 101,25 µg/g	3	4	6	3	3	5	3	2	1	30
Lot traité avec le solvant (acétone)	4	3	6	3	3	4	3	2	2	30

⁻ Poids moyen pour l'ensemble (en mg) et écart-type : 112,98 et 22,88 -

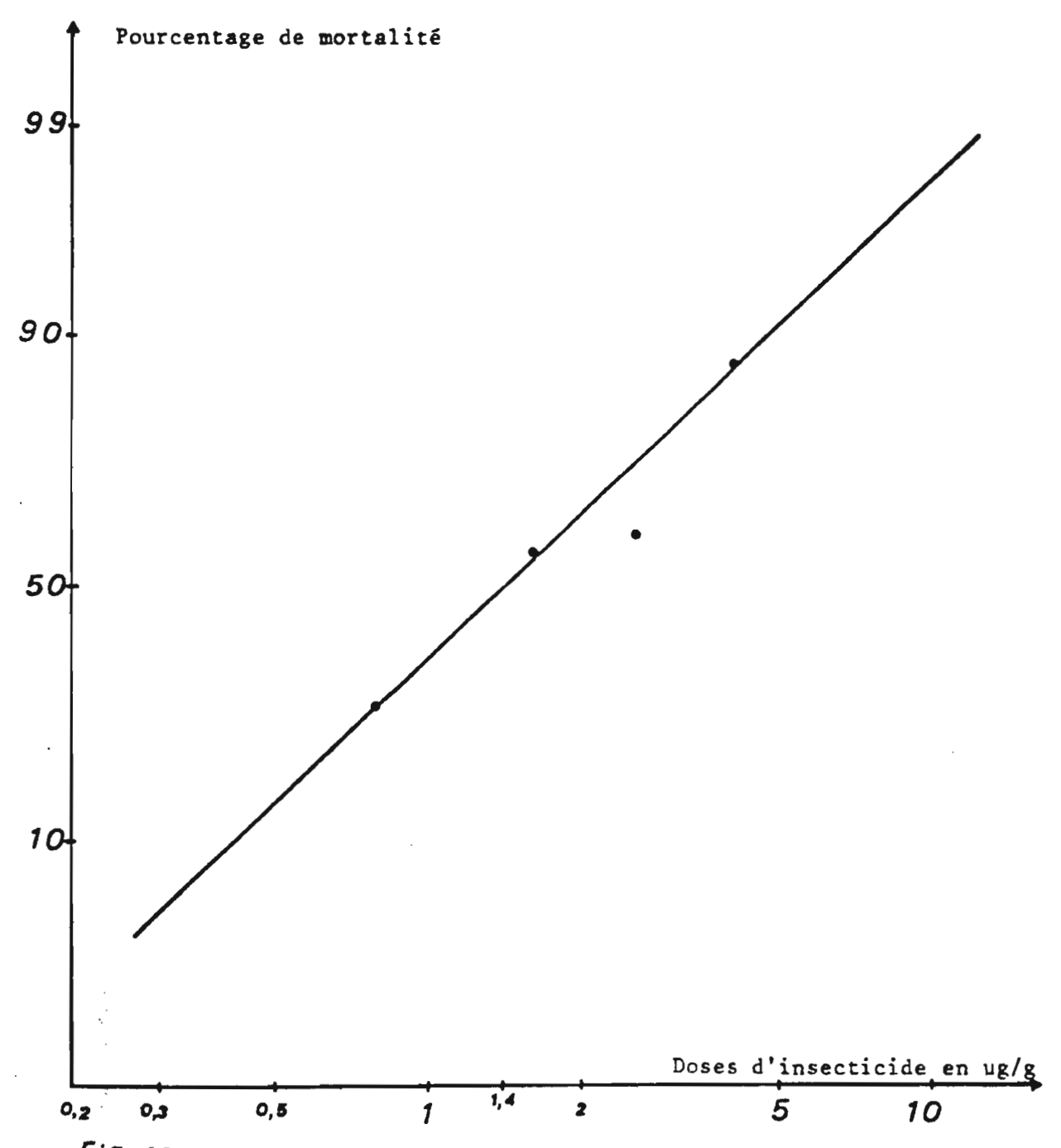


Fig. 46 - Droite de régression du probit de la mortalité sur le logarithme de la dose de décaméthrine. Test effectué par application topique de 4 doses différentes, avec 30 larves en début de dernier stade larvaire de S. calamistis HAMPSON; mortalité larvaire observée 4 jours après traitement.

TABLEAU 48 : Calcul de la droite de régression doses - mortalités

Doses µg/g λ	Log des doses x	Effectif,	% de mortalité P	Probit empirique y		Probit de travail y"	C.P.	Poids n.w=W W	W.x	W.x ²	W.y"	W.y" ²	W.x.y"
20	1,30	30	10	3,72	3,7	3,72	0,336	10,08	13,10	17,04	37,49	139,41	48,72
30	1,48	30	26,7	4,38	4,2	4,40	0,503	15,09	22,33	33,05	66,41	292,29	98,27
45	1,65	30	36,7	4,66	4,7	4,67	0,616	18,48	30,49	50,45	86,26	402,68	142,33
67,5	1,83	30	56,7	5,17	5,2	5,18	0,627	18,81	34,42	63,01	97,36	503,92	178,16
101,25	2,01	30	73,3	5,62	5,6	5,61	0,558	16,74	33,65	67,63	93,96	527,48	188,88
· · · · · · · · · · · · · · · · · · ·	· · · · · · · · · · · · · · · · · · ·		•			·		ΣW = 79,2	ΣWx = 133,99	$\Sigma Wx^2 = 231,18$	ΣWy" = 341,48	ΣWy" ² = 1865,78	ΣWxy" = 656,36

$$\bar{x} = \frac{\Sigma Wx}{\Sigma W} = \frac{133,99}{79,2} = 1,69$$

$$\bar{y} = \frac{\Sigma Wy''}{\Sigma W} = \frac{381,48}{79,2} = 4,82$$

$$Sx^2 = \Sigma Wx^2 - \frac{(\Sigma Wx)^2}{\Sigma W} = 231,18 - \frac{(133,99)^2}{79,2} = 4,5$$

$$Sxy = \Sigma Wxy'' - \frac{\Sigma Wx \bullet \Sigma Wy''}{\Sigma W} = 656,36 - \frac{133,99 \times 381,48}{79,2} = 10,97$$

$$Sy^2 = \Sigma Wy''^2 - \frac{(\Sigma Wy'')^2}{\Sigma W} = 1865,78 - \frac{(381,48)^2}{79,2} = 28,32$$

$$b = \frac{S \times y}{S \times^2} + \sqrt{\frac{1}{S \times^2}} = \frac{10,97}{4,5} + \sqrt{\frac{1}{4,5}}$$

$$b = 2,44 + 0,47$$

$$y = \overline{y} + b (x - \overline{x}) = 4,82 + 2,44 (X - 1,69)$$

$$y = 4,82 - 4,12 + 2,44x = 0,70 + 2,44 \times 2$$

$$\chi^2_{L-2} = Sy^2 - \frac{(S \times y)^2}{S \times^2}$$

$$\chi^2_{5-2} = 28,32 - \frac{120,34}{4,5} = 1,58$$

C.P. = Coefficient de pondération

ADDITIF au TABLEAU 48 : Calcul des doses létales 50 et 90.

Pour y = 5:

$$x = m = log DL_{50} : \overline{x} + \frac{5 - \overline{y}}{b} = 1,69 + \frac{5 - 4,82}{2,44} = 1,76$$

 DL_{50} = antilog de 1,76 = 57,54 µg/g

Intervalle de confiance de m pour χ^2 non significatif et α = 5% :

m
$$\stackrel{+}{=}$$
 E. Sm = m $\stackrel{+}{=}$ 1,96 Sm
Sm = $\sqrt{\frac{1}{b^2} \left[\frac{1}{\Sigma W} + \frac{(m - \bar{x})^2}{Sx^2} \right]} = \sqrt{\frac{1}{(2,44)^2} \left[0,013 + \frac{(1,76 - 1,69)^2}{4,5} \right]}$
·Sm = 0,049

E. $Sm = 1,96 \times 0,049 = 0,096$

Limite inférieure = m - E.Sm = 1,76 - 0,096 = 1,664

antilog de 1,664 = 46,13 $\mu g/g$

Limite supérieure = m + E. Sm = 1,76 + 0,096 = 1,856

antilog de 1,856 = 71,78 μ g/g

 DL_{50} en $\mu g/g$ et ses limites : 46,13 < 57,54 < 71,78

Pour y = 6,282

$$x = m = log DL_{90} = \bar{x} + \frac{6,282 - \bar{y}}{b} = 1,69 + \frac{6,282 - 4,82}{2,44} = 2,29$$

 DL_{90} = antilog de 2,29 = 194,98 µg/g

Intervalle de confiance de m pour χ^2 non significatif et α = 5%

Sm =
$$\sqrt{0,17 \left[0,013 + \frac{(2,29-1,69)^2}{4,5}\right]} = 0,126$$

E. $Sm = 1,96 \times 0,126 = 0,247$

Limite inférieure = 2,29 - 0,247 = 2,043

antilog de 2,043 = 110,41 µg/g

Limite supérieure = 2,29 + 0,247 = 2,537

antilog de 2,537 = $344,35 \mu g/g$

 DL_{90} en $\mu g/g$ et ses limites : 110,41 < 194,98 < 344,35

Nous avons tracé sur un graphique (Fig. 47), la droite de régression pour le carbofuran.

5.4.3. RESULTATS.

Les tests de laboratoire qui ont été effectués par application topique montrent que les larves de Sesamia calamistis HAMPSON au dernier stade larvaire sont très sensibles à la décaméthrine (DL $_{50}$ = 1,53 μ g/g) par rapport au carbofuran (DL $_{50}$ = 57,54 μ g/g). Malheureusement la décaméthrine, qui agit par contact et par ingestion, ne présente pas de propriétés systémiques, au contraire du carbofuran et il serait donc intéressant de rechercher des modalités d'application lui permettant d'agir contre les larves endophytes de S.calamistis Hamps.

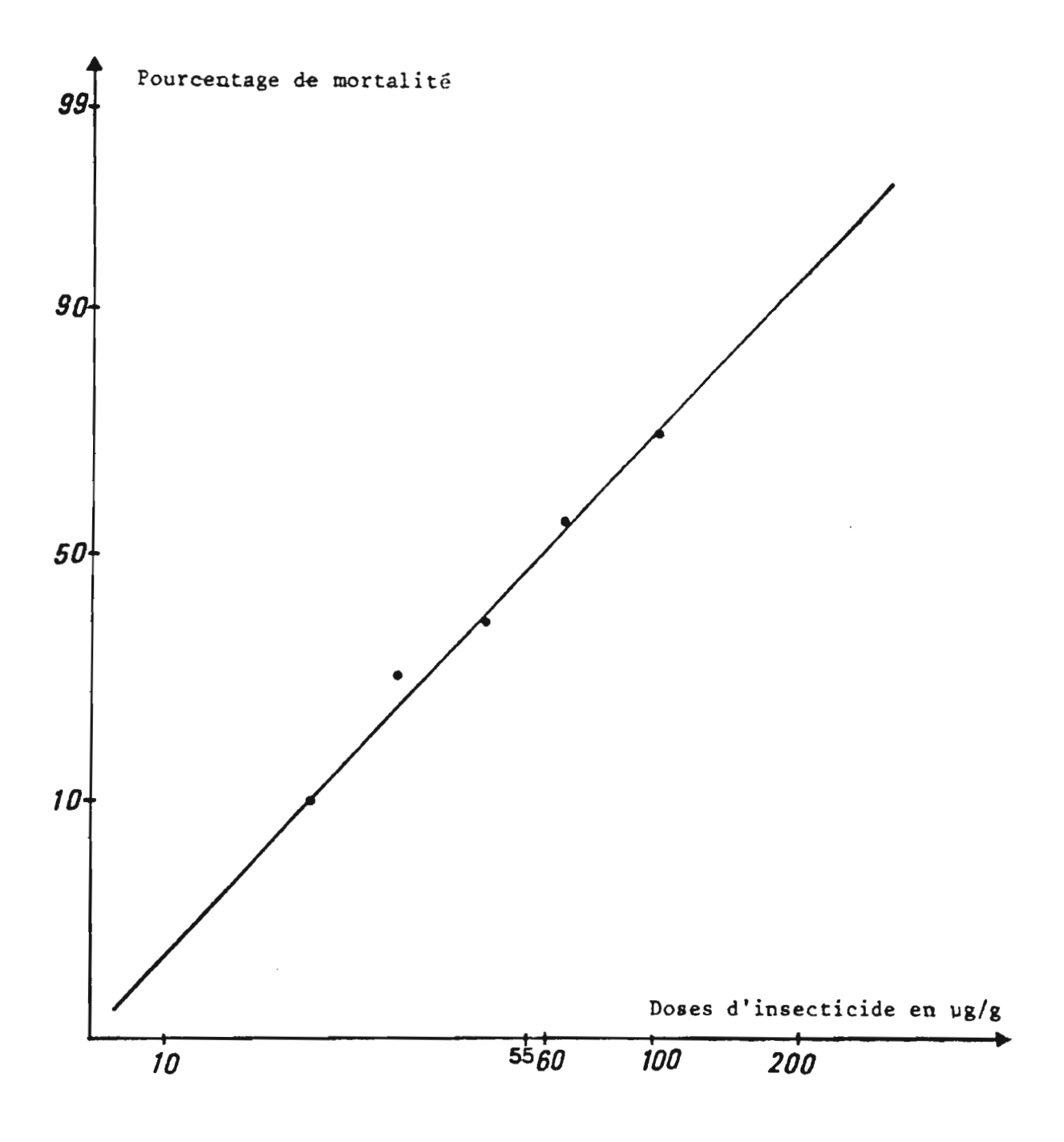


Fig - 47- Droite de régression du probit de la mortalité sur le logarithme de la dose de carbofuran. Test effectué par application topique de 5 doses différentes, avec 30 larves de S.calamistis HAMPS. en début de dernier stade larvaire; mortalité larvaire observée 2 jours après traitement.

6. CHAPITRE VI

ETUDE DE L'ACTIVITE SYSTEMIQUE

(TELETOXICITE) DU CARBOFURAN EN TRAITEMENT DU SOL,

DES VITESSES D'ACCUMULATION DU CAPBOFURAN DANS LE MAIS, DE
SA REMANENCE DANS LE MAIS ET DE SA DEGRADATION DANS UN SOL

BONNEMAISON (1970) préconise d'utiliser des traitements insecticides par épandage de granulés dans la raie de semis ou en localisation près du système racinaire, afin de permettre à une partie des insectes auxiliaires d'échapper à leurs effets. Les substances utilisées doivent alors posséder un pouvoir d'action systémique.

Nous avons choisi le carbofuran en raison de cette action systémique et de son efficacité contre un large spectre de ravageurs agricoles. Il est très recommandé pour traiter les cultures de riz, de mais, de betteraves, d'arachides, de pommes de terre, de coton et de légumes. Le carbofuran s'est avéré très efficace contre les ravageurs de mais et de riz. Comme le montre COHICK (1975), la carbofuran en traitement du sol aux doses autorisées (0,84 et 1,12 kg m.a./ha) s'avère hautement efficace contre les ravageurs du mais les plus importants aux U.S.A. : Ostrinia nubilalis, Diabrotica (corn root worms), Diatraea grandiosella et les Nématodes.

Cette haute efficacité s'exprime par une très nette augmentation du rendement du mais traité. De même IWAYA et KOLLMER (1975) ont montré que le carbofuran à la dose de 1,5 kg m.a./ha, sous forme de granulés à 3%, donne de très bons résultats contre les ravageurs

les plus importants des cultures de riz du Sud-Est asiatique : Tryperyza incertulas (yellow rice borer). Nymphula depunctalis (rice case worm), Cnapralocrocis medinalis (grass leafroller) et plus particulièrement contre les delphacides et cicadelles : Nilaparvata lugens, Sogatella furcifera, Nephotettix impicticeps et N. apicalis. Contre ces derniers ravageurs, l'efficacité du carbofuran est nettement supérieure à celle du diazinon. Ce succès résulte évidemment, également, de la réduction considérable de la transmission des diverses viroses transmises par ces insectes. En Grande-Bretagne, MARTIN et MORRIS (1975) ont montré qu'une seule application de carbofuran à la dose de 0,02 à 0,05 g. de matière active par plant de chou-fleur, en traitement du sol, est suffisante contre le parasite le plus important des cultures de choux, la petite mouche Phorbia brassicae. L'action du carbofuran sur ce parasite est très importante car, au début des années 60, ce petit diptère est devenu résistant à la dieldrine qui, à cette époque, était l'insecticide le plus utilisé pour les traitements du sol. Plus récemment, le chlorfenvinphos a été employé dans le même but mais, il n'était pas très efficace contre d'autres parasites du chou tels que le puceron cendré Brevicoryne brassicae, les altises et le charançon de la tige du chou Ceutorrhynchus quadridens. Par contre, le carbofuran a un effet remarquable contre ce puceron : une diminution considérable des populations de ce parasite a pu être observée jusqu'à 9 semaines après l'application.

6.1. ETUDE DE L'ACTIVITE SYSTEMIQUE (TELETOXICITE) DU CAR-BOFURAN EN TRAITEMENT DU SOL.

On appelle insecticide systémique (ou télétoxique, ou endothérapique) une substance qui a la propriété d'être absorbée par les végétaux et qui, transportée par la sève dans tous les organes, y subsiste assez longtemps et en quantité suffisante pour rendre ces végétaux toxiques pour les Insectes et les Acariens phytophages piqueurs ou broyeurs (DAJOZ, 1969). La première observation d'une substance à action endothérapique fut faite aux Etats-Unis où des entomologistes constatèrent que le blé cultivé dans des sols contenant du sélénium n'était pas attaqué par le puceron Rhopalosiphum prunifoliae; ce puceron élevé sur des plants de blé cultivés sur des milieux contenant plus de 0,0003% de sélénium meurt en quelques jours. Mais la grande toxicité du sélénium, supérieure à celle de l'arsenic pour les Mammifères, rend impossible toute application pratique de cette découverte. Il existe aux Etats-Unis des régions où le sol est riche en sélénium et les plantes que l'on y récolte provoquent souvent des intoxications du bétail (BONNEMAISON, 1956).

Les premiers insecticides à action endothérapique ont été obtenus en 1936 par l'allemand SCHRADER, mais ils n'ont été étudiés dans divers pays qu'à partir de 1946 et les travaux se rapportant à ces substances ne furent publiés qu'en 1947 et 1948. Ces nouveaux produits ont suscité un grand intérêt et il a été relevé, dès Décembre 1953, 455 publications ayant trait à ces insecticides (in GIANG, 1954).

BONNEMAISON (1951) a relaté des essais de protection des plantes par arrosage du sol, en comparaison avec des pulvérisations sur le feuillage, avec du schradan, l'Octa Méthyl Pyrophosphor Amide (insecticide endothérapique) et du parathion (insecticide de contact). L'arrosage du sol avec une solution à 0,33% de schradana assuré une bonne protection contre le puceron de la betterave Myzus persicae et le puceron du chou Brevicoryne brassicae, jusqu'au 25-30ème jour mais cette protection est devenue insuffisante au-delà du 30ème jour. L'arrosage du sol avec du parathion en émulsion ne donne aucun résultat valable. En ce qui concerne le schradan, l'arrosage donne cependant des résultats généralement inférieurs à la pulvérisation bien que la quantité de matière active utilisée à l'hectare soit beaucoup plus élevée.

METCALF a étudié la pénétration du schradan, marqué avec du phosphore radioactif 32 P, chez des plants de citronniers cultivés sur une solution nutritive additionnée de 0,05 g% de ce produit. Il a suivi

la distribution de cet insecticide dans les feuilles et mesuré la toxicité de celles-ci pour l'acarien Paratetranychus citri. Les résultats obtenus montrent que, six heures après l'introduction du schradan dans la solution, on le retrouve déjà dans toute la plante (in DAJOZ, 1969). Les expériences que nous avons menées avec le carbofuran, sur les chenilles de Sesamia calamistis Hampson, avaient pour but :

- d'évaluer l'efficacité du traitement sur pieds de mais en incorporant le carbofuran au sol, sous forme de granulés, à différentes doses.
- d'évaluer également l'efficacité du traitement sur pieds de maïs, cultivés dans une solution nutritive additionnée de carbofuran, sous forme de granulés, à différentes doses.

6.1.1. MATERIEL ET METHODES.

Le produit testé est donc le carbofuran sous forme de granulés à 5% de matière active.

Les plants de mais utilisés sont cultivés en serre dans des pots de matière plastique (environ 250 g. de sol sec) contenant un mélange riche en matière organique préparé spécialement pour des cultures de céréales en serre. Ce mélange se compose de 6 volumes de tourbe TKS₂, 6 volumes de terreau et 3 volumes de terre franche sableuse.

Les pieds de mais cultivés sur une solution nutritive sont obtenus à partir de pieds cultivés dans le même sol et transférés 2 jours avant le traitement dans des erlenmeyers contenant environ 500 ml de solution nutritive HOAGLAND et ARNON (in HEWITT, 1952):

Composition de la solution nutritive

Constituent	Solutions mères g/l.	Concentration finale dans la solution nutritive g/l.
Ca (NO ₃) ₂	24,6	0,492
KNO 3	10	0,200
KH ₂ PO ₄	11,5	0,230
Mg SOu	24,5	0,490

Pour préparer la solution nutitive, il faut prendre 20 ml. de chaque solution mère et un ml. d'un mélange renfermant des microéléments, puis y ajouter de l'eau distillée jusqu'à obtention d'un volume d'un litre. La solution de microéléments est préparée en mélangeant 7,56 g/300 ml de Na₂ EDTA; 10,11 g/300 ml de FeSC₄, 7 H₂O et en complétant avec 400 ml d'eau distillée. L'aération de la solution nutritive, pendant la culture du maïs, est assurée par de petites pompes électriques, à raison de 120 bulles d'air par minute.

Les stades de développement des plantes obtenues sont définis par le nombre de feuilles portées par la tige de mais. Nous avons effectué le traitement sur pieds de mais au stade de 4 feuilles (Fig.48).



Fig. 48: Pieds de mais au stade de 4 feuilles, au moment du traitement.

Les essais sont effectués dans une salle climatisée à 27°C ± 2°C et 45 à 50% d'H.R., avec un éclairage artificiel comportant 12 heures de jours avec 1600 lux et 12 heures d'obscurité.

L'infestation artificielle a été faite à partir d'insectes produits au laboratoire. Chaque lot d'insectes testés est composé de 30 larves en début de dernier stade larvaire, disposées dans des boîtes en matière plastique à couvercle grillagé contenant des morceaux de tiges de mais provenant des plants traités (traitement du sol). Le poids moyen de ces larves (déterminé en pesant 120 larves) était de 91,98 ± 1,90 mg.

Deux jours avant de couper les tiges de mais, les pots sont traités avec des granulés de carbofuran à 5% de matière active. Nous avons utilisé 3 doses plus un témoin. Cette durée du traitement est suffisante car nous avons montré, en 1978, que le carbofuran appliqué au sol atteint la partie aérienne du mais dans un laps de temps de 48 heures : la consommation de la végétation après ce délai provoque 1007 de mortalité sur des larves de Schistocerca gregaria au 2ème stade larvaire lorsque la dose correspond à 1,0 kg. de matière active à l'hectare.

Dans les champs, la densité de semis du mais se situe aux environs de 40.000 à 50.000 pieds par hectare (espacement entre les lignes 0,80 m et l'écartement sur la ligne 0,25 m).

Nous avons calculé les doses à appliquer par plant de mais en divisant la dose de matière active par hectare par 45.000, densité moyenne de semis. Les doses d'emploi recommandées sont généralement de 600 à 1000 g. de matière active par hectare, nous avons cependant choisi pour nos tests, au laboratoire, 3 doses correspondant à 200, 300 et 600 g.m.a./ha, (4,44, 6,67 et 13,33 mg de m.a./plant). En effet, les doses à appliquer au champ sont toujours supérieures à celles que l'on détermine au laboratoire, en raison de divers facteurs qui, d'après CHANCOGNE et VIEL (1956), peuvent être :

- a). d'ordre chimique et biochimique : la substance pesticide pouvant subir des modifications sous l'influence de la chaleur, de la lumière, de l'eau ou au contact du sol et de la plante traitée.
- b). d'ordre physique par suite du changement d'état du produit répandu.
- c). d'ordre mécanique : HORSFALL(in CHANCOGNE et VIEL, 1956) cite le vent, le frottement des feuilles les unes contre les autres, la croissance des feuilles et la pluie.

6.1.2. RESULTATS.

Les mortalités larvaires ont été relevées 2 jours après les infestations artificielles, en disséquant les morceaux de tiges de mais infestés. Les résultats montrent que, dans les 2 jours qui suivent

le traitement du sol et quelle que soit la dose, aucune mortalité n'est enregistrée.

Cela peut être dû :

- à l'insuffisance des doses appliquées
- à la nature du sol utilisé, constitué d'un mélange riche en éléments adsorbants (matière organique, argiles), susceptibles de fixer
 une partie du carbofuran et de ralentir la pénétration du produit dans
 la plante par le système racinaire : le délai de 2 jours après traitement est alors insuffisant pour atteindre les chenilles endophytes.

En effet, JAMET et PIEDALLU (1975) ont montré qu'il existe une corrélation positive et significative entre la quantité de carbofuran adsorbée et la teneur des sols en matière organique. Notons cependant que l'adsorption du carbofuran est un phénomène réversible et donc que le produit est susceptible d'être libéré, par la suite, dans la phase liquide du sol. JAMET et PIEDALLU ont retenu un temps d'équilibre de 72 heures pour ce produit.

Ces constatations nous ont incité d'une part à refaire ces mêmes traitements du sol avec des doses plus élevées de carbofuran, correspondant à 2-3-6-9 et 12 kg de matière active à l'hectare. D'autre part, nous avons réalisé la même expérimentation en additionnant la solution nutritive de carbofuran sous forme de granulés aux doses : 0,3-0,6-1,0-1,2 et 2,0 kg de matière active à l'hectare, chiffres volontairement plus modestes que les précédents puisque, dans ce cas, il n'y a pas, théoriquement, adsorption du produit. Le but de cet essai est d'observer l'efficacité du traitement insecticide en localisation de granulés près du système racinaire dans deux milieux différents :

- sol de serre riche (adsorption de produit)
- solution nutritive (pas d'adsorption et rapidité d'absorption radiculaire du produit)

Les résultats obtenus sont représentés dans les tableaux 49, 50.

Pour comparer l'efficacité du carbofuran entre ces deux modes de traitement, nous déterminons les doses critiques qui provoquent une mortalité de 50% des individus utilisés, dans l'un et l'autre de ces tests. Ces doses sont appelées "doses létales médianes" ou DL_{50} .

L'analyse probit permet, à partir des valeurs expérimentales, de calculer les droites de régression doses-mortalités et d'en déduire les DL₅₀.

Nous n'avons pas utilisé les valeurs expérimentales donnant des mortalités de 100%, car les points correspondant à ces valeurs étaient très éloignés des droites de régressions déterminées à partir des autres valeurs expérimentales.

Pour déterminer les PL_{50} , nous avons utilisé la méthode la plus précise, dite du maximum de vraisemblance ("the maximum likelihood solution") ou méthode des probits de travail ("working probits"); (FINNEY, 1964).

Nous indiquons les calculs d'une façon condensée et pratique sous forme d'un formulaire et d'un tableau de calcul (voir tableaux 51, 52).

Remarque: Si l'on poursuit le calcul de la DL_{90} avec les quatre premières doses en traitement de la solution nutritive, l'intervalle de confiance obtenu sera très large (dans cet exemple, la DL_{90} en mg de carbofuran par pied de maïs et ses limites serait de : 16,52 < 128,23 < 995,41).

Nous avons tracé sur le graphique (Fig.49), le spectre de sensibilité des larves de S.catamistis Hamps. en début de dernier stade larvaire suivant les deux modalités de traitement.

TABLEAU 49. Pour centages de mortalité chez des larves de S.calamistis HAMPSON,
2 jours après l'infestation artificielle de tiges de mais traitées
en traitement du sol, à diverses doses de carbofuran.
(Nombre de larves pour chaque dose : 30).

Dose en m.a./ha	2	kg	3	кg	6	kg	9	kg	12	kg	Témoin
Dose en m.a./pied de maïs	44	mg	66	mg	132	mg	198	mg	266,7	mg	-
Quantité de granulés à 5 % de m.a./pied de maïs	880	mg	1,3	20 g	2,6	40 g	3,9	60 g	5,33	4 g	-
% de mortalité larvaire	2	0	56	, 7	86,	7	96,	7	100		o

TABLEAU 50. Pour centages de mortalité chez des larves de S.calamistis HAMPSON,
2 jours après l'infestation artificielle de tiges de mais cultivé
sur solution nutritive à laquelle on a ajouté diverses doses de
carbofuran.
(Nombre de larves pour chaque dose : 30).

Dose en m.a./ha	0,3 kg	0,6 kg	1,0 kg	1,2 kg	2,0 kg	Témoin
Dose en m.a./pied de maïs	6,5 mg	13 mg	22 mg	26 mg	44 mg	-
Quantité de granulés à 5 % de m.a./pied de maïs	130 mg	260 mg	440 mg	520 mg	880 mg	-
% de mortalité 16,7		23,3	56,7	66,7	100	0

TABLEAU 51 : Calcul de la droite de régression doses-mortalités, en traitement du sol.

Doses mg du Carbofuran/ pied de mais \(\lambda\)	Log des doses x	Effectif n	% de mortalité P	Probit empirique y	Probit attendu y'	C.P.	Probit de travail y"	Poids n.w≔W W	W.x	W.x ²	W.y"	₩. y ¹¹²	W.x.y.
44	1,64	30	20	4,16	4,2	0,503	4,16	15,09	24,75	40,59	62,77	261,21	102,96
66	1,82	30	56,7	5,17	4,9	0,634	5,18	19,02	34,62	62,96	98,52	510,31	179,33
132	2,12	30	86,7	6,11	6,1	0,405	6,13	12,15	25,76	54,55	74,48	456,60	157,91
198	2,30	30	96,7	6,84	6,8	0,180	6,88	5,40	12,42	28,57	37,15	255, 58	85,45
								ΣW = 51,66	ΣW.x = 97,55	ΣW.x ² = 186,67	ΣW.y"# 272,92	Σ₩.y ^{\r2} # 1483,7	Σ₩.x.y"= 525,65

$$\ddot{x} = \frac{EW.x}{EW} = \frac{97,55}{51,66} = 1,89$$

$$\ddot{y} = \frac{EW.y''}{EW} = \frac{272,92}{51,66} = 5,28$$

$$Sx^2 = EW.x^2 - \frac{(EW.x)^2}{EW} = 186,67 - \frac{9516}{51,66} = 2,47$$

$$Sxy = EW.x.y'' - \frac{EW.x \cdot EW.y''}{EW} = 525,65 - \frac{97,55 \cdot 272,92}{51,66} = 10,29$$

$$Sy^2 = EW.y^2 - \frac{(EW.y'')^2}{EW} = 1483,7 - \frac{(272,92)^2}{51,66} = 41,86$$

$$b = \frac{S \times y}{S \times^2} \pm \sqrt{\frac{1}{S \times^2}} = \frac{10,29}{2,47} \pm \sqrt{\frac{1}{2,47}} = 4,17 \pm 0,64$$

$$y = \overline{y} + b \ (x - \overline{x}) = 5,28 + 4,17 \ (x - 1,89) = 7$$

$$y = -2,60 + 4,17 \ x$$

$$x^2$$
L-2 = $Sy^2 - \frac{(Sxy)^2}{Sx^2}$

$$\chi^2_{4-2} = 41,86 - \frac{105,88}{2,47} = 1,01$$

ADDITIF au TABLEAU 51 : Calcul des doses létales 50 et 90.

Pour y = 5

$$x = m = log DL_{50} : \bar{x} + \frac{5 - \bar{y}}{b} = 1,89 + \frac{5 - 5,28}{4.17} = 1,823$$

 DL_{50} = antilog de 1,823 = 66,53 mg du Carbofuran/pied de maïs

Intervalle de confiance de m pour χ^2 non significatif et α = 5%:

m± 1,96 Sm

$$Sm = \sqrt{\frac{1}{b^2} \left[\frac{1}{2W} + \frac{(m - \bar{x})^2}{Sx^2} \right]}$$

$$Sm = \sqrt{\frac{1}{(4,17)^2} \left[\frac{1}{51,66} + \frac{(1,823 - 1,89)^2}{2,47} \right]} = 0,03$$

$$E.Sm = 1,96 \times 0,03 = 0,059$$

Limite inférieure = m - E.Sm = 1,823 - 0,059 = 1,764

antilog de 1,764 = 58,08 mg de Carbofuran/pied de maïs

Limite supérieure = m + E.Sm = 1,823 + 0,059 = 1,882

antilog de 1,882 = 76,21 mg de Carbofuran/pied de mais

DL₅₀ en mg du Carbofuran/pied de mais et ses limites :

Pour y = 6,282:

$$x = m = log DL_{90} = \bar{x} + \frac{6,282 - \bar{y}}{b} = 1,89 + \frac{6,282 - 5,28}{4,17} = 2,13$$

 DL_{90} = antilog de 2,13 = 134,90 mg du Carbofurar/pied de maïs Intervalle de confiance de m pour χ^2 non significatif et α = 5% :

$$Sm = \sqrt{0.0575 \left[0.019 + \frac{(2.13 - 1.89)^2}{2.47}\right]} = 0.049$$

 $E.Sm = 1,96 \times 0,049 = 0,096$

Limite inférieure = 2,13 - 0,096 = 2,034

antilog de 2,034 = 108,14 mg du Carbofuran/pied de maïs Limite supérieure = 2,13 + 0,096 = 2,226

antilog de 2,226 = 168,27 mg du Carbofuran/pied de maïs DL₉₀ en mg du Carbofuran/pied de maïs et ses limites =

Tableau 52 : Calcul de la droite de régression doses-mortalités, en traitement de la solution nutritive.

Doses mg du carbofuran/ pied de maïs \(\lambda\)	Log des doses	Effect if	% de mortalité P	Probit empirique y	Probit attendu y'	C.P.	Probit de travail y"	Poids n.w=W W	H.x	₩.x²	W.y"	W.y" ²	W.x.y"
6,5	0,81	30	16,7	4,03	3,1	0,154	5,25	4,62	3,74	3,03	24,26	127,34	19,64
13	1,11	30	23,3	4,27	4,3	0,532	4,26	15,96	17,72	19,66	67,99	289,64	75,49
22	1,34	30	56,7	5,17	5,2	0,627	5,18	18,81	25,21	33,78	97,44	504,72	130,59
26	1,42	30	66,7	5,43	5,4	0,601	5.44	18,03	25,60	36,35	98,08	533,57	139,25
·				•				ΣW = 57,42	ΣW.χ = 72,27	ΣW.χ ² * 92,82	£₩.y" = 287,77	Σ₩.y" ² # 1455,27	ΣW.x.y' 364,98

$$\bar{x} = \frac{\Sigma W \cdot x}{\Sigma W} = \frac{72,27}{57,42} = 1,26$$

$$\bar{y} = \frac{\Sigma W \cdot y''}{\Sigma W} = \frac{287,77}{57,42} = 5,01$$

$$Sx^{2} = \Sigma W \cdot x^{2} - \frac{(\Sigma W \cdot x)^{2}}{\Sigma W} = 92,82 - 90,96 = 1,86$$

$$Sxy = \Sigma W \cdot x \cdot y'' - \frac{\Sigma W \cdot x + \Sigma W \cdot y''}{\Sigma W} = 364,98 - 362,19 = 2,79$$

$$Sy^{2} = \Sigma W \cdot y''^{2} - \frac{(\Sigma W \cdot y'')^{2}}{\Sigma W} = 1455,27 - 1442,21 = 13,06$$

$$b = \frac{Sxy}{Sx^2} + \sqrt{\frac{1}{Sx^2}}$$

$$b = 1,5 + 0,73$$

$$y = \overline{y} + b (x-\overline{x}) = 3,12 + 1,5 \times 1$$

$$\chi^2_{L-2} = Sy^2 - \frac{(Sxy)^2}{Sx^2}$$
(2.70)²

$$\chi^2_{4-2} = 13,06 - \frac{(2,79)^2}{1,86} = 8,87$$

ADDITIF au TABLEAU 52 : Calcul de dose létale 50.

Pour y = 5

$$x = m = \log DL_{50} = \bar{x} + \frac{5 - \bar{y}}{b} = 1,26 + \frac{5 - 5,01}{1,5} = 1,253$$

 DL_{50} = antilog de 1,253 = 17,91 mg de carbofuran/pied de mais

Intervalle de confiance de m pour χ^2 est significatif et α = 5%.

Dans ce cas, il faut multiplier l'écart-type de la moyenne par la racine carrée du facteur f d'néterogéneité.

$$\int_{x^{\pm}} = \sqrt{\frac{\chi^{2}}{L-2}}$$

$$\int_{x^{\pm}} \sqrt{\frac{\chi^{2}}{L-2}} \cdot Sm$$

$$\int_{x^{\pm}} \left[\frac{1}{b^{2}} \left[\frac{1}{2W} + \frac{(m-\bar{x})^{2}}{Sx^{2}} \right] \right] = 0.0275$$

$$\sqrt{\frac{\chi^{2}}{L-2}} = 2.11$$

Limite inférieure = $m - 2,11 \times 0,0275 = 1,195$

antilog de 1,195 = 15,67 mg du carbofuran/pied de mais Limite supérieure = m + 0,058 = 1,311

antilog de 1,311 = 20,46 mg de carbofuran/pied de mais

DL50 en mg du carbofuran/pied de mais et ses limites :

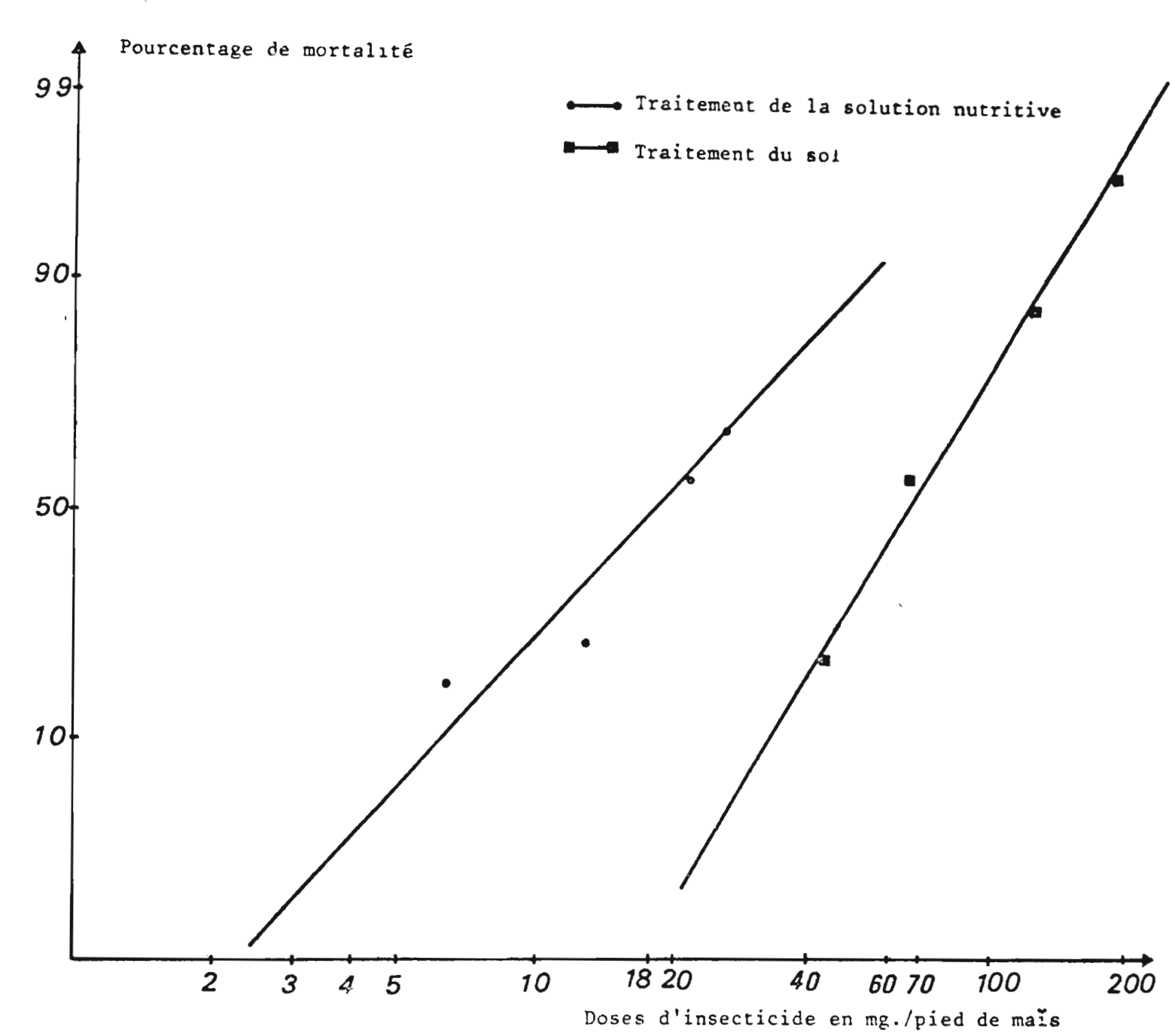


Fig.49 — Spectre de sensibilité des larves de S.catamistis HAMPSON, en début de dernier stade larvaire, avec 30 individus par dose et deux modalités de traitement. Tests effectués en traitement du sol et de la solution nutritive par le carbofuran sous forme de granulés à 5% de matière active.

Les DL_{50} et leurs limites, obtenues suivant les deux modalités de traitement, exprimées en mg. de carbofuran par pied de mais, sont :

Modalités de traitement	Traitement du sol	Addition de l'insectici- de dans la solution nutritive
Dose en m.a./pied de mais en mg	58,08 < 66,53 < 76,21	15,67 < 17,91 < 20,46

La DL₅₀ pour les larves de *S.calamistis* HAMPSON, en début de dernier stade larvaire est donc 3,7 fois plus élevée avec le traitement du sol qu'avec le traitement de la solution nutritive.

On peut donc conclure de l'ensemble des deux tests que les colloides du sol (argiles, matière organique), en fixant une partie du carbofuran par phénomène d'adsorption, modifient grandement son efficacité contre les larves de Sesamia calamistis HAMPSON, foreuses de tige de mais.

Des résultats très analogues ont été obtenus par différents auteurs. Ainsi, BHIRUD et PITRE (1972) ont étudié l'influence de différents types de sols (léger, moyen, lourd) sur l'activité du carbofuran contre Daltulus maidis (Cicadellidae, Eomoptera) vecteur du corn stunt disease, sur culture de mais, en serre, à la dose de 1,1 kg/ha. Cette étude a montré que l'activité systémique du carbofuran est plus grande sur le mais cultivé dans un sol léger et humide que dans un sol lourd. Ainsi la mortalité de D.maidis sur les mais traités en traitement du sol, est différente selon le type de sol dans lequel le mais est cultivé. En fonction de cette mortalité, les sols peuvent être classés de la manière suivante et par ordre croissant de rétention du produit : sol sableux-humifère > sol limoneux-argileux.

De même, HARRIS (1973) a étudié la variation de l'activité insecticide du carbofuran en fonction de la quantité de matière organique et de l'humidité du sol contre Acheta pennsylvanicus (field cricket) (Grylliage, Orthoptères). Il a montré que les sols lourds et très humiques exigent des doses plus élevées de produit insecticide. ABDELLATIF et al. (1967) ont étudié le rôle de l'argile sur l'efficacité du carbo-furan contre Aphis gossypii, en utilisant des plants de cotonnier cultivés dans des pots traités par 20 mg. du m.a./pot (contenant 2 litres de sol). Les résultats obtenus sont les suivants :

% d'argile dans le sol		Persistance de l'efficacité (100% de mortalité) en jours.
1	2	environ 90
10	6	environ 30

Ces auteurs ont également étudié le rôle de la matière organique dans les mêmes conditions. Les résultats obtenus sont les suivants :

Pourcentage de matière organique dans le sol	Persistance de l'efficacité (100% de mortalité) en jours
0,65	120
3,4	85
6,4	70

Remarque: Cette fixation des produits par les colloïdes du sol peut parfois être un avantage dans la mesure où le phénomène est réversible. Par exemple, dans le cas très particulier de rizières où l'eau circule au lieu de stagner, on évite la pollution des émissaires en mettant les granulés dans le sol avant la mise en eau (BOWLING, 1970). De la même façon les sols pauvres en colloïdes ne sont guère intéressants car, en cas de pluie, il y a lessivage des produits vers des horizons profonds où n'atteignent pas les racines des plantes (c'est donc le même cas que celui des engrais chimiques).

Dans la salle climatisée où nous avons réalisé nos essais, nous avons observé des colonies de pucerons sur les tiges et le feuillage de mais non traités. Par contre, nous avons constaté que les pieds de mais

traités à la dose de 6 kg.m.a./ha en traitement du sol demeurent indemnes de toute attaque de pucerons pendant 45 jours (Fig.50).



Fig.50: Colonie de pucerons sur un pied de mais non traité. On voit en arrière plan un pied indemne de pucerons, traité par le carbofuran en traitement du sol à la dose de 6kg. m.a./ha.

6.2. ETUDE DES VITESSES D'ACCUMULATION, DE LA REMANENCE DU CARBOFURAN DANS LE MAIS ET DE SA DEGRADATION DANS LE SOL ET LA SOLUTION NUTRITIVE.

Les travaux concernant l'efficacité du carbofuran ne peuvent être séparés, dans le contexte actuel, d'une recherche systématique des résidus à la fois dans le sol et dans le mais.

Le sol est un élément de notre environnement et il est souhaitable d'avoir une information précise sur les niveaux des rédisus et les quantités adsorbées par les colloïdes du sol, qui modifient donc l'efficacité du traitement par le carbofuran.

Cette étude doit ainsi permettre de mieux connaître le rôle des colloïdes du sol sur l'intensité de l'absorption du carbofuran par le mais dans deux milieux différents, un sol riche en matière organique d'une part, une solution nutritive de HOAGLAND et ARNON (pH: 4,9) d'autre part (que nous pouvons assimiler, en quelque sorte, à un sol absolument dépourvu de particules adsorbantes comme le ferait du sable de Fontainebleau). LEROUX et GREDT (1974) ont trouvé que les quantités de carbendazine (fongicide utilisé pour l'enrobage des semences de mais) détectées dans le mais croissent dans l'ordre : terre < vermiculite < sable.

HOMEYER (1975) montre que le carbofuran appliqué à la surface du sol n'est pas adsorbé dans la couche supérieure du sol et se répartit relativement bien dans la zone racinaire des plantes.

GETZIN (1973) a étudié la dégradation du carbofuran en fonction du pH du sol en utilisant du carbofuran marqué au 14 C, dans trois types de sol, un sol alcalin (pH : 7,8), un sol acide (pH : 4,3) et un sol neutre (pH (6,8). Il a trouvé, d'une part, que le carbofuran s'hydrolyse dans le sol et que les phénols qui en résultent sont, par la suite, métabolisés par les microorganismes du sol, d'autre part que le carbofuran est très instable en sol alcalin : 80% du produit sont

dégradés après 7 jours en sol alcalin, contre 25% en sol neutre et 5-10% en sol acide.

6.2.1. MATERIEL ET TECHNIQUES.

Cette étude a été réalisée dans les mêmes conditions que l'étude de l'activité systémique du carbofuran. De même, le traitement du sol
a été effectué sur pieds de mais au stade de 4 feuilles. Une seule dose
de carbofuran a été appliquée, en localisation près du système racinaire,
correspondant à 6 kg de matière actice/hectare, soit 133,3 mg.de m.a.
par pied de mais (ou encore 2,666 g. de granulés à 5%). Rappelons que
cette dose de 6 kg m.a./ha, en traitement du sol, a provoqué 86,7% de
mortalité chez les larves de S.calamistis.

Le sol utilisé est un mélange riche en matière organique, dont la composition et les principales caractéristiques physico-chimiques sont données dans le tableau 53. Ces données proviennent des analyses effectuées par le laboratoire des sols (1) des Services Scientifiques Centraux de 1'O.R.S.T.O.M. à Bondy.

Ce sol est sablo-limoneux, peu argileux et très organique. Il a une grande capacité d'échange (41 mé) essentiellement liée à la matière organique (18,3%). C'est un complexe saturé à dominance calcique, possédant un très bon équilibre potassique et magnésien. Le rapport C/N = 16,2 signifie que la matière organique est moyennement humifiée et le pourcentage des acides humiques de condensation indique qu'elle est également peu polymérisée.

L'étude de l'absorption du carbofuran par le mais dans deux milieux différents nécessite la mise au point d'une méthode de dosage économique et pratique, permettant de déterminer avec précision les résidus de carbofuran dans le mais, ainsi que dans des échantillons de sol et d'eau.

(1). Nous adressons nos remerciements à MM. DABIN et PELLOUX qui ont bien voulu effectuer, pour nous, ces analyses.

TABLEAU 53. Caractéristiques du sol utilisé dans l'étude du rôle des colloïdes du sol sur l'absorption du carbofuran par le mais.

Granu lométrie		рН	
Argile 0 à 2 μ	9,5	Eau	7,9
Limon fin 2 a 20 µ	10,5	KC1	7,1
Limon grossier 20 à 50 µ	6,6	CO3Ca	4,9 Z
Sable fin 50 à 200 µ	21,5	calcaire actif	0,5 %
Sable grossier 0,2 à 2 mm	22,6		

En % du sol sec à l'air			
Humus : matière organique légère	0,21 %		
Acides fulviques liés aux acides humiques			
- A.F. libres	0,111 %		
- A.F. d'oxydation	0,299 %		
- A.F. jeunes	0,815 %		
Somme des acides fulviques	1,14		
Acides humiques			
- A.H. de maturation	0,724 %		
- A.H. de condensation récente	1,354 %		
Somme des acides humiques	3,30		
Fraction insoluble-humine	5,85 %		
Somme des matières organiques	9,364 %		
Carbone organique total (C)	10,6 %		
Matières organiques totales	18,3 %		
Azote total (N)	0,656 %		
c/x	16,2		

Capacité d'échange en équivalents pour 100 sec (T)	41			
Somme des bases échar en m.é. (S)	udespies	40,76		
Taux de saturation e S/T	n bases	99 T		
Eléments échangeable de sol sec		ur 100 g		
Ca ⁺⁺	33			
Mg ⁺⁺	5,2	25		
K ⁺	1.5	8		
Na 0,53				
Acides humiques	de maturatio	n a		
A.H. gris		49 %		
A.H. intermédiaire	A.H. intermédiaires			
A.H. bruns		48 %		
Acides humiques de condensation				
A.H. gris		34 %		
A.H. intermédiaires		10 %		
A.H. bruns		56 %		

Les méthodes de dosages de résidus de carbamates consistent essentiellement en des mesures d'activité par des molécules marquées au 14 C ou des dosages chromatographiques. Les N-méthyl carbamates sont hydroxylés par les plantes et conjugués sous forme de glycosides. Les formes usuelles rencontrées sont donc :

I-Carbofuran II-3- ketocarbofuran III-3-hydroxycarbofuran IV-3-hydroxycarbofuran-glycosides.

Les formes I, II et III ne sont extractibles que par les solvants organiques alors que les formes IV sont solubles dans l'eau.

Des séparations par extraction peuvent donc permettre de doser, d'une part les formes I, II et III et d'autre part les formes IV de structures chimiques mal connues (CARDONA et DOROUGH, 1973).

Le dosage des 2 phases par marquage radioactif préalable est un bon moyen de connaître leurs proportions, cependant cette technique n'est applicable qu'au laboratoire. D'autre part, si elle est la plus précise pour mesurer la vitesse d'absorption du pesticide en début de culture, elle ne donne pas d'informations sur la structure moléculaire et ses dégradations éventuelles. Les méthodes chromatographiques les plus généralement employées sont de 2 ordres :

- formation de dérivés ethérés avec le 1, fluoro-2,4-dinitrobenzène (HOLDEN, 1973).
- dosage du O-méthyl-N-méthylcarbamate après transestérification des extraits (COOK et al.1969). La méthode de transestérification a été mise au point par MOYE (1971).

Schéma de la transestérification selon la nature du radical R :

I-R = H	Carbofuran
II-R = 0	3-ketocarbofuran
III-R = OH	3-hydroxycarbofuran
IV-R = O-glucoside	3-hydroxycarbcfuran-glycoside
v	O-methyl-N-methyl carbamate

Nous nous sommes orientés vers la méthode de COOK et al.(1969) qui, d'emploi plus rapide, s'avérait satisfaisante pour le présent travail. En effet, cette méthode est parfaite pour doser la totalité des O-methyl-N-methyl carbamates présents et permet de déterminer la fraction I + II + III, d'une part, et la fraction glycoside d'autre part. Elle peut être étendue à des dosages de résidus lors d'essais aux champs. Nous avons adopté les méthodes de MOLLHOFF (1975) pour les extraits végétaux avec des modifications permettant de travailler sur des échantillons plus petits.

Nous avons également mis au point des méthodes d'échantillonnage et d'extraction pour les sols.

Les conditions chromatographiques ont été modifiées et la méthode de chromatographie gaz-solide employée et qui utilise un support inerte de silice poreuse pour la transméthylation in situ procure une sensibilité améliorée de 10 fois par rapport à celle de MÖLLHOFF (1975).

6.2.2. METHODE DE DOSAGE.

En pratique, les échantillons à analyser doivent subir une série d'opérations préalables :

Extraction-Purification-Séparation des fractions aqueuse (IV) et chloroformique (I + II + III). Le détail de ces opérations varie selon les substrats :

a) - Substrat végétal (mais) :

. Extraction : Les pieds de mais traités subissent deux broyages fins successifs à raison de 10 g de plante pour 40 ml de méthanol. Le broyeur utilisé est du type SORVAIL (Fig.51).

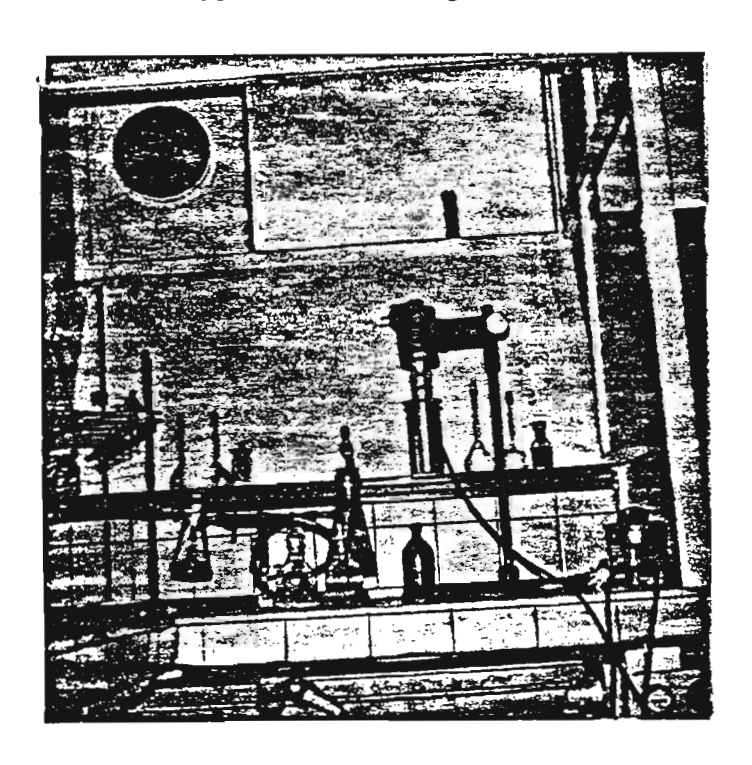


Fig.51: Le broyeur utilisé pour l'extraction par le méthanol.

Le mélange est ensuite filtré sous vide sur Büchner. Le filtre est rincé par 2 fois avec 10 ml de méthanol et les filtrats sont réunis dans un ballon rodé puis évaporés sous vide à l'évaporateur rotatif (Fig.52) pour éliminer la plus grande partie du méthanol jusqu'à un volume de phase aqueuse d'environ 7 ml.

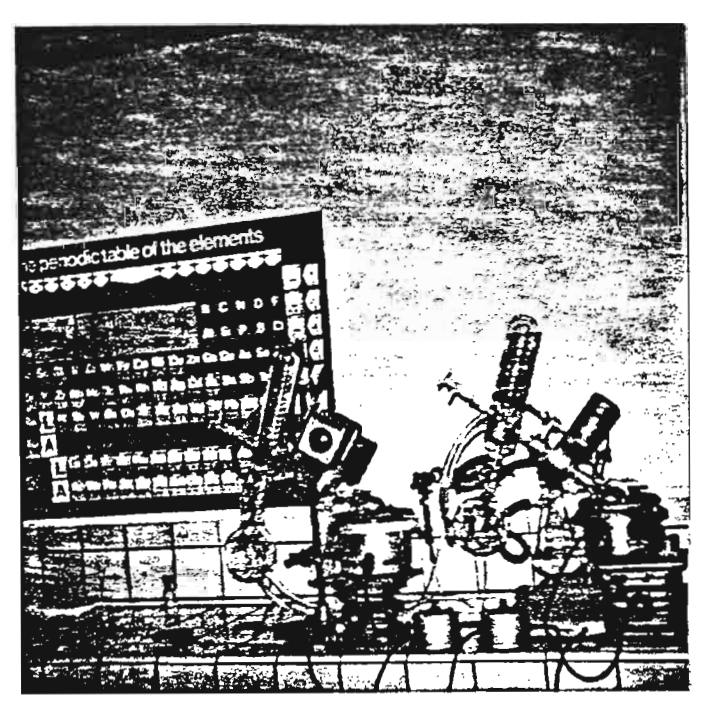


Fig. 52: Evaporation et concentration de l'extrait à l'aide de l'évaporation rotatif.

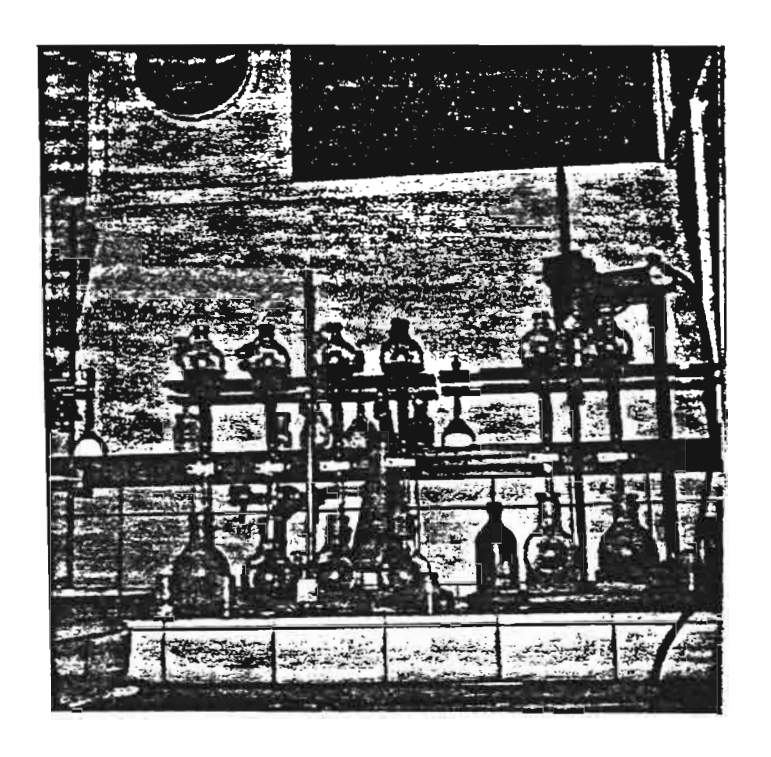
. Purification: Les milieux aqueux sont transférés dans des ampoules à décanter de 125 ml et une extraction est effectuée avec 20, 20 et 10 ml de chloroforme. La séparation des fractions chloroformiques (I + II + III) et aqueuses (IV) a été effectuée avec soin (Fig.53). La suite des opérations est indiquée dans le tableau 54.

b) - Dans la solution nutritive :

On transfère la solution nutritive dans des ampoules à décanter de 1 litre et on l'extrait successivement par 50, 30 et 20 ml de chloroforme, après rinçage des granulés par le même substrat. On recueille la fraction chloroformique sur un entonnoir bouché par un tampon de

Tableau 54 : Purification des fractions chloroformique et aqueuse

Fraction aqueuse (IV)	Fraction chloroformique (I+II+III)			
- L'extrait aqueux est transféré dans les fioles cylindrocôniques Sovirel à vis, jaugées à 7,5 ml est effectué avec de l'eau distillée puis on ajoute 2,5 ml de HClN pour la saponification de l'extrait aqueux par ébullition dans l'acide chlorhydrique.	- Les extraits chloroformiques doivent être purifiés par précipi- tation des matières végétales. Ces fractions sont transférées dans un ballon rodé et évaporées à sec sous vide à l'évaporateur rotatif.			
- Les extraits sont placés dans des réfrigérants droits Sovirel, mis à bouillir mais avec retour du sol- vant évaporé dans l'opération pen-	- Reprise après évaporation, dans 10 ml de méthanol + 10 ml HCl N/10, refroidissement 15 mn.			
dant 30 mm. On ajoute ensuire 10 ml d'eau distillée par le som- met du réfrigérant et on laisse refroidir 15 mm. (Fig.54)	- Filtration et lavage en 3 fois avet 20 mi du mélange en quantités égales de HCl 0,1 N et d'eau.			
- Le métabolite non glucosidique III qui se forme est extrait en 3 fois avec 10 ml de chloroforme puis filtré sur un entonnoir bouché avec un tampon de laine de verre et rempli de Na ₂ SO ₄ anhydre. Enfin, on évapore l'extrait à l'évaporateur rotatif.	- Extraction en 3 fois avec du chloroforme (25 ml) et transfert de l'extrait dans un ballon de 250 ml par filtration à travers un entonnoir bouché avec un tampon de laine de verre et rempli de Na ₂ SO ₄ anhydre. Enfin, évaporation à sec de l'extrait à l'évaporateur rotatif (Fig.55).			
- Reprise des extraits secs, 2 fois avec 20 ml de méthanol, en évapo- rant à sec, chaque fois, à l'évaporateur rotatif.				
- Reprise par 10 ml exactement de méthanol et transfert dans des tubes coniques graduis bouchés à vis.				
- Stockage à -20°C avant injection de ces échantillons dans le chroma- tographe.				



 $\frac{\text{Fig.53}}{\text{et}}$: Séparation des fractions chloroformiques et aqueuses par le chloroforme.

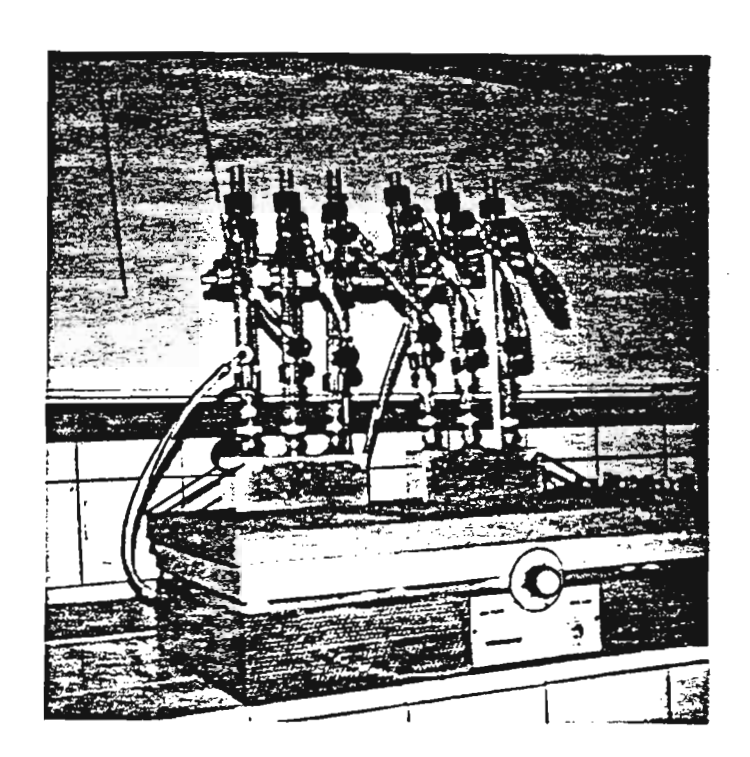


Fig.54 : Saponification de l'extrait aqueux par ébullition dans l'acide chlorhydrique.

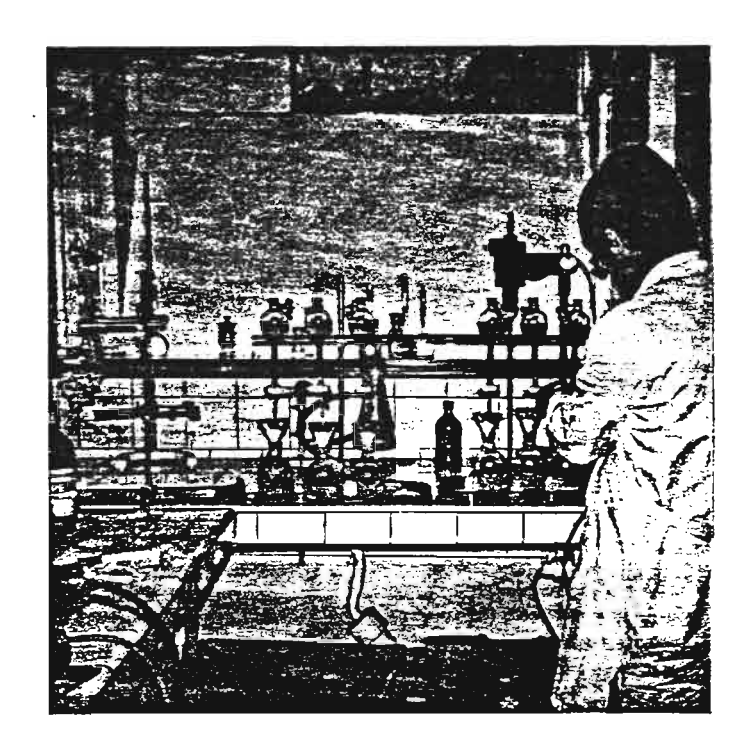


Fig. 55 : Filtration à travers des entonnoirs bouchés par un tampon de laine de verre et remplis de sulfate de sodium.

laine de verre et rempli de sulfate de sodium anhydre.

La fraction chloroformique est évaporée à sec à l'évaporateur rotatif. Ensuite on reprend 2 fois, l'extrait avec 20 ml de méthanol en évaporant à sec, chaque fois. Enfin, le résidu est repris exactement par 10 ml de méthanol dans des petites fioles à bouchons rodés; elles sont fermées hermétiquement à l'aide de parafilm et placées dans le congélateur à une température de - 20°C pour que tous les échantillons soient injectés dans les mêmes conditions chromatographiques. Une di-lution est effectuée avant l'injection, selon les concentrations initiales.

c) - dans le sol :

En vue d'obtenir un échancillon homogène, le sol subit une série d'opérations préalables :

- Lyophilisation: Après pesée, le sol est lyophilisé pendant 2 à 3 jours dans le lyophilisateur FLS.3. La température du début de lyophilisation est de 40°C. Elle augmente progressivement jusqu'à la température ambiante et l'on obtient un sol sec sans risque donc de perte du produit par dégradation. Les échantillons sont ensuite pesés avant broyage (Fig.56).
- . Broyage : Le sol est broyé manuellement au mortier, puis tamisé à 2 mm. Les éléments grossiers du sol (cailloux, morceaux de bois..) ont été éliminés après pesée.
- . Homogénéisation : Des sous-échantillons de 10 g ont été obtenus au répartiteur (Fig.57). Cette méthode est connue pour sa précision en analyse chimique des sols. Ces sous-échantillons de 10 g sont "agités" dans 50 ml de méthanol et 50 ml d'eau à l'agitateur "va-et-vient", pendant b heures. On ajoute 100 µl de HCl N, puis le mélange est filtré sous vide et le filtre rincé 2 fois avec 15 ml d'un mélange à parts égales de méthanol et d'eau. Les filtrats, réunis, sont ensuite extraits, en 3 fois, avec 30, 20 et 20 ml de chloroforme sur entonnoir bouché par un tampon de laine de verre et rempli de sulfate de sodium anhydre. La suite des opérations est analogue à celle

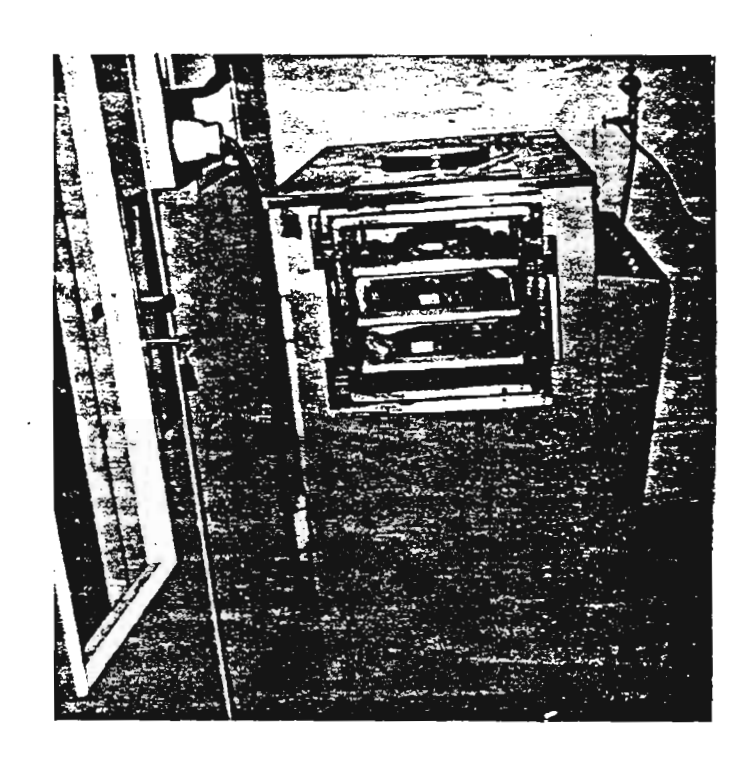
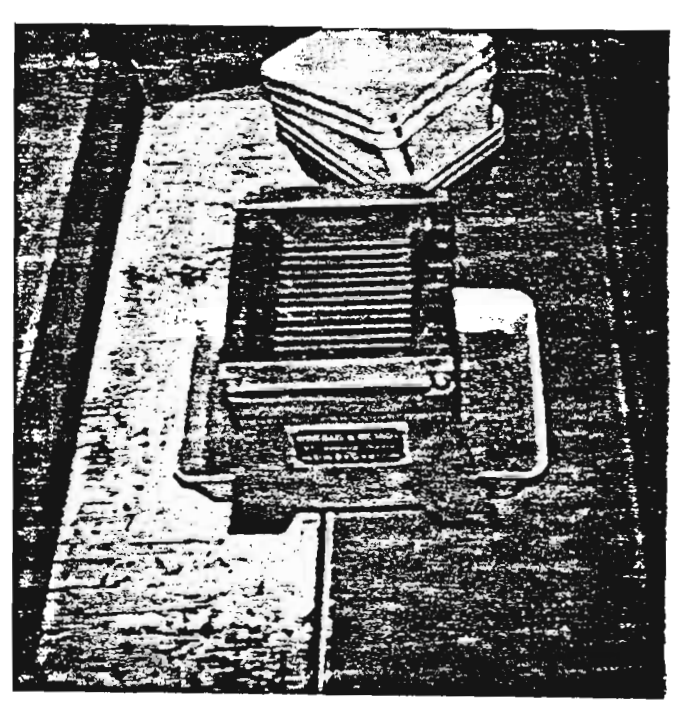


Fig.56 : Lyophilisateur FLS.3. utilisé pour le séchage du sol.





exposée à propos des autres substrats.

- d) Dosage chromatographique de l'ensemble des extraits :
 - . Transestérification :

On prépare un mélange de 950µl de l'extrait et 50µl de Na OHO,2N dans le méthanol. La transestérification au méthanol avec de la soude s'effectue dans le bloc d'injection d'un chromatographe en phase gaze. Se. On détecte les équivalents carbamates sous forme de molécule légère : .O-méthyl-N-méthylcarbamate.

- . Conditions chromatographiques :
- Appareil : GIRDEL 300
- Détecteur thermolonique
- Colonne: Pyrex 1,4 m \times 2 mm remplie de 1,3 m Chromosorb 101,80-100 Mesh + 10 cm Volaspher A_2 80-100 Mesh.
 - Température du détecteur : 225°C
 - Température du four : 180°C
 - Température de l'injecteur ; 220°C
 - Débit d'azote : 30 ml/mn
 - Pression d'entrée : 1,3 bars
 - Temps de rétention du carbofuran : 2 mm
 - Atténuation : 16 x 1
 - Volume injecté : 2µ1
 - . Variabilité de la hauteur du pic et courbes d'étalonnage :

Nous avons testé la variabilité de la hauteur du pic par une série d'injections de concentrations connues (18 injections à la concentration 100µg/ml). Le résultat montre que : la moyenne est égale à 13,22 cm, l'écart-type à 1,23 et le coefficient de variation à 9,30% est satisfaisant pour nos mesures. Une gamme d'étalonnage a donc été préparée à partir de la solution mère de carbofuran à 2% préparée à l'aide du produit technique à 100%. La gamme varie de 5, 10,30, 60 à 100µg/ml et l'on a fait également une gamme faible de 0,5-1-3-5-10µg/ml.

Les données de la gamme d'étalonnage ont montré que l'on obtenait une représentation linéaire en figurant les concentrations ($\mu g/ml$) en abscisse et les hauteurs des pics en ordonnée. Nous avons tracé la droite de régression linéaire $y = 0.11 \times + 0.14$ à partir de 3 injections pour chaque dose étalon de la gamme (Fig.58). Le coefficient de détermination $r^2 = 0.99$ indique un bon ajustement de cette droite. La figure 59 montre une autre droite tracée à partir de la gamme faible.

Ceci indique qu'il n'y a pas d'absorption irréversible du 0-méthyl-N-méthyl-carbamate sur la colonne ni sur le support cataly-seur de la transméthylation. L'étroitesse et la symétrie du pic obtenu confirme ce fait et aussi que la transméthylation semble rapide et complète dans les conditions de l'expérience.

Cette méthode est donc bien utilisable pour une large gamme de concentrations et la limite de détection dépend uniquement de la sensibilité du détecteur au C-méthyl-N-méthyl-carbamate. On détecte des teneurs de 0,5µg/ml dans les extraits. D'autre part, la linéarité obtenue permet de travailler par comparaison avec un seul étalon.

e) - Rendement du dosage :

Nous avons donc étudié le rendement de notre méthode d'extraction et de purification pour les substrats végétaux, la solution nutritive et 1e sol.

Soit : To, la valeur théorique du "Témoin" qui correspond à la quantité de carbofuran ajoutée au départ,

T, la valeur mesurée du Témoin : c'est-à-dire la quantité de produit retrouvée en fin de manipulation

et B, valeur du "blanc" formé par un échantillon sain (sol, solution nutritive, mais) auquel on ajoute aucune quantité de produit. Ce "blanc" a toujours été... blanc : il n'y a jamais eu aucun pic qui simule la présence de produit.

Etalonnage de carbofuran $R^2 = 0.99$

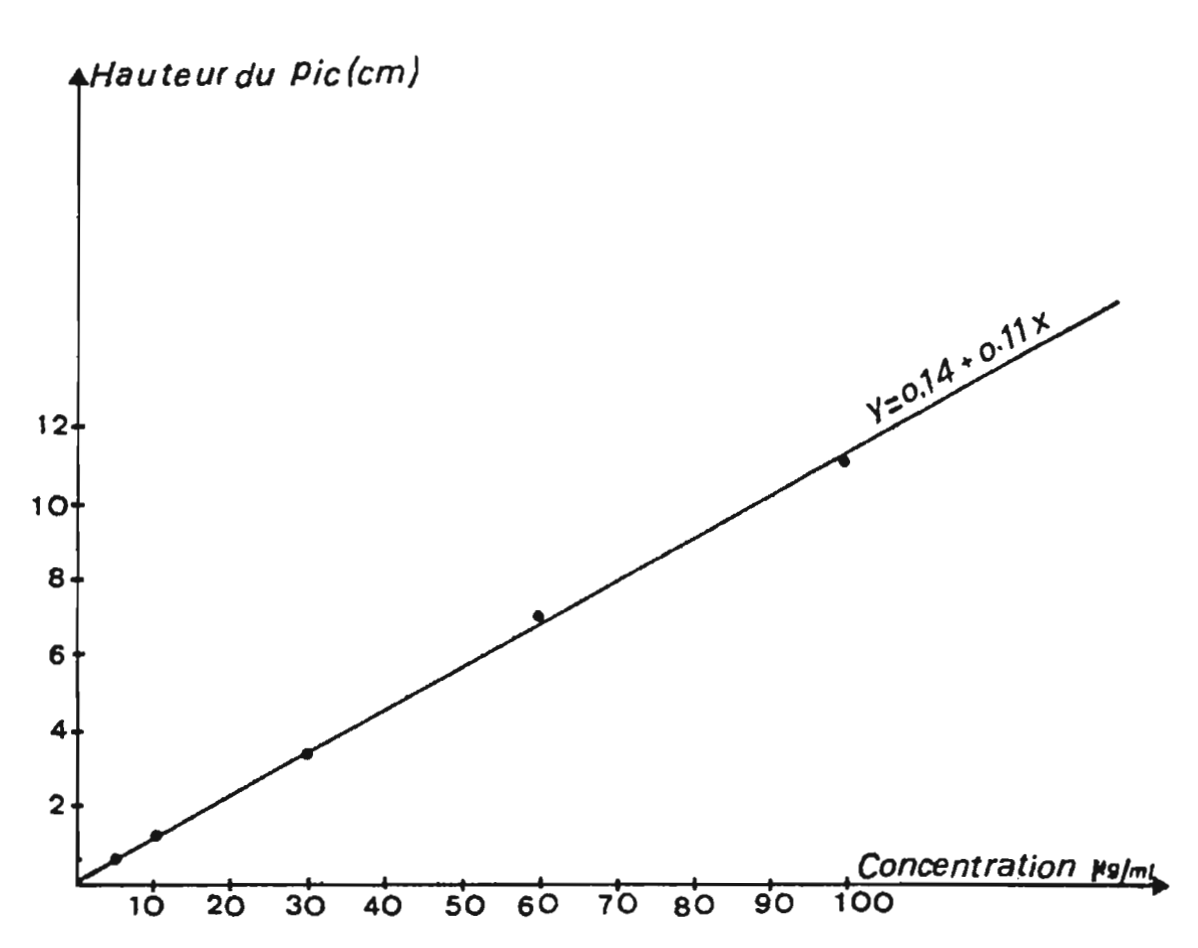


Fig. 58- Gamme d'étalonnage forte

Etalonnage de carbofuran

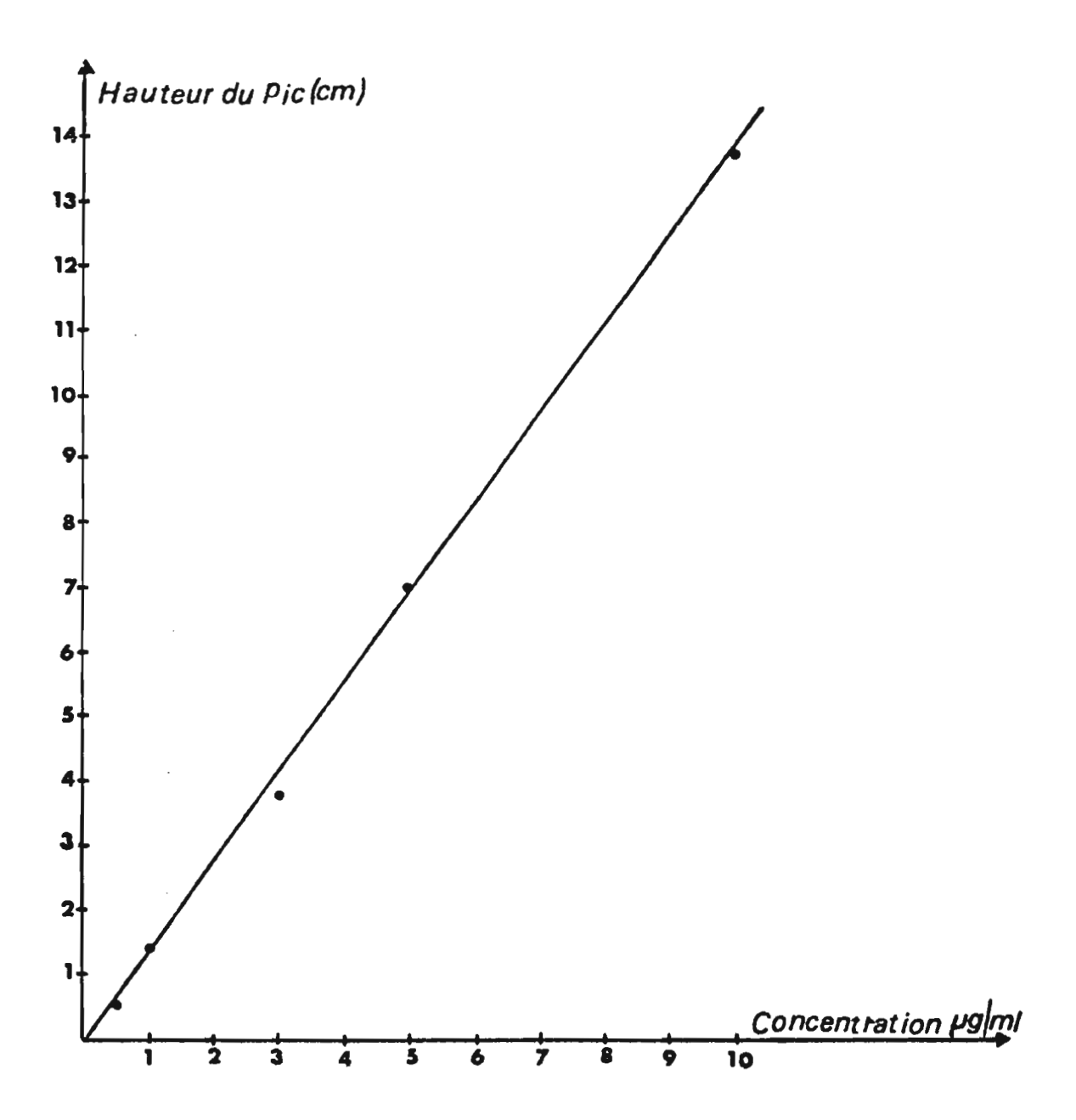


Fig-59 - Gamme d'étalonnage faible.

Les rendements correspondants à chaque substrat sont donnés par la formule : $x = \frac{T-B}{To} \times 100 = \frac{T}{To} \times 100$ qui donne : 88,66% pour le mais, 71,87% pour le sol, 92,28% pour la solution nutritive.

Pour ce qui concerne le sol, nous avons testé l'homogénéité de la quantité de carbofuran dans les sous-échantillons de 10 g du sol provenant de deux pots traités avec 133,3 mg de m.a. de carbofuran. Le rendement dans les sous-échantillons est de : 73,96% - 66,18% - 81,99% et 65,35%. La valeur moyenne du rendement est de 71,87%, l'écart-type de 7,78 et le coefficient de variabilité de 10,83%. Le résultat montre que les sous-échantillons de 10g de sol étaient suffisamment homogènes.

6.2.3. RESULTATS.

a). Comparaison des vitesses d'accumulation du carbofuran dans le mais cultivé sur deux substrats différents.

Dans les deux séries d'expériences réalisées dans le sol et la solution nutritive, nous avons dosé les quantités d'équivalents carbamate ayant migré dans le mais. Les résultats obtenus sont indiqués dans le tableau 55 et la figure 60.

L'examen du tableau 55 et de la figure 60 montre que les vitesses d'accumulation du carbofuran dans le mais sont ralenties quand le
sol est riche en matière organique. La quantité maximale d'équivalents
carbamate détectés par gramme de mais est de 158,69 pour le mais cultivé en solution nutritive et 48,04 pour le mais cultivé sur sol. Ces
quantités sont obtenues dès le 8ème jour après traitement dans le premier cas et le 13ème jour après traitement dans le deuxième cas.

ь). Kémanence du carbofuran dans le mais.

Nous avons suivi l'évolution des quantités d'équivalents carbamate dans le mais cultivé sur le sol riche en matière organique et les résultats obtenus sont groupés dans le tableau 56 et les figures 61 et 62.

		Quantité d'équivalents carbamate détectée			
élai après traitement (en jours)	Nature du substrat	Dans les extraits aqueux (IV) en µg/ml	Dans les extraits chloroformiques (I+II+III) en µg/ml	Quantité totale en µg/pled de maïs	μg/g. de mais
0.125	Sol	-	1,53	15,3	4,03
0,125	Solution nutritive	-	3,57	35,7	6,87
0.25	Sot	- .	2,21	22,1	4,81
0,25	Solution nutritive	1,24	28,57	29,81	65,45
	Sol	-	2,44	24,6	5,26
1 .	Solution nutritive	-	-	-	-
_	Sol	-	4,95	49,5	10,44
2	Solution nutritive	0,36	58,4	587,6	108,37
6	Sol '	-	15	150	16.75
	Sol	•	12,22	122,2	18,8
8	Solution nutritive	1,54	75	765,4	158,69
10	Sol	0,36	20,77	211,3	36,01
10	Solution nutritive	0,38	27,39	277,7	72,08
13	Sol	2,27	33,48	357,5	48,04
13	Solution nutritive	1,54	30	315,4	77,54

Tableau 55: Estimation quantitative des vitesses d'accumulation du carbofuran dans le mais selon la nature du substrat.

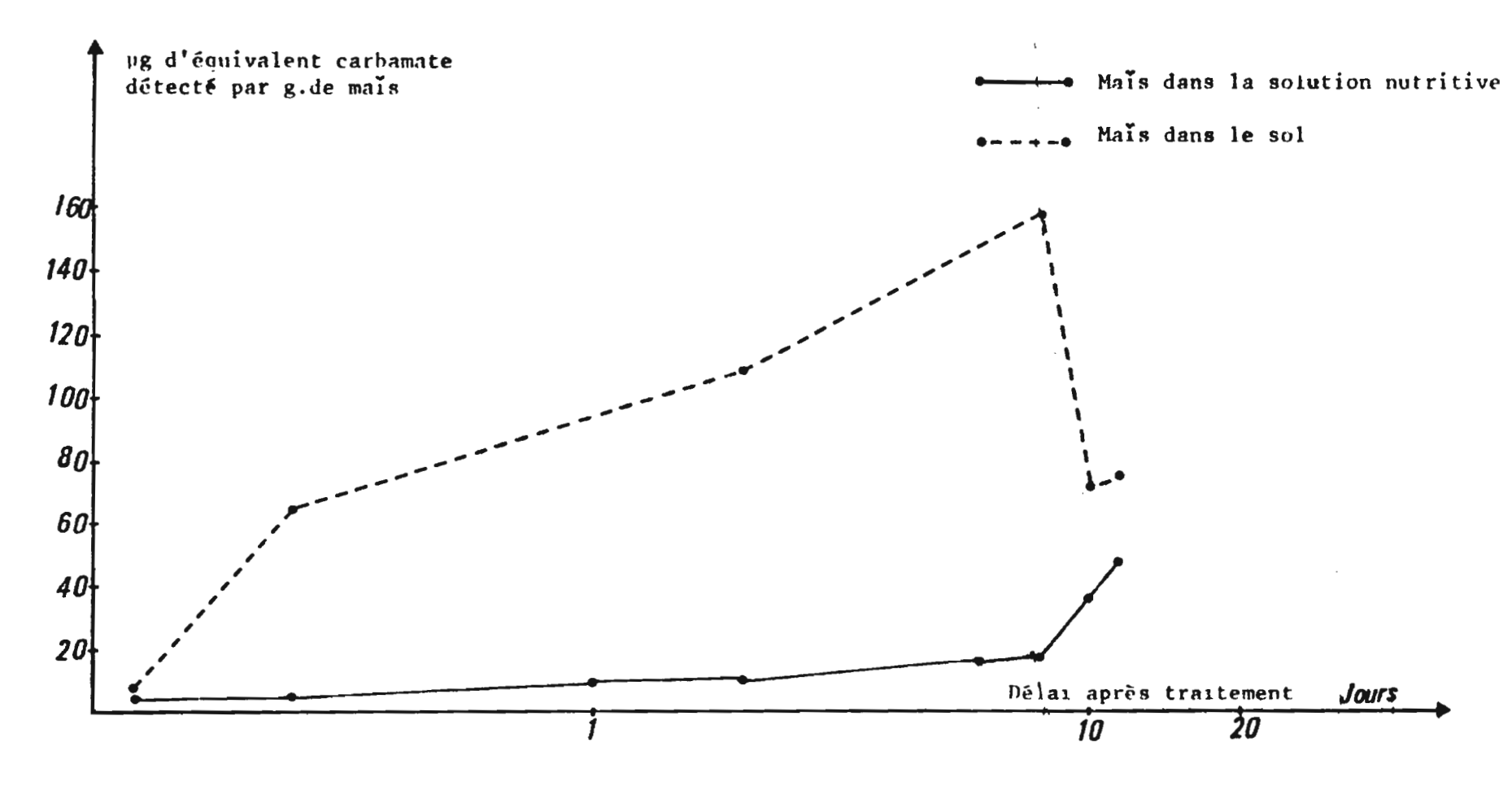


Fig-60 - Absorption du carbofuran par le mais dans deux milieux différents, un sol riche en matière organique d'une part, une solution nutritive d'autre part.

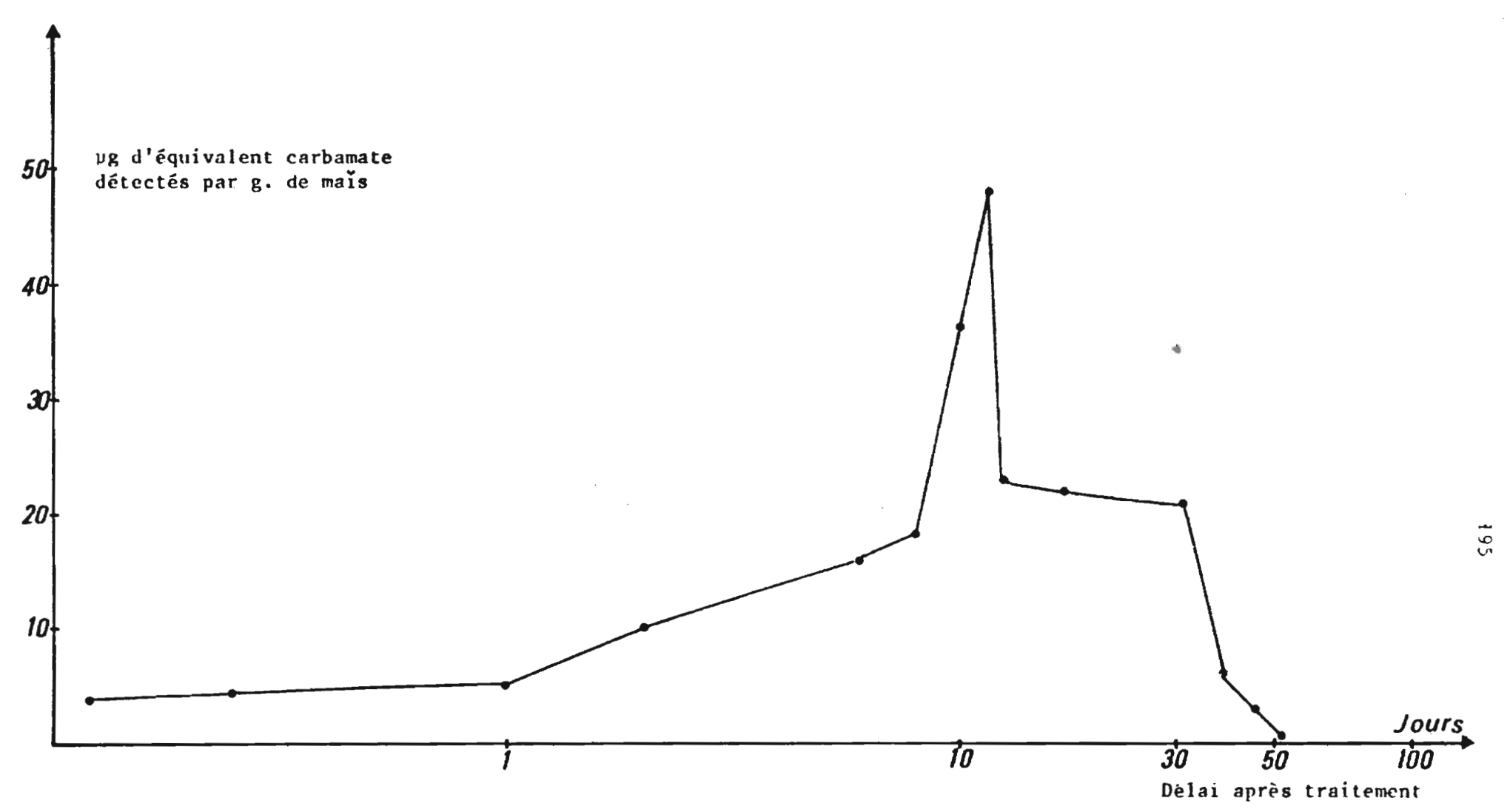


Fig.61. Kémanence du carbofuran dans le mais sur le sol traité à la dose de 133,3 mg de m.a./pied de mais

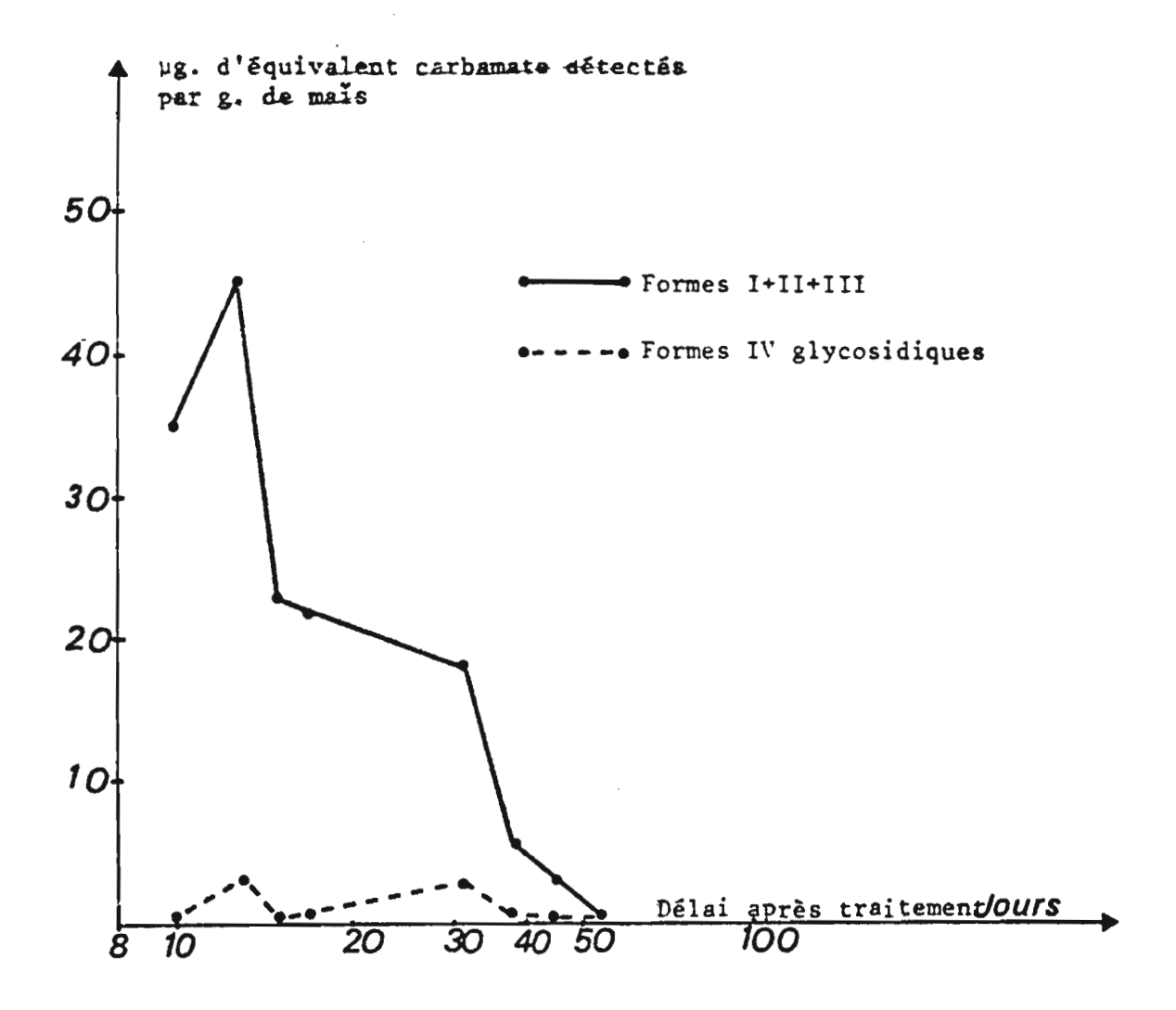


Fig-62- Evolution des formes I+II+III et formes IV glycosidiques dans les extraits de maïs sur le sol traité

Délai après	Qu	Quantités d'équivalents carbamate détectées				
traitement (en jours)	Dans les extraits aqueux (IV) en µg/ml	Dans les extraits chloroformiques (I+II+III) en µg/ml	Quantité totale en µg/pied de maïs	Quantité en µg/g de maïs		
15	0,62	35,35	359,7	23,64		
17	1,54	41,30	428,4	22,89		
31	10,11	65,64	757,5	21,26		
38	1,85	13,97	158,2	6,19		
45	1,18	11,34	125,2	3,63		
52	0,34	2,31	26,5	0,76		

Tableau 56: Rémanence du carbofuran dans le mais sur le sol traité à la dose de 133,3 mg de m.a. par pied de mais

L'examen des tableaux 55 et 56 montre que la quantité maximale de carbofuran absorbée, sous toutes ses formes, dans le mais, est obtenue au 13ème jour après traitement du sol, puis elles diminuent, cette diminution devenant très rapide après 31 jours.

Il est intéressant de remarquer (Fig.62) que les formes glycosidiques (IV) commencent à être détectées à partir du 10ème jour après traitement du sol. Ce qui pourrait indiquer un début du processus de dégradation du carbofuran des cette période.

52 jours après traitement, la quantité dètectée d'équivalent carbamate n'est plus que de 0,76µg/g de maïs, elle est alors insuffisante pour protéger le maïs contre les pucerons. Nous avons voulu, à cette occasion, déterminer la quantité d'équivalent carbamate qui doit exister dans le maïs afin de bien le protéger contre les pucerons ; elle est de 2,37µg/g de maïs dans les feuilles, de 0,087µg/g dans les tiges et de 0,124µg/g dans les racines ; soit au total 2,581µg/g de maïs ; cette dose ayant été trouvée 42 jours après le traitement du sol, on peut en conclure qu'il faudrait donc traité tous les 40 jours environ pour avoir une protection permanente.

c). Dégradation du carbofuran dans le sol et la solution nutritive.

Nous avons étudie la dégradation du carbofuran dans les deux substrats utilisés pour la culture du mais, dans nos essais. Après prélèvements des pieds de mais pour le dosage chromatographique, les substrats ont subi différentes opérations en vue de déterminer les résidus du carbofuran dans le sol et la solution nutritive (paragraphe 6.2.2.). Les résultats obtenus dans les deux séries d'expériences sont groupés dans le tableau 57 et la figure 63.

Les quantités absorbées par les pieds de maïs (µg) sont faibles par rapport aux quantités retrouvées dans le sol et la solution nutritive. Les courbes de la figure 63 traduisent la dégradation du carbofuran dans ces deux substrats. Ces courbes montrent que cette dégradation commence à apparaître dès le ler jour de traitement, dans chaque cas.

Tableau 57 : Dégradation du carbofuran dans le sol et la solution nutritive après traitement à la dose de 133,3 mg de m.a./pied de mais

		Quantité d'équivalent carbamate détectée		
Détai après traitement (en jours)	Nature du substrat	Dans les extraits, en µg/ml	Quantité totale en mg, pour la totalité de l'é- chantillon compte tenu du rendement des analyses	
0.125	Sol	29,66	132,89	
0,123	Solution nutritive	119.86	129,89	
0,25	Sol	29,35	130,28	
0,25	Sclution nutritive	118,50	128,41	
1	Sol	26,32	128,54	
	Solution nutritive	111,11	120,41	
2	Sol	16,54	89,52	
2	Sclution nutritive	73,44	79,58	
	Sol	14,92	51,90	
6	Solution nutritive	38,61	41,84	
	Sel	15,22	60,78	
. 8	Solution nutritive	35,64	38,62	
	So1	15,80	72,10	
10	Solution nutritive	31,68	34,33	
	Sol	13,68	65,15	
13 -	Solution nutritive	28,73	31,13	
31	31 Sol		70,04	
38	. Sol	3,16	13,80	
45	Sol	1,97	8,33	
52	Sol	1,52	6,64	



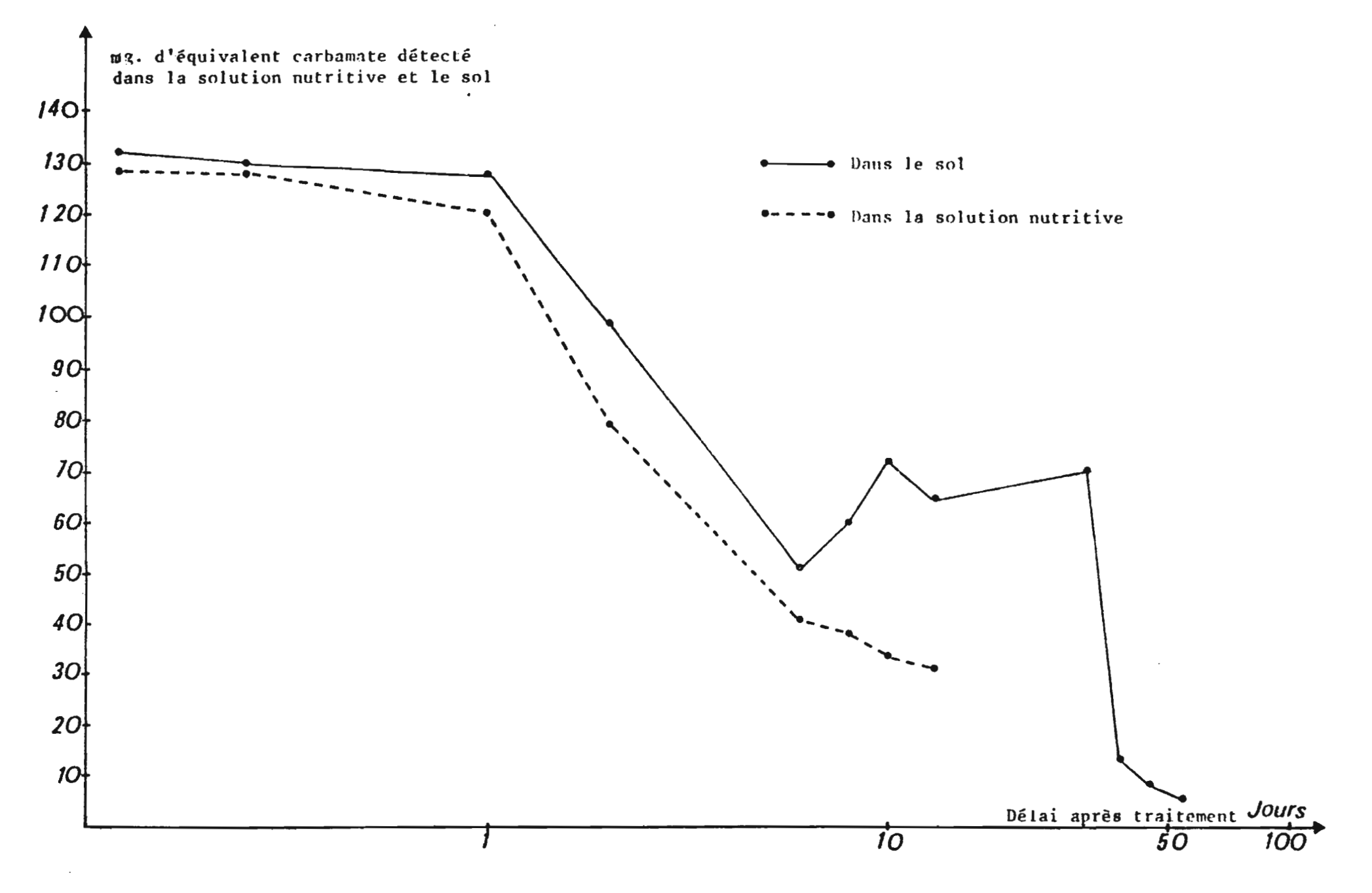


Fig-63- Dégradation du carbofuran dans le sol et la solution nutritive.

Elle se poursuit de manière analogue dans les deux milieux jusqu'à 6 jours après traitement. On retrouve alors 30% de la quantité initiale dans la solution nutritive où cette dégradation se poursuit et dès
le 13ème jour la quantité restante est inférieure au quart de la quantité initiale. Dans le sol, par contre jusqu'au 3lème jour la quantité
retrouvée reste stable (50% de la quantité initiale, en moyenne) mais
elle décroit assez brusquement par la suite ; le 52ème jour après
traitement, il ne reste plus que 5% de la quantité initiale. La rèmanence du carbofuran semble donc liée à la composition du sol et sans
doute à son adsorption par le complexe argilo-humique. Il serait intéressant de préciser le mécanisme de cette adsorption avec différents
types de sols.

CONCLUSIONS GENERALES.

Le présent travail décrit la technique d'élevage de Sesamia calamistis HAMPSON sur milieu semi-synthétique à base de semoule de mais, ainsi que la méthode de la ponte sur support artificiel, qui nous ont permis de mettre au point une production importante du ravageur, en laboratoire, tout au long de l'année et qui nous ont assurées de façon régulière les insectes qui exigeaient nos diverses expériences. L'élevage sur milieu semi-artificiel donne des résultats inférieurs à celui sur plante-hôte naturelle (mais), par contre, nous avons constaté que l'élevage sur ce milieu produisait des insectes plus "homogènes" que sur plante-hôte naturelle, ce qui est, en somme, préférable pour la réalisation de test.

La nécessité de connaître le potentiel reproducteur de l'espèce et les facteurs qui peuvent le modifier, dans le cadre de l'étude des modifications apportées par un traitement insecticide, nous a conduit à montrer que la fécondité de Sesama calamistis HAMPSON, est bien en relation avec le poids des chrysalides femelles (corrélation positive entre leur poids et la quantité d'oeufs déposés). L'intérêt de ce résultat est de pouvoir déterminer l'effet de certains insecticides sur le poids nymphal et en conséquence sur la fécondité. L'une des applications possibles est l'échantillonnage de chrysalides femelles pour une estimation des potentialités biotiques de l'insecte, dans une culture de mais par exemple. L'accouplement joue un rôle important sur le comportement de ponte chez S. calamistis HAMPSON. Il se produit obligatoirement au début de la vie imaginale (au moins pendant les trois premiers jours). Nous avons également montré que 56% des oeufs sont pondus durant la deuxième nuit et que ce nombre diminue durant la troisième nuit pour atteindre un pourcentage de 31%. Il est connu que la femelle de S.calamistis ne dépose ses oeufs que sous les gaines des plants de graminées. Nous avons montré que de tels supports naturels ont reçu 21,09% d'oeufs de plus que les supports synthétiques utilisés dans notre élevage. Nous avons ensuite cherché le rapport entre l'humidité du support de ponte et la fécondité de S.calamistis

et les résultats montrent que le degré d'imbibition du support de ponte joue un rôle important ; la quantité d'eau absorbée par les supports synthétiques de ponte a une action stimulatrice sur le choix du lieu de ponte. Notre travail porte, en second lieu, sur les effets comparés, à court et moyen termes, d'organophosphorés, de carbamates et de pyréthrinoïde de synthèse insecticides ; nous apportons donc des précisions qui doivent contribuer à améliorer l'efficacité de la lutte contre la sésamie tout en diminuant les risques de gaspillage, de pollution et de rupture d'équilibre biologique. Les substances expérimentées sont appliquées, directement sur le tégument de la larve, à des doses inférieures aux doses normalement nécessaires pour une rapide mortalité des sésamies. L'examen des résultats obtenus par l'applicacation topique d'insecticides nous permet de tirer les conclusions suivantes :

- Le carbofuran manifeste réellement un effet inhibiteur sur la croissance des larves femelles de S.calamistis.
- L'ester phosphorique (diméthoate) entraîne une réduction de fêcondité de l'ordre de 20% et une baisse significative de la viabilité des oeufs. Une explication de ce phénomène pourrait être une perturbation de l'équilibre endocrinien. Il conviendrait d'examiner les éventuelles perturbations du système neuroendocrinien dues à ces traitements insecticides. Car, chez les vertébrés, il existe des corrélations entre l'effet des toxiques du système nerveux et l'équilibre hormonal de l'organisme. Aucune conclusion claire ne peut être donnée pour ce qui concerne la fertilité des oeufs sans effectuer l'étude des divers stades embryonnaires de S.calamistis HAMPSON et des éventielles anomalies qui peuvent être observées à la suite d'un traitement insecticide. Comme chez la plupart des insectes, la mortalité des oeufs est fonction de leurs stades de développement. Seule, la connaissance de l'embryogenèse permettrait d'analyser la réaction des divers stades embryonnaires de S.calamistis HAMPSON, aux toxiques.

Les larves de S. calamistis Hamps. sont très sensibles à la décaméthrine, davantage qu'au carbofuran qui est pourtant recommandé contre la sésamie. Malheureusement la décaméthrine, qui agit par contact et par ingestion, ne présente pas de propriétés systémiques, à l'inverse du carbofuran/et il serait donc intéressant de rechercher des modalités d'application lui permettant d'agir efficacement contre les larves (endophytes !) de S. calamistis Hamps.

Enfin, nous avons dressé le spectre de sensibilité des larves de S.calamistis Hamps. selon deux modalités de traitement par le carbofuran : en traitement d'un sol riche en matières organiques et en traitement d'une solution nutritive (analogue à un sol neutre tel qu'un sable de Fontainebleau, par exemple). On peut conclure que les colloïdes du sol (matière organique, argiles), en fixant une partie du carbofuran par phénomène d'adsorption, modifient grandement son efficacité contre les larves de S.calamistis Hamps.

L'étude de l'accumulation et de la rémanence du carbofuran dans le maïs lui-même nécessite la mise au point d'une méthode de dosage économique et pratique, permettant de déterminer avec précision les résidus du carbofuran dans le maïs, ainsi que dans les échantillons de sol et d'eau. Nous avons mis au point :

- D'une part, une méthode de dosage chromatographique en utîlisant un support inerte de silice poreuse pour la transhméthylation in situ, ce qui procure une sensibilité améliorée de 10 fois par rapport à celle obtenue par MÖLLHOFF (1975). Nous avons pu détecter ainsi des teneurs de 0,5µg/ml dans les extraits. Cette méthode est utilisable pour une large gamme de concentrations et la limite de détection dépend uniquement de la sensibilité du détecteur du 0-méthyl-N-méthyl-carbamate. La linéarité obtenue permet de travailler par comparaison avec un seul étalon. L'étroitesse et la symétrie du pic obtenu confirme que la transméthylation semble rapide et complète et qu'il n'y a pas d'adsorption irréversible du 0-méthyl-N-méthyl-carbamate sur la colonne ni sur le support catalyseur de la transméthylation.

- d'autre part, nous avons également mis au point des méthodes d'échantillonage et d'extraction pour les sols.

Cette méthode de dosage est générale pour une famille donnée d'insecticides, les carbamates qui possèdent en commun la fonction : N-méthyl-carbamate quoique étant différents par leurs propriétés d'hydrophobie et par leur densité électronique sur le noyau aromatique.

Grâce aux perfectionnements apportés à la méthode de dosage et grâce aux expérimentations qu'ils nous ont permis de réaliser, on peut tirer les conclusions suivantes :

- la vitesse d'accumulation du carbofuran dans le maïs est ralentie lorsque le sol est riche en matière organique.
- la quantité absolue maximale du carbofuran absorbée sous toutes ses formes, dans le mais, est obtenue au 13ème jour après le traitement du sol, puis elle diminue, cette diminution devenant d'ailleurs très rapide après le 31ème jour.
- les formes glycosidiques (IV) commencent à être détectées à partir du l'Oème jour après traitement du sol, ce qui pourrait indiquer un début du processus de dégradation du carbofuran dès cette période.
- il faudrait traiter le maïs (en traitement du sol) tous les 40 jours environ pour avoir une protection permanente.
- la dégradation du carbofuran dans les deux substrats commence à apparaître dès le ler jour de traitement, dans chaque cas. Le 52ème jour après traitement, il ne reste plus que 5% de la quantité initiale en traitement du sol.

- ABDELLATIF (M.A.), HERMANSON (H.P.), REYNODS (H.T.) 1967 Effect of soil clay and organic matter content upon systemic efficacy of two carbamate insecticides. J. Econ. Ent., 60, 1445-1450.
- ADEYEMI (S.A.O.), DONELLY (J.), ODETOYINBO (J.A.) 1966 Chemical control of the stem borers of maize. Nigerian Agric. Journ., 3, 61-66.
- ALROUECHDI (K.) 1980 Les chrysopides en verger d'oliviers.
 Bio-écologie de Chrysoperla carnea (STEPH.) (Neuroptera, Chrysopidae). Relations comportementales et trophiques avec certaines espèces phytophages. Thèse de Docteur ingénieur. Fac. Sc. Paris VI, 198 p.
- AL SALTI (M.N.) 1978 Etude de l'action de carbamates et de composés organophosphorés insecticides sur la reproduction et le développement de la sésamie du mais Sesamia calamistis HAMPSON et du criquet pélerin Schistocerca gregaria FORSK. Diplôme d'Etude Approfondies, Fac. Sc. Paris VI, ORSTOM-BONDY, 78 p.
- AL SALTI (M.N.) 1979 Biologie et contrôle de Sesaria calamistis HAMPSON. Rapport de 2ème année d'Etudes, S.S.C.-ORSTOM-BONDY, 28 p.
- ANGLADE (P.) 1962 Orientation des recherches françaises sur la résistance du mais à la pyrale et à la sésamie. Rapport de la 2ème Réunion de la section "Mais et Sorgho" Eucarpia, Rome, 20-23 Février, p.65.
- ANGLADE (P.), in BALACHOWSKY (A.S.) 1972 Les Sesamia. Entomologie appliquée à l'agriculture. T.II, Lépidoptères, 2ème vol., 1389-1401, Masson et Cie éd. Paris-France.
- APPERT (J.) 1957 Les parasites des plantes cultivées au Sénégal et au Soudan français. Jouve, éd; Paris 172 pp.
- APPERT (J.) 1967 Notes techniques sur les insectes nuisibles aux cultures malgaches; Lépidoptères. Agron. trop., 2, XXII, 153-230.
- APPERT (J.), BETBEDER-MATIBET (M.), RANAIVOSOA (H.) 1969 Vingt années de lutte biologique à Madagascar. Agron. trop. 24, 555-572.
- APPERT (J.), RANAIVOSOA (H.) 1970 Sesamia calamistis HAMPSON (Lep., Noctuidae) chenille mineuse des graminées. Bull. Madag., 290-291, 633-652.

- APPERT (J.) 1971 Les insectes nuisibles du mais en Afrique et à Madagascar. Agron. trop., Vol. XXVI, 476-499.
- BAILLY (R.), DUBOIS (G.) 1980 Index phytosanitaire. Produits insecticides, fongicides, herbicides.. ACTA, XVI° edition.
- BECK (S.D.) 1950 Nutrition of the european corn borer, Pyrcusta nupilalis Hbn. Some effects of diet on larval growth characteristics. Physiol. 2001., 23, 353-361.
- BENZ (G.) 1969 Influence of mating, insemination and others factors in oogenesis and oviposition in the moth Zeiraphera diniana.

 J. Insect. physiol., 15, 55-71.
- BHIRUD (K.M.), PITRE (H.N.) 1972 Influence of soil class and soil moisture on bioactivity of carbofuran disulfoton in corn in greenhouse tests: relationship to leafhopper vector control and corn stunt disease incidence. J. econ. Ent., 65, 324-329.
- BINSO (L.) 1980 Biologie et Ecologie d'Eldana saccharina WALKER (Lepidoptera, Pyraliace, Galleriinae) foreur du mais en Côte d'Ivoire et inventaire des autres Lépidoptères foreurs du mais. Thèse Doctorat 3ème cycle, Fac. Sc. Paris VI, ORSTOM-BONDY, 196 pp.
- BONNEMAISON (L.) 1956 Possibilites d'emploi des insecticides endothérapiques en vue de la protection des plantes contre les maladies à virus. Ann. Epipnyt., 4, 563-640.
- BONNEMAISON (L.) 1970 La protection des plantes cultivées contre les insectes et les acariens. *Phytoma*, 220, 19-37.
- BORDAT (D.), BRENIERE (J.), COQUARD (J.) 1977 Foreurs de Graminées africaines: parasitisme et techniques d'élevage. Agro. trop. XXXII, 4, 391-399.
- BORDAT (D.), PICHOT (M.) 1980 Sesamia calamistis Hamps. Une technique pratique d'élevage de masse sur milieu artificiel. Agron. trop., XXXV, 1, 35-40.
- BOTTGER (G.T.) 1942 Development of synthetic food media for use in nutrition studies of the european corn borer. J. agric. Res., 65, 493-500.
- BOUNIAS (M.), BONNOT (G.) 1977 L'acide ascorbique dans la nutrition artificielle de Chilo suppressalis WLK. (Lepidoptera, Pyraliaae, Crambinae). Ann. 2001. Ecol. anim., 9 (4), 733-748.

- BOWLING (C.C.) 1970 Lateral Movement, uptake and retention of carbofuran applied to flooded rice plants. J. econ. Ent., &3, 239-242.
- BRENIERE (J.), LACOSTE (P.) 1962 Lutte contre le borer du riz Maliarpha separatella RAG. Efficacité des insecticides; essais du premier degré. Agron. trop., 17, 969-978.
- BRENIERE (J.), RODRIGUEZ (H.) 1963 Le borer du riz à Madagascar Maliarpha separattella RAG. Efficacité des insecticides. Sensibilité variétale. Expérimentation 1961. Agron. trop., 18, 427-459.
- BRENIERE (J.) 1963 Le borer blanc du riz à Madagascar. Le problème et ses perspectives d'avenir (Etude résumée des responsables de l'orientation de la riziculture malgache. IHAM, Buil. 23, p.15.
- BRENIERE (J.) 1966 Dix années de recherches sur les ennemis du riz en Afrique francophone et à Madagascar. Agron. trop., 4, XXI, 514-519.
- BRENIERE (J.) 1971 Les problèmes des lépidoptères foreurs de Graminées en Afrique de l'Ouest. Ann. Zool. Ecol. anim., 3 (3), 287-296.
- BRENIERE (J.) 1976 Etudes et Travaux. Reconnaissance des principaux lépidoptères du riz de l'Afrique de l'Ouest. Agron. trop., 3, XXXI, 213-231.
- BRENIERE (J.), in KRANZ (J.), SCHMUTTERER (H.), KOCH (W.) 1977 Sesamia calamistis HAMPSON, in Diseases, Pests and Weeds in Tropical Crops. Ed. Paul Parey, Berlin and Hamburg, 487-490.
- BRUNEL (E.) 1979 Etude de l'ovogenèse de *Psila rosae* FAB. (Diptère, *Psilidae*) : rôle de la température, de l'alimentation et de la plante-hôte. *Ann. Zool. Ecol. anim.*, 11 (2), 227-246.
- BUYCKX (E.J.E.) 1962 Précis des maladies et des insectes nuisibles sur les plantes cultivées au Congo, au Rwanda et au Burundi. I.N.E.A.C. éd., 708 pp.
- CADEILHAN (L.) 1965 Stimulation de la ponte d'Acrolepia assectella ZELLER par la présence de la plante-hôte. C.R. Acad. Sc. Fr., t. 261, 1106-1109.
- CARDONA (R.J.), DOROUGH (H.W.) 1973 Syntheses of the B-D-glucosides of 4-and 5-hydroxy-1-naphthyl N-methyl-carbamate. J. Agric. Fd Chem., 21, 1065-1071.

- CARESCRE (L.), BRENIERE (J.) 1962 Les insectes nuisibles à la canne à sucre à Madagascar. Aspects actuels de la question. Agron. trop., 17, 608-631.
- CARLE (P.) 1963 Essai d'analyse expérimentale des facteurs conditionnant la fécondité chez la bruche du haricot (Acanthoscelides obtectus SAY). Thèse Fac. Sciences, Bordeaux, 77 pp.
- CASIDA (J.E.), MADDRELL (S.H.) 1971 Diuretic hormone release on poisoning Phomnius with insecticide chemicals. Festic. Biochem. Physiol., 1, 71-83.
- CAVALLORO (R.), PROTA (R.) 1972 Metodo di allevamento di Sesamia nonagrioides LEF. (Lep., Noctuiae), con diete artificiali. Redia, 53, 396-411.
- CHANCOGNE (M11e M.), VIEL (G.) 1956 Méthodes d'évaluation des propriétés fongicides de substances diverses en vue de leur emploi agricole. Ann. Epipnyt., 4, 641-660.
- CHATTERJI (S.M.), SHARMA (G.C.), SIDDIQUI (K.H.), PANWAR (V.P.S.), YOUNG (W.R.) 1969 Laboratory rearing of the pink stem borer, Sesamia inferens WALKER on artificial diet. Inc. Jour. Ent., 31, 75-77.
- CHAUTHANI (A.R.), ADKISSON (P.L.) 1965 Comparison of two artificial diets for rearing Estiothis sea B. larvae for insecticide tests. J. econ. Ent., 58 (E), 1163-1164.
- CHAUVIN (G.) 1971 Nature du substrat et humidité, facteurs du choix du site de ponte chez deux Lepidoperes Tincidae : Monopis rusticella CLERCK et Tricnopnaga tapetzella L. Ann. Zool. Ecol. anim., 3 (3), 319-325.
- CHEN (Y.L.), CASSIDA (J.E.) 1969 Photodecomposition of pyrethrin I, allethrin, phthalthrin and dimethrin. J. Agric. Fd Chem., 17, 208-215.
- COHICK (A.D.) 1975 Fields trials and experience with carbofuran on corn (marze) in the United States. Fflonzenschutz-Nachrichten, Bayer, Vol. XXVIII, 80-91 (English edition).
- COOK (R.F.), STANOVICK (R.P.), CASSIL (C.C.) 1969 Determination of carbofuran and its carbamate metabolite residues in corn using nitrogen specific gas chromatographic detector. J. Agric. Fd Chem., 17, 277-282.
- DAJOZ (R.) 1969 Les insecticides. Que sais-je ? Presses universitaires de France, Paris, 127 p.

- DIEME (E.) 1978 Physiologie de Sesama calamistic HAMPSON. Elevage au laboratoire. Diplôme D.E.A. Entemologie générale et appliquée, Fac. Sc. Paris XI, SSC-ORSTOM BONDY, 87 pp.
- DRAVE (H.) 1977 Influence de la silice incorporée à un milieu artificiel sur diverses caractéristiques biologiques de la chenille de la pyrale du riz Chilo suppressatis WALKER. Thèse de Docteur ingénieur, Fac. Sc..Paris XI.
- ELINATTEN, in OLUFADE (A.O.) 1974 A review of insect pests of maize and their control in Nigeria. Nigerian. J. Ent., 1 (1), 57-62.
- FARAH (A.) 1978 Contribution à l'étude de la résistance aux insecticides chez des populations naturelles de mouches domestiques (Musca domestica L.), Thèse de Docteur de Jème cycle, Fac. Sc. Paris XI, 175 pp.
- F.A.O. 1971 Méthodes recommandées pour la détection et la mesure de la résistance des ravageurs agricoles aux pesticides; méthode provisoire pour les larves de Spodoptera Littoralis BOISD. Bulletin phytosanitaire, Méthode FAC, N° 8, vol. 19, 32-35.
- FINNEY (D.J.) 1964 Probit analysis. A statistical treatment of the sigmoid reponse curre. Cambridge University Press, Second edition, 318 pp.
- GAHUKAR (R.T.) 1976 Nutrition de la pyrale du mais, Ostrinia nubilalis HUBNER (Lepidoptera, Pyraustidae). Ann. Zool. Ecol. anim., & (1), 119-128.
- GARCIA (V.) 1976 Influence de trois produits phytosanitaires sur les performances biologiques d'une coccinelle aphidiphage Semiadatia undecimmotata SCHNEIPER. Thèse Doctorot Jème cycle, Univ. de Provence, 114 pp.
- GETZIN (L.W.) 1973 Persistence and degradation of carbofuran in soil. Environment. Ent., 2, 461-467.
- GIANG (P.A.) 1954 A bibliography of systemic insecticides. USDA Agric. Res. Serv. F, 874, 46 pp.
- GOUJET (R.), GUILECT (R.) 1979 Alimentation artificielle de plusieurs lépidoptères ravageurs du feuillage du pommier. Ann. 2001. Ecol. cnim., 11 (1), 119-124.
- GREGORY (J.L.) 1957 Survey of cereal stem borers of Nigeria. Kep. Dep. Agr. Hes., Nigeria, 1854-1955, 20-21.

- GRY (J.) 1974 Expérimentation insecticide ; fascicules 2 et 3, multigraphie I.N.A. Paris-Grignon, Chaire de Zoologie-Ento-mologie, 150 et 142 pp.
- GUENNELON (G.) 1964 Eléments de la biologie de la pyrale du maïs (Ostrinia nubilalis Hbn.) en relation avec la lutte chimique. Rev. Loot. agric. appl. 63, 125-138.
- GUENNELON (G.) 1967 L'alimentation artificielle des insectes. Rev. 200. agriz. appl., 1-3, 20-28.
- GUENNELON (G.) 1968 L'alimentation artificielle des larves de lépidoptères phytophages. Ann. Epipnyt., 19 (3), 539-570.
- GUENNELON (G.), SENDER (C.), D'ARCIER (F.), AUDEMARD (H.) 1970 Mise au point d'un milieu artificiel pour l'élevage au laboratoire des larves de l'eudémis de la vigne, Lobesia botrona DEN. et SCHIFF (Lep., Tortrioidae). Ann. Zool. Ecol. anim., 2 (1), 51-77.
- GUENNELON (G.), in BALACHOWSKY (A.S.) 1972 La pyrale du mais Ostrinia nubitalis Hbn., Entomotogre appliquée à l'agriculture, t. 11. Lépidoptères, 2ème vol.; Masson et Cie éd., Paris, France, 1078-1129.
- GUENNELON (G.), SORIA (F.) 1973 Mise au point, au laboratoire, d'un élevage permanent de la pyrale du riz, Chilo suppressalis WALKER (Lep., Fyralidae) sur milieu artificiel. Ann. Zool. Ecol. anim., 5 (4), 547-558.
- HARRIS (K.M.) 1962 Legidopterous stem borers of cereals in Nigeria. Bull. ent. Hes., 53, 139-171.
- HARRIS (C.R.) 1973 Laboratory evaluation of candidate materials as potential soil insecticides. J. econ. Ent., 6E, 216-221.
- HASCOET (M.), ANDRE (L.) 1978 Détermination des résidus de décaméthrine présents dans les végétaux et les sols traités.

 Phytiatrie-Fhytopnamacie, 27, 85-98.
- HEWITT (E.J.) 1952 Sand and water culture methods uses in the study of plant nutrition. Famhar Royal, Cormonwealth agricultural Bureaux, 241 pp.
- HILAL (A.) 1978 Etude expérimentale du développement et de la reproduction de Sesama nonagricides LEF. (Lepidoptere, Noctuidae); application à l'étude des populations dans les cultures de canne à sucre au Maroc. Univ. de Bordeaux I, Trèse Docteur Ingénieur, 153 pp.

- HOLDEN (E.R.) 1973 Gas chromatographic determination of residues of methyl carbamate insecticides in crops as their 2,4-dinitrophenyl ether derivatives. J. Ass. offic. Anal. chem., 56 (3), 713-717.
- HOMEYER (B.) 1975 Curaterr, a broad spectrum root-systemic insecticide and nematocide. Pflanzenschutz-Nachrichten, Bayer, Vol. XXVIII, 3-54 (English edition).
- HUIGNARD (J.) 1969 Action stimulatrice du spermatophore sur l'ovogenèse chez Acanthoscetiaes obtectus SAY (Col. Bruchidae). C.R. Acad. Sc. Fr., t. SSG, 2938-2940.
- IGNOFFO (C.M.) 1963 A successful technique for mass rearing cabbage loopers on a semi synthetic diet. Ann. ent. Soc. amer., 56, 176-182.
- INGRAM (W.R.) 1958 The Lepidopterous stalk borers associated with Gramneae in Uganda. Bull. ent. Res., 49, 367-353.
- IWAYA (R.), KOLLMER (G.) 1975 Effectiveness of curaterr granular against rice pests. Pflanzenschutz-kachrichten, Eayer, vol. XXVIII, 137-143 (English edition).
- JAMET (P.), PIEDALLU (M.A.) 1975 Mouvement du carbofuran dans différents types de sols. Etude de l'adsorption et de la désorption du carbofuran. Phytiatre-Phytopharmacie, t. 24 (4), 279-295.
- JEPSON (W.F.) 1954 A critical review of the world literature on the Lepidopterous stalk borers of tropical Graminaceous Crops. Commonwealth Institute of Entomology, London, 127 pp.
- JERATH (M.L.) 1968 Parasites of sugar cane stem borers in Nigeria. J. econ. Ento., vol. 61 (2), 435-436.
- JOUBERT (P.C.) 1966 Field infestations of stored product insects in South Africa. J. Stored Proc. Res., 2, 159-161.
- KEIDING (J.) 1963 Possible reversal of resistance. Bull. wid. Hltm. Org., 29, Suppl., 51-62.
- KEIDING (J.) 1967 Persistance of resistant populations after the relaxation of the selection pressure. Wtd. Rev. Pest control, & (4), 115-130.

- KEIDING (J.) 1977 Insecticide resistance in houseflies. Danish pest infestation laboratory; Lyngby, Danmark. Annual report 1976, 1977, 41-51.
- KUIPERS (J.) + 1962 Eet effect un van sublethale doses de coloradokevet (L. decembineata SAY). Meded. Landrouwhouwhogesch Upzockingsta Staat Gent, 27, 908-919 (Résumé en français).
- LEROUX (P.), GREDT (M.) 1974 Etude de l'activité systèmique du Bénomyl, du Carpendazine, du Méthylthiophanate et de la Thiophamine, utilisés en enrobage de semences chez diverses espèces de plantes herbacées. Phytiatrie-Phytopharmacre, 33 (1), 51-68.
- LESPEDS (L.), JOURDAN (M.L.) + 1939 Observations sur la biologie de la sésamie du mais (S. vuteria STOLL) au Meroc. Rev. Zoci. Agric., 39, 49-58.
- LHUSTE (J.) 1959 Histopathologie des insectes intoxiqués par les pyréthrines associées à des synergistes. Pyrethrum post, 5 (2), 19-26.
- LHOSTE (J.), RAUCH (F.), CAUWER (P.) 1976 Influence de l'accouplement sur la ponte et la fécondité de Laspeyresia pomonella L. Rev. Zool. agric. Path. vég., 3, 93-102.
- LHOSTE (J.) 1977 Pyréthrines naturelles et pyréthrinoïdes de synthèse. Deuxième colloque sur la santé humaine et le prollème de l'utilisation de certains produits chumiques ; Marseille, 15.09.1977, 307-327.
- LOMA (T.F.) 1974 Etude de l'influence de quelques facteurs du milieu sur le développement de la pyrate du riz Thilo suppressalis WALKER. Thèse Doctorat lème cycle, Fac. Sc. Paris XI.
- MARTEL (J.) 1978 Définitions chimiques des pyréthrinoïdes photostables. Phytratrie-Phytopharmacie, 27, 5-14.
- MARTIN (T.J.), MORRIS (D.B.) 1975 Cabbage root fly, Prorbia trassicae BOUCHE; control with curaterr, a carbamate insecticide. Pflanzenschutz-Machrichten, Bayer, vol. XXVIII, 92-136 (English edition).
- MESTRES (R.) 1978 Les résidus de décaméthrine dans les végétaux consommables. Phytiatrie-Fnytopharmacie, 27, 81-84.
- METCALF (R.L.) 1971 Structure activity relationships for insecticidal carbamates. Bult. Org. Mona. Santé, 44, 43-78.

- MILLS (R.B.) 1965 Apparates for studying feeding and eviposition by Angoumo's grain moth adult. J. econ. Ent., 58, 177.
- MOLLHOFF (E.) 1975 Method for gas-chromatographic determination of curaterr residues in plants soil samples, with consideration to metabolites. Pflanzanscautz-Nachrichten, Rayer, vol. XXVIII, 370-381 (English edition).
- MONTEAGUDO (A.) 1962 Breeding for corn borer resistance in Spain.

 Rapport de la lème réunion de la section "Mais et Sorgho",
 Eucarpia, Rome, 60 pp.
- MOREAU (J.P.), GAHUKAR (R.T.) 1975 Importance des méthodes expérimentales dans les études des relations plantes-insectes.

 Ann. Zool. Ecol. anim., 7 (1), 119-139.
- MCRIARTY (F.) 1968 The toxicity and sublethal effects of D.D.T. to Aglais urticae L. (Lep., Nymphalidae) and Chortippus brumeus THUMB. (Orth., Acrididae). Ann. Appl. Biol., 62, 371-393.
- MORIARTY (F.) 1969 The sublethal effects of synthetic insecticides on insects. Biol. Hev., 44, 321-357.
- MORIARTY (F.) 1971 The effect of dielerin on the corpora allata on the american cochroach, Periplaneta americana. Pest. Eiochem. Physics., 1, 389-400.
- MOUTIA (L.A.) 1934 The sugar cane moths borers in Mauritius. Bull. ent. Res., vol. 25, 33-45.
- MOUTIA (L.A.), COURTOIS (C.M.) 1952 Parasites of the moth borers of sugar cane in Mauritius. Exti. ent. Res., vol. 43, 325-359.
- MOUTIA (L.A.) 1954 Notes sur le cycle biologique de tois lépidoptères nuisibles à la canne à sucre à l'Ile Maurice.

 Rev. agric. 11e Maurice, 33, 116-122.
- MOYE (H.A.) 1971 Reaction gas chromatographic analysis of pesticides. I: on-column-mansesterification of N-methylcarbamates by methanol. J. agric. Fd Chem., 19 (3), 452-455.
- NARAHASHI (T.) 1976 Insecticide biochemistry and physiology. Wilkinson ed., C.F., New-York.
- NEPVEU (P.), AUDEMARD (H.) 1953 Etude des facteurs réglant la lutte contre les chenilles endophytes du mais en Provence. Bull. Inf. des Ing. des Serv. Agr., Paris, 643-647.

- PFRIMMER (T.R.) 1968 Field tests with in-furrow and seed treatments of systemic insecticides on cotton at Stoneville, Mississippi. J. econ. Ent., 61, 1607-1612.
- POITOUT (S.) 1969 La consanguinité chez les lépidoptères Noctuadae. Mise en évidence de son importance dans la conduite d'élevages en conditions artificielles. Ann. Zool. Ecol. anim., 1 (3), 245-254.
- POITOUT (S.), CAYROL (R.) 1969 Action de différents facteurs sur le nombre de stades larvaires chez la noctuelle de la tomate Heticoverpa armgera Hbn. Ann. Soc. ent. Fr. (N.S., 5 (2), 407-427.
- POITOUT (S.), BUES (R.) 1970 Elevage de plusieurs espèces de lépidoptères Noctuadae sur milieu artificiel riche et sur milieu artificiel simplifié. Ann. Zoot. Ecol. ann., 2 (1), 79-91.
- POITOUT (S.), BUES (R.), LERUMEUR (C.) 1972 Elevage sur milieu artificiel simple de deux noctuelles parasites du coton, Ecrias insulana et Spadoptera vittoralis. Ent. exp. appl. 15, 341-350.
- POITOUT (S.), BUES (R.) 1974 Elevage de chenilles de vingt-huit espèces de lépidoptères Noctuadae et de deux espèces d'Arctitaes sur milieu artificiel simple. Particularités de l'élevage selon les espèces. Ann. 2000. Eccl. anim., 5 (3), 431-441.
- PRITAM (S.) + 1977 Artificial diets for insects, mites and spiders. .

 1FI/PLENUM, New-York-Washington-London.
- QURESHI (Z.A.), ANWAR (M.), ASHRAF (M.), CHATA (N.V.), ARIF (M.D.) 1972 Rearing, biology sterilisation of the rice borer Sesamia inferens WALKER. J.P.N. Pestic. Inf., 10, 129 pp.
- RAMADE (F.) 1969 Contribution à l'étude du mode d'action de certains insecticides de synthèse, plus particulièrement du lindane et des phénomènes de réistance à ces composés chez Musea domestica. Thèse Docteur es-Sciences Naturelles, Univ. Paris. 239 pp.
- RAMANAKASINA (R.) 1970 Alimentation artificielle de la larve d'Earias insutana BOIDS, Nocturdae. C.R. Acca. Sc. Fr., série D, 271, 408-410.

- RAO (V.P.), NAGARAJA (H.) 1969 Sesamia species as pests of sugar cane in Pest of sugar cane. Int. Soc. Sugar cane Technologists.
- RIDET (J.M.) 1972 Etude des conditions optimales d'élevage et d'alimentation de Lymantria dispar L. Ann. Soc. ent. Fr., (N-S.), 8 (3), 653-668.
- RISBEC (J.) 1950 La faune entomologique des cultures au Sénégal et au Soudan français. Trav. Lab. Ent. Sect. Soudan. Rech. Agr., Stat. exp. de M'Sambey (Sénégal) et Sect. tech. Agr. Trop. au Miniet. de la France Outre-Mer. Gouvernement général, A.O.F., 498 pp.
- RISBEC (J.) 1960 Les parasites d'importance économique en Afrique tropicale à Madagascar. Agron. trop., 15 (6), 624-656.
- RIVIERE (J.L.) 1977 Action du propoxur sur la reproduction de Blattella germanica L. Ann. 200. Ecol. ann., 9 (I), 111-116.
- ROBERT (P.) 1964 Influence de la plante-hôte sur l'activité reproductrice de la teigne de la betterave Scrobipalpa ocellatella BOYD. Proc. XII° unt. Cong. Ent. London, 552-553.
- SENDER (C.) 1969 Elevage permanent du carpocapse des pommes Carpocapsa (= Laspeyresia) pomonella L. sur milieu artificiel simplifié. Ann. Zool. Ecol. anim., 2 (3), 321-326.
- SHOREY (H.H.), HALE (R.L.) 1965 Mass rearing of the larvae of nine Noctuid species on a simple artificial medium. J. econ. Ent., 58 (3), 522-524.
- STOCKEL (J.) 1969 Influence de la présence de grains de mais comme stimulus de la ponte de Sitotroga cerealetta OLIV. (Lep. Gelechitae). C.R. Acad. Sc. Fr., t. 268, 2941-2943.
- STOCKEL (J.) 1973 Fonctionnement de l'appareil reproducteur de la femelle de Sitotroga cereatella OLIV. (Lep., Gelechizdae).

 Ann. Soc. ent. Fr., (N-S), 9 (3), 627-645.
- STOCKEL (J.) 1973 Variation du pouvoir reproducteur des mâles de Sitotroga cereciella OLIV. en liaison avec le rang d'émission et le volume des spermatophores (Lep., Gelechicae). Bull. Soc. ent. France, t. 73, 178-193.
- STOCKEL (J.) 1973 Influence des relations sexuelles et du milieu trophique de l'adulte sur la reproduction de Sitotroga cere-aletla OLIV. (Lep., Getecniidae). Conséquences écologiques. Trèse de vocteur Ingénieur, Univ. François-Rabelais de Tours, 171 pp.

- STREBLER (G.) 1978 Biologie appliquée. Zoologie agricole et Protection des cultures, 2ême édition. I.N.A. Faris-Grignon, Chaire de Zoologie-Entomologie.
- SUTHERLAND (J.R.G.) 1954 Survey of stem borers of Graminaceous crops. Rep. agr. Dep. Nigeria, 1951-1952, 59-60.
- TAMS (W.H.), BOWDEN (J.) 1953 A revision of the african species of Secamia GUENEE and related genera (Lapidoptera, Agrotidae). Bull. ent. Res., vol. 48, 645-678.
- USUA (E.J.) 1966 Stem borers of maize in western Nigeria with particular reference to Busseola fusca FULLER and Sesamia species (Lep. Noctuidae).M.Sc. Thesis, Univ. IBADAN, Nigeria, 169 pp.
- USUA (E.J.) 1968 Effect of varying populations of Busseola fusca FULLER larvae on the growth and yield of maize. J. econ. Ent., £1, 375-376.
- VANDERZANT (E.S.), POOL (M.C.), RICHARDSON (C.D.) 1962 The role of ascorbic acid in the nutrition of three cotton insects. J. Insect. Physiol., 8, 287-297.
- VAN WETSWINKEL (G.), SEUTIN (E.) 1979 Etude de quelques pyréthrinoides pnotostables en arboriculture fruitière. Physiatrie-Phytopharmacie, 27, 15-26.
- VILLEROY (P.) 1973 Qu'est-ce que le carbofuran ?. Défense des vegétaux, 164, 311-325.
- VILLEROY (P.), POURCHARESSE (P.) 1975 Development and use of curaterr in France in recent years. Pflanzenschutz-Nachrichten, Bayer, vol. XXVIII, 55-66 (English edition).
- WOODROFFE (G.E.) 1951 A life history study of the brown house moth Hofmannophila pseudospretelia STAINT. (Lep. Decophoriace). Bull. ent. Res., 25, 171-175.
- YAMAMOTO (R.) 1969 Residues of pesticides and other foreign chemicals in foods and feeds; II: Pyrethroids. Hesidue Reviews, vol. 25, 165-173.